#### CONTENIDO

ANO 2002

NÚMERO EXTRAORDINARIO

## RELATO OFICIAL

## VALOR DEL MAPEO LINFÁTICO EN LA CIRUGÍA ONCOLÓGICA

JORGE E. FALCO MAAC FACS Docente Adscripto de Cirugia Médico de Planta - División Cirugía Oncológica Hospital de Clínicas "José de San Martín"

NORBERTO A. MEZZADRI MAAC FACS Docente Adscripto de Cirugia Jefe del Servicio de Cirugia Hospital Alemán

DR. MANUEL R. MONTESINOS MAAC FACS Docente Autorizado de Cirugía Médico de Planta - División Cirugía Oncológica Hospital de Clínicas "José de San Martín"

## Índice

	90	53
Introd	ducción	55
CAP	ÍTULO I: Sistema linfático	57
1.	Anatomia	57
	Fisiología	58
	Biología de la metástasis	58
4.	Selectividad del proceso metastático	59
CAP	ÍTULO II: Ganglio centinela	61
	¿A qué se denomina ganglio centinela y qué es el mapeo linfático?	61
	¿Cuáles son los materiales que se usan en el mapeo linfático?	62
	¿Cuál es el papel de la Medicina Nuclear en el mapeo linfático?	64
	¿Cómo se define el ganglio centinela?	66
	¿Cuáles son los riesgos radiogénicos a que expone el mapeo linfático (ML)?	67
	¿Qué inconvenientes tienen las técnicas anátomo patológicas convencionales?	67
	Valores estadísticos	69
CAP	TULO III: Melanoma	72
	Introducción	72
	Mapeo linfático en melanoma	75
	Linfocentellografía preoperatoria	78
	Mapeo linfático intraoperatorio	82
	Anatomía patológica	85
	Resultados	89
	Protocolos multicéntricos en marcha	101
	Control de calidad	102
	Utilidad del mapeo linfático	103
CAP	ÍTULO IV: Cáncer de mama	109
1.	Introducción	109
2.	Mapeo linfático y biopsia del ganglio centinela	112
3.	Anatomía patológica del ganglio centinela	118
4.	Experiencia publicada	121
5.	Acreditación en biopsia del ganglio centinela en mama	132
CAP	ÍTULO V: Cáncer colorrectal	141
1.	¿Cuál es el fundamento del mapeo linfático en cáncer colorrectal?	141
	¿En qué pacientes estaría indicado?	142
	¿Cómo se realiza el mapeo lintático en cáncer colorrectal	142
	3.1. Técnica "in vivo"	142
	Técnica "ex vivo"	143
	3.2. Técnica de estudio anatomopatológica	143

4.	Experiencia publicada
	Experiencia de los autores
	¿Qué ventajas brinda el mapeo linfático en cáncer colorrectal?
	Conclusiones
	TULO VI: Otros tumores gastrointestinales.
1.	externed a management of the control
	¿Cuál es el fundamento del mapeo linfático en cáncer gástrico?
	¿En qué pacientes estaría indicado?
	3. ¿Cómo se realiza el mapeo linfático en cáncer gástrico
	3.1. Linfocentellografía preoperatoria
	3.2. Mapeo linfático intraoperatorio
	3.3. Estudio anátomo patológico
	Experiencia publicada
11.	Otras localizaciones
	. Conclusiones
A D	TULO VII: Misceláneas.
1	Tumores del tracto aerodigestivo superior (TADS)
10	
	1. ¿Cuál es el valor del estado ganglionar en los tumores del TADS y el mejor método
	para el diagnóstico de metástasis ganglionares subclínicas?
	¿En qué pacientes está indicado?
	3. ¿Cómo se realiza el mapeo linfático?
	Experiencia publicada
	5. Nuestra experiencia
	6. Conclusiones
11.	Tiroides
	<ol> <li>¿Qué significado tienen las metástasis ganglionares en cáncer diferenciado de tiroides (CDT)?</li> </ol>
	0 Cuid on all males and advanced of the control of
	Cuál es el mejor método para el diagnóstico de metástasis ganglionares?
	Drenaje linfático tiroldeo
	4. ¿En qué pacientes podría realizarse?
	5. ¿Cómo se realiza el mapeo linfático en el cáncer diferenciado de tiroides?
	Experiencia publicada
	7. Conclusiones
Ш	Tumores cutáneos "no melanoma"
	Carcinoma de células escamosas
	Carcinoma de células de Merkel (CCM)
	3. Conclusión
lΡί	TULO VIII: Conclusiones.
DIC	E DE LOS CONGRESOS ARGENTINOS DE CIRUGÍA
	TAS
He	latores

### PRÓLOGO

Consideramos oportuno que los miembros de la Asociación Argentina de Cirugía en su Asamblea Anual de 2000 hayan elegido el tema "valor del mapeo linfático en la cirugía oncológica" para uno de los Relatos Oficiales del corriente año. La bibilografía extranjera ha relfajedo la importancia del tema con infinidad de citas. En nuestro medio las comunicaciones son todavía escasas por la inciciente difusión del procedimiento.

Es un gran compromiso y satisfacción que la Comisión Directiva de esta Asociación haya depositado en nosotros la responsabilidad de llevar adelante este Relato, por lo cual le estamos profundamente agradecidos. Entendemos esta designación como un reconocimiento al grupo de trabajo al cual perteneamen.

Es habitual en estas circunstancias recordar y agradecer a quellos que directa o indirectamenne posibilitaron el objetivo final. En primer lugar tres cirujanos que marcaron desde el inicio nuestro camino: Manuel R. Montesinos, Aldo Falco y Aristides B. Mezzadri, nuestros padres; en segundo lugar al Dr. H Pablo Curutchet, destacado ciruiano de alto espíritu docente que con visión de futuro nos estimuló al desarrollo del tema en los inicios del año 1993; en tercer lugar a los integrantes de la División de Cirugía Oncológica del Hospital de Clínicas de la Universidad de Buenos Aires, y del Servicio de Cirugía General del Hospital Alemán de Buenos Aires y en especial a sus Residentes: al Dr. Boris Elsner, Jefe de Patología del Hospital de Clínicas, bajo cuva supervisión se realizaron la gran mayoría de los estudios diagnósticos de nuestra casuística, por su tarea en la preparación y revisión de los tópicos concernientes a anatomía patológica; al Dr. Francisco Celeste Jefe de Patología del Hospital Alemán, al Dr. Raúl Cabrejas, por su compromiso en el desarrollo del procedimiento y asesoramiento en los temas relacionados con Medicina Nuclear: a los Dres, Nicolas Rotholdtz v Rudolf Buxhoeveden por su colaboración en la preparación de los capítulos referidos a cancer de colon y estómago, al Dr. Eduardo B. Arribalzaga por su ardua tarea en la edición del texto y a todos aquellos que nos brindaron su estímulo v comprensión.

### INTRODUCCIÓN

\*Diseases that harm call for treatment that harm less".

Sir William Osler

El enfoque terapéutico de una determinada patología oncológica depende del modelo conceptuaton el cual creemos comprender el mecanismo intimo de evolución de la enfermedad. Dicho nivel de comprensión estará influido por 1 y las circunstancias clínicas de los paciente y 2) los conocimientos e ideas dominantes de la época.

Entre fines del siglo XIX y comienzos del XX, fueron descriptas distintas operaciones para el tratamiento del cáncer, las cuales por su pretensión de erradicar las neoplasias desde su raíz fueron llamadas "radicales".

Los cirujanos se enfrentaban a pacientes con lumores, diagnosticados en una etapa avanzada de la enfermedad. Entendian que el câncer era una enfermedad que se originaba en un órgano, con un patrón de diseminación ordenado hacia los distintos niveles ganglionares que se suponía actuaban como filtro o barrera y retenía las células tumorales antecediendo a la diseminación menatógena. Pasado un tiempo, y si no se tomaban las conductas terapéuticas adecuadas, estas barreras eran vencidas y la enfermedad se extendía por todo el organismo.

Esta concepción de los tumores sólidos fue denominada halsediana, en honor a uno de sus defensores, William Halsted, y prevaleció durante muchos años en el espíritu de los cirujanos oncólogos. El objetivo del tratamiento era erradicar la enfermedad antes de su diseminación sistémica.

Surgió así la mastectomía radical, descripta por Haisted en 1894, la histerectomía radical por Wertheim en 1898 el vaciamiento radical de cuello por Crile en 1908 y la amputación abdominoperineal del recto por Miles en 1908.

Con los años fue evidente que estos tratamientos, siblen exitosos en el control loco-regional de la enfermedad, ocasionaban importantes secuelas funcionales y no conseguían mejorar la supervivencia global. Surgió entonces otra concepción del cancer que cambió el paradigma halstediano: el dáncer en una enfermedad siatémica desde su inicio, con posibilidad de diseminación desde la etapa subclinica. La evolución dependía de la relación tumor-huésped, variable en cada caso, representando las metástasis en los ganglios regionales un indicador de esta relación, y no necesariamente uno de los ordenados pasos de la diseminación. Sobre la base de este concepto era improbable que variaciones del tratamiento locorregional afectaran la evolución.

Este paradigma fue llamado fisheriano, por haberse desarrollado principalmente a partir de diferentes estudios liderados por Bernard Fisher.

Como natural consecuencia de esta interpretación disminuyó la magnitud de la extirpación locorregional y comenzó el uso de tratamientos adyuvantes a fin de tratar las micro metástasis sistémicas no demostradas pero probablemente presentes.

La realidad clínica de la población también haida embiado. Debido a campañas de detección precoz, a la creciente educación de la comunidad en temas médicos y a los avances tecnológicos, los tumoros eran diagnosticados en etapas tempranas y muchas veces subclínicas.

Distintos tumores fueron objeto de un progresivo y justificado minimalismo quirúrgico. Actualmente el acacinoma diferenciado de tiroides en pacientes de bajo riesgo puede ser tratado con hemitiroidectomía o tiroidectomía subitotal; el cáncer gástrico temprano puede no requerir una gastrectomía; el carcinoma de la mama se trata con cirugía conservadora y el melanoma es resecado con márgenes menores a los tradicionalmente establecidos.

En lo referente al tratamiento de los ganglios linfáticos regionales ha habido una reformulación en el papel de la linfadenectomia. En los últimos años las indicaciones de los vaciamientos electivos acompañando la resección del tumor primario han estado cuestionados, siendo evidente el fracaso en curar aquellos enfermos que presentaban metástasis ocultas sistémicas.

Sin embargo, el estado de los ganglios linfáticos regionales en pacientes con tumores sólidos es uno de los factores pronóstico más relevantes.

Surge entonces el dilema entre la necesidad de conocer el estado ganglionar en pacientes con baja frecuencia de metástasis y la morbilidad ocasionada por los vaciamientos innecesarios en enfermos con ganglios negativos.

En este contexto el desarrollo del concepto del mapeo linfático (ML) y biopsia de ganglio centinela (GC) o linfadenectomia selectiva (LS) ha representado un gran avance en la estadificación de tumores sólidos con patrón de diseminación canglionar.

Lo interesante de este enfoque es que retoma de la teoría halstediana, la diseminación ordenada a través de los linfáticos, aunque sin perder la relevancia de la enfermedad sistémica en cuanto a los tratamientos advuvantes.

Esto llevaría a un nuevo paradigma llamado modelo del espectro. Según esta concepción en muchos casos las metástasis ganglionares preceden a las sistémicas y representan la relación entre el tumor y el huésped. Si bien la diseminación hematógena es de gran importancia para la aparición de metástasis, no en todos los enfermos

el cáncer es una enfermedad sistémica en el momento de su diagnóstico, y muchos son curables con un adecuado tratamiento locorregional.

El movimiento pendular de las teorías médicas es lo que permite, mediante sucesivas aproximaciones, acercarnos a un conocimiento más exacto de la realidad biológica.

Por lo tanto, es imprescindible que los cirujanos estén compenetrados en estos enfoques y teorías, a fin de comprender la racionalidad de las conductas, para poder adaptarias con éxito a las diferentes circunstancias, y también para estar listos a abandonarias cuando otro nuevo paradigma aparezca, sustentado en firmes bases clínicas y experimentales.

El objetivo del presente Relato es: presentar los fundamentos fisiopatológicos, los aspectos técnicos, las indicaciones y los resultados del mapeo linifático y la biopsia del ganglio centinela, con base a una revisión de la bibliografía y a nuestra experiencia, desarrollada inicialmente en melanoma y trasladada luego a mama, colon y otros tumores.

A pesar de la intención de abarcar la mayor cantidad de tópicos, existen inevitables limitaciones propias de una técnica novedosa aún en etapa de desarrollo y validación.

# CAPÍTULO I

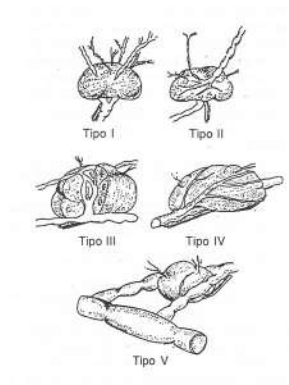
- 1. Anatomía
- 2. Fisiología
- 3. Biología de las metástasis
- 4. Selectividad del proceso metastático

#### 1 Anatomía

- El sistema linfático es un componente especializado del sistema circulatorio, constituido por:
- a) Red capilar que colecciona la linfa de los distintos órganos y telidos.
- Sistema de colectores (vasos colectores, troncos linfáticos y vasos terminales).
- Tejido linfoideo (difuso, ganglios linfáticos, tejido amigdalino, timo y bazo).
- 1) Capilares linfáticos: (Fig. 1) son la unidad más pequeñas del sistema. Se originan en una red sacular compuesta por una sola capa celular endotellal alojada en el tejido conectivo en contacto con los líquidos intercelulares. Tienen pequeñas soluciones de continuidad entre las céjulas, de un tamaño entre 10 nm cuando están cerrados, a 500 nm cuando están abiertos, que los hacen semipermeables a partículas de diterente tamaño.
- 2 Vasos colectores: de mayor diámetro que los capilares (2-3 mm.), tienen numerosas válvulas escalonadas cada 2-3 mm. Los de mayor tama-

no corren junto a las venas y drenan predominantemente en los ganglios linitáticos. Ludwig<sup>7</sup> describió 5 formas diferentes de relación entre los canalículos colectores y los ganglios linitáticos (Fig. 2).

Los vasos eferentes se unen entre si formando troncos linfáticos mayores que drenan en los conductos colectores: el conducto torácico y la gran vena linfática.



Tipos de aferencia y eferencia entre los canaliculos y los ganglios linfáticos. Tipo I y II: el ganglio linfático recibe linfá a través de uno o más vaeca eferentes, la filira y vuelca en el vaso eferente. Tipo III IV y V. los vasos infáticos pasan a través del ganglio o sobre su superficie sin filtra I la IInfa, permillendo el pasaje de cidulas y/o antigenos axtarlas divectamente a ganglios disfaties o a la circulación sanguinea. (Modificados de Lubés) y Lubés (Lubés)

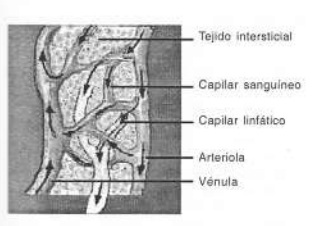


FIGURA 1 Relación entre la red capitar lintática y sanguinea

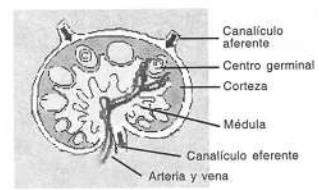


FIGURA 3 Esquema de la estructura de un ganglio linfático

3) Ganglios linfáticos (Fig. 3): son estructuras de forma arrifonada, de tamaño variable entre unos pocos milímetros y 1-2 cm en condiciones normales, interpuestos en el curso de los canalículos linfáticos. Los vasos aferentes entran en el lado convexo y los eferentes salen por el lado cóncavo o hillio, lugar por donde entra la vena y arteria del ganglio. Están rodeados de una cápsula de tejido fibroso. Por debajo de la misma está el seno marginal donde drenan los vasos aferentes. Al corte presentan dos sectores: uno externo, la corteza, de color más claro, incompleta a nivel del hillo y uno interno más oscuro. la médula.

#### 2. Fisiología

Las funciones principales del sistema linfático son:

- a) Mantener el balance de líquidos del intersticio devolviéndolo a la circulación general
- b) Intervenir en la respuesta inmune.

El líquido excedente de los intercambios a nivel intersticial, ingresa a los capilares linfáticos por gradientes de presión osmótica y por la fluctuación de las presiones intraluminales. Células normales, que emigran del torrente sanguineo por diapédesis, bacterias, organismos virales, proteínas que se encuentran en el intersticio, pueden entrar a los linfáticos uniéndose a moléculas de adhesión o por químiotaxis.

El movimiento de la linfa en los conductos se debe a la acción compresiva extrínseca de los músculos, la acción pulsátil de las venas que los acompañan, el peristaltismo intestinal, la gravedad, en los conductos mayores a la presión negativa pulmonar en la inspiración y en algunos tejidos a la contracción propia de los canaliculos linfáticos. Este movimiento intrínseco es regulado por un marcapasos llamado linfangión sensible a estímulos humorales (serotonina, histamina, bradiquinina, acetilcolina, epinefrina, norepinefrina). La compresión externa continua disminuye el flujo linfático y la presión intermitente lo aumenta<sup>6</sup>. La circulación es unidireccional por la presencia de válvulas, cuyo número aumenta en relación directa a su proximidad a la circulación general. La circulación linfática y sanguinea en el ganglio linfático se aprecia en fig.4.

Existen conexiones directas entre los conductos linfáticos y el sistema venoso antes de formarse los conductos mayores, sobrepasando las estaciones ganglionares. El 'by pass' de los canalículos a los ganglios y las uniones linfático-venosas explican ciertos patrones de diseminación tumoral como el salteo de ganglios, o la aparición de metastasis hemadógenas sin compromiso ganglionar en tumores con patrones de diseminación linfática.

## 3. Biología de las metástasis

Las neoplasias primarias en sus inicios están constituidas por numerosas subpoblaciones celulares con diferentes caractéristicas genéticas, bioquímicas e inmunológicas que condicionan su comportamiento biológico y que parecen repetirse en las metástasis.

La formación de metástasis es un proceso secuencial y continuo, que comienza con el crecimiento del tumor primarlo y aumenta con el tiempo y la carga tumoral.

Básicamente el proceso de desarrollo de metástasis puede explicarse con los siguientes pasos:

a) Oncogénesis. Luego de la transformación neoplásica, las células tumorales siguen un proceso de prollieración, acompañado de cambios genéticos con distintos grados de potencial metastático. En esta etapa inicial (hasta un tamaño de 0.2 cm) hay ausencia de irrigación sanguínea, siendo la nutrición de las células tumorales por difusión pasiva<sup>10</sup>. Estos focos tumorales pueden permanecer en forma latente durante variables períodos en los cuales los procesos citoquináticos y de apoptosis se encuentran en equilibrio no habiendo variaciones de tamaño. Este equilibrio persiste hasta que son detectadas y erradicadas por el sistema

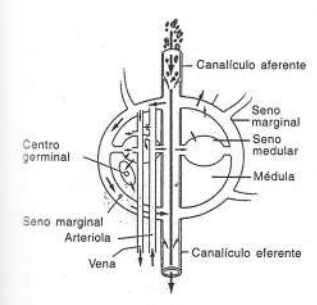


FIGURA 4

Circulación lintática y sanguinea en el gariglio. La linta entra directamente en el senor marpinal pudiendo filui a l'avés de los senos medulares a los centros germinativos, o directamente a éstos desde la vena ganglionar, o paser directamente a los vasos eferentes desde el seno marginal. (Modificado de Weiss L).

immunitario, o adquieren nutrición vascular (cambio angiogénico) que les permite crecer. En esta fase se encuentran las micrometátasis (acúnulos celulares menores a los 2 mm), a las cuales nos hemos de referir reiteradamente a lo largo de este Relato.

Cambio angiogénico<sup>6</sup>. La hipoxia subsecuente al crecimiento del tumor provoca la iniciación de un proceso de neovascularización. Este cambio depende de la secreción de factores angiogénicos y la supresión de inhibidores angiogénicos y representa un proceso activo que requiere la degradación de la matriz extracelular y proliferación endotelial. Entre los factores que estimulan el cambio angiogénico están la hipoxia y mediadores inflamatorios.

Distintas sustancias biológicamente activas participan de la cascada angiogénica: el factor específico de crecimiento vascular endotelial (VEGF), el factor de crecimiento fibroblástico (FGF), etc.

El cambio angiogénico se da tanto en el tumor primario como en el desarrollo de metástasis ganglionares o hematógenas.

 Fenotipo invasor. Las alteraciones genéticas en la población tumoral provocan la adquisición del fenotipo invasor. Los cambios en la adhesión intercelular y en la interacción con la matriz extracelular son los primeros indicios del potencial invasor. La disminución de la adhesividad celular permite el escape de células del tumor primario que pueden penetrar la circulación linfática o sanguínea.

- d) Ineficiencia del proceso metastático. Una vez en el sistema circulatorio las células tumorales deberán sobrevivir a una serie de eventos immunológicos. La presencia de éstas no es sinómimo de metástais, porque la gran mayoria ano destruídas. Numerosas investigaciones confirman estas masivas destrucciones y dan base al concepto de la ineficiencia del proceso metastático". Un gran número de células tumorales inyectadas en la circulación (hasta el 80%) permanece viables y con capacidad de extravasarse durante 3 días. Sin embargo un número muy pequeño de elías (1/40) crece para formar micrometástasis, y solo 1/100 progresa a macrometástasis,
- e) Extravasación y crecimiento en lugares distantes. Luego de sobrevivir en la circulación acidados células podrán detenerse en la micro circulación por atrapamiento mecánico o por un aumento de la adhesividad celular con las ofiulas del endotelio capilar sanguíneo o linfático.
  - Se produce entonces la extravasación hacia los tejidos. Dicho fenómeno es independiente del potencial metastático y de factores proteolíticos ya que las células pueden proliferar en respuesta a factores de crecimiento o bien permanecer en estado latente.
- f) Angiogénesis en las metástasis. El crecimiento de la metástasis también es dependiente de factores angiogénicos que a su vez aumentan su potencial metastático.
  - Las alteraciones genéticas de las células tumorales, provocan menor adhesión celular, alteración de la matriz intercelular (por efecto proteolico) y aumento de la motilidad celular, cambios en los cuales está la base del poder invasivo del cáncer.

## 4. Selectividad del proceso metastático

Investigaciones sobre la biología de las metástasis en humanos y animales han demostrado la interrelación entre las células tumorales y el medio ambiente en el cual se desarrollan. Este medio ambiente puede determinar no solamente qué células habrán de proliferar en el ganglio linfático, higado, pulmón u otro órgano asiento de metástasis, sino también la respuesta inmunitaria al tumori<sup>11, 12</sup>. Por otra parte las células tumorales producen sustancias inmunosupresoras que favorecen el desarrollo de metástasis.

Dentro de la complejidad del proceso metastático se ha demostrado la naturaleza selectiva de las metástasis a ciertos órganos y on características particulares<sup>1</sup>. Complejos mecanismos moleculares participan en esta selectividad, habiéndos demostrado también la presencia de clones celulares específicos

Como ejemplo, ciertos carcinomas de colon tienen la capacidad de provocar metástasis hepáticas sin compromiso ganglionar<sup>1</sup>. Los sarcomas raramente dan metástasis ganglionares regionales, y si pulmonares. Algunos tumores de la mama presentan micrometástasis en médula ósea sin metástasis ganglionares. Estos ejemplos ilustran sobre la complejidad del proceso tumoral. Las bases moleculares para el desarrollo de metástasis órgano-específicas no son aún bien conocidas. Sí está claro que la interacción entre la célula tumoral y un órgano específico es dependiente de un complejo proceso de oncogénesis. En éste interactúa la capacidad de la célula tumoral para producir sustancias inmunosupresoras y el medio ambiente, determinando qué células tumorales podrán proliferar.

En todo este proceso de desarrollo y diseminación tumoral el rol del sistema linfático (y especificamente de los ganglios linfáticos) no está totalmente esclarecido<sup>4</sup>. Si bien la forma como las delulas neoplásicas infiltran los linfáticos no se ha podido documentar, es posible que sigan el mismo mecanismo que los leucocitos en los procesos initamatorios. Estas delulas tienden a penetrar en el sistema linfático al nivel de los pequeños sáculos iniciales de los capilares linfáticos a través de pequeños poros entre las células endoteliales.

Los ganglios linfáticos permiten a las células pasar o ser retenidas temporaria o permanentemente. El hecho de que puedan actuar como una barrera temporaria en la diseminación del tumor es controversial<sup>3</sup>. Si estos asentamientos celulares son el origen de nuevas metástasis, o si tienen o no la capacidad de crecer en otros órganos, tampoco está esclarecido. Los estudios actualmente disponibles señalan que estas células posiblemente sean específicas para el ganglio y no para otros órganos. Con base a estos conceptos se debe suponer que la presencia de metástasis ganglionaros es indicativa del potencial metastático del tumor pero no origen de metástasis a distáncia. Esta afirmación resalta la importancia del mapeo linfático en cuanto a conocer el estado ganglionar de un terrritorio en particular.

Ha sido demostrado que el primer ganglio/s en el trayecto principal entre el tumor primario y el grupo ganglionar regional, ganglio/s centinela, habibamente es el sitio de asiento más probable y a menudo exclusivo de metástasis tempranas. También ha sido demostrado el funcionamiento patológico del mismo<sup>4</sup> exteriorizándose en una alteración en la distribución y el fenotipo de los linfocitos y oras céfulas. Estes alteraciones en la estructura y función de los ganglios está probablemente mediada por sustancias liberadas por el tumor, y serían responsables del desarrollo de metástasio.

#### Bibliografía

- Cady B, Jenkins RL, Steele GD Jr, et al: Surgical Margin in hepatic resection for colorectal matastasis: A critical and improvable determinant of outcome, Ann Surg. 1998; 277: 566-571.
- Cochran AJ, Melanoma through the lymphatic system. Surg Cl North Am 2000; 80: 1683.
- Fisher B, Fisher ER. Studies concerning the regional lymh node in cancer. Cancer 1971; 27: 1001.
   Gendreau KM, Whalen GF: What can we learn from
- the phenomenon of preferential lymph node metastasis in carcinoma? J Surg Oncol. 1999; 70: 199-204, 5. Gervasoni JE, Jr, Taneja C, Chung MA, Cady B, Biologic
- Gervasoni JE, Jr, Taneja C, Chung MA, Cady B. Biologic and clinical significance of linpha-denectomy Surg CI North Am. 2000; 80.1631-1673.
- Kell MR, Winter DC, O'Sullivan GC, Sanan F, Redmond HP. Biological behaviour and clinical implications of micrometestasis. Br J Surg. 2000; 87: 1629-1639.
- Ludwig J. Ueber Kurschlusswege der Lymphba-hnen und ihre Beziehungenzur lymphogen Krebsmetastasierung. Patologia et Microbiologia. 1962; 25: 329, 1962.
   Luzzi KJ et al. Multistep nature of metastatic
- Inefficiency: dormancy of solitary cells after successful extravasation and limited survival of micrometastasis. Am J Pathol. 1998; 153-885, 9 Staffas Phonograp WG Whites DE La Malaysia biol.
- Stetler-Stevenson WG, Kleiner DE, Jr. Molecular biology of cancer: Invasion and metastases. De Vita Cap 8: 123-136. 6ta. Edición 2001. Ed. Lippincott Williams-Wilkins.
- Weiss L The pathobiology of melastasis within the lymphatic system. Surg O Cl North Am 1996; 5: 1531.
- Whalen GF, Gordon C, Yeshion C, et al: Influence of a lymph node environment of invasiveness of metastatic tumor cell. J Am Coll Surg. 1994; 179: 145-150.
- Zetter BR: The cellular basis of site specific tumor metastasis. N Engl J Med. 1990; 322: 605-612.

#### CAPITULO II

#### **GANGLIO CENTINELA**

- 1. ¿A qué se denomina ganglio centinela y qué es el mapeo linfático?
- 2. ¿Cuales son los materiales que se usan en el mapeo linfático?
- 3. ¿Cuál es el papel de la Medicina Nuclear (MN) en el mapeo linfático?
- 4. ¿Cómo se define el ganglio centinela?
- 5. ¿Cuáles son los riesgos radiogénicos a que expone el mapeo linfático (ML)?
- 6. ¿Qué inconvenientes tienen las técnicas anátomo patológicas convencionales?
- 7. Valores estadísticos

## ¿A qué se denomina ganglio centinela y qué es el mapeo linfático?

El término ganglio centinela (GC) aparece por primer vez en 1960 en un trabajo de Gould23 referido a la posición anatómica constante de un ganglio en el vaciamiento de cuello por cancer de parótida. Cabanas<sup>8</sup> en 1977 en un estudio anatómico sobre pacientes con carcinoma de pene demostró que el drenaie linfático del tumor se realiza preferentemente a un ganglio de ubicación anatómica constante al que denominó "ganglio centinela", ubicado en posición medial y superior al cavado de la vena salena interna. Sobre la base de su experiencia en 80 casos clínicos concluyó que la ausencia de metástasis en dicho ganglio minimiza las posibilidades de enfermedad en el resto del territorio ganglionar haciendo innecesario la linfadenectomía. Por el contrario la presencia de metástasis indica la posibilidad de compromiso tumoral en otros ganglios regionales, debiendo realizarse un vaciamiento ganglionar.

En 1991 Wong y Morton<sup>19</sup> publicaron sus investigaciones sobre el desarrollo del concepto del GC en un modelo experimental en gatos, inyectando un territorio cutáneo con un colorante, Estos felinos tienen tres ganglios en la región inguinal que se tihen diferencialmente dependiendo de la zona cutánea de inyección. Demostraron que cada área de la piel drena a un ganglio linfático específico ganglio centinela) habiendo un límite anatómico entre los distintos sectores.

En este modelo animal así como en humanos el GC no necesariamente es el más cercano anatómicamente al territorio cutáneo estudiado o al asiento de la lesión. Morton, en 1992, publica su primera experiencia clínica en 223 pacientes portadores de melanoma a los cuales se les investigó el GC mediante la invección de un colorante, el isosulfan blue<sup>41</sup>.

Define al ganglio centinela como el primer ganglio del territorio linfático al que drena el tumor primario, el cual tendría mayor probabilidad de albergar metástasis.

Morton, a diferencia de Cabanas, propone que el drenaje linfático puede variar de un paciente a otro por lo cual es necesario su identificación intraoperatoria, la cual no puede estar basada solo en reparos anatómicos. Concluye que:

- El ganglio linfático específico del sector cutáneo donde asienta el melanoma puede ser identificado (ganglio centinela).
- La presencia o ausencia de metástasis en dicho ganglio predice el estado del resto de los ganglios regionales.

Las dificultades en el haliazgo del GC con coorantes introdujeron nuevos métodos de identificación. Alex, en 1993º Primero en forma experimental en gatos y luego en pacientes portadores de melanoma, describe el uso de To<sup>es</sup> coloida para la identificación del GC. El radiofármaco inyectado alrededor de la lesión, es captado por los canaficulos infáticos y retenido en el GC, permitiendo su identificación mediante el uso de un detector de particulas radiactivas (cámara gamma y un detector portátil de rayos gamma o gamma-probe). El uso simultáneo de colorante y radiofármaco permitió mejorar las posibilidades de detección del GC1, 12, 42, 50, 30,

El concepto de GC fue aplicado en otros tumores.

- a) Como alternativa al vaciamiento ganglionar; mama, cavidad oral y tumores cutáneos nomelanoma<sup>43, 21, 3</sup>.
- b) Como complemento de los vaciamientos para mejorar la estadificación, colon y recto<sup>16</sup>, estómago<sup>26</sup>, pulmón<sup>36</sup>, higado<sup>19</sup>, tiroides<sup>17</sup> como será desarrollado en los respectivos capítulos.

El procedimiento de identificación del GC se ha denominado mapeo linfático (ML).

- El GC es el primer ganglio en recibir el drenaje linfático del territorio donde asienta el tumor.
- Es el que tiene mas probabilidades de tener metástasis.
- Permite predecir el estado del resto de los ganglios regionales.
- El ML es el procedimiento de identificación del GC.

## 2. ¿Cuales son los materiales que se usan en el mapeo linfático?

Se han utilizado en el ML dos tipos de materiales:

- a) Colorantes
- b) Radiofármacos
- a) Colorantes. Distintos colorantes vitales fueron investigados para su potencial utilización en el ML: azul de metileno, isosulfan blue, azul patente, fluoresceina y verde de indocianina. El azul de metileno difundia rápidamente en los tejidos periféricos y no era retentide en el ganglio, y el uso de fluoresceina además de teñir los tejidos circundantes requiere de un ambiente oscuro para su visualización, por lo cual ambos fueron abandonados.

El isosulfan blue y el azul patente demostraron ser los más útiles por:

- Tener mínima difusión en los tejidos adyacentes.
  - Ser rápidamente captados por los canalículos linfáticos.
  - Teñir el GC de azul brillante fácilmente visible.

Los colorantes son eliminados en un 10% por la orina y en un 90% por la bilis, lo cual tiñe la orina de azul durante las primeras 24hs. Conviene advertir esto al paciente.

La combinación de colorantes o radiofármacos con lidocaina en la misma jeringa puede producir la precipitación de la droga por lo cual deben inyectarse con jeringas separadas. La técnica de inyección en los diferentes órganos será descripta en los respectivos capítulos.

Su uso no origina complicaciones mayores. Están descriptas complicaciones alérgicas hasta en un 1.5% de los casos, manifestadas como hipotensión, erupción cutánea y disminución de la saturación de oxigeno<sup>31</sup>. El colorante puede quedar retenido en el sitio de inyección por más de un año. Con el tiempo, si blen el color va perciendo intensidad, algunos pacientes pueden quedar con un tatuaje permanente si el área de inyección no es extirpada con la resección del primario.

- b) Radiofármacos (RF). Son "bicompuestos" que constan de un fármaco que posee una farmacocinética y farmacodinamia que determina su distribución en el organismo y un radioisótopo unido a él, que emite radiación gamma; esta actividad puede ser detectado por distintos dispositivos (gammaprobe, cámara gamma).
  - La actividad es el número de desintegraciones radiactivas por unidad de tiempo (desintegracion por segundo des- des desintegración por minuto de desintegración por minuto de desintegración por minuto de desintegración por minuto de designamente en Curies (Ci, mCi,µCi). Un Ci es igual a 3.7 x 10<sup>10</sup> dps. Un Bq es igual a 1 dps. Un µCi = 37kBq, y 1 mCi = 37 MBq.

El radioisótopo más empleado es el Tecnecio 99 (Tc²»), por poseer propiedades físicas óptimas para su utilización en el diagnóstico médico:

- Baja vida media. La vida media de 6hs hace que en 30 hs. la actividad sea prácticamente nula.
- Baja energía (140keV). Produce un bajo grado de irradiación para el paciente y el personal.
- Emisión gamma pura. La mayor penetración de las partículas gamma hace ideal su utilización con fines diagnósticos.

A través de los años, han sido utilizados numerosos radiofármacos. Estos agentes viajan por el sistema linfático de manera similar, pero difieren en su capacidad de ser absorbidos por los vasos linfáticos y de ser retenidos en los ganglios.

#### El radiofármaco ideal debe:

- Ser captado por los capilares linfáticos y migrar rápidamente a los ganglios.
- No perderse a través de los capilares linfáticos en su migración.
- Tener buena retención en el primer ganglio (centinela), con bajo o nulo escape hacia ganglios subsiguientes (no centinela).
- Exponer a baja dosis de radiación al enfermo.

La gran mayoría de los RF utilizados y clinicamente útiles son coloides unidos al Tc<sup>6</sup>. Luego de la inyección entran en los canalículos infáticos a través de los poros intercelulares y por pinocitosis. El comportamiento depende del tamano de las partículas (Fig. 1) Estas deberán tener un tamaño suficiente como para no penetrar en los capillares sanguineos(>64 4nm).

Con tamaños entre 5 y 250nm se aproximan a los criterios antedichos. Las partículas de hasta 100-150 nm penetran en los lintáticos, las de mayor tamaño (>200 nm) permanecen largo tiempo en el lu-



FIGURA 1
Distribución del radiofármaco luego de la inyección intersticial

gar de la inyección (espacio intersticial) no penetran en los linfáticos y son fagocitadas, resultando en una alta captación en el lugar de la inyección y baja en el territorio linfático. El tamaño ideal de partícula debe estar en el rango de 50 a 150nm.

Hay dos tipos de radiofármacos:

- No particulados (seroalbumina Tc<sup>sp</sup> y dextrano Tc<sup>sp</sup>)\*. Son ideales para evaluar los canalículos linfáticos. Tinenen la ventaja de entrar y migrar rápidamente a través de ellos. Su desventaja es que al no ser removidos por el sistema reticuloendotelial progresan en forma precoz a ganglios de segundo orden resultando en la detección de múltiples ganglios calientes o ganglios de segunda línea.
- Particulados (colcidales)<sup>51</sup>. Son mejores para evaluar ganglios linfáticos. Son retenidos en el sistema retículo endotelial donde permanecen por un tiempo prologado. Un porcentaje progresa al siguiente ganglio, dependiendo del número, tamaño de la partícula y capacidad funcional del sistema retículo endotelial. Cuanto más pequeña es la partícula, mayor es el numero de ganglios detectados.

La mayoría de los radiofármacos utilizados actualmente son de naturaleza coloidal y están unidos a Tcº (Tabla 1). El sulturo de antimonio coloidal unido a Tcº9 es el más utilizado en Australia, la albúmina nanocoloidal Tcº9 en Europa y el sulturo coloidal Tcº9 en los EEUU. Nilguno de estos esta aprobado por la FDA (Administración de Drogas y Alimentos de EEUU) para su utilización en linfocentellografía.

TABLA 1 Fármacos usados en mapeo linfático

Fármaco	Tamaño de partícula nm	Tamaño promedio de partícula nm	
Sulfuro coloidal	50-2000 nm	300 nm	
Sulfuro de			
antimonio coloidal	10-40	10-15 nm	
Albúmina nanocoloide	3-80	< 30 (75%)	
Albúmina coloidal	50-200	50-80	
Dextrano 70.000	5	5	
Gelatina de colágeno			
bovino	100-450	100-200 (90%)	

En nuestro país se utilizan habitualmente gelatina de colágeno bovino (Linfofast NR) y albúmina coloidal Tc<sup>®</sup>. Existe una gran variación en el flujo de los trazadores entre los pacientes y no hay un tiempo óptimo para obtener imágenes luego de la inyección.

Cada médico debe estar familiarizado con el RF que utiliza para obtener los mejores resultados.

Se están desarrollando radiofármacos que se fijarían en los ganglios mediante receptores específicos. El más estudiado es el ácido manosyl detran dietilenetriamina penta acético unido a To<sup>46</sup> %. Este compuesto no particulado ofrece la ventaja potencial de un rápido flujo a través de los canalículos y buena fijación ganglionar. Otro compuesto también de reciente desarrollo, experimentado en ratas, que combina las propiedades de los radiofármacos y los colorantes en una sola sustancia es el Phthalocyanina letrasulfonato unida a To<sup>46</sup> 3.

Los materiales disponibles en nuestro medio y empleados por los Relatores para el ML son:

- · Colorante: azul patente 3%.
- Radiofármacos:
  - albúmina coloidal Tc<sup>100</sup>
  - gelatina de colágeno bovino unida a Tc<sup>20</sup> (Linfofast <sup>NR</sup>)

## 3. ¿Cuál es el papel de la Medicina Nuclear en el mapeo linfático?

La Medicina Nuclear es una de las tres especialidades que deben estar integradas en el desarrollo del ML (especialistas de medicina nuclear, cirujanos y anátomo-patólogos). Permite la localización del GC en el preoperatorio y colabora en la identificación intraoperatoria por medio de:

- a) Linfocentellografía preoperatoria (LCP)
- b) Gammaprobe (detector portátil de rayos gamma).
- a) La linfocentellografía preoperatoria (LCP) es la imagen registrada por una cámara gamma luego de la inyección intersticial de RF, que capta-

dos por los linfáticos migran a los ganglios (Fig. 2-3). Permite "ver" la distribución del radioisólopo emisor gamma dentro de un paciente (Imagen estática) así como el pasaje del mismo a través de una zona del cuerpo (Imagen dinámica) y registrarla en papel fotográfico o placa radiográfica. La correcta interpretación de las imágenes depende de la temprana individualización de los canaliculos. La secuencia temporal de captación permite identificar distintos patrones de drenaje y al verdadero GC.

Equipos más solisticados como el SPECT (single photon emisión tomography) ofrecen la po-

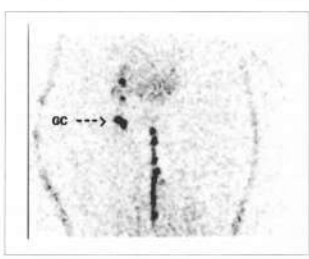


FIGURA 2
Linfoentellografia de miembro inf. con GC inguinal por melanoma.



FIGURA 3 Linfocentellografía mamaria por cáncer de mama.

sibilidad de localizar los GC con la resolución característica de la tomografía computada

### La obtención de una LCP de alta calidad depende do-

- · Entrada del radiofármaco en el sistema linfático.
- Migración del radiofármaco por el canalículo linfático hasta el GC.
- Retención del radiofármaco en el GC.
- Distinción entre el GC y otros ganglios de segundo orden. Efectiva marcación en la piel de la provección
- del GC

### La importancia de la LCP radica en que:

- · Identifica el o los territorios ganglionares de drenaje.
- Detecta el número de GC y su localización dentro del territorio ganglionaria. 22,
- Identifica ganglios en tránsito (melanoma).
- Localiza drenales anómalosti.
- El gammaprobe (detector portatil de rayos gamma) es un detector manual de partículas radiactivas constituido por una unidad de control o consola y una sonda de detección (Fig. 4), donde se encuentra un cristal de cadmio-cinc o de ioduro de sodio que interactúa con el fotón gamma. Esta interacción produce una señal que se registra en una escala sonora, lumínica y numérica (número de cuentas por unidad de tiempo).
  - Debe reunir las siguientes propiedades:
  - · Sensibilidad: mide la cantidad de cuentas redistradas por unidad de tiempo en un área.
  - · Resolución espacial: es la capacidad que tiene un equipo para discernir entre dos fuentes radiactivas puntuales como entidades separadas. Cuanto más pequeña es la distancia que puede ser resuelta entre dos puntos mejor es la resolución espacial del equipo.
  - Resolución temporal; es la capacidad del equipo para registrar separadamente dos pulsos que se producen en un intervalo de tiempo muy pequeño. Cuanto menor es el tiempo mejor es la resolución temporal del equipo.
  - Resolución de energía: capacidad de diferenciar distintos rangos de energía en relación con los radioisótopos utilizados
  - Collmación: Capta la radiactividad de un sector muy circunscripto de telido. Limita el área



FIGURA 4 Equipo manual de detección de partículas (consola v sonda)

de absorción de energía, excluvendo toda radiación que no esté directamente frente al detector. Las cuentas registradas subirán rápidamente al enfrentar el punto de mayor captación y caerán al sobrepasarlo. Es particularmente útil cuando el sitio de invección esta próximo al territorio ganglionar va que el colimador permite la identificación del GC.

Otro concepto importante es la regla de la inversa del cuadrado de la distancia, que establece que al aumentar al doble la distancia de la fuente de emisión al detector, la radiactividad registrada se reduce por cuatro. Debido a que la radiactividad se emite como una esfera, al aleiarse el detector hay un menor ánoulo de captación resultando una lectura menor,

- La importancia del gammaprobe radica en:
- · Facilità la identificación del GC, en forma percutanea
- Dirige la disección a los puntos de máxima captación.

## La Medicina Nuclear permite:

- · Por medio de la linfocentellografía preoperatoria:
  - Identificar el GC dentro del territorio ganglionares.
  - Identificar los GC en tránsito (melano-
  - Identificar los drenajes anómalos.
  - Por medio del gammaprobe:
    - · Facilita la identificación intraoperatoria del GC.
    - Disminuve los tiempos guirúrgicos.

## 4. ¿Cómo se define el ganglio centinela?

Ha habido distintas acepciones del concepto del GC a lo largo del desarrollo del procedimiento.

El GC fue definido por Morton como el:

"primer ganglio que recibe el drenaje del tumor".

Esta definición no toma en cuenta que puede haber más de un GC. Una más adecuada sería:

"cualquier ganglio linfático que reciba directamente el drenaje del tumor"55.

Esta definición con base fisiológica es más abarcativa e incluye la posibilidad de múltiples GC, y ganglios en tránsito.

Para su identificación el enunciado de Morton es lo suficientemente claro:

"un canalículo linfático azul llegando a un ganglio teñido de azul".

Sin embargo hay ciertas controversias ya que algunas veces el uso de RF identifica GC no teñi-

Algunos investigadores lo han definido de diferente forma en base a aspectos linfocentellográficos y quirúrgicos<sup>15</sup>.

- Se lo ha definido como el ganglio más próximo al tumor<sup>2</sup>. Esta concepción anatómica no toma en cuenta la fisiología del drenaje linfático ya que el GC puede ubicarse en sectores distales al anatómicamente más próximo a la lesión (Fig. 5)
- 2) Basados en las imágenes centellográficas lo han definido como el primer punto caliente visible. Si bien este primer punto caliente corresponde a un GC, la definición no toma en cuenta la posibilidad de que haya más de un GC.
- 3) El ganglio más caliente. En algunos enfermos luego de extirpado el ganglio más caliente, persiste actividad radiactiva en el territorio ganglionar, dependiente de otros ganglios radiactivos. La presencia de un punto caliente depende de la radiactividad del ganglio y de la profundidad a la cual se encuentre siendo éste menos caliente cuanto más profundo esté. A su vez la radiactividad depende de una serie de factores como:
  - a) Tipo de radiofármaco invectado
  - b) Tamaño del ganglio
  - Flujo Ilnfático, que podrá estar disminuido en caso de compromiso metastático, o aumentado con el ejercicio, masaje, medicación, hidratación.

#### d) Número de canalículos aferentes.

Habiendo dos ganglios secuenciales, el más caliente puede no ser el centinela. Eubus en 178 pacientes, encontró que el ganglio positivo fue el de mayor captación solo en el 60 % de aquellos casos en los que había más de un GC™. McMasters en un estudio sobre 1184 pacientes encuentra que el 13.1% de los territorios con ganglios positivos hubieran sido estadificados erróneamente si solo se hubiera extirpado el ganglio más caliente™.

- 4) La linfocentellografía dinámica como luego se verá, ha permitido identificar en oportunidades diferentes canalículos drenando en diferentes ganglios del primer escalón ganglionar. Cada uno de ellos también debe considerarse centinola (Fig. 6).
- 5) Para identificar intraoperatoriamente otros GC hay que consider la relación entre la radiactividad del GC y el fondo u otros gangllos, llamada razón o coeficiente de radioactividad (CR) (Fio. 7).

El nivel de radiactividad del fondo se aconseja calcularia tomando el promedio de los registros en 3 zonas neutrales alejadas unos 20 cm. del territorio ganglionar y del lugar de inyección<sup>e</sup>. Albertini<sup>1</sup> y Kragi<sup>20</sup> definen como GC aquel con un CR de 3 a 1 con el fondo.

Reintgen<sup>2c</sup> define al GC con un **CR** "in vivo" igual o mayor de 3 a 1, o "ex vivo" igual o mayor de 10 a 1. En su experiencia el 98% de los GC presentan estas relaciones.

6) Ganglio no teñido con canalículo aferente azul. Un ganglio no teñido puede ser considerado centinela si tiene un canalículo azul que llega al mismo. Esto sucede en ciertas circunstancias por ejemplo bloqueo tumoral del ganglio (Fig. 8)

De esta forma la identificación GC depende-

#### rá de:

- una adecuada interacción con Medicina Nuclear,
  - de un equipamiento tecnológico adecuado.
  - c) de una metodología precisa,
  - d) de un entrenamiento que haya superado la curva de aprendizaje.

Es habitual poder identificar el primer GC mediante colorante, luego de haber identificado el canalículo teñido. Los ganglios subsiguientes son



FIGURA 5 El ganglio más próximo al tumor NO necesariamente tiene que ser el GC.

FIGURA 6 Puede haber más de un GC.



FIGURA 7 GC: Todos los ganglios azules' y/o con radioactividad > al 10% del más caliente

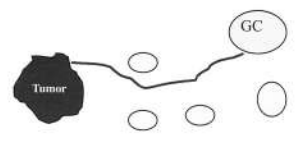


FIGURA 8 Ganglio no teñido con un canalículo azul que llega al mismo es un GC.

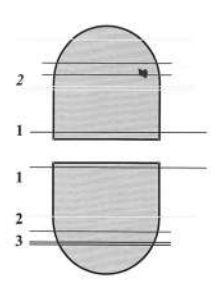


FIGURA 9 Hemisección ganglionar. 1) Cortes estándar, 2) Cortes profundos, 3) Cortes seriados.

más difíciles de hallar. El gammaprobe en esta circunstancia permite orientar la disección, ya sea para identificar ganglios teñidos o no, con una radioactividad de acuerdo a las pautas antedichas.

## Se consideran ganglio/s centinela/s:

- Ganglios azules.
- Ganglios no teñidos con un canalículo linfático aferente azul.
- Ganglios con una radioactividad aumentada 2 a 3 veces la basal "in vivo" y 10 veces la de un GnoC "ex vivo".
- Ganglios que presenten mas del 10% de la radioactividad del ganglio mas caliente.

# 5. ¿Cuáles son los riesgos radiogénicos a que expone el mapeo linfático?

El ML expone a un muy bajo riesgo radiogénico al paciente y a los integrantes del equipo de salud. La dosis de exposición más alta está dada por el sitio de inyección, alrededor de 1 mCi. La actividad en el GC es el 10 % de la del sitio de inyección. Ambos focos de irradiación son extirpados con la cirugía. La dosis efectiva emitida está dentro del rango de otros estudios de la práctica cotidiana (Tabla 2)

Dos parámetros se evalúan para medir los riesgos de exposición:

- a) Dosis corporal total (DCT).
- b) Dosis sobre la mano.

La primera es importante por el efecto sobre la médula ósea. La DCT es muy baja, menor a 2 2mrem por procedimiento, en un ML mamario. La

TABLA 2
Dosis de radiación efectiva entre distintos estudios

Estudio	Dosis efectiva (mrem)	
Mapeo linfático	32	
Centellograma óseo	3.0	
Fix torax	4	
Mamografía	40	
Rx de columna lumbar	130	
TC abdominal	720	
Centellograma čseo	360	
ML cirujano (p/caso)	6	
ML patólogo (p/caso)	0.042	

Modificado de Waddington y col<sup>58</sup>

dosis sobre la mano del cirujano es alrededor de 6 mrem. Dosis menores recibe el personal de anatomia patológica.

La dosis promedio recibida por la mano del cirujano en 100 operaciones de ML mamario realizadas 18 hs. después de la inyección, fue de 450 mrem<sup>67</sup>. La dosis anual límite para la mano es de 50.000 mrem.

El Departamento de Servicios de la Salud del Estado de California, EE.UU., establece que toda persona expuesta a más de 500 mrem debe tener una licencia especial de trabajo. La radiación anual límite (DCT) es de 5000 mrem.

En nuestro país no hay legislación que regule, ni normas de procedimientos sobre esta nueva metadología.

Teniendo en cuenta el bajo riesgo del procedimiento y las conductas de centros internacionales recomendamos:

- a) Realizar la inyección del RF preferentemente en Medicina Nuclear
- b) No es necesario usar delantales plomados
- c) Enviar la pieza quirúrgica al laboratorio de anatomía patológica correctamente identificada y con una actividad menor a 1mCl
- d) Almacenar por separado los desechos quirúrgicos potencialmente radiactivos y depositarlos en un lugar aislado por 24 hs.
- El ML expone a bajas dosis de radiación tanto al paciente como al equipo de salud, menores a la de muchos procedimientos por imágenes.
- Conviene tomar las precauciones mínimas habituales para el manejo de material radioactivo

## 6. ¿Qué inconvenientes tienen las técnicas anátomo patológicas convencionales?

Dos factores influyen en la exactitud de la estadificación: a) el número de ganglios detectados en la pleza quirúrgica y b) la técnica de estudio anatomopatológico.

- a) Número de ganglios detectados: Depende de una técnica quirúrgica adecuada y de una correcta búsqueda por parte del patólogo.
- b) Técnica de estudio anatomopatológico.

La tinción con hematoxilina y eosina (H&E) subdiagnostica la presencia de metástasis ganglionares en pacientes con tumores sólidos. Un 30% so de los pacientes con ganglios linfáticos histológicamente negativos en un vaciamiento ganglionar desarrollarán enfermedad regional o a distancia. Hipotéticamente estos pacientes presentarian metástasis ganglionares no diagnosticadas en el examen anátomo patológico convencional que serian las responsables del fracaso del tratamiento.

Estudios en cáncer de mama de ganglios axilares negativos, reestudiados con cortes profundos, revelaron la presencia de micrometástasis en un rango del 9 al 33% 14, y en colon cortes multiseriados e immunohistoquímica (IHQ) han detectado metástasis ocultas entre un 9 a 54 % 33. El concepto de micrometástasis se refiere a un foco de células tumorales de 2 mm o menos, diagnosticadas por cualquiera de los métodos que nos brinda la tecnología.

En este contexto el ML presenta la ventajas de ofrecer al patólogo uno o unos pocos ganglios, permitiendo un estudio más exhaustivo y con adecuada relación costo/beneficio que sería impracticable en todos los ganglios de un vaciamiento. Un vaciamiento ganglionar estándar contiene entre 15 y 30 ganglios (axila: 23 +/- 97°; inguinal: 17 +/- 77°; cuellio: 17°, colon: 17 +/- 77°), número que imposibilita por costos y tiempo la aplicación de técnicas de corte mutitiseriadas, de IHQ o de biología molecular.

En un estudio convencional los ganglios linfáticos se fijan en parafina en porciones no mayores a los 5 mm. Cada ganglio es seccionado en mitades, tomándose un corte de cada hemisección con espesor de 3-5 micrones¹. Procesado de esta forma, alrededor del 1 ‰ de todo el material es examinado, pudiendo obviarse metástasis presenles en otros sectores. Examinar todo el material requeriría 1000 cortes.

La realización de cortes (Fig. 9) en sectores más profundos (2), y cortes multiseriados (3), permiten un mayor porcentaje diagnóstico de metástasis ocultas y/o micrometástasis que el análisis de un solo corte<sup>37</sup>. El uso suplementarlo de IHQ duplica el número de metástasis halladas<sup>31</sup>. La necesidad de IHQ para el diagnóstico de GC positivos disminuye hasta un mínimo de 12% con la experiencia del patólogo<sup>11</sup>.

Técnicas avanzadas de biología molecular han permitido el desarrollo de métodos altamente sensibles para la detección de células tumorales. Estos ensavos realizan el análisis de la reacción en cadena de la polimerasa (PCR) que amplifica el ADN del tumor, o la reacción en cadena de la polimerasa para la transcriptasa reversa (RT-PCR) para el ARNm. Estos ensayos identifican células metastáticas por la presencia de ciertos genes asociados al tumor (por ei, el oncogen ras) o un incremento del ARNm para ciertos productos de la célula neoplásica (CEA, tirosinasa, etc.). Si bien todas las células tienen una secuencia completa de ADN para todos los genes del organismo. telidos específicos o células tienen secuencias del ARNm solo para los genes activados. Debido a que el ARNm es inestable en el medio extracelular, su presencia en tejidos o líquidos sugiere claramente la presencia de tumor. De esta forma la RT-PCR puede ser usada para detectar secuencias de ARNm que indican que los genes de ciertas células están activados50. Debido a que la célula tumoral no es identificada histológicamente, no está claro si la presencia del material genético es indicativa de la presencia de células tumorales viables. La sensibilidad del método es muy alta permitiendo detectar una célula tumoral entre 105 o 109 células normales.

Los estudios con H&E identifican una célula tumoral en un fondo de 10º linfocitos mientras que técnicas de IHO la detectan sobre un fondo de 10º. Existen dos formas de realizar el PCR.

- Convencional, en que se destruye el tejido a estudiar en la fase de preparación, haciendo luego imposible conocer la naturaleza de las células que originaron el resultado. Esto puede evitarse con la técnica de PCR "in situ", más dificultosa, realizada directamente sobre el preparado histológico<sup>12</sup>.
- Técnica RT-PCR cuantitativa rápida que en menos de 30º permite obtener el resultado, con una sensibilidad mayor a la biopsia por congelación. Es posible que el perfeccionamiento del método permita su uso intraoperatorio<sup>47</sup>.

La alta sensibilidad del método se contrapone a su escasa especificidad. El factor critico es que células normales pueden expresar la presencia de ARMm, de tal forma que el hallazgo de un marcador que se exprese exclusivamente en la célula tumoral y no en los tejidos normales es de capital importancia. Hay dos categorías de marcadores: 1) asociados al tumor y 2) asociados a los tejidos. Los primeros tienen la ventaja de ser altamente específicos. Los segundos tienen la desventaja de que células nomales presentes en los ganglios que drenan la zonadonde asienta el tumor pueden expresar la presencia del ARINm (E), nevocitos de la cápsula ganglionar, nevocitos traveculares, células de Schwander.

Numerosos estudios han informado sobre la sensibilidad del método mostrando porcentajes variables de positividad en pacientes con ganglios negativos a los estudios con H&E e iHQ. Lo que no está claramente establecido es la significación biológica de estos hallazgos positivos en ganglios histológicamente negativos, tal cual será discutido en los respectivos capítulos<sup>55</sup>. Esta metodología continúa siendo hasta el momento actual el "gold standard" para el diagnóstico de micro metastasis en tumores sólidos. Los pacientes con RT-PCR positivo podrían constituir un grupo con mayor riesgo de recalda de enfermedad.

- Los GC negativos con H&E deben ser estudiados con cortes profundos, multiseriados e IHQ ya que duplican los porcentales de positividad.
- Se desconoce la significación clínica de los ganglios positivos con PCR.

### 7. ¿Cuales son los indicadores estadísticos útiles en ganglio centinela?

Como cualquier otro procedimiento diagnóstico, la aplicación de la biopsia del GC puede ser estimada usando diferentes valores de cribaje:

- Sensibilidad
- Especificidad
- Valor predictivo negativo
- · Valor predictivo positivo
- Tasa de identificación
- Tasa de falsos negativos
   Exactitud.

Sensibilidad: es la proporción de todos los casos con ganglios positivos en los que el GC es también positivo. Mide la posibilidad de que en un territorio ganglionar positivo, el ganglio centinela sea informado correctamente como positivo.

Especificidad: es la proporción de todos los casos con ganglios negativos en los que el GC es también negativo. Mide la posibilidad de que en un territorio ganglionar negativo, el GC sea informado correctamente como negativo.

Valor predictivo positivo: es la proporción de casos con GC positivos en los que el territorio ganglionar es también positivo. Mide la posibilidad de que un GC positivo realmente corresponda a territorio ganglionar positivo. Debido a la rareza de falsos positivos, y al hecho de que un GC positivo es considerado como un territorio positivo, esta índice no resulta de utilidad.

Valor predictivo negativo: es la proporción de los casos con GC negativo en los que el territorio ganglionar es también negativo. Mide la posibilidad de que un GC negativo realmente corresponda a territorio ganglionar también negativo. Su valor es relativo ya que está influido por la incidencia de ganglios positivos, y casi siempre se encuentra por encima del 90%.

Tasa de identificación: es el porcentaje de todos los casos de ML en los que pudo identificarse al menos un GC. Mide la posibilidad de que en un procedimiento se pueda encontrar el GC.

Tasa de falsos negativos: es la proporción de casos con ganglios positivos en los que el GC fue negativo. Es uno de los indicadores más importantes, ya que mide la posibilidad de fallar en identificar un territorio ganglionar positivo a través del GC. Puede también expresarse como 1.0 - sensibilidad.

Exactitud: es la proporción de todos los casos de GC en los que el estado del GC coinci-

TABLA 3 Indicadores estadísticos aplicables al ganglio centinela

Cemmona		
Indicador	Fórmula	
Sensibilidad	VP / VP + FN	
Especificidad	VN / VN + FP	
Valor predictivo positivo	VP / VP + FP	
Valor predictivo negativo	VN / VN + FN	
Tasa de identificación	Casos en los que se encontró GC / Total de casos	
Tasa de falsos negativos Exactitud	FN / FN + VP VP + VN / Total de casos	

VN = verdadero negativo; VP = verdadero positivo; FN = falso negativo; FP = falso positivo; GC = ganglio centinela dió con los otros ganglios del territorio. Mide la posibilidad de que el GC pueda predecir el estado del territorio, ya sea negativo o positivo.

Los indicadores de mayor valor para el análisis de las diferentes series son: la tasa de identificación y la tasa de falsos negativos ya que representan el riesgo de error que tiene el método.

Son los que se toman en cuenta a fin de considerar si un cirujano está en condiciones de ingresar pacientes a ensayos clínicos en los que se prescinda del vaciamiento ganglionar.

La falla en la identificación del GC, conduce a la realización de un vaciamiento probablemente innecesario, ya que la mayoría de las pacientes con ganglios clínicamente negativos también tienen ganglios patolódicamente negativos.

La tasa de falsos negativos indica el riesgo de no identificar un territorio positivo, cuyas consecuencias, en caso de no proceder con el vaciamiento contemporáneo, son exponer al paciente a una recidiva ganglionar alejada, y a una incorrecta estadificación, lo que puede llevar a no indicar un tratamiento adyuvante sistémico útil. Deben ser cuidadosamente buscados en las publicaciones, ya que algunas incorrectamente estiman la tasa de talsos negativos empleando como denominador el total de los casos, o el total de ganglios negativos.

La tasa de falsos negativos requiere conocer el estado de los ganglios no-centinela, por lo que solo puede obtenerse de series que hagan rutinariamente el vaciamiento ganglionar o mediante la evaluación de las recurrencias regionales en el seguimiento.

Los indicadores más útiles la valoración estadística de series de GC son:

- · Tasa de identificación
- Tasa de falsos negativos
- Exactitud

## Bibliografía

- Albertini JJ, Cruse CW, Rapaport D et al.: Intraoperative radiolymphoscinitigraphy improves sentinel lymph node identification for patients with melanoma. Ann Surg 1996; 223: 217-224.
- Alex J, Weaver D, Fairbank J et al.: Gamma probeguided lymph node localization in malignant melanoma. Surg Oncol 1993; 2: 303.
- Allen PJ, Zhang ZF, Coit DJ, et al: Surgical management of Merkel cell carcinoma. Ann Surg 1999; 229: 97-105.
- Balch CM and Lange JR. Lymphatic mapping and sentinel node lymphadenectomy for cancer: An

- overview. Ann Surg Oncol 2001; 8 (9S): 1-4.
- Balch CM, Soong SJ, Milton GW, et al. A comparison of prognostic factors and surgical result in 1788 patients with localized (Stage I) melanoma treated in Alabama, USA, and New South Wales Australia. Ann Surg 1982; 198: 877.
- Bostick P, Essner R, Glass W, Kelley M, et al: Comparison of blue dye and probe-assisted intraoperative lymphatic mapping in melanoma to identify sentinel nodes in 100 lymphatic basins. Arch Surg 1999; 134: 43-49.
- Byers RM: Modified neck dissection: a study of 967 cases from 1970 to 1980. Am J Surg 1985; 150: 414.
- 8. Cabanas RM: An approach for the treatment of penile cancer. Cancer. 1977: 39: 456.
- Chapuis PH, Dent OF, Fisher R, et al. A mul-fivariate analysis of clinical and pathological variables in prognosis after resection of large bowel cancer. Br J Surg 1985: 72: 698-702.
- Clary BM, Brady MS, Lewis J, Coit DG. Sentinet lymph node biopsy in the management of patients with primary cutaneous melanoma: Review of a large single institutional experience with an emphasis on recurrence. AnnSurn 2001: 293: 250-258.
- Cochran AJ, Huang RR, Guo J and Wen DR. Current practice and future directions in pathology and laboratory evaluation of the sentinel node. Ann Surg Oncol 2001; 8(95): 13-17.
- Cochran AJ, Huang RR, Guo J, et al: Current practice and future directions in pathology and laboratory evaluation of the sentinel node. Ann Surg Oncol 2001; 8: 13-17.
- Cox CE, Bass SS, Reintgen DS: Techniques for lymphatic mapping in breast carcinoma. Surg Oncol Clin North Am 1999: 8: 447-469.
- Dowlatshahi K, Fan M, Snider HC, et al.: Lymph node micrometastasis from breast carcinoma: Reviewing the dilemma. Cancer 1997; 80: 1188-1197.
- El-Tamer MB, Saouaf R, Wang t, Fawwas R. A new single agent, blue and radioactive, for sentinel node detection. Abstract Nº 91. Abstract Book Society of Surgical Oncology, 55th Annual Cancer Symposium, 2002; March 14-17.
- Eubus D, Leitch AM, Huth J et al: Hot, blue or not and blue: maximizing the accuracy of mammary sentine lymph node (SLN) biopsy (abstract). Presentado en el 52<sup>rd</sup> Annual Meeting of the Society of Surgical Oncology: March 4 - 7, 1999; Orlando; Florida, Estados Unidos.
- Fukui Y, Yamakawa T, Toshikatsu T, et al. Sentinel node biopsy in patients with papillary thyroid carcinoma. Cancer 2001; 92: 2868-2874.
- Gershenwall JE, Tseng CH, Thompson W et al: Improved sentinel lymph nodelocalization in patients with primary melanoma with the use of radiolabeled colloid, Surgery, 1998; 124: 203.
- Gibbs J, Kane J, Rodriguez-Vigas M, Petrelli N. Intracperative hepatic lymphatic mapping in patients with colorectal liver metastases (Abstrac) Ann Surg Oncol 2001; (5) 8: 107 S.
- Giuliano AE, Jones RC, Brennan M, et al: Lymphatic mapping and sentinel lymphadenec-tomy for breast cancer. Ann Surg 1994; 220: 391.
- Giuliano AE, Jones RC, Brennan Murray, et al: Sentinel lymphadenectomy in breast cancer. J Clin Oncol 1997; 15: 2345.
- Godellas CV, Berman C, Lyman G et al: The identification and mapping of of melanoma regional nodal metastasis: Minimally invasive surgery for the diagnosis of nodal metastasis. Am Surg 1995; 61: 97.

- 23 Gould EA, Winship T, Philbin PH, Hyland Kerr H: Observation on a "sentine! node" in cancer of the particle Cancer 1980; 13:77-78.
  24 Hardidd EF Costello D, Beinton DS: Regionalised
- Haddad FF, Costello D, Reintgen DS: Radioguided surgery for melanoma. Surg Oncol Clin North Am 1999; 3: 413-426.
- Hiratsuka M, Mishayiro I, Ishikawa O, et al: Application of sentinel node biopsy to gastric cancer surgery. Surg 2001; 129: 335.
- Hung JC, Wiseman GA, Wahner HW, et al: Filtered technetium-99m-sulfur colloid evaluated for lymphschitigraphy. J Nucl Med 1995; 36: 1895.
   Jannink I, Fan M, Nagy S, et al: Serial sectioning of
- sentinel nodes in patients with breast cancer: A pilot study, Ann Surg Oncol 1998; 5: 310. 28. Keene SA, Demeure MJ. The clinical significance of
- micrometastases and molecular metastasis, Surg 2001; 129: 1-4,
- 29 Krag DN, Meijer SJ, Weaver DL, et al: Minimal access surgery for staging of malignant melanoma. Arch Surg 1995; 130: 654.
- Krag D, Weaver DL, Alex JC et al: Surgical resection and radiolocalization of the sentinel lymph node in breast cancer using a gamma probe. Surg Oncol 1993; 2: 335.
   Leong SP, Donegan E, Heffernon W et al. Adverse
- reactions to isosulfan blue during selective sentinel lymph node dissection in melanoma. Ann Surg Oncol 2000; 7: 361-6. 32. Leong SPL, Steinmetz I, Habib FA et al: Optimal
- selective sentinel lymph node dissection in primary malignant melanoma. Arch Surg 1997; 132:666. 33. Liefers GJ, Cleton Jasen AM, van de Velde CJ, et al.
- Liefers GJ, Cleton Jasen AM, van de Velde CJ, et al. Micrometastasis and survival in stage II colorectal cancer. N Engl J Med 1998; 339: 223.
- 34. Liptay MJ, Grondin SC, Fry WA, et al: Intraoperative sentinel lymph node mapping in non small cell lung cancer improbves detection of micrometastasis. J Clin Oncol 2002; 20: 1984-1988.
- McMasters KM, Reitgen DS, Ross MI, Wong SL, et al: Sentimel lymph node biopsy for melanoma: How many radioactive nodes should be removed? Ann S Oncol 2001; 8 (3): 192-197.
- Montesinos MR, Falco JE, Mezzadri NA, Sinagra DL, Debonis DL y Curutchet HP. Valor del vaciamiento inguina Inelanoma cutáneo. Rev Argent Cirug. 1999; 76: 80-88.
- Montesinos MR, Falco JE, Sinagra DL, Mezzadri NA, Debonis DL y Curutchet HP. Análisis del empleo del vaciamiento axilar en metanoma. Rev Argent Cirug. 2000; 78: 207-211.
- Morita ET, Chang J, Stanley L: Principles and controversies in lymphoscintigraphy with emphasis in breast cancer. Surg Cl North Am 2000; 80: 1721.
- Morita ET, Chang J, Stanley L: Principles and controversies in lymphoscintigraphy with emphasis in breast cancer. Surg Cl North Am 2000; 80: 1721.
- Morton DL, Chan AD: Current status of intraoperative lymphatic mapping and sentinel lymphadenectomy for melanoma: is it standard of care? J A Colleg Surg 189: 214,1999.
- 41 Morton DL, Duan Ren W, Wong JH et al. Technical details of intraoperative lymphatic mapping for early

- stage melanoma. Arch Surg 1992; 127: 392.
- Morton DL, Thompson JF, Essner R, et al: Value of the accuracy of intraoperative lymphatic mapping and sentinel lymphadenectomy for early stage melanoma. Ann Surg 1999; 230; 453.
- Mozzillo N, Chiesa F, Botti G, et al. Sentinel node biopsy in head and neck cancer. Ann S Oncol 2001; 8(9S): 103-105.
   Nathanson D, Anava P, Karvelis KC, et al. Sentinel lymph
  - node uptake of two different technetium labeled radiocolloids. Ann Surg Oncol 1997; 4: 104-10.
- Nieweg OE, Tanis PJ, Kroon BBR. The definition of a sentinel node. Ann S Oncol 2001; 8:538-41.
- Olmos RAV, Hoefnagel CA, Nieweg OE, et al. Lymphoscintigraphy in oncology: A rediscovered challenge. Eur J Nucl Med 1999; 26(suppl): 2,1999.
- Raja Siva, Luketich JD, Ketly LA et al. Rapid, quantitative reverse transcriptase-polymerase Cain reaction: Application to intraoperative molecular detaction of occult metastases in esophageal cancer. J Thorac Cardiovase Surg 2002; 123-475-89.
- Rotholtz NA, Peczan CE, Heidenreich A, Mezzadri NA. Factibilidad técnica del mapeo linitático en el cancer colorrectal. Experiencia inicial. En prensa Rev Argent Cirug.
- Saha S, Dean N, Wong JH, Weise D. Sentinel lymph node mapping in colorectal cancer: a review. Surg Clin. North Am 2000; 80: 1811-19.
- Shivera SC, Stall A, Goscin C, Trudeau W, Ll W, Hadad F and Reintgen DS. Molecular Staging for melanoma and breast cancer. Surg Cl North Am 1999; 8: 515-524.
- Strand SE, Persson BRR: Quantitative lymphoscintigraphy: Basis concepts for optimal uptake of radiocolloids in the parasternal lymph nodes in rabbits. J Nucl Med 1981; 20: 1038.
- Taylor AT, Murria D, Herda S, Vansant J, Alazraki. Dynamic lymphoscintigraphy to identify the sentinel and satellite nodes. Clin Nucl Med 1996; 221; 755-8.
- Teichgraeber JF, Clairmont AA. The incidence of occult metastases for cancer of the craft tongue and floor of the mouth treatment rationale. Head Neck Surg 1984; 7: 15-21.
- 54. Tsioulias GJ, Wood TF, Morton DL and Bilchik AJ. Lymphatic mapping and focused analisis of sentinel lymph nodes upstage gastrointestinal neoplasms. Arch Surg 2000; 135: 926.
- Uren RF, Howman-giles RB, Thompson JF et al, Lymphoscintigraphy to identify sentinel nodes in patients with melanoma. Melanoma Res 1994; 4: 395-99.
- Vera DR, Wisner ER, StadalnikRC. Sentinel node imagin via a non particulate receptor-binding radiotracer. J Nucl Med 1997; 38:530-5.
- Veronesi U, Paganelle G, Viale G et al: Sentinel lymph node biopsy and axillary dissection in breast cancer: results in a large series. J Natl Cancer Inst 1999; 91: 373.
- Waddington WA, Keshgar MRS, Ell PJ. Optimal nuclear Medicine support in sentinel node detection. Ann S Oncol 2001; 8: 9-12S
- Wong JH, Cagle LA, Morton DL: Lymphtic drainage of skin to a sentinel lymph node in a feline model. Ann Surg 1991: 214: 637.

## CAPITULO III MELANOMA

- 1. Introducción
- 2. Mapeo linfático en melanoma
- 3. Linfocentellografía preoperatoria
- 4. Mapeo linfático intraoperatorio
- 5. Anatomía patológica
- 6. Resultados
- 7. Protocolos multicéntricos en marcha
- 8. Control de calidad
- 9. Utilidad del mapeo linfático
- 1. Introducción
- 1.1. ¿Cuáles fueron las alternativas de tratamiento de los gangllos clínicamente negativos?
- 1.2. ¿Qué valor tienen los resultados de los estudios retrospectivos?
- 1.3. ¿Cuáles fueron las conclusiones de los estudios prospectivos?
- 1.1. ¿Cuáles fueron las alternativas de tratamiento de los ganglios clínicamente negativos?

Los ganglios regionales son el sitio donde asientan más comúnmente las primeras metástasis del melanoma (60-70%)<sup>a</sup>. Su presencia representa el factor pronóstico independiente más importante.

Disminuye la supervivencia entre un 20 y un 50%; siendo inversamente proporcional al número de ganglios metastáticos. Una vez que las metástasis ganglionares ocurren, variables del tumor primario, como nivel de Clark, Breslow, ulceración, regresión y tipo histológico, tienen poco valor pronástico. Por todas estas razones, son comprensibles los estuerzos realizados para establecer un manejo adecuado de estos ganglios.

Hasta hace poco tiempo la única forma de idenrificar metástasis en los ganglios regionales era realizar una linfadenectomía y el estudio anatomopatológico de un corte de todos los ganglios, teñido con H&E. Con esta táctica se hacía un muestreo de una pequeña porción del volumen ganglionar total, subestimando la frecuencia de metástasis. Independientemente del cuestionable valor como método de estadificación, la linfadenectomía fue utilizada por su potencial valor terapéutico.

Ante la presencia de ganglios clínicamente positivos, (Estadio III), fue y continúa siendo la única terapéutica eficaz para controlar la enfermedad regional.

El rol de la linfadenectomía electiva en el estadio I y II (ganglios clínicamente negativos) ha sido uno de los más importantes temas de debate en la literatura médica. Desde 1892 en que Hebert Snovi<sup>16</sup> aconsejaba una resección ampila del melanoma y vaciamiento electivo, se han presentado controversias en el manejo de los ganglios regionales, estableciéndose claramente dos posturas:

- Linfadenectomía electiva (LE) o profiláctica. Indicada en pacientes con ganglios no palpables con riesgo aumentado de metástasis ganglionares.
- Observación. Realizaban la linfadenectomía únicamente ante la aparición de metástasis ganglionares durante el seguimiento (linfadenectomía terapéutica).

La supervivencia a 5 años de pacientes con ganglios macroscópicamente invadidos es del 20 al 30%, mientras que la de los que tienen uno o dos ganglios con invasión microscópica (clínicamente negativos) es de 50 a 70% (Tabla 1).

Ante esta evidencia, parecería una fácil y atrayente elección efectuar una LE en todos los pacientes con ganglios clínicamente negativos.

 Los defensores de la LE sostenían que en estadios iniciales, los melanomas se diseminan en 450 2002

TABLA 1
Supervivencia a 5 años en pacientes con ganglios regionales positivos, de acuerdo a la presentación clínica.

Investigador	Supervivencia a 5 años. Ganglios positivos			
	Clinicamente negativo (%)	Clinicamente positivo (%)	Diferencia (%)	
McNeer, 1964**	52	19	33	
DasGupta, 197728	69	20	49	
Balch, 1981"	48	24	24	
Callery, 198217	48	36	12	
Roses, 1985 <sup>101</sup>	44	20	24	
Morton, 1991**	59	43	16	

Clínicamente negativo indica que el ganglio era no palpable o no sospechoso. Modificado de Ross MI<sup>103</sup>.

forma secuencial y predecible, primero a ganglios regionales y luego a distancia. Por lo tanto, la resección de los ganglios linfáticos con micrometástasis, prevendría las metástasis a distancia. El espesor tumoral (Breslow) es el factor pronostico más sensible para predecir la aparición de metástasis ganglionares y sistémicas<sup>11</sup>. Al proveer una estimación cuantitativa de ellas, es de suma

Los melanomas con espesor menor a 1.5 mm raramente producen metástasis ganglionares o sistémicas y se curan en el 95% de los casos con una resección amplia, por lo tanto la LE no tendría beneficios terapéuticos en ellos.

importancia para seleccionar que pacientes se

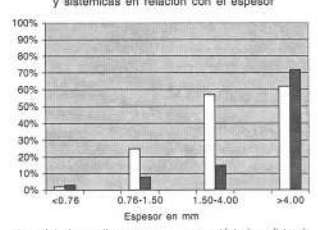
beneficiarían con una LE (Figura 1).

En los de espesor intermedio (1.5-4 mm), el resgo de metástasis ganglionares es elevado (60%) y relativamente bajo el de metástasis sistémicas imenos del 20%). Estos pacientes tienen teóricamente el mayor potencial de obtener una ventaja en la supervivencia con la LE<sup>TA, BR, 19</sup>.

Por último, los melanomas de mayor espesor lmás de 4 mm) tienen un alto riesgo de metalsa se ganglionareo (>60%) y a distancia (>70%)<sup>10</sup>. En ellos, el riesgo de estar diseminados es tan alto que la posibilidad de curación prácticamente no existe y no se obtendría ningún beneficio en la supervivencia con la LE.

 Los detractores de la LE consideran que los ganglios linfáticos no tienen función de barrera mecánica a la diseminación tumoral, Sostienen

Riesgo de desarrollar metástasis ganglionares y sistémicas en relación con el espesor



□ metástasis ganglionares ■ metástasis a distancia

FIGURA 1 Adaptado de Ross<sup>103</sup>.

que el melanoma no se disemina siguiendo un patrón "halstediano", primero a ganglios y luego en forma sistémica, sino que la diseminación linfática y hemática se realiza en paralelo. En otras palabras, un ganglio positivo no es considerado como un predecesor de diseminación sino como un indicador de ella.

Aunque era opinión unánime que no todos los pacientes con melanoma necesitaban una LE, el debate continuaba centrado en dos aspectos:

- a) Si era posible identificar con seguridad a un subgrupo de pacientes portadores de melanoma con alto riesgo de metástasis ganglionares y un bajo riesgo de metástasis sistémicas ocultas, que justificara un procedimiento terapéutico regional y
- b) ¿Cuál era el momento oportuno para realizar
   la linfadenectomía (inmediata vs. tardía) si este
   grupo de alto riesgo podía ser identificado?

# Las alternativas terapéuticas en pacientes con ganglios clínicamente negativos fueron:

- Linfadenectomía electiva.
- Observación. Linfadenectomía terapéutica ante la aparición clínica de metástasis.

## 1.2. Qué valor tienen los resultados de los estudios retrospectivos?

Los estudios mas frecuentemente citados que apoyan la LE provienen de la Universidad de Alabama y del Melanoma Cilnic del Sydney Hospital en New South Wales<sup>10, 10, 10, 10, 10</sup>. Reportan una diferencia significativa en la supervivencia a 5 y 10 años de los pacientes tratados con resección y LE comparado con los enfermos tratados con resección local solamente. Sin embargo, la gran diferencia en la supervivencia entre los dos grupos fue interpretada como un inusual pobre resultado (20 a 40% de supervivencia a 10 anos) de los pacientes tratados con resección solamente. Muchas series obtienen supervivencias significativamente mayores con este tratamiento<sup>11, 4,50, 10,6</sup>, 10,9

En otras palabras, la supervivencia de pacientes tratados con LE en los estudios de Alabama y New South Wales no es significativamente mayor que la observada en pacientes tratados con resección local solamente en otras series.

- Los estudios retrospectivos muestran beneficio en la supervivencia de los pacientes tratados con LE.
- Sus resultados son cuestionables metodológicamente.

### 1.3. Cuáles fueron las conclusiones de los estudios prospectivos?

Se realizaron 4 estudios prospectivos, randomizados para evaluar la LE en pacientes con melanoma estadios I y II:

- Organización Mundial de la Salud (WHO Melanoma Group, Trial#1)<sup>6, 20, 120</sup>
- a) Diseño: se incluyeron 553 pacientes con estadios I y II de melanoma, randomizados de acuerdo al tratamiento en 1) resección radical y observación, y 2) resección radical y LE.
- h) Resultados: No existió diferencia significativa en la supervivencia a 10 anos.
- c) Criticas:
  - Fueron incluidos únicamente melanoma de los dos tercios distales de los miembros, (85% mujores). Ellas conforman el subgrupo más favorable y tienen poca probabilidad de beneficiarse con la LE.
  - Fueron incluidos metanoma de todas las profundidades sin estratificación por ulceración 100.
  - En el subgrupo de espesor intermedio, la ulceración fue encontrada más fracuentemente en el grupo con LE (52% contra 19%). Los pacientes del brazo de observación representaban un subgrupo más favorable.

#### Organización Mundial de la Salud (WHO Melanoma program, Trial#14)<sup>56, 20</sup>

- a) Diseño: incluyo 252 pacientes con melanomas de tronco de alto riesgo (espesor mayor a 1.5 mm) randomizados de manera similar al estudio anterior.
- b) Resultados: No hubo diferencia en la supervivencia global entre los 2 grupos. En una puesta al día de este estudio, con 8 años de seguimiento, Cascinelli no encontró diferencia significativa en la supervivencia global, pero si entre pacientes con ganglios positivos<sup>20</sup>. La supervivencia a 5 años fue:
  - . En quienes recibieron LE: 48.2%
  - En aquellos en que se realizo una linfadenectomía terapéutica una vez que las metástasis se hicieron dinicamente evidentes: 26,6% (p = 0.04).
     Concluye que la LE mejora la supervivencia únicamente en pacientes con metástasis ganglionares.
- c) Críticas: No realizan LCP. La linfadenectomía profiláctica pudo realizarse en un territorio equivocado<sup>13</sup>.
- 3) Clínica Mayo 107
- a) Diseño: 171 pacientes con melanoma estadio I fueron estratificados de acuerdo a la localización de la lesión y luego randomizados en tres grupos: 1) observación, 2) LE immediata y 3) LE 60 a 90 días después de la resección (tardía).
- Resultados: No hubo diferencia significativa en la supervivencia global entre los tres grupos de tratamiento.
- c) Critica:
  - · Tiene una población insuficiente.
  - . No realizan LCP.

- 4) Intergroup Melanoma Trial<sup>3</sup>
- a) Diseño: Incluye 740 pacientes con melanoma estadio I y II, de espesor intermedio (1 a 4 mm) randomizados entre LE y observación. La población fue estratificada de acuerdo a factores pronásticos mayores: profundidad, focalización y ulceración, y seguida por 10 a 15 años. Utiliza la LCP.
- Der:

  Di Resultados: La supervivencia global a 10 años no fue diferente entre los dos grupos de tratamiento (77% vs. 73%, p = 0.12). En un análisis retrospectivo un subgrupo de pacientes mostró mejor supervivencia a 5 años con LE. Fue el de 264 pacientes de 60 años o menores con espesor de 1 a 2 mm y sin ulceración (97% contra 87%, p = 0.005). Estas diferencias fueron corroboradas posteriormente evaluando la supervivencia a 10 años?
- c) Crítica: El beneficio en la supervivencia es solo aparente cuando se analizan subgrupos. Muchos estadísticos no están de acuerdo con la técnica de análisis de subgrupos, que pueden mostrar diferencias en estos, cuando en la población general no la muestra. Aconsejan una estratificación de las variables desde el inicio del estudio y un aumento del número de pacientes para daria el estudio una potencia adecuada.

Wong<sup>150</sup>, opina que la falla de estos trabajos prospectivos fue la imposibilidad de realizar una adecuada estadificación. Los únicos pacientes que obtendrían una mejoría en la supervivencia con la LE son aquellos que en el momento de la operación presentan ganglios positivos pero no han desarrollado concomitantemente metástasis a distancia. Este subgrupo de pacientes representa un porcentaje muy pequendo de la población estudiada y crea la posibilidad de que estos estudios puedan tener una insuficiente potencia estadística para identificar ventaja en la supervivencia.

#### En sintesis:

- La LE tiene la ventaja de tratar las metástasis ganglilonares en una etapa temprana, pero a su voz la desventaja de realizar una linitadenectomía a muchos pacientes (80%) que no tienen metástasis ganglionares, lo que implica morbillidad y aumento de costos<sup>60, 81</sup>.
- La observación y eventual linfadenectomía terapéutica tiene la ventaja de que son operados solamente pacientes con metástasis ganglionares comprobadas, y la gran desventaja que en aquellos pacientes con ganglios positivos el trata-

miento se realiza en una etapa tardía, donde el 70 a 85% de ellos presentan micrometástasis a distancia<sup>100</sup> y las posibilidades de curación son mucho menores (25% de supervivencia a 10 años).

- No hubo diferencia en la supervivencia global entre LE y observación.
- Pacientes con metástasis ocultas que recibieron una LE tuvieron un beneficio significativo en la supervivencia global en comparación con aquellos en que se realizó una linfadenectomía terapéutica cuando las metástasis fueron evidentes.
- Pacientes menores de 60 años con melanomas no ulcerados de espesor intermedio (1-2mm) mejoraron su supervivencia con la LE.

## 2. Mapeo linfático en melanoma

- 2.1. ¿Cómo se desarrolló el concepto de biopsia del GC en melanoma?
- 2.2. ¿En qué pacientes está indicado?
- 2.3. ¿En guiénes está contraindicado?
- 2.1 ¿Cómo se desarrolló el concepto de biopsia del GC en melanoma?

El ML y biopsia del GC fue propuesto como un método para estadificar los ganglios lintáticos regionales sin realizar una linfadenectomía electiva.

Ofrece el vaciamiento gangllonar únicamente a aquellos pacientes con enfermedad regional, transformando los vaciamientos electivos en terapéuticos. Evita por lo tanto la morbillad del procedimiento en ausencia de compromiso regional.

El concepto de GC en melanoma está basado en 2 hipótesis:

- a) El drenaje linfático de la piel es un proceso ordenado que se puede predecir mediante el mapeo de los linfáticos que salen de un determinado territorio hasta el primer ganglio de drenaje o centinela (GC).
- b) El melanoma producirá metástasis en el GC antes de comprometer otro ganglio del grupo. Por lo tanto, la histología del GC reflejará la del resto de los canglios del territorio.

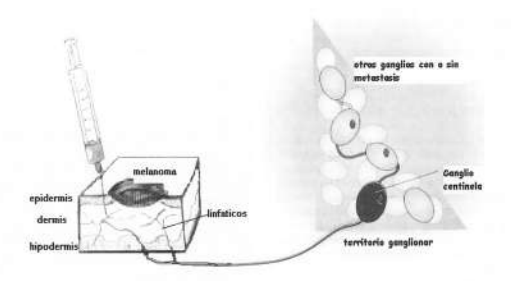


FIGURA 2 Esquema del ganglio centinela en melanoma.

En otras palabras, si el GC es negativo, el resto de los ganglios también lo seráss.

Morton luego de varios años de estudio del drenaje linfático del melanoma elaboró la hipótesis de que éste se realiza desde el tumor primario hacia un ganglio específico67. En su trabajo original estudió 223 pacientes consecutivos. Invectaba el colorante en la dermis, alrededor del tumor. Realizaba a continuación una incisión en el territorio linfático de drenaje con riesgo de presentar metástasis, la que era definida por linfocentellografía preoperatoria y extraía el o los ganglios coloreados. Luego completaba el vaciamiento ganglionar para comparar la histología de los GC con la del resto de los ganglios. El éxito global de la detección fue del 82%. El porcentaje de GC positivos fue del 21% (12% diagnosticados con H&E y 21% con IHQ), y el de falsos negativos del 1%. Este trabajo demostró, además de la factibilidad del método, que el GC predecía el estado tumoral (presencia o no de metástasis) del territorio ganglionar en el 99% de los casos (Tabla 2).

Para determinar si el GC predecía el estado tumoral ganglionar por azar solamente, comparó la incidencia de metástasis en GC y en GnoC. Encontró metástasis en 47 de 259 GC (18%) contra solo 2 de 3079 GnoC (<0.1%) (p<0.0001), confirmando que la capacidad predictiva del GC no era debida al azar.

TABLA 2 Distribución de metástasis ganglionares en GC y GnoC

Nº Extraordinario

	n	%
Linfadenectomías	237	100
Identificación GC	194	82
Territorios con metástasis ganglionares	40	21
GC positivos	38	20
GnoC positivos únicamente	2	1

GC: Ganglio Centinela, GnoC: Ganglio no Centinela, Adaptado de Mortoner.

Estos hallazgos iniciales fueron reproducidos y validados por otros autores, realizando algunos la linfadenectomía luego de buscar el GC, mientras que otros la realizaban únicamente si el GC era positivo como se describe en la Tabla 3.

Mientras Morton desarrollaba su técnica con colorante, Krag y Alex en la Universidad de Vermount demostraron que la invección intradérmica de un radiofármaco seguida de un ML asistido por un detector portátil de rayos gamma (gammaprobe) puede obtener los mismos resultados que el ML con colorante<sup>2,3</sup>.

Combinando ambas técnicas, en el Lee Moffitt Cancer Center tuyieron un éxito en la identificación del 99.5%197. La opinión actual es que ambas téc-

TABLA 3
Publicaciones iniciales sobre mapeo linfático en melanoma.

Investigador	n	LE	Tasa de identificación (%)	GC positivo (%)
Morton, 1992*7	223	Si	82	22
Morton, 1993 <sup>88</sup>	72	No	90	15
Reintgen, 199495	42	Si	100	19
Thompson, 1995116	118	Si	87	21
Albertini, 1996¹	106	No	96	15
Leong, 1997 <sup>67</sup>	163	No	98	18
Lingam, 1997 <sup>69</sup>	35	No	100	26
Relatores, 199738	64	No	92	23

nicas son complementarias y su combinación hace posible disminuir la curva de aprendizaje y el procedimiento más reproducible.

Los componentes del ML y biopsia del GC son:

- Linfocentellografia preoperatoria,
- Mapeo linfático intraoperatorio
- Estudio anatomopatológico.
- La biopsia del GC surge como alternativa a la LE para la estadificación regional del melanoma.
- La hipótesis del GC y la factibilidad del método fueron validadas por diferentes investigadores.
- La técnica combinada (colorante y gammaprobe) es la que permite la mayor tasa de identificación.

## 2.2 ¿En qué pacientes está indicado?

La mayoria de los autores indica el ML en aquellos pacientes con melanoma que tengan un riesgo de presentar metástasis ganglionares ocultas mayor al 5%.

Este riesgo es calculado sobre la base del espesor, localización, sexo y presencia de ulceración o regresión.

 Morton, del John Wayne Cancer Institute, realiza la estadificación con GC en aquellos pacientes que tienen un riesgo estimado de metástasis ganglionares del 10% o superior<sup>39</sup>. Abarca a los melanomas de 1 mm o más de espesor o Clark IV. Incluye también a los hombres con melanomas menos profundos localizados en tronco o cabeza y cuello y aquellos cuyo tumor ha sido resecado con una biopsia "en afeitada" o muestran evidencia histológica de regresión<sup>59, 56, 67</sup>,

 Reintgen, en el Lee Moffitt Cancer Center indica la biopsia del GC en melanomas de 0.76 mm de espesor o mayor<sup>49</sup>.

Para identificar pacientes con melanomas de poco espesor (< de 1 mm), con alto riesgo (10%) de presentar metástasis, toma en cuenta varios factores pronósticos: nivel Clark IV o mayor, ulceración, regresión, sexo masculino y ubicación axial<sup>27</sup>. Pacientes con estos factores pronósticos son tratados como si tuvieran lesiones más profundas y le investigan el GC aún en lesiones menores de 0.76 mm.

Los enfermos con melanoma de gran espesor (más de 4 mm) con ganglios clínicamente negativos, tienen un alto riesgo tanto para meltastasis a distancia como regionales. La presencla de GC negativos está asociada con un aumento en la supervivencia libre de enfermedad
y global a 3 años (42 y 35%). En el pasado,
no se recomendaba la LE porque no ofrecía
beneficio en la supervivencia y se realizaba
recién cuando los ganglios se hacían clinicamente evidentes. Actualmente indica la biopsia del GC para seleccionar los pacientes con
ganglios positivos que pudieran beneficiarse con
rarapia adyuvante. 8.7. Se evita de esta manera

el tratamiento sistémico en pacientes con ganglios negativos en los que no esta demostrado beneficio "tiz".

En pacientes con melanoma de 0.76 a 1 mm de profundidad, el risego de metástasis ganglionares es menor al 6%. A esta población le ofrece el procedimiento como una opción. Habitualmente, a pesar del poco riesgo de presentar metástasis, los pacientes optan por realizarlo.

# Los Relatores consideran las siguientes indicaciones para el ML:

Profundidad	Sexo	localización	Otros
>1mm.	M/F	Cualquiera	11.
<1mm.	M/F	Cualquiera	Ulcerado
<1mm.	M/F	Cualquiera	Clark IV
>0.75	M	Axial	
Cualquiera	M/F	Cualquiera	regresión
No comprobable	M/F	Cualquiera	

## 2.3. ¿En quiénes está contraindicado?

Morton no realiza el procedimiento:

- Si las adenopatías son palpables.
  Cuando el melanoma ha sido resecado con margen oncológico (más de 2 cm).
- Si existe cirugía previa en el territorio de drenaje linfático.

Cuando existe una resección radical previa la contraindicación es relativa y esta basada en la sospecha de que la alteración del drenaje linfático disminuye la efectividad del método. Sin embargo, Karakousis en estas situaciones obtiene un porcentaje de detección del 100% realizando la inyección intradérmica del colorante y radiolármaco en el extremo de la cicatriz que está en relación con el territorio ganglionar de drenaje<sup>57</sup>. En un reciente estudio multicéntrico que incluyó 76 pacientes con resección amplia del melanoma, Evans obtuvo tasas de identificación y positividad del GC similares a aquellos que no tenían resección previa.<sup>34</sup>

Pacientes que han tenido recientemente un procedimiento quirurgido en el territorio ganglionar o entre éste y el primario son excluidos del ML por la probable alteración que pudieran haber tenido las vías de drenaje linfático. La eficacia del ML probablemente no se afecte si el procedimiento quirurgico fue realizado antes de la aparición del melanoma.

## Contraindicaciones relativas

- Resección radical previa.
- Cirugía previa en el territorio ganglionar.
   Cicatriz entre el tumor primario y el territorio ganglionar.
- Drenaje a tres o más territorios ganglionares.

### Contraindicaciones absolutas

## Adenopatías palpables.

- Embarazo.
- · Melanoma ocular y de mucosas.
- · Alergia al colorante y/o radiofármaco

## 3. Linfocentellografía preoperatoria

- ¿Cuál es la técnica de la linfocentellografía preoperatoria (LCP)?
- 3.2. ¿Cuáles son las variedades de drenaje entre el melanoma y el GC?
- 3.3. ¿Qué patrones de drenaje linfático cutáneo pueden verse con la LCP?
- 3.4 ¿Cuáles son las ventajas de la linfocentellografía preoperatoria?

Diferentes estudios apoyaron el uso de la linfocentellografía para definir el territorio de drenaje del melanoma.

- En 1977, Morton describió el uso de la linfocentellografía cutánea para identificar los territorios linfáticos con riesgo de metástasis en melanomas ubicados en sitios de drenaje linfático ambiguo como la línea media de dorso y región periumbilical<sup>19</sup>.
- Norman comparó el drenaje linfático identificado por linfocentellografía con el esperable por la experiencia clínica y conocimientos anatómicos. Encontró una discordancia en el 63% de los pacientes con melanoma de cabaza y cuello y en un 32% de los ubicados en el tronco<sup>100</sup>. No halló luego de tres años, recurrencias en territorios que habían sido negativos para la linfocentellografía. Concluyó que si el tratamiento estaba basado en la experiencia clínica, podía tener un error mayor al 50%.
- Uren describió un número importante de drenajes anómalos en melanomas de dorso, periumbilicales y de cuero cabelludo<sup>118</sup>.

Por último, no solamente se intentó determinar el territorio ganglionar de drenaje, sino también el ganglio de set territorio que tenia más probabilidades de alojar una metástasis o GC. Para lograr esto, el único cambio realizado a la linfocentellografía clásica fue la obtención de imágenes tempranas para detectar qué ganglio era visualizado primero, y realizar una marca indeleble en el área de provección culánea.

# 3.1. ¿Cuál es la técnica de la linfocentellografía preoperatoria (LCP)?

Se realiza en Medicina Nuclear el día anterior u horas previas a la cirugía. El paciente se coloca en una posición similar a la que tendrá en la operación. Los límites corporales deben ser marcados y estar presentes en todas las imágenes para facilitar la interpretación de los resultados.

Utilizamos habitualmente Albúmina coloidal Tc<sup>®</sup>, o una aguja fina (25-27 G) peritumoral o alrededor de la cicatriz si el melanoma fue resecado. Se realiza en forma intradérmica, para poder mapear los lintáticos dérmicos, que son a través de los cuales las células del melanoma metastatizan. La invección accidental en el tejido subcutáneo puede resultar en la detección de un GC equivocado e en la falla completa de la técnica por inadecuada mioración.

Los agentes penetran en el vaso linfático y migran junto con la linfa, produciendo un mapa del drenaie linfático.

Imágenes tempranas y dinámicas revelan el movimiento del trazador a través de los vasos lintáticos. Imágenes tardias muestran los ganglios<sup>20, 36</sup>.

El tiempo para tomar las imágenes depende del radióriamaco utilizado y del flujo linfático esperado para cada zona anatómica. Tejidos ricos en linfáticos, tienen una rápida salida del trazador desde el sitio de inyección. La distribución del trazador en espacios compactos y densos, genera una alta presión forzando al agente a penetrar en los vasos linfáticos más rápidamente. Contrariamente, la inyección en espacios amplios y laxos requiere más tiempo y volumen para que el agente actúe en forma eficiente. El calor y los masajes

aumentan el flujo, disminuyendo el tiempo del estudio.

Existen varios protocolos para la toma de imagenesis. 12. Luego de la inyección del trazador se realizan registros dinámicos en la cámara gamma de todos los territorios lintáticos con riesgo de metástasis durante 5 a 10 minutos. Se obtienen imágenes cada 20 minutos por un período de 2 hs. Imágenes laterales y oblicuas pueden ayudar a determinar la profundidad del ganglio con respecto a la piel. Habitualmente se utilizan imágenes planares, aunque son posibles imágenes tridi-mensionales con SPCCT (cámara gamma asociada a TC), muy útiles para determinar la profundidad del qanglio.

Una vez ubicado el o los GC, se realiza una marca indeleble sobre su proyección cutánea que sirve de guía para la ubicación intraoperatoria. Se informa además la profundidad del ganglio con relación a la piel y el tiempo que demoró en marcarse.

#### La técnica de los autores consiste en:

- Radiofármaco: Albúmina coloidal Te<sup>59</sup>.
   Dosis: 450 uCi.
- Inyección intradérmica peritumoral o pericicatrizal, 2 a 24hs previas.
- · Registro dinámico precoz.
- Imágenes planares cada 20 minutos durante 2hs

### 3.2. ¿Cuáles son las variedades de drenaje entre el melanoma y el GC?

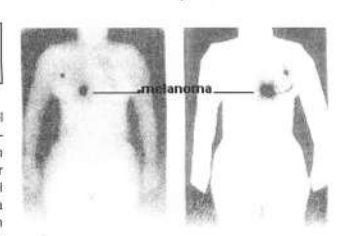


FIGURA 3 LCP. Melanoma pectoral drenando a GC axilar a través de un canalículo linfático. Vista posterior y anterior



FIGURA 4 Drenaje a través de 2 canalículos linfáticos.



FIGURA 8 Drenaje a 3 territorios ganglionares



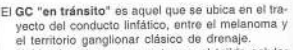
FIGURA 5 GC "en tránsito", en serie con el ganglio del territorio de drenaie.

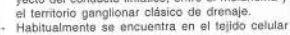


Metanoma de planta drenando a GC inquinal y luego a ganglio de 2do orden. Vista anterior y posterior.



FIGURA 6 GC "en tránsito", en paralelo con GC del territorio ganglionar.





- subcutáneo. Puede ser único o múltiple.
- Presenta drenaje "en paralelo" o "en serie" con respecto al primer ganglio del territorio.



FIGURA 7 Melanoma región sacra, drenando a 2 territorios ganglionares, (ingles)

Por definición, al recibir el drenaje linfático directamente desde el melanoma, deben ser considerados GC. Se identifican por medio de la linfocentellografía, especialmente dinámica en la parte inicial del estudio.

En la Tabla 4 se ven los territorios de drenaje linfático que Uren considera estándar119. Si los

TABLA 4
Territorios ganglionares estándar que drenan la piel

Miembros	Tronco
Axilar	Interpectoral
Ingle	Triángulo intermuscular
Popliteo	Paravertebral
Epitroclear	Retroperitoneal
	Reborde costal
	Mamaria interna
	Axilar Ingle Popliteo

Adaptado de Uren<sup>110</sup>

ganglios se encuentran fuera de estos territorios, los clasifica "en tránsito". Otros autores, sin embargo consideran como estándar, únicamente a la axila, ingle y cuello, denominando "en tránsito" a los ganglios ubicados en los demás territorios<sup>50</sup>.

#### ¿Qué patrones de drenaje linfático cutáneo pueden verse con la LCP?

Los patrones de drenaje no son predecibles individualmente. Se puede tener una información dill analizando la frecuencia con que la linfa drena a determinados territorios ganglionares desde distintas áreas de la piel. El estudio mas completo es el de Uren y Thompson del Sydney Melanoma Unit, sobre más de 2000 linfocentellografías<sup>116</sup>.

Tronco Posterior. El patrón de drenaje de los melanomas localizados en esta zona puede apreciarse en la Tabla 5.

El 33.5% de los melanomas de esta zona que drenan a la axila lo hacen en forma bilateral; de igual manera sucede en el 26% de los que drenan a la región inguinal. Se han descubierto dos territorios de drenaje linfático no esperados.

a) El más común es el drenaje a un GC del espacio triangular intermuscular, lateral a la escápala (9%). Sus liníaticos eterentes progresan hacia adelante dentro de la axila siguiendo el curso de los vasos circunflejos. Esto puede originar que el único ganglio caliente en la axila sea un ganglio de segundo orden, estando el verdadero GC en el espacio triangular intermuscular. Para identificarlos se requiere una adecuda LCP y la utilización del gammaprobe.

 En el 2.5% de los casos, drenan a través de la pared abdominal o torácica posterior hacia los ganglios paravertebrales, retroperitoneales o paraaórticos. Es importante tener en cuenta este drenaje en pacientes que presentan metástasis en dichos ganglios intraabdominales ya que representan una diseminación regional y no sistémica.

Tronco Anterior. El 21% de los melanomas de la región anterior del tórax que drenan a la axila lo hacen en forma bilateral. Los diferentes territorios de drenaje pueden observarse en la Tabla 5.

Se encontraron territorios inesperados de drenaje en melanomas de la región periumbilical. Luego de drenar hacia arriba a un ganglio \*en tránsito\* del reborde costal, el marcador cruza la línea media y atraviesa la pared costal para llegar a los ganglios de la cadena mamaria interna. Esta situación se presenta en el 4% de los casos.

Base del cuello. Tiene un patrón de drenaje particularmente impredecible. Habitualmente drenan a más de un territorio (26% presenta drenaje bilateral).

Cabeza y cuello. Varios estudios han demosrado la discordancia entre el drenaje linfático evidenciado por linfocentellografía y el supuesto clínicamente<sup>31</sup>. El 22% de los pacientes drena a ganglios diferentes de los parcitideos y de los 5 niveles cervicales estándares. Estas diferencias tienen valor diagnóstico y terapéutico, ya que los ganglios retroauriculares y occipitales no son extirpados en las linfadenectomias cervicales.

Habitualmente drenan a más territorios ganglionares que los de otras localizaciones, y se encuentran además mayor cantidad de GC (3.5 de promedio).

TABLA 5
Patrones de drenaje linfático de los melanomas de fronco

Territorio ganglionar	Tronco anterior (%)	Tronco posterio (%)
Axila	81	91
Ingle	18	10
Triangulo		
intermuscular	0	9
Paravertebral	0	2.5
Cervical	16.5	40
Reborde costal	4	0
En transito	5	9

Adaptado de Thompson<sup>116</sup>.

Miembro Superior. La gran mayoría drena a la axila (97%). Habitualmente se encuentra un solo GC, con un promedio de 1.3. Algunos drenan directamente al espaçio supraclay/cular (7%).

Los ganglios **epitrocleares** reciben el drenaje en menos del 4% de los casos, especialmente de melanomas ubicados en mano y antebrazo.

Miembro Inferior. Es exclusivo al territorio inguinal ipsilateral excepto que el paciente haya tenido una cirugía previa en dicho territorio, en cuyo caso, los canalículos linfáticos pueden atravesar la línéa media y llegar a los ganglios inguinales contralaterales.

El drenaje a los ganglios popliteos ha sido observado desde melanomas de planta y parte media del talón, dorso de pie y parte medial y baja de la pantorrilla con una frecuencia que puede llegar al 15%. Para evidenciarlos es fundamental la linfocentellografía dinámica precoz, ya que por el rápido flujo linfático del miembro inferior, tempranamente se evidencian ganglios de segundo orden.

Drenaje a múltiples territorios. Son comunes en lesiones ubicadas cerca de la línea media del tronco (anterior y posterior) y en la base del cuello. Drenajes a tres territorios son vistos ocasionalmente en lesiones periumbilicales, línea media posterior y cabeza y cuello. Los drenajes a cuatro territorios se ven casi con exclusividad en melanomas de cabeza y cuello.

### La LCP permite objetivar los territorios de drenajes linfáticos:

- · Habituales
- · No esperables:
  - . Espacio triangular intermuscular,
  - Retroperitoneal,
  - . Mamaria Interna,
  - Parotideos y occipitales

## 3.4 ¿Cuáles son las ventajas de la linfocentellografía preoperatoria?

- Identifica el o los territorios ganglionares de drenaje.
- Ubica topográficamente al GC dentro del territorio ganglionar.
- Determina el número de GC.
- · Identifica GC en tránsito

### 4. Mapeo linfático intraoperatorio

- 4.1. ¿Cómo es la técnica con colorante?
- 4.2. ¿Cómo es la técnica con colorante y radiofármaco?
- 4.3. ¿Cuál es el ganglio centinela?
- 4.4. Situaciones especiales

Inicialmente descripto con colorantes, se fue perfeccionando con la utilización de radiofármacos y gammaprobe intraoperatorio.

## 4.1. ¿Cómo es la técnica con colorante?

Anestesia: Puede realizarse con anestesia locai o general. Actualmente lo realizamos en forma ambulatoria con anestesia local y neuroleptoanalgesia<sup>37</sup>. La anestesia general es preferible en determinadas situaciones:

- Gran resección o reconstrucción de un defecto complejo.
- Localizaciones del GC como la intraparotídea donde sospechamos que la disección puede ser dificultosa.
- Cuando se requiere por la personalidad del paciente.

A pesar de que la inyección intradérmica del colorante no es confortable, es preferible realizarla sin haber infiltrado la zona con anestésico ya que puede producir alteraciones en el drenaje llinfático fisiológico y hacer fracasar el procedimiento.

Colorante: Se inyectan 0.25 a 1 cc de colorante azul patente al 3%) con una aguja 26 G. en forma intradérmica en la periferia del melanoma o de la cicatriz si este ya fue extirpado (Fig. 2). No debe inyectarse dentro de la cavidad de la biopsia ni en la cicatriz<sup>18</sup>.

El volumen a inyectar está relacionado con la localización y la distancia entre el primario y el territorio ganglionar. Volúmenes más grandes (1 cc) se inyectan en lesiones distales de los miembros y más pequeños en lesiones de la cara y próximas al territorio ganglionar. En estos casos puede ser suficiente 0.25 cc de colorante. Se realiza un masaje suave sobre el área inyectada en dirección al territorio ganglionar durante 5 a 10 minutos. Foto 1, 2 y 3.

Incisión y disección: Después de infiltrar con lidocaína el área del territorio ganglionar señalada en la LCP, realizamos una pequeña incisión de 2 a 3 cm de longitud. Debe tenerse en cuenta en su diseño que, de ser positivo el GC, será necesario



FOTO 1 Melanoma pectoral (Flecha inferior). En flecha superior, área de proyección cutánea del GC



FOTO 2 Inyección del colorante.

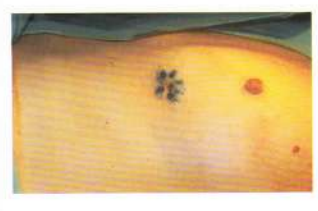


FOTO 3 Colorante inyectado intradérmico peritumoral



FOTO 4 Disección guiada por el Gammaprobe



FOTO 5 Gammaprobe. Escala digital y lumínica



FOTO 6 GC teñido



FOTO 7 Canalículo linfático teñido llegando a GC coloreado



FOTO 8 Gammaprobe. Medición ex - vivo



FOTO 9 GC coloreado, hemiseccionado



FOTO 10 Metástasis de melanoma. Tinción con HMB 45.

completar una linfadenectomía. Por lo tanto es aconsejable realizar las incisiones con la misma dirección y ubicación que las utilizadas en los vaciamientos. Se diseca el colgajo más cercano al melanoma, teniendo cuidado de no cortar so canalículos linfáticos coloreados, ya que si esto sucede dificulta el haliazgo del GC. Deben ser puscados meticulosamente en el tejido celular subculaneo y seguidos hasta su desembocadura en el GC coloreado de azul. Poto 7.

Si el número de ganglios coloreados no coincide con el identificado en la LCP, debe continuarse la exploración varios centímetros alrededor del ganglio labido en busca de otros GC.

Los GC son extirpados y enviados a anatomía patológica. A continuación se realiza la resección adical del tumor primario.

## 4.2. ¿Cómo es la técnica con colorante y radiofármaco?

La mayoría de los investigadores utiliza actualmenia técnica combinada de colorante y radiolármaco.
Inyección: Cuando realizamos el ML con coloante y radiolármaco es conveniente efectuar la
LCP dentro de las 24 hs. previas a la cirugía.
De esta manera, el radiolármaco inyectado para la
LCP sirve para la detección intraoperatoria con el
ammaprobe evitándose el costo de una segunda
dosis y el manejo de sustancias radiactivas en
aurofano<sup>31</sup>. El momento de la inyección es crítico
para el éxito del procedimiento. Los colorantes llegan al territorio ganglionar en pocos minutos,
mientras que el radiofármaco se va concentrando en el GG en el transcurso de las horas.

Los coeficientes de localización para los radioármacos (GC/basal, GC/GnoC) son mayores entre las 2 y 24hs después de la inyección.

De no ser posible realizar la operación dentro de ese tiempo, será necesaria una nueva inyección atraoperatoria. Esta se realiza alrededor del melanoma o de la cicatriz, en forma intradérmica con 450 µCl del radiofármaco elegido sin realizamestesia local. No es necesario inyectario en un gran volumen debido a la rica red linfática y al limitlado espacio extracelular de la piel. Habitualmente son suficientes cuatro inyecciones realizadas circunferencialmente al melanoma o cicatriz. A continuación se inyecta 1 cc de colorante siguiendo los pasos explicados previamente.

Búsqueda del GC. Luego de 10 minutos de masaje intermitente en el área de inyección, realizamos anestesal local en la zona del territorio ganglionar donde se encuentra la marca cutánea de proyección del GC. Antes de seccionar la piel se comprueba con el gammaprobe el punto más caliente, el que habitualmente coincide con la marca cutánea. Es importante no dirigir el gammaprobe hacia el sitio de inyección en el tumor primario para evitar captar su irradiación. Si el tumor primario está muy oerca del territorio ganglionar puede colocarse una placa plomada para bloquear la radiación, o realizar la resección antes de buscar el GC.

Una vez localizado el punto caliente sobre la piel, se realiza una pequeña incisión de 2 a 3 cm. La disección es gulada por los dos métodos:

- · Observación del conducto y ganglio teñido.
- · Utilización del gammaprobe.

Cion una prolija disección se busca un canalículo tecto y se lo sigue hasta el GC. Si esto no fuera posible, se realiza la disección guiada por el gammaprobe hasta llegar al canalículo o ganglio teridio, que habitualmente es el punto mas caliente. Así se evita la realización de grandes colgajos cutáneos, a veces necesarios con la técnica con colorante. Una vez identificado el GC, se ligan los linfáticos aferentes y eferentes para minimizar el riesgo de seroma postoperatorio, ya que los linfáticos no son sellados por la coagulación. Foto 4, 5, 6, 7, 8 y 9.

Confirmación del GC: Al GC extirpado se le mide la radiación "ex vivo". Si la radiactividad en el lecho quirúrgico retorna a los niveles basales se evita una disección adicional para verificar que han sido extirpados todos los GC. Si la radiactividad es 1.5 veces o más que la basal se debe investigar un GC adicional.

Si se encuentran GC adicionales, ya sea teñidos o calientes, se extirpan y envian a anatomía patológica.

Se realiza un lavado y prolija hemostasia de la herida, cerrándola sin drenaje. En la Tabla 6, pue-

TABLA 6 Técnica de bioosia del GC en diferentes centros.

Centro	Colorante	Radio	fármaco
		Tipo	Dosis y volumen
John Wayne Cancer Institute, EEUU	Isosulfan blue 0.5-1cc.	Tc <sup>ss</sup> SC Tc <sup>ss</sup> HSA Filtrado	Dosis; 0.5-0.8mCi (18.5-3MBQ) Volumen: 0.5-1cc
European Institute of Oncology, Italia	Azul Patente V 1-2cc.	Tc <sup>38</sup> HSA Filtrado	Dosis; 5-10MBq (0.135-0.27mCi) Volumen:0,2-0.3cc
Sydney Melanoma Unit, Australia	Azul Patente V 0.5-1.5cc.	Tc <sup>19</sup> ASC No filtrado	Dosis: 5MBq (0.135 mCi) Volumen: 0.5cc
H Lee Moffitt Cancer Center, EEUU	Isosulfan blue 1cc por dirección de drenaje	To®SC Filtrado	Dosis: 0,45mCi (17MBq) Volumen: 1cc por dirección de drenaje
Netherlands Cancer Institute, Holanda	Azul Patente 1cc.	Tc <sup>98</sup> albumina Goloidal No filtrado	Dosis: 60MBq (1.6mCl) Volumen: 0.3cc
Memorial Sloan-Kettering Cancer Center, EEUU	Isosulfan blue 0.6-1cc	Tc®SC Filtrado	Dosis: 0.2-0.4mCi (7.4-15MBq) Volumen: 1-2cc
Anderson Cancer Center, EEUU	Isosulfan blue 2-3cc	Tc <sup>98</sup> SC Filtrado/No filtrado	Dosis: 0.5-1 mCi (18.5-37MBq) Volumen: 0.5cc

SC: Sulfuro Coloidal, HSA: Sero Albúmina Humana, ASC: Antimonio Sulfuro Coloidal

den observarse variaciones de la técnica en diferentes centros.

La técnica con colorante y la de radiofármaco son complementarias. Tienen una concordancia de alrededor del 80%, y deben ser utilizadas simultáneamente a fin de optimizar el porcentaie de identificación.

#### Técnica de los Relatores:

- LCP: Hasta 24hs antes.
   Radiofármaco: Tc<sup>®</sup> Albúmina coloidal.
   Dosis: 0.45mCi (17MBa). Volumen: 1cc
- Método: Combinado Colorante: Azul Patente 3%. Volumen: 0.3-1cc. Gammaprobe
- · Inyección: Intradérmica.
- Anestesia: Preferentemente local.
- Procedimiento: ambulatorio.

#### 4.3. ¿Cuál es el ganglio centinela?

En el Capítulo II se desarrolla la definición de GC en forma general. McMasters utilizando datos del Sunbeit Melanoma Trial, evaluó cuatro definiciones operativas de GC para melanoma". El impacto de la definición del GC en el porcentaje de falsos negativos puede verse en la Tabla 7.

Considera como Morton que un canalículo linfático teñido desembocando en un ganglio azul es el "gold standard" en la identificación del

TABLA 7 Impacto de la definición del GC en los resultados faisos negativos.

Criterio de extirpación	fn/tp	Tasa fn		
Ganglio más caliente	40/288	13.9		
Ganglio más caliente y				
ganglios azules	6/285	2.1		
1" y 24° GC identificado	5/288	1.7		
Ganglios azules y ganglios				
con >10% de actividad del				
ganglio más caliente	1/285	0.4		

In: falsos negativos tp: territorios positivos

SC, aunque este método puede ser ineficaz cuamo existe mas de 1 GC. Con colorante el primer GC audes es rédifiemente identificado, pero resulta dificultoso encontrar GC adicionales. Recomienda resear todos los ganglios teñidos así como también doss los ganglios calientes que presenten una actuada mayor al 10% del ganglio más caliente.

### Se consideran operativamente GC: Ganglios azules.

- Ganglios no tenidos con un canalículo linfático aferente azul.
- Ganglios con una radiactividad aumentada respecto a la basal o a otros ganglios en una magnitud variable y quizás arbitraria: 2 a 3 veces la basal "In vivo" y 10 veces la de un GnoC "ex vivo".
- Aquellos que presenten mas del 10% de la radiactividad del ganglio más caliente.

#### 4.4. Situaciones especiales

- Sitlo de Inyección cercano al territorio ganglionar. En esta situación, la radiactividad en la periferia de la inyección impide la localización del GC al tener un valor mayor que la de este. Por ejemplo, si en la periferia del sitio de inyección existe una radiactividad de 6000 cps, y el GC presenta 4000 cps, resulta imposible discriminarlo. En estas circunstancias, el mapeo con colorante es fundamental. Si no puede identificarse, incluso luego de la colocación de una plancha de plomo sobre el sitio de inyección, se realiza la resección del tumor primario para disminuir la alta radiactividad basal. De esta manera, las cuentas acumuladas dentro del GC pueden ser detectadas con mayor facilidad.
- Localización en cabeza y cuello. Por la proximidad a importantes estructuras anatómicas, los márgenes de resección de las lesiones faciales son más limitados. La incisión quirúrgica debe ser diseñada previamente para que el colorante invectado quede dentro de los márgenes de resección<sup>20</sup>. Si prevemos que el área de piel que debe ser coloreada en la marcación no será completamente resecada, utilizamos solo la inyección de radiolármaco, a fin de evitar tatuajes.
- Ganglio centinela intraparotideo. Por varios motivos es aconsejable realizar el mapeo con anestesia general:

- El pequeño tamaño de los ganglios intraparotídeos.
   La radiactividad de fondo de la parátida difi-
- La radiactividad de fondo de la par\u00f3tida dificulta la localizaci\u00f3n.
- La alta frecuencia de múltiples territorios de drenaje y GC en melanomas de cabeza y cuello.
- La presencia del nervio facial<sup>82,79</sup>.
   Habitualmente es posible extirpar el GC sin realizar una parotidectomía.
- d) Ganglios centinelas "en tránsito". Puede ser el primer ganglio de drenaje de determinadas áreas y por lo tanto el GC. La mejor manera de identificarlos es saber que existen y que a veces no son detectados en la LCP. Luego de remover el sitio de inyección con la resección del turnor, al disminuir la radiactividad basal, se explora con el gammaprobe el trayecto entre el primario y el territorio ganglionar en búsqueda de ganglios "en tránsito".

#### 5. Anatomía patológica

- 5.1. ¿Cuál es el manejo inicial del ganglio centinela?
- 5.2. ¿Qué procedimientos se realizan en la biopsia diferida?

La autentica ventaja del ML es que brinda al patólogo el ganglio con más probabilidades de contener metástasis.

Al evaluar un solo ganglio, puede realizar un examen más detallado, incluyendo más cortes, coloraciones con IHQ e incluso técnicas de biología molecular.

La identificación del verdadero GC es responsabilidad del especialista de Medicina Nuclear y del cirujano. Se encuentran en investigación técnicas que permitirán la confirmación por parte del patólogo que el material remitido es el verdadero GC<sup>24</sup>. Mientras tanto se debe analizar todo el material remitido por el cirujano.

## 5.1. ¿Cuál es el manejo inicial del ganglio centinela?

La efectividad del estudio anatomopatológico es afectada por la manera como el ganglio es extirpado y preservado, así como la demora con que es enviado al servicio de anatomía patológica. El cirujano debe minimizar los artefactos por aplastamiento y cauterio asegurándose que el ganglio sea conservado inmediatamente de resecado en una cantidad suficiente de formol.

Por el uso de radiofármacos, el tejido que recibe el patólogo es radiactivo. Sin embargo, al utilizar Tc99, un isótopo de poca penetración tisular y vida media corta, el riesgo de esta radiación es mínimo. Originalmente se almacenaba el ganglio en formol por 30 hs. (equivalente a 5 vidas media de Tcºa), antes de procesarlo. Actualmente Cochran, ante la evidencia de la escasa radioactividad a que es expuesto el patólogo, lo hemisecciona directamente en quirófano para realizar una imprompta¹o. Ambas mitades las coloca en formol durante 24 hs antes de proseguir con el estudio. Anota el número de ganglios remitidos dejando constancia si están colorados y la cantidad de cuentas que presentan.

Morton describió la técnica con biopsias por congelación e IHQ intraoperatoria. En la actualidad no se aconseja su utilización por varios motivos:

- a) Presenta un porcentaje variable de falsos negativos, que en algunas series llega al 57%<sup>46</sup>.
- b) Resulta difícil el diagnóstico de micrometástasis por la dificultad en la evaluación del seno subcapsular, área donde habitualmente se alojan.
- c) Pérdida de tejido en la preparación del taco de la biopsia por congelación.
  - No traumatizar el GC durante la extirpación.
  - Puede manipularse con bajo riesgo radiogénico.
  - Hemisección, imprompta y conservación en formol.
  - No es aconsejable realizar biopsia por congelación, debido al alto porcentaje de falsos negativos y a la pérdida de tejido.

## 5.2. ¿Qué procedimientos se realizan en la biopsia diferida?

La frecuencia con que se detectan metástasis en el GC es una función del rigor del método con que se lo analiza.

La técnica comúnmente utilizada es la hemisección del ganglio a lo largo de su eje mayor y tinción con H&E de un corte obtenido de cada mitad.

Esta simple técnica subdiagnostica metástasis con relativa frecuencia. En los ensavos clínicos donde se comparó LE versus observación de los canquios regionales se diagnosticaron metástasis ganglionares en el 20% de los pacientes a los que se les realizó LE. Durante la evolución, entre el 22 y el 37% de los pacientes randomizados a observación tuvieron evidencia clínica de metástasis ganglionar20. La magnitud de esta diferencia representa la fracción de pacientes que fue subestadificada por la utilización de técnicas anatomopatológicas convencionales. Esto no es sorprendente ya que pequeños depósitos de células tumorales pueden no estar ubicados en el ecuador del GC, donde habitualmente se realiza el corte e incluso pequeños acúmulos celulares pueden no ser diagnosticados con H&E a pesar de estar incluidos en el corte-

Otros métodos de estudio anatomopatológico del GC son más sensibles y específicos. Una simple y económica estrategia consiste en aumentar el número de cortes de cada hemiganglio, o sea analizar cortes más profundos con H&E. Con este táctica se detectan pequeños focos tumorales que no se encuentran en el ecuador del ganglio.

Idealmente, cada ganglio debería ser seccionado en forma seriada hasta extinguirlo, pero por ser poco práctico y muy costoso, se han propuesto distintos métodos de muestreo. Es posible aumentar la sensibilidad incluyendo además técnicas de IHQ.

Existen distintos protocolos para el muestreo del GC.

- El propuesto por Cochran del JWCl se esquematiza en la Figura 10<sup>22</sup>. Los ganglios se hemiseccionan a través del diámetro mayor y son estudiadas ambas mitades. A continuación se realizan 10 cortes seriados, los que son tenidos de una manera preestablecida. Si los resultados no son concluyentes, puede realizar se un nuevo muestreo con la misma secuencia.
- Starz propone otro método de estudio del GC que además resulta útil para cuantificar la carga tumoral del ganglio. Al ganglio fijado en formol se le realizan cortes de 1 mm de espesor paralelos a su eje longitudinal (Figura 11). Luego de la inclusión en parafina se realizan 3 cortes a cada una de las lonjas; la primera para H&E, la segunda y tercera para IHQ (S100 y HMB45).

#### Determinación de la carga tumoral

Se mide cuando se identifican metástasis y como veremos tiene implicancias clínicas ya que existi-

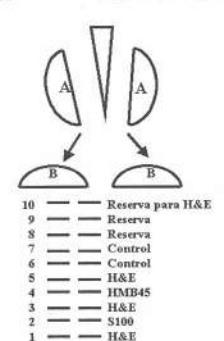


FIGURA 10

Protocolo de muestreo del GC propuesto por Cochran<sup>22</sup>

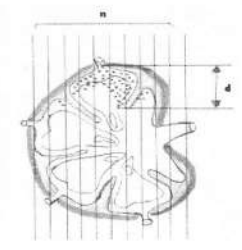


FIGURA 11

Protocolo de muestreo ganglionar propuesto por Starz para cuantificación de carga tumoral.

ría una relación directa entre la magnitud de la carga tumoral y la presencia de metástasis en GnoC. La estadificación del ganglio (S) con este método se realiza en pocos minutos y con un micros-

copio ocular. Esta basada en 2 parámetros:
 n: numero de lonjas comprometidas por tumor y
 d: profundidad de Invasión de las células tumorales, medida desde la cápsula ganglionar.

Con estos parámetros se distinguen 4 estadios de compromiso ganglionar (Tabla 8.).

Tabla 8 Estadificación del GC con la técnica de Starz<sup>21</sup>

s	n	d	
0	0		
1	1 0 2	< 1mm	
2	> 2	< 1mm	
3	2	> 1mm	

Otro método de medición de la carga tumoral es el propuesto por Carlson quien clasifica a las metástasis ganglionares en<sup>18</sup>:

- Macrometástasis (> de 2 mm)
- Micrometástasis (< de 2 mm)</li>
- Grupo de células: 10 a 30 células en el seno marginal o espacio interfolicular.
- Células aisladas: 1 a 20 células aisladas en el seno marginal.

#### Inmunohistoquímica

No existe un único agente para tinciones de inmunoperoxidasa que tenga una alta sensibilidad y especificidad,

Proteína S100: es el marcador más sensible para melanoma y es positivo en cerca del 100% de los casos<sup>117</sup>. Es muy poco específico, y puede ser expresado por:

- a) Una cantidad significativa de carcinomas, linfomas, sarcomas y otras neoplasias.
- b) En los ganglios linfáticos normales, por células dendríticas foliculares dentro de los folículos linfoides y por células reticulares.
- c) Nevos ganglionares, son agregados de células melánicas névicas benignas presentes entre el 9 y el 22% de los ganglios linfáticos<sup>26</sup>. Se ubican dentro de la cápsula del ganglio o en el tejido conectivo trabecular, y son más frecuentes en los ganglios axilares y cervicales. Ocuren selectiva aunque no exclusivamente en GC. No se los ha observado en ganglios que no drenan la piel. Son células más pequeñas que las del melanoma y se ubican alrededor de los vasos capsulares, reaccionan en forma intensa con la proteína S100, mientras que lo hacen en forma débli y no constante con HMB45. Cochran

presume que se originan por el desplazamiento de células névicas desde un nevus cutâneo por intrusión espontánea de estas células en los linfáticos dérmicos o por la disrupción del nevus por un melanomas. La transformación mailgna intraganglionar podría ser el origen de metástasis ganglionares de melanoma con primario desconocido. Se distinguen de las metástasis de melanoma por la ausencia de atipía citológica y de actividad mitótica, además de su ubicación capsular.

 d) Los nervios asociados a las células de Schwann pueden reaccionar en forma intensa con la proteína \$100, y si el nervio es cortado transversalmente, puede ser confundido con una célula melánica.

HMB-45: es un marcador altamente específico para células de origen melânico<sup>43</sup>. No se expresa en células dendriticas y lo hace muy débilmente en nevus ganglionares. Es poco sensible, siendo negativo entre el 10 y el 15% de los melanomas<sup>26</sup> Foto 10.

NK1/C3 y Melan-A (MART1): presentan sensibilidad y especificidad intermedia entre S100 y HMB45.

La identificación de metástasis ganglionar no es dificultosa en la mayoría de los casos. Se presenta como un grupo de células que se extiende desde el seno subcapsular hacia el tejido linfoide adyacente, o como pocas dellusa ubicadas únicamente en el seno subcapsular. Pueden estar presentes células aisladas, y es esta la situación más dificil de diagnosticar. Los estudios IHQ son esenciales, y se realizan ante la presencia de un GC negativo para técnicas convencionales. Si se detectan metástasis con IHQ es posible retomar a la finción con H&E para identificar las células tumorales." La proporción de GC en que la metástasis es identificada primero o exclusivamente con IHQ disminuye al 10-12% a medida que la experiencia del patólogo aumenta<sup>20</sup>. Tabla 9.

#### Biología molecular

El uso de tecnología molecular puede incrementar la capacidad de detectar metástasis ganglionares. El principal inconveniente es el alto porcentaje de falsos positivos, debido a que otras células distintas al melanoma, incluyendo nevus capsuares y trabeculares y células de Schwann de nervios intraganglionares pueden producir ARNm para irrosinasa. Actualmente se está ensayando con otros marcadores, como ARN para MAGE o MART-1, los que tendrían un porcentaje menor de falsos positivos "7".

Existen trabajos que incluyen PCR en el estudio del GC<sup>106, 15, 25</sup>. En todos ellos se observa una reacción positiva con PCR siempre que el ganglio presenta metástasis y en un porcentaje variable de casos en que el ganglio es negativo con estudios convencionales el IHO (21 a 65%).

No queda claro el significado de un GC cuya única evidencia de metastasis sea una reacción positiva para PCR. En contraste con lo que sucede en las tinciones con H&E e IHQ, donde pueden evidenciarse morfológicamente las metástasis, en el estudio de PCR, el tejido es destruido y no queda evidencia de las células responsables de la reacción positiva. Esta falta de comprobación de los resultados pone ciertos límites en las conclu-

TABLA 9

Metástasis de melanoma en GC detectado por H&E vs. IHQ.

Investigador	n		al GC livo (%)		&E itivo (%)		HQ %)	Conversión (%)
Morton, 1992*7	194	40	(21)	23	(12)	17	(9)	10
Morton, 1993ss	89	13	(15)	8	(9)	5	(6)	6
Goscin, 1999**	405	72	(18)	50	(12)	22	(5)	6
Messina, 199977	357	56	(16)	31	(9)	25	(7)	8
Relatores, 2002	324	57	(17.5)	46	(14)	11	(3.3)	4

<sup>\*</sup>Porcentaje de casos negativos con H&E convertidos en positivos por IHQ.

siones que se puedan tomar. Como veremos, varíos estudios han demostrado una disminución en supervivencia libre de enfermedad y global en el grupo de pacientes con PCR positivo.

 En el estudio anatomopatológico diferido los mejores resultados se obtienen con cortes seriados del GC y tinciones con H&E e HQ.
La utilización de RT-PCR es experimental.

#### 6. Resultados

- 6.1. Experiencia de los Relatores.
- 6.2. ¿Cuál es la tasa de identificación del GC?
- 5.3. ¿Es similar la tasa de identificación en distintos territorios ganglionares?5.4. ¿A cuantos territorios ganglionares puede
- drenar un melanoma?

  5.5. ¿Cuál es la frecuencia de los ganglios
- centinela"en tránsito"?

  5.6. ¿Cómo debe interpretarse la tasa de falsos
- negativos?
  6.7. ¿Cuales son las causas de los resultados
- falsos negativos?

  6.8. ¿Cuales son los resultados del estudio
- anatomopatológico del GC?

  6.9. ¿Existen factores de riesgo para presentar
- GC positivo?

  5.10./ Existen factores de riesgo para presentar
- GnoC positivos? 6.11.¿Cuál es la evolución clínica de los pacien-
- tes con GC negativos y positivos?
  6.12.¿Tiene morbilidad el procedimiento?
- 6.13.¿Cuál es el valor terapéutico de la biopsia
- 6.14.¿Tiene utilidad en la estadificación del melanoma?

#### 6.1. Experiencia de los Relatores

Fueron sometidos a ML y biopsia de GC 295 pacientes portadores de melanoma cutáneo en:

- Hospital de Clínicas, entre Agosto de 1994 y Marzo de 2002.
- Hospital Alemán, entre Diciembre de 1999 y Marzo de 2002.
- Práctica privada.

Los datos clínicos y patológicos de la población pueden verse en la Tabla 10 y 11. Los resultados se desarrollaran a lo largo de este capítulo.

TABLA 10 Experiencia de los Relatores, Población,

Población	п	%
Hombres	150	50.8
Mujeres	145	49.2
Edad en años, promedio	53.81	
Rango	19-89	
Seguimiento en meses	28	
Ubicación del primario		
Tronco	135	45.7
Miembros	133	45.0
CyC	27	9.1
Espesor, Media = 2.30		
< de 1 mm	83	29.1
1 - 2 mm	113	38.3
2 - 4 mm	68	23.0
> de 4 mm	29	9.8
Recurrentes	2	0.6

TABLA 11 Experiencia de los Relatores, Resultados,

	Pacientes	Territorios
n	295	341
Fallos	17	17
Identificados	278	324
Tasa de identificación	95.9 %	95
GC positivo	56	57
Tasa de GC positivo	20.14 %	17.59 %
Exactitud	94.90 %	95.60 %

### 6.2. ¿Cuál es la tasa de identificación del GC?

La tasa de identificación tuvo importancia en los inicios del ML cuando se utilizaba solamente colorante y el éxito del procedimiento era operadordependiente. La difusión de la técnica con radiofármacos con la consiguiente disminución de la curva de aprendizaje llevó a un aumento generalizado y nivelación de las tasas de identificación.

En el primer ensayo clínico de **Morton**<sup>87</sup>, la tasa de identificación del GC con colorantes fue de 82%. El procedimiento estaba asociado con dos desventaias:

- Requería experiencia para lograr eficacia en la detección del ganglio.
- No detectaba con facilidad segundos GC si los canalículos linfáticos no estaban teñidos.

Resultados similares obtuvo Thompson en Australia, como se ve en la Tabla 12<sup>115</sup>.

Albertini¹ encontró metástasis en 2 de 16 GC detectados con gammaprobe y no teñidos por colorante, reafirmando la importancia clínica de la detección por cirugía radioguiada.

Morton, analizando datos del Multicenter Selective Lymphadenectomy Trial (MSLT) obtuvo una tasa de identificación de 95.2% con colorante y 99.1% cuando utiliza el método combinado (p<0.014)<sup>39</sup>. Encontró que un 8% de los ganglios terididos no eran calientes, y algunos de estos eran el únicio asiento de metástasis.

Kaptelin detectó el GC en el 99% de los casos utilizando la técnica combinada contra el 84% con colorante. Resultados similares obtiene Gershenwald, incrementando el porcentaje de detección de 87 a 99% cuando utiliza la técnica combinada.

Bostick en su experiencia con melanomas de cabeza y cuello en el JWCI reporta un 92% de identificación del GC utilizando colorante<sup>14</sup>. Este valor se eleva al 96% cuando utiliza la técnica combinada. Morton en su trabajo inicial encontró 1.3 GC por territorio ganglionar, mientras que tanto Albertini como Leong reportaron 1.6 GC por territorio. Este numero varia con la técnica y el territorio ganglionar investigado. Los Relatores hallaron 1.25 GC por territorio.

El promedio de la tasa de identificación del GC de las distintas series es:

- Colorante: 82%.
  Radiofármaco: 94%.
- Técnica combinada: mayor a 98%.

## 6.3. ¿Es similar la tasa de identificación en distintos territorios ganglionares?

No todos los territorios ganglionares presentan el mismo grado de dificultad para la identificación del GC. Habitualmente el cuello es el territorio más difficil de investigar, y la ingle el más sencillo. En la Tabla 13. se ven las tasas de identificación de algunas series de acuerdo al territorio ganglionar investigado.

En los datos del Programa de la Organización Mundial de la Salud<sup>19</sup> se evidencia el aumento en la tasa de identificación del GC en los distintos

TABLA 12 Experiencia clínica en mapeo linfático de melanoma.

Investigador	n	Та	GC positivo		
	407-2	Colorante	Radiofármaco	Total	(%)
Morton, 1992 <sup>67</sup>	237	82	No	82	21
Reintgen, 1994 <sup>15</sup>	42	100	No	100	ND
Thompson, 1995115	118	87	No	87	21
Glass, 199547	132	99	No	99	23
Krag, 1995**	121	91	98	98	12
Albertini, 19961	106	70	84	96	ND
Morton, 199914	1135	95	Si	99	20.5
Testori, 1999113	135	78.5	95.5	98.5	16.3
Gershenwald, 199943	580	SI	Si	95	15
Cascinelli, 2000 <sup>19</sup>	829	Si	Si	88	18
Porter, 2000°2	765	Si	Si	99	16
Relatores, 2002	73	SI	No	91.7	20.5
	268	Si	Si	95.8	15.6
	341*	Si	Si	95	17.5

<sup>\*</sup>Total de territorios de la serie. Sumados 73 territorios investigados con colorante y 268 con técnica combinada.

		T	ABLA 1	3			
Tasa de	identificación	del	GC en	cada	territorio	ganglionar.	

Investigador	n	Cervical%	Axilar%	Inguinal%	En transito %	Total %
Clary, 2000 <sup>21</sup>	379	36/45 (80)	199/211 (94)	121/127 (95)	Sd	93
Gershenwald, 199942	683	70/77 (91)	365/401 (91)	199/205 (97)	Sd	93
Morton,1999**	623	(86)	(96)	(99)	sd	93
Relatores, 2002	341	31/34 (88.2)	169/180 (93.8)	112/114 (98.2)	12/13 (92%)	95

Sd: sin dates

territorios cuando se agrega cirugía radioguiada. En la axila el porcentaje sube de 78% a 86% y en la ingle, de 91% a 97%.

Para Clary<sup>st</sup> el territorio de drenaje mas frecuentemente investigado es el axilar (54%), seguido por el inguinal (33%) y el cervical (12%). Clifras similares reportan Gershenwald (59%,30% y 11%)<sup>42</sup> y los **Relatores (52%, 33% y 10%)**. Esta frecuencia depende de la distribución de los melanomas.

La tasa de identificación es mas alta en el territorio inguinal, seguida por el axilar y el cervical.

## 6.4. ¿A cuántos territorios ganglionares puede drenar un melanoma?

El drenaje a más de un territorio ganglionar es un hecho relativamente común y ocurre entre el 6 y el 58% de los pacientes, dependiendo de la localización del melanoma (ver Tablas 14-15.) La LCP es de fundamental importancia para la delección de estos territorios múltiples como mencionamos previamente. En una revisión de 612 pacientes, Gershenwald encontró drenaje a un solo territorio en 545 pacientes (89%); 63 pacientes (10%) presentaron drenaje linfático sincrónico a 2 territorios y 4 (1%) a tres territorios. No encontró diferencia en la distribución entre lado izquierdo y derecho.

El drenaje a más de un territorio ganglionar puede ocurrir entre el 6 y 58% de los casos.

TABLA 14
Pacientes con drenaje a más de un territorio ganglionar.

Investigador	n	Más de un territorio	%
Morton, 1992*7	223	14	6
Uren, 1993118	209	121	58
Krag, 199514	118		17
Thompson, 1995118	100	16	16
Gershnwald, 1999 <sup>13</sup>	612	67	11
Clary, 200121	319	29	9
Relatores, 2002	295	43	14.5

TABLA 15
Territorios de drenaje en relación con la ubicación del primario.

Experiencia de los Relatores

Localización	Territorios					
	1	2 (%)	3	Total		
Miembro inferior	82	8 (8.8)	0	90		
Miembro superior	38	5 (11.6)	0	43		
Tronco anterior	21	3 (12.0)	1	25		
Tronco posterior	84	23 (21.4)	0	107		
CyC	25	2 (7.4)	0	27		
Vulva	2	1 (33.3)	0	3		
Total	252	42 (14.3)	1	295		

### 6.5. ¿Cuál es la frecuencia de los ganglios centinela "en tránsito"?

El porcentaje de GC "en tránsito" varía de acuerdo a las series entre el 3 y el 8%. Uren<sup>119</sup>, sobre 2045 pacientes, detectó 148 GC "en tránsito" (7.2%). En este subgrupo, el 14% presentaba micrometástasis, lo que justifica la búsqueda por linfocentellografía y

TABLA 16
Frecuencia de GC "en tránsito" de acuerdo a la localización del primario.

Localización	n	GC en transito(%)
Tronco posterior	755	96 (12.7)
Tronco anterior	150	11 (7.3)
Cabeza y cuello	304	19 (6.2)
Miembro superior	385	18 (4.7)
Miembro inferior	451	4 (0.9)
Total	2045	148 (7.2)

Adaptado de Uren<sup>119</sup>.

su estudio como cualquier GC. En la Tabla 16, se aprecia su frecuencia de acuerdo a la ubicación del primario.

Tholms detectó un 5% de GC "en tráccita" en

Theimo detectó un 5% de GC "en tránsito" en 557 pacientes con melanoma de tronco y miembros<sup>114</sup>. De estos, el 10% presentaba micrometástasis. Concluye que al no ser posible determinar con exactitud en todos los casos el patrón de drenaje lintático (en paralelo o en serie) con la linfocentellografía, ambos ganglios, "en tránsito" y recionales, deben ser extirnados.

Los Relatores encontraron GC "en tránsito" en 13 de 295 pacientes (4.4%), Tres de ellos eran portadores de metástasis (21%),

La frecuencia de GC "en tránsito" varía de acuerdo a las series entre el 3 y el 8%

### 6.6. ¿Cómo debe interpretarse la tasa de falsos negativos?

Como se mencionó en el Capitulo II.7 existen dos métodos para determinar la tasa de falsos negativos:

- a) El primero, utilizado cuando se introdujo la técnica de ML, requería completar la linfatenetomía a continuación de la biopsia del GC, para permitir la comparación del estado histológico del GC con los restantes ganglios del territorio. Distintos estudios clínicos presentados<sup>61</sup>, ría se demostraron que el porcentaje de falsos negativos con este método alcanza hasta un 9%, con un valor predictivo negativo del 99%.
- Actualmente, al no realizar LE cuando el GC es negativo, la tasa de falsos negativos se calcula tomando en cuenta las recurrencias regionales detectadas durante el seguimiento.

Datos de estudios prospectivos diseñados para evaluar el ML sugieren que la tasa de falsos negativos obtenida por evaluación histológica de los GnoC es menor que la determinada por la observación clínica.

#### En distintas publicaciones estas tasas fueron calculadas de manera incorrecta<sup>71</sup>.

Gadd informa recurrencia regional en 7 de 89 pacientes (8%) con GC negativo<sup>®</sup> Gershenwald encontro que 10 de 270 (4%) pacientes con GC negativo desarrollaron recurrencia en el territorio gandionar previamente mapeado<sup>®</sup>, (Tabla 17).

Sin embargo, estos resultados no pueden ser tomados como tasa de falsos negativos, va que en

TABLA 17

Recurrencia regional y tasa de falsos negativos en pacientes con GC negativo.

Investigador	GC positivo	Tasa de recurrencia	Total territorios positivos	Tasa de falso negativo	Seguimiento (meses)
Gershenwald, 1998 <sup>41</sup>	52	10/243 (4%)	62	16%	35
Gadd, 1999 <sup>40</sup>	21	7/89 (8%)	28	25%	23
Cascinelli, 200011	141	40/710 (6%)	181	22%	29
Muller, 2000 <sup>∞</sup>	40	3/162 (2%)	43	7%	42
Clary, 200021	56	11/252 (4%)	56	16%	23
Relatores, 2002	57	14/267 (5.2%)	71	19.7%	28

Tasa de recurrencia: territorios con recurrencia/territorios con GC negativos

el denominador colocan el número de pacientes con GC negativos, y no el numero de pacientes con GC positivos. Del trabajo de Gaad, se desprende que encontraron inicialmente 21 GC positivos y que en la evolución, diagnosticaron 7 recurrencias regionales, con lo que el número total de pacientes con ganglios positivos se elleva a 28. La tasa de falsos negativos resulta de dividir 7 (pacientes con recurrencia regional) sobre 28 (numero total de pacientes con ganglios positivos). El resultado es una tasa de falsos negativos de 25%, o sea que en 1 de cada 4 pacientes con ganglios positivos, el maceo lindático fallo en la detección.

De la misma manera, en el trabajo de Gershenwald, se diagnosticaron inicialmente 52 pacientes con GC positivo. Durante la evolución se evidenció recurrencia regional en 10 pacientes, con lo que el número de casos con ganglios positivos se elevó a 62. La tasa de falsos negativos resulta entonces de relacionar 10 con 62 y es del 16%.

La verdadera tasa de falsos negativos a lo largo del seguimiento ha sido encontrada en pocas publicaciones y varía de acuerdo al tiempo de seguimiento de la serie: 4% a 17 meses, 11% a 32 meses y 16% a 35 meses.

- La tasa de falsos negativos puede determinarse:
  - a) Completando una LE para evaluar el estado de los GnoC.
- b) Por las recurrencias en el territorio ganglionar.
- El denominador debe ser el total de pacientes con ganglios positivos.
- Cuando se la calcula de acuerdo a las recurrencias, los valores son mayores y aumentan con el tiempo de seguimiento.

#### 6.7. ¿Cuales son las causas de los resultados falsos negativos?

Las causas de los falsos negativos en el ML pueden dividirse en:

 a) Errores técnicos. Falla en la correcta identificación y extirpación de todos los GC. Esto puede suceder:

- Cuando no se utiliza el gammaprobe y pasa inadvertido un segundo GC.
- Cuando se realiza el ML sin LCP. Puede ser el motivo de la falta de identificación de GC en territorios ganglionares alternativos o localizaciones anatómicas inusuales.
- Cuando la resección previa del melanoma produce disrupción de canalículos linfáticos.
- Falla técnica en la preparación del radiotármaco que impida su acumulación en el GC.
- Falta de experiencia del equipo médico, Cirujanos con poca experiencia en ML suelen detectar menos GC<sup>er</sup>.

#### Factores relacionados con la biología de la diseminación del melanoma.

- Presencia de células de melanoma en tránsito en los canaliculos linfáticos en el momento del mapeo sin tener aun metástasis en el GC. Una posterior migración puede originar la recurrencia en el territorio previamente investigado.
- Diseminación del melanoma mas allá del GC a un ganglio de segunda línea seguido de una remisión completa inmunoinducida en el GC.
- Células del melanoma circulantes en sangre pueden alojarse en los ganglios regionales después de realizar el ML.
- c) Error anatomopatológico. Ocurre cuando existen metástasis en un GC adecuadamente identificado, pero la evaluación histológica no las detecta. Está relacionado con la intensidad con que es estudiado por el patólogo.

que se satudiado por le participa; De los pacientes con GC histológicamente negativos, un porcentaje variable de aquellos que presentan recurrencias en el territorio ganglionar evidencian metástasis en sus GC cuando son reexaminados utilizando IHQ<sup>46,47</sup>. Resulta claro de estos trabajos, que el mayor porcentaje de falsos negativos es debido a fallas en el examen anatomopatológico.

El estudio histológico convencional es insuficiente para la identificación de metástasis ocultas y debe ser complementado por la combinación de cortes seriados e IHO para disminuir la tasa de falsos negativos.

Analizando los resultados de Gershenwald<sup>41</sup> la tasa de falsos negativos, podría haber sido de 3.2% en lugar de 16% si cuando realizó el ML hubiera utilizado los estudios anatomopatológicos actualmente aconsejados. Creemos que es necesario un seguimiento más prolongado para determinar el verdadero porcentaie de falsos negativos.

Se debe tener en cuenta además que, en algunas siluaciones, a pesar de no diagnosticarse la micrometástasis en el estudio histológico, la biopsia del GC pudo haber sido curativa en aquellos pacientes que presentan enfermedad únicamente en el ganglio extircado.

Los falsos negativos pueden deberse a:

- Fallas técnicas en la identificación del GC.
- Factores relacionados con la biología de la diseminación del melanoma.
- Falla en el estudio anatomopatológico (la más frecuente).

## 6.8. ¿Cuáles son los resultados del estudio anatomopatológico del GC?

Utilizando únicamente coloración con H&E el porcentaje de GC positivos varía entre 10 y 17%. Con esta técnica se examina menos del 5% del material enviado, subestimándose el número de pacientes con micrometástasis.

Yu comunicó que el 12% de los pacientes que eran clasificados como ganglios negativos con técnicas de H&E se tornaban positivos con tinciones de IHO™. Cochran lo comprobó en el 14% de los casos™. En la Tabla 9 se aprecia el porcentaje de GC positivos en varias series, diagnosticados con técnicas convencionales con H&E, así como también el porcentaje de conversión con IHQ.

Gershenwald comunicó recurrencia regional en 10 de 243 pacientes cuyo GC había sido informado negativo con H&E<sup>41</sup>, La reevaluación del GC con técnicas de IHO demostró enfermedad oculta en 8 de los 10 pacientes (80%).

Los Relatores encontraron 57 territorios con GC positivo de los 324 en los que se identificó el GC (17.5%). Con H&E se diagnosticaron 46 GC positivos y 57 cuando se agregó IHQ, lo que representa un incremento de 23.7%. En 11 de 278 territorios diagnosticados negativos con H&E, el GC cambió a positivo con el empleo de IHQ, con una tasa de conversión del 4%. Tomando en cuenta el número de pacientes en los que se detectó el GC, y no el número de territorios, la tasa de GC positivos fue de 20.1%. Tabla 18.

A pesar de las múltiples secciones y de la utilización de IHO, persisten algunas recurrencias regionales, lo que implica un subdiagnóstico de la enfermedad micrometastática en el GC. Existe un gran interés en la utilización de técnicas de PCR para la evaluación de GC histológicamente negativos. Shivers encontró un incremento significativo en el índice de recurrencia en pacientes con GC negativo que tenían PCR positivo (Tabla 19)<sup>100, 100</sup>, Similares resultados obtuvo Bosticki<sup>15</sup>.

TABLA 18

Resultados del estudio Anatomopatológico.

Experiencia de los Relatores

GC positivo	H&E	H&E + IHQ	Incremento	Conversión*
territorios	46 (14.1 %)	57 (17.5%)	23.7%	4%
pacientes	45 (16.1%)	56 (20.1%)	24.4%	4.7%

<sup>\*</sup> Porcentaje de GC negativos por H&E que se reclasifican positivos con IHQ.

TABLA 19 Correlación clínica del resultado del PCR en el GC

Histología	RT-PCR	n	200000	Recurrencia (%)	
			Global	Locorregional	Sistémica
+	+	22	14 (64)	8 (36)	6 (27)
-	+	59	6 (10)	2 (3.3)	4 (6.6)
296		43	1 (2)	1 (2)	0

Los Relatores hallaron en un grupo de 39 pacientes consecutivos con GC histológicamente negativos, 9 pacientes con PCR positivo (23%). Dos de ellos evolucionaron con metástasis en el territorio ganglionar (falsos negativos)55.

La aplicación clínica de esta prueba esta siendo evaluada en el Sunbelt Melanoma Trial78. Si se demuestra que pacientes con metástasis ganglionar diagnosticada únicamente por métodos moleculares se benefician con terapias más agresivas, será imprescindible incorporar el PCR al estudio de rutina del GC. De la misma manera, con esta técnica podrían identificarse subgrupos de pacientes con excelente pronóstico, curados con la cirugia y que no necesitan ser expuestos a la toxici-

dad y costos de terapia adicional. Mientras tanto, se deben interpretar con precaución los resultados positivos, y no está aclarado si deben recibir alguna terapéutica adicional (linfadenectomía, Interferón)117.

El porcentaje de GC positivos diagnosticado con las diferentes técnicas anatomopatológicas es:

- H&E: entre 10 v 17%.
- IHQ: entre 15 y 23%.
- RT-PCR: hasta el 65%, con un número indeterminado de falsos positivos.
- 6.9. ¿Existen factores de riesgo para presentar GC positivo?

Tres factores han sido reportados como predictivos de metástasis en el GC:

Espesor del melanoma. Existe una relación directa entre el aumento de la profundidad y el riesgo de metástasis en el GC (ver Tabla 20).

- Haddad no encontró metástasis en el GC en melanomas menores de 0.76 mm de profundidad\*. Los Relatores también encontraron un incremento del porcentale de GC positivo en relación con el aumento del espesor tumoral. (Ta-
- b) Ulceración. Su presencia en el tumor primario no siempre esta asociada con un aumento en la incidencia de GC positivos. Clary no encontró diferencia, mientras que Gershenwald,y Essner encontraron una diferencia significativa con los no ulcerados21, 48, 30, (Tabla 22.)
- c) Número de territorios ganglionares identificados por LCP, Porter del MD Anderson C.C. observó que pacientes con melanomas de tronco que drenaban a múltiples territorios tenían mayor riesgo de metástasis en el GC (RR: 1.9, p<0.03) comparado con aquellos que drenaban a un solo territorio90. La causa no es clara. Postula que el aumento en el número de canalículos incrementaria el drenaie linfático y la diseminación. Otra hipótesis es que el aumento del número de territorios es el resultado de algún factor de crecimiento producido por el melanoma, asociado a una mayor tendencia a la diseminación. No existen datos que substancien ninguna de las dos hipótesis.

Los Relatores no encontraron en su serie relación entre el número de territorios de drenaje y la positividad del GC.

Algunos autores incluyen la localización axial como factor de riesgo de GC positivo43.

Los factores de riesgo para presentar GC positivo son:

- · Espesor tumoral.
  - Ulceración. · Número de territorios ganglionares de drenaje detectados por LCP.

TABLA 20 Incidencia de GC positivo de acuerdo al espesor y ulceración.

Espesor (mm)			Gangl	io centinela posit	ivo
	Т	n	(%)	ulceración (%)	sin ulceración (%)
< 1.00	1	272	4.4	13.3	3.9
1.01 - 2.00	2	427	11.0	20.7	9.5
2.01 - 4.00	3	255	27.5	34.4	23.5
>4.01	4	133	45.1	55.4	32.2
Total		1087	17.4	36.3	12.0

Modificado de Rousseau<sup>104</sup>.

TABLA 21
Distribución de los GC positivos de acuerdo con el

Experiencia de los Relatores

Espesor	n	GC positivo	%	
T1	79	0	0	
T2	105	21	20	
T3	63	23	36.5	
T4	29	12	41.37	
Total	276	56	20.3	

n: numero de pacientes.

#### 6.10.¿Existen factores de riesgo para presentar GnoC positivos?

El GC es el único con metástasis del territorio ganglionar en un 70 a 80% de los casos

Metástasis en GnoC, con GC positivo, han sido identificadas entre el 7 y el 42% (Tabla 23).

Existe un gran interés en seleccionar aquellos pacientes con bajo riesgo de metástasis en los GnoC para evitaries la morbilidad de completar el vaciamiento canolionar.

El espesor y la carga tumoral del GC han sido estudiados como factores de riesgo de metástasis en GnoC. (Tabla 24).

Los Relatores realizaron la revisión histológica de 39 vaciamientos con GC positivos y encontraron:

- · Metástasis en GnoC en el 30% de los casos.
- En 14 pacientes con melanoma de hasta 2 mm se halfó solo uno con metástasis en un GnoC,

- mientras que 11 de 25 enfermos con melanoma de espesor superior a 2 mm presentaron metástasis en GnoC (Prueba de Chi cuadrado con corrección de Yates, p-0.05) (Tabla 25.)
- correccion de vitas, p-0.05) (tabla 25.)

  Fue realizado un análisis de regresión logistica tomando como variable dependiente la positividad de los GnoC y como variables independientes edad, espesor, tamaño tumoral, carga
  tumoral, tipo histológico y número de territorios.
  Se estableció que el único factor relevante en
  la determinación de la positividad de los GnoC
  fue la carga tumoral en el GC. Se comprobó que
  si bien las diferencias fueron globales, las categorías de carga tumoral (células aisladas y
  macrometástasis) fueron aquellas donde se
  obtuvieron variaciones estadisticamente significativas (Tabla 26).

En síntesis, la presencia de células aisladas metastáticas en el GC fue un factor predictivo de ausencia de metástasis en los GnoC; por el contrarlo la presencia de macrometástasis fue predictiva de GnoC positivos.

Es necesario diseñar estudios controlados para evaluar factores predictivos de metástasis en GnoC que nos permitan evitar el vaciamiento en pacientes con GC positivos. Mientras tanto es conveniente comoletarlo.

- Los factores de riesgo de presentar GnoC positivos en pacientes con GC positivos son:
  - · Espesor del melanoma
  - Carga tumoral del GC.
- Actualmente debe completarse el vaciamiento ganglionar con GC positivo.

TABLA 22
Distribución de los factores propósticos de acuerdo al estado del GC

Factor Pronóstico	GC negativo		GC positivo		p	
	Gershnwald n: 480	Relatores n: 222	Gershnwald n: 85	Relatores N: 56	Gershnwald	Relatores
Edad	53.3	53.5	50.1	53.6	NS	NS
Hombres (%)	55.6	47.7	65.9	58.9	NS	NS
Espesor (media)	2.22	1.84	3.33	3.30	< 0.001	< 0.0001
Clark >III (%)	62.0	74.7	72.3	94.6	NS	< 0.01
Localización axial	50.1	49.5	62.4	60.7	0.04	NS
Ulceración (%)	20.2	s/d	43.5	s/d	< 0.001	s/d

TABLA 23 Incidencia de GnoC positivos en pacientes con GC positivos

Investigador	GC positivo	GnoC positivo	%
Krag, 1995 <sup>64</sup>	15	5	33
Joseph, 199882	64	5	В
Haddad, 1999**	81	6	7
Wagner, 2000121	53	15	28
Wagner, 2000122*	12	5	42
McMasters, 200274	282	45	16
Gershenwald, 20024	190	32	17
Relatores, 2002	39	12	30

GC de melanomas de cabeza y cuello

TABLA 24

evestigador	Factores de riesgo de metástasis en GnoC
Joseph, 1998 <sup>kg</sup>	Espesor > a 3 mm
Wagner, 2000 <sup>(2)</sup>	Número de GC positivos
Gershenwald, 2002 <sup>42</sup>	Espesor > 2 mm (RR: 5.6) Carga tumoral (RR: 2.7)
McMasters, 200274	No identifica
Relatores, 2002	Espesor > 2 mm

Factores de riesgo de presentar metástasis en GnoC

TABLA 25
Distribución de los GnoC positivos de acuerdo al espesor.
Experiencia de los Relatores

Espesor	Total GC positivos	GnoC positivo	GnoC negative	
< 2 mm	14	1	13	
> 2 mm	25	11	14	
Total	39	12	27	

TABLA 26
Distribución de los GnoC positivos de acuerdo a la carga tumoral del GC.
Experiencia de los Relatores.

Carga tumoral	n	GnoC positivo	%	р
Macrometástasis	16	9	56.2	0.0453
<b>■crometástasis</b>	13	2	15.3	0.2979
Grupo de células	7	1	14.2	0.3784
Celulas aisladas	3	0	0	0.0306
Total	39	12	30.7	0.0322

#### 6.11.¿Cuál es la evolución clínica de los pacientes con GC negativos y positivos?

#### a) Recurrencia

Gershenwald, encontró recurrencias en 27/243 pacientes con GC negativos (11%) luego de un sequimiento medio de 35 meses<sup>41</sup>. (Tabla 27):

TABLA 27
Distribución de recurrencia en 27 pacientes con GC
negativos.

	Primera	recurrencia	Recurrencia	tota
Localización		%	n	%
Local	4	1.6	4	1.6
En transito	8	3.3	10	4.1
Regional	10	4.1	14	5.8
Sistémica	9	3.7	18	7.4

Adaptado de Gershenwald<sup>e</sup>

La primera recurrencia fue en un solo territorio en el 89% de los casos. Nueve pacientes presentaron diseminación sistémica como primera evidencia de recurrencia (3.7%). Nueve pacientes adcionales desarrollaron metástasis luego de aparecida la primera recurrencia focorregional.

El territorio ganglionar donde se había investigado el GC fue el sitio mas común de aparición de la primera recurrencia. 10 pacientes (4.1%).

Una revisión de los preparados histológicos con ortes seriados e IHQ demostró metástasis ocultas en 8 de los 10 pacientes que presentaron su primera recurrencia en el territorio ganglionar. Asimismo, en la revisión histológica de los preparados de 13 pacientes que recurrieron en lugares distintos a los ganglios regionales no pudo evidenciares metástasis en ninguno de ellos. Es interesante postular que estos pacientes puedan representar un subgrupo con diseminación hematógena pura.

En pacientes con GC negativo, el espesor tumoral y la presencia de ulceración fueron los únicos factores de riesgo de recurrencia en análisis multivariable. Clary<sup>81</sup> obtuvo un porcentaje de recurrencia del 14% con GC negativos (Tabla 28) y del 39% en la grupo de GC positivos. Al igual que Gershenwald, el espesor del melanoma fue el principal factor de riesgo de recurrencia en pacientes con GC negativos, no así en pacientes con GC positivos en los que la profundidad pierde significado pronóstico.

La incidencia de metástasis sistémica como primer sitio de recurrencia, aumenta a medida que se incrementa el intervalo libre de enfermedad.

La incidencia de metástasis en tránsito fue más frecuente en el grupo de pacientes con GC positivo (32% contra 18%). En contraste, la recurrencia regional fue mas frecuente en el grupo de GC negativo. Esto probablemente refleje el control regional conseguido con la linfadenectomía ante la presencia de un GC positivo.

#### b) Supervivencia libre de enfermedad

En una serie multicéntrica, Gershenwald encontró que el estado del GC fue el predictor más potente de supervivencia libre de enfermedad a 3 años, (88.5% vs. 55.8%, p<0.0001)<sup>43</sup>. (Tabla 30).

Los Relatores confirmaron el valor predictivo del estado del GC al encontrar una supervivencia libre de enfermedad a 5 años del 87% en pacientes con GC negativos y del 61% en pacientes con GC positivos (p< 0.001).

#### c) Supervivencia global

En su serie Gershenwald encontró una supervivencia global a 3 años en pacientes con GC negativos y positivos de 96.8% y 69.9% respectivamente (p<0.0001), siendo nuevamente el astado del GC el predictor más potente.

Pacientes con GC negativo estaban asociados con un aumento de 58.6% y 38.5% en la supervivencia libre y específica de enfermedad a 3 años en comparación con los que tenían GC positivos. El análisis multivariado reve-

TABLA 28
Patrón de primera recurrencia luego de mapeo linfático en distintas series.

		Pri				imera recurrencia		
Investigador	n	Sgmto. meses	Rec.(%)	Regional	En transito	Local	Sistémica	
Gershenwald, 1998 <sup>41</sup>	243 GC-	35	11	32	26	13	29	
Gadd, 1999 <sup>30</sup>	89 GC-	23	12	64	18	NR	18	
Essner, 1999 <sup>33</sup>	225 GC-	45	12	42	23	NR	34	
Essner, 1999 <sup>33</sup>	42 GC+	45	38	31	25	NR	44	
Clary, 200021	252 GC-	23	14	28	18	18	36	
Clary, 200021	56 GC+	27	39	14	32	9	45	

Rec.: recurrencia; Sgmto.: seguimiento.

TABLA 29
Distribución de la primera recurrencia.
Experiencia de los Relatores.

3	n	Rec.	%	Local	Regional	Sistémica	Transito
GC negativos	222	32	14	8 (3.6%)	14 (6.3%)	10 (4.5%)	0
GC positivos	56	14	25	4 (7%)	0	9 (16%)	1 (1.7%)

Rec.; recurrencia,

TABLA 30
Factores pronósticos que influencian supervivencia libre de enfermedad y supervivencia global en pacientes con melanoma E I y II (todos los pacientes).

Factor pronostico	Supervivencia libro Relación de rie		Supervivencia global Relación de riesgo P	
Edad	1.0	0.88	1.01	0.57
Sexo	0.84	0.45	1.11	0.78
Profundidad	1.21	< 0.00001	1.23	0.0004
Clark>III	1.91	0.013	2.32	0.4
Axial	1.20	0.43	1.72	0.13
Ulceración	1.73	0.01	1.62	0.14
GC	3.41	< 0.00001	6.53	< 0.00001

Adaptado de Gershenwald<sup>43</sup>

TABLA 31
Tasa de supervivencia libre de enfermedad y global a 5 años.
Experiencia de los Relatores

Supervivencia 5 años	GC Negativo	GC positivo	Р
Libre de Enfermedad	87% IC = 80%-94%	61% IC = 41%-82%	p< 0.0001
Global	92% IC = 87%-98%	81% IC = 66%-95%	p = 0.01

IC: Intervalo de confianza

ló que la presencia de un GC positivo fue el más importante predictor de recurrencia y supervivencia.

Cuando estratifició a los pacientes de acuerdo al estado del GC, encontró que la profundidad, el Clark > III y la ulceración eran importantes factores pronósticos en pacientes con GC negativo En contraste, en pacientes con GC positivo, ninguno de estos factores proveía información pronostica adicional.

Los Relatores obtuvieron una tasa de supervivencia global a 5 años de 92% en pacientes con GC negativos y de 81% en pacientes con GC positivos (p = 0.01), Tabla 31.

- La tasa de recurrencia de los pacientes con GC negativo es del 11%, y ocurre más frecuentemente en el territorio ganglionar.
- Alrededor del 40% de los pacientes con GC positivos recurren, habitualmente en forma sistémica.
- La profundidad y ulceración son factores de riesgo de recurrencia en pacientes con GC negativos, perdiendo significado en los positivos.
- El estado del GC fue el predictor más potente de supervivencia libre de enfermedad y de supervivencia global.

#### 6.12.¿Tiene morbilidad el procedimiento?

La morbilidad del mapeo linfático utilizando colorante y radiofármaco es baja.

#### Las complicaciones más frecuentes son:

- Formación de un seroma luego de la extirpación del GC.
- Trastornos sensitivos por sección nerviosa.
- Linfedema,

Una complicación muy importante aunque poco fracuente del colorante se el shock anafiláctico. Leong reporta 3 casos en 406 pacientes\*\*. Se manifestó 30 minutos después de la inyección intradérmica de Isosultan blue. Su intensidad varió entre una hipotensión tratable acompañada de urticaria y entiema hasta colapso cardiovascular con broncoespasmo. Se han descripto también reacciones anafilácticas con el uso de azul patente con una frecuencia de 0.6 a 2.5% s<sup>st</sup>.

Los tatuajes adquieren importancia en el área de cabeza y cuello. Con frecuencia se decoloran rápidamente, aunque pueden permanecer hasta un año, e incluso en forma permanente.

#### El ML es un procedimiento seguro con bajo índice de complicaciones:

- indice de complicaciones:

  Seromas, trastornos sensitivos y linfedema
- Tatuajes y shock anafiláctico por colorante.

#### 6.13.¿Cuál es el valor terapéutico de la biopsia del GC?

A pesar de la sencillez y eficacia de la técnica, la mínima morbilidad y la amplia difusión que tuvo, no podemos asignarle un valor terapéutico al ML hasta que se pruebe una ventaja en la supervivencia con respecto a la resección amplia y observación. Como veremos, Morton está liderando un estudio multicéntrico (MSLT, página 102) para determinar si el empleo del mapeo lintático en pacientes con melanoma mejora la supervivencia. Los primeros resultados los tendremos en los próximos años.

Sin embargo, algunos trabajos retrospectivos han comprobado que esta técnica por lo menos no empeora la supervivencia cuando se la compara con la linfadenectomía electiva. Essner del JWCl comparó

los resultados del tratamiento de 534 pacientes portadores de melanoma estadio clínico 133. La mitad fue tratada con LE y la otra mitad con biopsia del GC y vaciamiento si este fue positivo. La incidencia globali de metástasis ganglionares fue similar, pero la de metástasis ocultas fue mayor en pacientes con tumores de profundidad intermedia (1,50-4,00 mm) a quienes se realizó ML (23.7%) en comparación con los que recibieron una LE (12.2%). La supervivencia libre de enfermedad y global fue equivalente. Los pacientes con LE tuvieron una incidencia mayor de metástasis a distancia (8.9% vs. 4.0%, p = 0.03) pero esto fue atribuido a un mayor tiempo de seguimiento (169 meses vs. 45 meses). La conclusión de los autores es que el ML es terapéuticamente equivalente a la LE aunque parece ser más efectivo para estadificar los ganglios regionales.

- Estudios retrospectivos demostraron una supervivencia global y libre de enfermedad equivalente a la LE.
- El valor terapéutico del ML y biopsia del GC, aun no determinado, se esta evaluando en el Multicenter Selective Lymphadenectomy Trial (MSLT).

### 6.14.¿Tiene utilidad en la estadificación del melanoma?

Incuestionablemente la biopsia del GC permite una certera estadificación anatomopatológica al aumentar casi un 50% el porcentaje de ganglios positivos en comparación con los detectados mediante procedimientos convencionales. Se conforman así grupos más homodéneos de pacientes con pronéstico semeiante.

Luego de la revisión de factores pronósticos de 17600 pacientes portadores de melanoma, la American Joint Committee on Cancer (AJCC) aprobó la modificación al sistema de estadificación del melanoma<sup>8</sup>.

Incorpora la estadificación patológica obtenida con información de la biopsia del GC seleccionando los pacientes con micrometástasis ganglionares.

La biopsia del GC define los "Estadios patológicos" del nuevo sistema de estadificación (TNM) de la AJCC que rige desde el ano 2002.

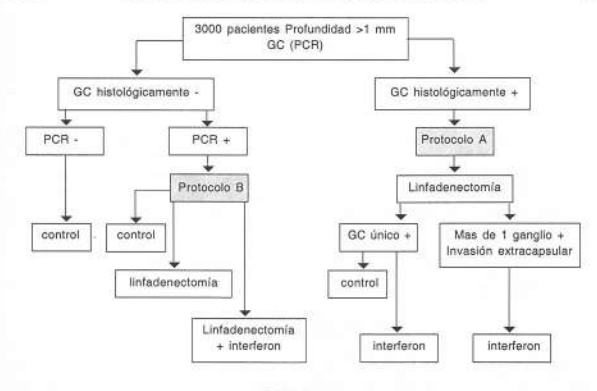


FIGURA 13
Esquema del Sunbelt Melanoma Trial<sup>13</sup>.

- 7. Protocolos multicéntricos en marcha
- 7.1. Sunbelt Melanoma Trial.
- International Multicenter Selective Limphadenectomy Trial (MSLT).

#### 7.1. Sunbelt Melanoma Trial78

Es un estudio multicéntrico, prospectivo, randomizado que integra los avances en estadificación de melanoma y en terapia adyuvante. Incluye 79 centros en EEUU (Principal investigador: Kelly McMasters) con mas de 2200 pacientes incorporados.

La hipótesis central es que el agregado de terapia adyuvante con Interferón alfa-2b a la lintadenectomía prolonga la supervivencia libre de enfermedad y global en pacientes con metástasis ganglionares tempranas. (única o GC positivo para PCR).

Se incluyen pacientes menores de 71 años portadores de melanoma con profundidad de 1 mm o mayor, que no presenten adenopatías paloables ni evidencia de metástasis a distancia y que no tengan contraindicación para recibir Interferón.

- Los pacientes con GC negativos pero PCR + (PROTOCOLO B) son estratificados de acuerdo a la profundidad y ulceración y luego randomizados en tres brazos: control, linfadenectomía y linfadenectomía mas interferón (1 mes a al sa dosis). Este protocolo determinará de una manera prospectiva si el tratamiento con Interferón alfa 2b asociado a la linfadenectomía es superior a la lintadenectomía sola en términos de supervivencia libre de enfermedad y global. En el terce brazo se evidenciará la histocia natural de aquellos pacientes con PCR +.
- En el PROTOCOLO A (GC histológicamente positivos) se realiza a todos una linfadenectomia. Aquellos que presentan un único ganglio positivo son randomizados para control o altas dosis de interferón luego de ser estratificados de acuerdo a profundidad y ulceración. En este protocolo se busca evaluar el rol del tratamiento adyuvante con interferón en pacientes con metástasis ganglionares iniciales detectadas por histología e IHO.

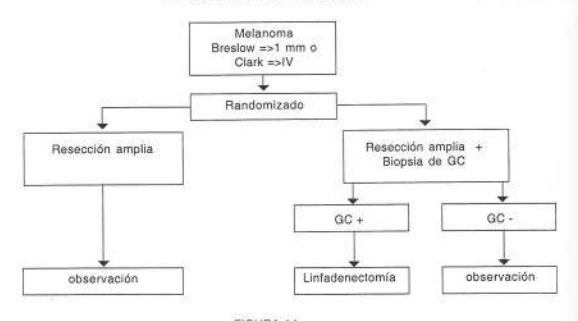


FIGURA 14
Esquema del MSLT<sup>III</sup>.

Los resultados de este estudio aportaran en los próximos años importante información en relación con estadificación, pronóstico y terapéutica de pacientes con melanoma.

#### International Multicenter Selective Lymphadenectomy Trial (MSLT)<sup>84</sup>

Fue diseñado para comparar la supervivencia en pacientes con estadios iniciales de melanoma tratados con resección amplia versus resección amplia, biopsia del GC y linfadenectomía si este es positivo. Iniciado en 1944, es un protocolo multidisciplinario al que se incorporaron 16 centros, luego de demostrar una tasa de identificación de mas del 85% en por lo menos 30 casos.

Incluye pacientes con melanoma igual o mayor de 1 mm o con un Clark IV.

Sus resultados a largo plazo permitirán evaluar la utilidad terapéutica de la biopsia del GC y linfadenectomía y confirmarán la seguridad de este método como procedimiento de estadificación.

#### 8. Control de calidad

### 8.1. ¿Es necesario un control de calidad del procedimiento?

Al ser multidisciplinaria, la acreditación y control de calidad de esta técnica es compleja. Se debe tener presente que el GC no es un gangilo "azul" o un ganglio "caliente". Estos son simples resultados de la aplicación de la tecnología para identificar un evento biológico como son las metástasia ganglionares. Si la técnica no es realizada correctamente, el verdadero GC no podrá ser identificado, lo que originará un resultado falso negativo y una recurrencia clínica meses más tarde.

Es de gran importancia que el cirujano que realice ML lidere un grupo coordinado con especialistas en Medicina Nuclear y anatomopatólogos entrenados en la técnica.

- El especialista en Medicina Nuclear debe estar familiarizado con los patrones de drenaje liníático más comunes en diferentes áreas del cuerpo además de los drenajes no esperados y GC "en tránsito". Debe estar en condiciones de obtener imágenes dinámicas tempranas para la correcta identificación del verdadero GC.
- El examen anatomopatológico debe incluir cortes seriados, tinciones con H&E e IHQ para minimizar la tasa de falsos negativos.
- Cada cirujano debe realizar su propia curva de aprendizaje hasta lograr al menos un 90% de exactitud en la identificación del GC con una tasa de falsos negativos que no exceda

el 5%<sup>80</sup>. El número de procedimientos en la fase de aprendizaje es el necesario para reducir la incidencia de errores técnicos en la detección del GC a un nivel comparable con las series internacionales.

Por consenso, este nivel de experiencia se obtiene luego de 30 a 50 procedimientos<sup>85</sup>.

Morton demostró que el éxito del procedimienno está en relación directa con la experiencia del
cirujano<sup>51</sup>. Para ingresar al MSLT cada centro debió realizar en la fase de aprendizaje 30 procedimentos, seguidos de LE, con una exactitud del
25% <sup>24</sup>. Luego de completar esta fase, no hubo diferencia en la tasa de identificación entre centros
de alto y bajo volumen de pacientes. Concluyeron
que 30 casos son un número suficiente para el
aprendizaje de la técnica. Con la técnica combinada, la curva de aprendizaje se facilita. Obtuvieron
tasas de identificación del 98%, contra 94% con
colorante<sup>24</sup>.

Testori y Veronesi tuvieron una tasa de identificación del 78.5% con colorante y del 95.5% con radiofármacos. Cuando combinaron ambas técnicas, la eficacia fue del 98.5% 112 Tanto con la técnica con radiofármaco como con la combinada no hubo "curva de aprendizaje", obteniendo un alto porcentaje de identificación desde los primeros casos. En contraste, el éxito en la detección con colorante mejoró de un 57% en la fase inicial a un 81% en la actualidad. Cuando analizaron el tiempo requerido para la identificación del GC, encontraron que cuando el ganglio estaba teñido era hallado mas rápidamente (10.1 minutos) que cuando no lo estaba (16.8 minutos). Concluyeron que. el agregado de radiofármacos a la técnica con colorante elimina la curva de aprendizaje para el ML en melanoma, y aconsejan continuar utilizando el colorante va que permite una localización más rápida del GC.

Es cuestionable la realización del ML en centros con bajo volumen de pacientes con melanoma, que no cuenten con un grupo médico multidisciplinario entrenado en la técnica o con el equipamiento necesario. La menor tasa de identificación y el aumento de la tasa de falsos negativos, produciría una desacreditación de la técnica y privaría a aquellos pacientes con micrometástasis del eventual beneficio en la supervivencia de la linfadenectomía terapéutica precoz y del tratamiento adyuvante con Interferón.

- El control de calidad del mapeo linfático es importante para obtener una tasa alta de identificación y baja de falsos negativos.
- El especialista en Medicina Nuclear debe estar familiarizado con la técnica y contar con el equipamiento necesario.
- Debe realizarse un estudio anatomopatológico completo que incluya múltiples cortes e IHQ.
- Cada grupo quirúrgico debe realizar su propia curva de aprendizaje hasta alcanzar una tasa de identificación mayor a 90% y una tasa de falsos negativos menor a 5%. Con colorante son necesarios 30 casos, cifra que disminuye con la técnica combinada.

#### 9. Utilidad del mapeo linfático (ML)

#### 9.1. ¿Qué valor tiene el empleo del mapeo linfático en melanoma?

Existen 4 razones para realizar la biopsia del GC en melanoma, todas ellas relacionadas con la posibilidad de lograr una segura estadificación<sup>72</sup>:

- a) Información pronóstica. El estado del GC es el más importante predictor de supervivencia en pacientes con melanoma. Ninguna combinación de características del tumor primario puede provear esta información pronóstica.
  - La estadificación ganglionar sirve para dos propósitos:
  - Identifica a los pacientes con pronósticos favorables en quienes no es necesario realizar ningún tratamiento adicional.
  - Señala aquellos de alto riesgo que pueden beneficiarse con tratamiento adyuvante.

Aunque se demuestre que el ML no mejora la supervivencia por si mismo, continúa teniendo un valor intrínseco que justifica su utilización, por lo menos hasta que se describa otra técnica poco invasiva y con similar valor predictivo. A ningún otro método diagnóstico utilizado para la estadificación conológica se le exige eficacia terapéutica, incluyendo TC, RNM, PET, e incluso, el vaciamiento axilar en el cáncer de la mama. La biopsia del GC es un procedimiento mínimamente invasivo, realizado junto con la resección del tumor primario, con escasa morbilidad, que provee importante información pronóstica. Permite que tanto el paciente como el médico puedan tomar una adecuada decisión sobre realizar o no un tratamiento adicional.

- b) Identificación de pacientes que se pueden beneficiar de una linfadenectomía terapéutica temprana.
  - La linfadenectomía es curativa en algunos pacientes con metástasis ganglionares.
  - La carga tumoral presente en los ganglios, medida como el número de ganglios positivos, es el mejor predictor de evolución.

Por estas razones, la extirpación temprana de los ganglios comprometidos, seria mejor que esperar a que se manifiesten clínicamente.

Por lo tanto, si las micrometástasis pueden ser detectadas; en base a los datos del intergroup Meianoma Trial y del WHO program TRIAL#14 la linfadenectomía terapéutica temprana mejoraría la supervivencia.

A los pacientes con GC negativos se les evita la linfadenectomía con un procedimiento tan sencillo como una biopsia de ganglio realizada en forma ambulatoría.

c) Identificación de candidatos para terapia adyuvante con Interferón alfa 2b. La utilización de Interferón alfa 2b para terapia adyuvante en melanomas de alto riesgo fue aprobada en el ano 1996 por la Administración de Alimentos y Drogas (FDA) de los Estados Unidos.

Esta indicación estuvo basada en los resultados del Eastern Cooperative Oncology Group (ECOG) Trial E 1684, que demostró un beneficio en la supervivencia libre de enfermedad y global en aquellos pacientes tratados con Interferón;

Un estudio de seguimiento, el ECOG Trial 1690 confirmó el beneficio en la supervivencia libre de enfermedad, pero no pudo demostrar beneficio en la supervivencia global<sup>61</sup>. Este haliazgo generó cierta controversia con respecto a los beneficios de su utilización. Ambos estudios

concluyeron que el tratamiento con Interferón en altas dosis mejora la supervivencia libre de enfermedad, a pesar de que los beneficios en la supervivencia global solamente fueron demostrados en el E 1884.

Los resultados de otro importante estudio, revaloriza la utilización de altas dosis de Interferón alta 2b. El ECOG Trial 1694, dirigido por Kirkwood randomiza 774 pacientes con melanoma de alto riesgo a recibir terapia adyuvante con altas dosis de Interferón versus una vacuna de gangillosido GM2ºº. Este estudio fue abierto en forma temprana por el Comité que monitoreaba los datos debido a la clara superioridad del Interferón en supervivencia libre de enfermedad y global. Agrega una importante nueva evidencia que confirma el beneficio de las altas dosis de Interferón en melanoma.

Este tratamiento debe evaluarse siempre, junto con sus eventuales complicaciones, en pacientes con melanomas de alto riesgo, especialmente aquellos que presentan ganglios positivos.

Actualmente en el Sunbelt Melanoma Trial se utiliza la biopsia de GC para seleccionar pacientes con micrometástasis y evaluar en ellos el tratamiento advuvante con interferón.

d) Identificación de una población homogénea para estudios clínicos con terapia adyuvante. Los estudios recientemente analizados (ECOG 1684 y 1690) fueron realizados antes de la utilización de la biopsia del GC para estadificación ganglionar. Incluían una población heterogénea, con una gran mayoría de pacientes que presentaban adenopatías palpables o melanomas recurrentes y muy pocos pacientes (11-12%) con metástasis microscópicas. Esta heterogeneidad en los pacientes ingresados confunde en la interpretación de los resultados.

Por otra parte, en la actualidad, en los centros donde se realiza ML solo unos pocos pacientes se presentan con adenopatias palpables, lo que evidencia que la población del Estadio III está cambiando. La gran mayoría son ahora aquellos que tienen micrometástasis detectadas con biopsia del GC y difieren significativamente de las poblaciones de los estudios anteriores. Por lo tanto, uno de los mayores éxitos de la

biopsia del GC es poder identificar una población homogénea, con pronóstico similar, para ingresarlos dentro de ensayos clínicos prospectivos.

El valor más importante del mapeo linfático en melanoma es proveer una estadificación segura, lo cual permite:

- Brindar información pronóstica.
- Seleccionar pacientes que se beneficiarían con una linfadenectomía terapéutica temprana.
- Evitar la morbilidad de la linfadenectomía en pacientes con GC negativos.
- Identificar pacientes que pueden beneficiarse con tratamiento advuvante.
- Identificar poblaciones homogéneas para ingresar en ensayos clínicos.

#### BIBLIOGRAFIA

- Albertini JJ, Cruse CW, Rappaport D, et al: Intraoperative radiolymphoscintigrphy improves sentinel node identification for patients with melanoma. Ann Surg 1998: 2: 217-224.
- Alex JC, Krag DN: Gamma- probe-guided localization of lymph nodes. Surg Oncol 1993; 2:137.
- Alex JC, Weaver DL, Fairbank JT, et al: Gamma-probeguided lymph node localization in malignant melanoma. Surg Oncol 1993; 2:203
- Bagley FH, Cady B, Lee A, et al: Changes in the clinical presentation and management of malignant melanoma. Cancer 47: 2126, 1981.
- Baich ChM, Buzaid AC, Soong SJ, et al: Final version of the American Joint Committee on Cancer Staging Sistem for Culaneous Melanoma. J Clin Oncol 2001; 18: 3635-3648.
- Balch CM, Milton GW, Cascinelli N, et al: Pros and cons. In Balch CM, Houghton AN, Milton GW, et al (eds): Cutaneous Melanoma, ed 2. Philadel-phia, JB Lippincott, 1992, p345.
- Balch CM, Soong S, Ross MI, et al: Long term results of a multi-institutional randomized trial comparing prognosite factors and surgical results for intermediate thickness melanoma (1.0 to 4.0mm). Ann Surg Oncol 7(2): 87-97, 2000.
- 8 Baich CM, Soong SJ, Bartolucci AA, et al. Efficacy of an elective regional lymph node disection of 1 to 4 mm thick melanomas for patients 60 years of age and
- thick melanomas for patients 69 years of age and younger. Ann Surg 1998; 224:255-288.

  Baich CM, Scong SJ, Milton GW, et al: A comparison of prognostic factors and surgical results in 1786 patient localized (stage I) melanoma treated in Aldabama. USA,
- and South Weise, Australia. Ann Surg 196: 677, 1982.
  10. Balch CM, Soong SJ, Murad TM, et al: A multi-factorial analysis of melanoma II: Prognostic factors in patients with stage I (localized) mela-noma. Surgery 86: 343, 1979.
- 11. Balch CM, Soong SJ, Murad TM, et al: A multi-factorial analysis of melanoma III; Prognostic factors in

- melanoma patients with limph nodes metastases (stage II). Ann Surg 193: 377, 1981.
- Balch CM. The role of elective limph node sissection in melanoma: rationale, results and controversies. J Clin Oncol 1988; 6: 163 and 6: 392.
- Berger DH, FeigB, Podoloff D, et al. Lymphoscintigraphy as a predictor of lymphatic drainage from cutaneous melanoma. Ann Surg Oncol 1997; 4: 247-251.
- Bostick P, Essner R, Sarantoul T, et al: Intraoperative lymphatic mapping for early stage melanoma of the head and neck. Am J Surg 1997; 174:536-539.
   Bostick PJ, Morton DL, Turner RR, et al: Prognostic
- significance of occult metastases detected by sentinel lymphadenectomy, and reverse transcriptase-polymerase chain reaction in early-stage melanoma patients. J. Clin Oncol 1999; 17: 3238-3244. G. Cabrelas R. Falco J.E. Anchezar JP, et al: Cirugías
- radioguladas: presente y futuro de la Medicina Nuclear Intervencioniste. Revista de la Comisión Nacional de Energia Alómica 2001; 1: 21-24. 17. Callery C. Cochran AJ, Roe DJ, et al: Factors proposable
- for survival in patients with malignant melanoma spread to the regional lymph nodes. Ann Surg 196: 89, 1982. 18. Carlson GW, Murray DR, Staley CA, et al. The amount of materials maligname in a compiled limit node. Pose
- of metastatic metanoma in a sentinel limph node: Does it have prognostic significance? (abstract). Ann Surg Oncol 2002; 1: S19.
- Cascinelli N, Belli F, Santinami M et al: Sentinel Lymph nodebiopsy in cutaneous melanoma: The WHO Melanoma Program experience. Ann Surg Oncol 2000; 7: 489-74.
- Cascinelli N. The role of clinical trials in assessing optimal treatment of cutaneous melanoma not extending beyond the regional nodes. Eur J Surg Oncol 1996; 22: 123-133.
- Clary BM, Brady MS, Lewis JJ, et al: Sentinel Lymph node biopsy in the management of patients with primary outaneous melanoma: Review of a large singleinstitutional experience with an emphasis on recurrence. Ann Surg 2001; 233: 250-256.
- Cochran AJ, Balda BR, Starz H, et al: The Ausburg Consensus. Techniques of lymphatic mapping, sentinel lymphadenectomy and completion lymphadenectomy in cutaneous malignancies. Cancer 2000: 89: 237-241.
- Cochran AJ, Huang RR, Guo J, et al: Current practice and future directions in pathology and laboratory evaluation of the sentinel node. Ann Surg Oncol 2001; 8: 13-17.
- Coohran AJ, Starz H: Pathologic aspects. En: Hiram S Cody III. Sentinal Lymph Node Biopsy. London: Martin Dunitz Ltd; 2002; 79- 90.
- Cochran AJ, Wen DR, Morton DL, et al: Occult tumor cells in the lymph nodes of patients with pathological stage I malignant melanoma. An inmunohistological
- study. Am J Surg Pathol 1988; 12: 612-618. 26. Cochran AJ: Melanoma metastases throught the lymphatic system. Surg Clin North Am 2000; 6: 1683-1693.
- Corsetti RL, Alien HM, Wanebo HJ: Thin < 1mm level III and IV melanomas are higher risk lesions for regional failure and warrant sentinel lymph node biopsy: Ann Surg Oncol 2000: 74:56-460.
- Curutchel HP, Montesinos MR, Dorr J, Falco JE and Mezzadri NA: Results of intraoperative lymphatic mapping in clinical stage I melanoma. Nuevas tendencies en Oncologia 1995; 4: 25.
- Das Grupta TK. Results of treatment of 269 patients with primary cutaneous melanoma; A five years

- prospective study. Ann Surg 186: 201, 1977.
- Day CL, Mihm MC, Lew RA, et al: Prognosis factors for patients with clinical stage ( melanoma of intermediate thicknes (1.51-3.99mm): A conceptual model for lumor growth and metastases. Ann Surg 195: 35, 1982.
- Eidh J, Suurkula M, Holmstrom H: Prognosis for localized cutaneous melanomatreated with wide lexicision only, with special reference to development of regional nodal melastases. Tumori 73:51, 1967.
- Essner R, Bostick PJ, Glass EC, et al: Standardized probe-directed sentinel node dissection in melanoma. Surgery 2000;127: 26-31.
- Esser P, Contori A, Kelley MC: Efficacy of lymphatic mapping, sentinel lymphadenectoms, and selective complete lymph node dissection as a therapeutic procedure for early-stage melanoma. Ann Surg Oncol 1999; 6: 442-449.
- 34. Evans HL, Krag DN, Teates CD, et al: Lympho-scintigraphy and sentinel node biopsy accurately stages melanoma in patients presenting afyler wide excision (abstract). Ann Surg Oncol 2002; 9: S19.
- Falco JE, Alak MC, Degrossi O, Montesinos MR, et al: Ganglio certifinala: Localización intraoperatoria por detección infrocenteliografica. Poster presentado en las XV Jornadas Multidisciplinarias de Oncologia del Instituto "Angel Roffo", 1999.
- Falco JE, Alak MC, Degrossi O, Montesinos MR, y col. Localizacion intraoparatoria del ganglio centinela en el metanoma empleando linfocentellografia. Diagnóstico 1999; 86:754-756.
- 37 Falco JE, Curutchet HP, Montesinos MR, y col. Mapeo infatico y biopsia del ganglio centinella: ¿Fin del vaciamiento profilactico en el tratamiento del melanoma? Rev
- Argent Cirug 1997; 73: 154- 161.
  38. Falco JE, Kahn AG, Montesinos MR, y col. Ganglio Centinela: resultados de su estudio para el tratamiento del melanoma cutáneo. Rev Arcent Canc 1997. 1: 210- 224.
- Falco JE, Montesinos MR, Dorr J, Mezzadri N y Curulchel HP: Biopsia del ganglio continela en melanomas de cabeza y cuello. Leido en el XVI Congraso Argentino de Cirugia de Cabeza y Cuello. Bariloche, 1997.
- Gadd Ma, Cosimi AB, Yu J, et al: Outcome to patients with melanoma and histologically negative sentinel lymph nodes. Arch Surg 1999; 134: 381-387.
- Gershenwald JE, Colome MI, Lee JE, et al: Patterns of recurrence following a negative sentinel lymph node bipsy in 243 patients with stage I or II melanoma. J Clin Oncol 1998; 16: 2253-2260.
- Gershenwald UE, Prieto VG, BallG, et al: Sentinel lymph node (SLN) microscopic tumor burden predicts Non-SLN involvement in melanoma patients undergoing therapeutic lymphadenectomy (abstract). Ann Sug Oncol 2002: 9: 518-519.
- Gershenwald JE, Thompson W, Mansfield PF et al: Multiinstitutional melanoma lymphatic mapping experience: The prognostic value of sentinel node status in 612 stage for If melanoma patients. J Clin Oncol 1999:17:976-93.
- Gershenwald JE, Tseng CH, Thompson W et al: improved sentinel lymph node localization in patients with primary melanoma with the use of radiolabeled colloid. Surgery 1998: 124: 203-10.
- Gershnwald JE, Mansfield PF, Lee JE, et al: Role for lymphatic mapping and sentinel lymph node biopsy in patients with thick (>4mm.) primary melanoma. Ann Surg Oncol 2000;7: 160-165.
- Glibbs JF, Huang PP, Zhang PJ, et al: Accuracy of pathologic techniques for the diagnosis of metastatic melanoma in sentinel lymph nodes. Ann Surg Oncol

- 1999; 6: 699-704.
- Giass LF, Fenske NA, Messina JL, et al: The role of selective lymphadenectomy in the management of patients with malignant melanoma. Dermatol Surg 1995; 21: 979-83, malig
- Goscin C, Glass LF, Messina JL: Pathologic examination of the sentinel lymph node in melanoma. Surg Oncol Clin N Am 1999; 8: 427-434.
- Haddad FF, Costello D, Reintgen DS: Radioguided surgery for melanoma: Surg Oncol Clin North Am 1999;
   413-426.
- Haddad FF, Stall A, Messina J, et al: The progression of melanoma nodal metastasis is dependenton tumor thickness of the primary lesion. Ann Surg Oncol 1999; 6: 144-149.
- Heller R, Becker J, Wasselle J, et al: Defection of submicroscopic limph node metastases in patients with metanoma. Arch Surg 126:1455, 1991.
   Joseph E, Brobell A, Glass F, et al: Results of comple-
- te lymph node dissection in 83 metanoma parients with positive sentinel nodes. Ann Surg Oncol 1998; 5:119-125.
- Kahn A, Falco JE, Elsner B, Curutchet HP: Evaluación del ganglio centinela en 43 pacientes portadores de melanoma maligno cutáneo. Arch Argent Dermatol 1997; 47: 115- 119.
- Kahn A, Falco JE, Elsner B, Curutchet HP: Sentinel lymph node: Detection of micrometastasis in 43 patients with cutaneous malignant melanoma, Mod Pathol 1997; 10: 45.
- 55. Kahn A, Vergani P, Falco JE, y col. Detección de micrometastasis de melanome maligno utilizando RT-PCR en ganglios centinelas. Leido en la Jornada Invernal '99 de la Sociedad Argentina de Patología. Buenos Alres, 26 de Junio de 1999.
- Kaptelin BA, Nieweg OE, Liem I, et al: Localizing the sentiner node in cutaneous melanoma; Gamaprobe detection versus blue dye. Ann Surg Oncol 1997; 4-159-90.
- Karakousis CP, Grigoropoulos P: Sentinel node biopsy before and after wide excision of the primary melanoma. Ann Surg Oncol 1999; 6: 785-789.
- Karakousis CP, Kachrimanidis S, Rao U, et al: Changes in survival with clinical stage i malignant melanoma. J Surg Oncol 34: 155, 1987.
- Kelley MC, Ollia DW and Morton DL: Lymphatic mapping and Sentinel Lyphadenectomy for melanoma. Sem Surg Oncol 1998; 14: 283-290.
- Kim CJ, Shivers S, Li W, et al: Prognostic factors and molecular staging of patients with malignant melanoma. (abstract) Ann Surg Oncol 2002; 9: S18.
- Kirkwood JM, Ibrahim JG, Sondak VK et al: High and low dose interferon alfa 2b in high-risk melanoma; linst analysis of intergroup trial E1690/S9111/C9190. J Clin Oncol 2000; 18: 2444.
- 62. Kirkwood JM, Ibrahim JG, Sosman JA, et al: High dose interferon alia 2b significantly prolongs relapse-free and overall survival compared with the GM2-KLH/GG-21 vaccine in patients with resected stage lib-III melanoama: results of intergroup trial E 1694/ S9512/ C509801. J Clin Oncol 2001; 19: 2370-2380.
- Kirkwood JM, Strawderman MH, Ernstoff MS, et al: Interferon alfa 2b adjuvant therapy of high risk resected outaneous melanoma: the Eastern Cooperative Oncology Group Trial EST 1684. J Clin Oncol 1996; 14: 7-17.
- Krag DN, Meijer SJ, Weaver DL, et al: Minimal access surgery for staging of malignant melanoma. Arch Surg 1995;130: 654-660.

- Krasnow AZ, Hellman RS: Lymphoscintigraphy revisited: 1999. Nuclear Med Annual 1999; 17-97.
- Leong SP, Donegan E, Heffernon W, et al: Adverse reactions to isosulfan blue during sentinel lymph node dissection in melanoma. Ann Surg Oncol 2000; 7: 361-368.
- 57 Leong SP, Stainmetz I, Habib FA, et al: Optimal selective sentinal lymph node dissection in primary malignant melanoma. Arch Surg 1997; 132: 666-673.
- Leong SP: The role of sentinel lymph nodes in malignant melanoma. Surg Clin North Am 2000; 6: 1741-1757.
- melanoma. Surg Clin North Am 2000; 6: 1741-1757.
   Lingman MK, Mackie RM, McKay AJ: Intraoperative identification of sentinel lymph node in patients with
- malignant melanoma. Br J Cancer 1997; 75: 1505-1508.

  O McCarthy WH, Shaw HM, Milton GW: Efficacy of elective limph node dissection in 2347 patients with clinical stage I melanoma. Surg Gynecol Obstet 161:575-1995.
- McMasters KM, Giuliano AE, Ross MI, et al: Sentinellimph-node biopsy for breast cancer- not yet the standard of care. N Engl J Med; 1998, 339: 990-995
- McMasters KM, Reintgen DS, Ross MI, et al: Sentinel imph node biopsy for melanoma: Controversy despite widespread agreement. J Clin Oncol 2001; 19: 2851-2855.
- McMasters KM, Reintgen DS, Ross MI, et al: Sentinel Lymph node biopsy for melanoma: How many radioactive nodes should be removed? Ann Surg Oncol 2001; 8: 192-197.
- 74. McMasters KM, Wong SL, Edwards MJ, et al: Frequency of nonsentinel lymph node metastasis in metanoma. Ann Surg Oncol 2002; 9:137-141.
- McMasters KM: The Sunbelt Melanoma Trial. Ann Surg Oncol 2001; 8: 41-43.
   McNeerG, Das Grupta TK: Prognosis in malignant
- melanoma, Surgery 56: 512, 1964, 77. Messina JL, Glass LF, Cruse CW: Pathologic examination of the sentinel lymph node in malignant
- melanoma. Am J Surg Pathol 1999; 23: 696-690.
  78. Milton GW, Shaw HM, Mc Carthy WH, et al.
  Prophylactic lymph node dissection in clinical stage (
  cutaneous malignant melanoma: results of surgical
  treatment in 1319 patients. Br J Surg 1992; 69: 108-
- Montesinos MR, Falco JE, Sinagra DL, y col. Cutaneous melanoma of the head and neck. Nuevas Tendencias en Oncologia 1995; 4: 23.
- Montesinos MR, Falco JE, Sinagra DL, y col. Valor del vaciamiento inguinal en malanoma cutárieo. Rev Argent Ciruo 1999; 76: 80- 88.
- 81. Montesinos MR, Falco JE, Sinagra DL, Mezzadri NA: Analisis del empleo del vaciamiento axilar en melanoma. Rev Argent Cirug 2000; 78: 207- 212.
- Montesinos MR, Sinagra DL, Nallar M, Falco JE, et al: Melanomas cutaneos de Cabeza y Cuello. Pren Med Argent 1999; 86: 317- 325.
- Morton DL, Chan AD, et al: Current status of intracperative lymphatic mapping and sentinel lymphadenectomy for melanoma: Is it standart of care?. J Am Coll Sura 1999: 189:214-223.
- Morton DL, Thompson JF, Essner R, et al: Validation of the accuracy of intraoperative lymphatic mapping and sentinel lymphadenectomy for early stage melanoma. Ann Surg 1999; 230: 463-465.
- Monton DI, Wanek LA, Nizze JA, et al: Improved long term survival after lymphadenectomy of melanoma metastatic to regional nodes. Ann Surg 1991;310:47.
- metastatic to regional nodes. Ann Surg 1991;310:47.
  86. Morton DL, Wen DR, Foshag LJ, et al: Intrao-perative lymphatic mapping and selective cervical lymphade-

- nectomy for early stage melanoma of the head and neck. J Clin Oncol 1993; 11:1751-1756.
- Morton DL, Wen DR, Wong JH, et al. Technical details of intraoperative lymphatic mapping for early stage melanoma. Arch Surg 1992: 127, 393-259.
- Morton DL: Intraoperative Lymphatic mapping and sentinel lymphadenectomy; community standart care or clinical investigation? Cancer J Sci Am 1997; 3: 328-330.
- Morton DL: Lymphatic mapping and sentinel lymphadenectomy for melanoma: Past, present and future. Ann Sura Oncol 2001; 8: 22-28.
- Muller MG, Borgstein PJ, Pijpers R, et al: Reliability of the sentinel node procedure in metanoma patients: analysis of failures after long term follow up. Ann Surg Oncol 2000; 7: 481-468.
- O'Brien CJ, Uren RF, Thompson JF, et al: Prediction of potencial metastatic sites in cutaneous head and neck melanoma using lymphoscintigraphy. Am J Surg 1995; 170: 461-466.
- Porter GA, Ross Mi, Berman RS, et al: How many lymph nodes are enough during sentinel lymphadenectomy for primary melanoma?: Surgery 2000; 128: 306-11.
- Porter GA, Ross MI, Berman RS, et al: Significance of multiple nodal basin drainage in truncal melanoma patients undergoing sentinel lymph node biopsy. Ann Surg Oncol 2000; 7: 256-261.
- Quilinquini A, Hogendijk S, Hauser C, et al: Anaphylaxis to patent blue. Dermatology 1998; 197; 400.
- Reintgen D, Cruse CW, Wells K, et al: The orderly progression of melanoma nodal metastases. Ann Surg 1994; 220: 759-767.
- Reintgen D: The role of elective lymph node dissection in melanoma: Who should undergo this nodal staging procedure?. J Am Coll Surg 189: 224-232; 1999.
- Reintgen DS, Albertini J, Berman C, et al: Accurate nodal staging of malignant melanoma, Cancer Control 1995; 2: 405.
- Reintgen DS, Cox EB, Mc Carty KM jr, et al. Efficacy of elective tymph node dissection in patients with intermediate thickness primary melanoma. Ann Surg 1983; 198: 379-385.
- Reintgen DS: Changing standards of surgical care for the melanoma patients, Ann Surg Oncol 1996; 3: 327-328.
- Reintgen, D: Melanoma nodal metastases. Biological significance and therapeutic considerations. Surg Oncol Clin North Am 1996; 1: 105-120.
- Roses DF, Provet JA, Harris MN, et al: Prognosis of patients with pathologic stage II cutaneous malignant melanoma. Ann Surg 201: 103, 1985.
- 102 Ross M, Reintgen DS, Gershnwald J, et al: The margin of resection for deep (>4mm) primary melanoma. J Clin
- Oncol; 103. Ross MI: The case for elective Lymphadenectomy. Surg Oncol Clin North Am 2:205-222, 1992
- Rousseau DL, Ross MI, Ball G: Revised AJCC staging criteria accurately practict sentinet lymph node positivity in clinically node negative metanoma patients(abstract). Ann Surg Oncol 2002: 9: S18.
- Schneebaum S, Briele HA, Walker MJ, et al. Cutaneous thick melanoma: prognosis and treatment. Arch Surg 1987; 122: 707-711.
- 106. Shivers SC, Wang X, Li W, et al: Molecular staging of malignant melanoma: correlation with clinical outcome. JAMA 1998; 280(16): 1410-1415.
- Sin FH, Taylor WF, Pritchard DJ, et al. Lymphadenectorny in the management of stage I malignant melanoma: a prospective randomized study. Mayo Clin Proc. 1986; 61: 697-705.

- Slingluff C, Vollmer R, Reintgen D, et al: Lethal thin malignant melenoma. Ann Surg 1988; 208: 150.
- 109. Slingluff CL, Stidham KR, Ricci WN, et al: Surgical management of regional lymph nodes in patients with melanoma. Experience with 4682 patients. Ann Surg 1994; 219(2): 120-130.
- Snow H. Melanolic cancerous disease. Lancet 2: 872, 1892
- Taylor AT, Murray D, Herda S, et al: Dynamic lymphoscintigraphy to identify the sentinel and satellite nodes. Clin Nucl Med 1996; 21: 755-8.
- Testori A, Bartolomei M, Grana C, et al: Sentinel node localization in primary melanoma: learning curve and results. Melanoma Res. 1999; 9: 587-593.
- 113. Testori A, Bartolomei M, Grana C, et al: Sentinel node localization in primary melanoma: learning curve and results. Melanoma Res 1999; 9: 587-593.
- 114. Thelmo MC, Morita ET, Treseier PA, et al: Micrometastasis to in-transit lymph nodes from extremity and truncal malignant melanoma. Ann Surg Oncol 2001; 8:
- 115. Thompson JF, McCarthy WH, Bosch CM, et al: Sentinel lymph node status as an Indicator of the presence of melanoma in the regional lymph nodes. Melanoma Res. 1995; 5: 255-260.
- 116. Thompson JF, Uren RF, Shaw HM, et al: Location of sentinal lymph nodes in patients with cutarieous melanoma: New insights into lymphatic anatomy. J Am. Coll Surg 1999; 189:195-206.

- Treseler PA and Tauchi PS: Pathologic analysis of the sentinel lymph node. Surg Clin North Am 2000; 6:1895-1719.
- Uren RF, Hoffman-Giles RB, Shaw HM, et al: Lymphoscintigraphy in high risk melanome of the trunk: predicting draining nodes group, defining lymphatic channels and locating the sentinel node. J Nuc Med 1993; 84: 1435-1442.
- Uren RF, Howman-Giles R, Thompson JF, et al: Interval Nodes: The forgotten sentinel nodes in patients with metanoma. Arch Surg 2000; 138: 1168-1172.
- Veronesi U, Adamus J, Bandiera DC, et al. Inefficacy of immediate node dissection in stage I melanoma of the limbs. N Engl J Med 1977: 297: 627-630.
- 121. Wagner JD, Gordon MS, Chuang TY, et al: Predicting sentinel and residual lymph node basin disease after sentinel lymph node biopsy for melanoma. Cancer 2000. 82:453-462.
  122. Wagner JD, Park HM, Coleman JJ, et al: Cervical
- sentinel lymph node biopsy for melanoma of the head and neck and upper torex. Arch Otolaryngol Head Neck Surg 2000; 126: 313-321 123. Wong, JH: A historical perspective on the development of intraoperative immbatic mapping and selective.
- limphadenectomy. Surg Clin North Am 8: 16751882; 2000. 124. Yu LL. Flotte TJ, Tanabe KK, et al: Detection of microscopic melanoma metastasis in sentinel lymph nodes.

Cancer 1999; 86: 617-627.

# CAPÍTULO IV

- 1. Introducción
- 2. Mapeo linfático y biopsia del ganglio centinela.
- 3. Anatomia patológica del ganglio centinela
- 4. Experiencia publicada
- 5. Acreditación en biopsia del ganglio centinela en mama.

#### 1. Introducción

- 1.1. ¿Cuál es la función del vaciamiento axilar en el cáncer de la mama?
- 1.2. ¿Cuál es el resultado de no tratar la axila con ganglios clínicamente negativos?
- 1.3. ¿Cuál es el resultado del tratamiento actínico de la axila?
- 1.4. ¿Cuál es el mejor método para identificar metástasis axilares clínicamente negativas?

## 1.1. ¿Cuál es la función del vaciamiento axilar en el cáncer de la mama?

- El vaciamiento axilar cumple tres funciones en el manejo del cáncer de la mama:
- Estadificación, ya que el estado de los ganglios axilares es el factor pronóstico independiente más importante<sup>21</sup>.
- · Control regional.
- Mejorar la supervivencia alejada, por si o por ser un factor determinante en la decisión de administrar terapia advuvante<sup>23</sup>.

Sin embargo, la importancia de este procedimiento está siendo reevaluado debido a las siguientes circunstancias.

- a) En primer lugar, la mamografía en la mujer asintomática ha conducido a la detección de lesiones primarias cada vez más pequeñas<sup>se</sup>. Debido a que existe una relación lineal entre el tamaño tumoral y el compromiso ganglionar, muchos de estos tumores pequeños detectados solo por mamografía tienen una baja probabilidad de tener metástasis ganglionares<sup>se</sup>.
- b) En segundo lugar, existe una morbilidad y costos asociados al vaciamiento axilar<sup>108</sup>. El procedimiento por si solo requiere anestesia general, internación y colocación de un drenaje, lo que prolonga la estadía hospitalaria<sup>21</sup>. Existe, además, el problema de la formación del serocele axilar luego de la extracción del drenaje, que implica varias consultas postoperatórias<sup>228</sup>. Como combilica-

- ciones a largo plazo se ha comunicado una incidencia de linfederna de hasta un 25%<sup>125</sup>, hipoestesia en la piel de la axila y de la cara interna del brazo de hasta el 78% originada en la sección o lesión del nervio intercostobraquial<sup>115</sup>, grados variables de limitación en la fuerza y movilidad del miembro superior (17%), dolor (25%) y
- consecuencias psicológicas del linfedema<sup>238</sup>.
  c) En tercer lugar, ensayos clínicos prospectivos han demostrado que la quimioterapia adyuvante también beneficia a las pacientes sin metástasis axilares<sup>30</sup>.

Por lo tanto, el papel del vaciamiento axilar en las enfermas con ganglios clínicamente negativos está siendo discutido ya que muchas tienen un excelente pronóstico, y podrían ser tratadas adecuadamente solo con la resección completa del tumor primario. Otras recibirían de todas maneras tratamiento adyuvante sistémico en base a las características de dicho tumor<sup>49</sup>.

Para todas ellas, los costos y la morbilidad del vaciamiento axilar podría ser evitado sin una apreciable influencia en los resultados finales.

- El vaciamiento axilar cumple funciones de estadificación, control regional y mejora de la supervivencia.
- Estos beneficios los reciben solo las pacientes con metástasis ganglionares, mientras que todas padecen la morbilidad del procedimiento.

#### 1.2. ¿Cuál es el resultado de no tratar la axila con ganglios clínicamente negativos?

Varios investigadores han encontrado un alto riesgo de falla axilar (promedio 19%, con rango entre 15% y 37%) en pacientes que no reciben ni vaciamiento ni radioterapia en axila (Tabla 1).

Las metástasis ganglionares de por si no son fatales; ante una recidiva regional, el vaciamiento axilar puede realizarse correctamente en el 98% de los casos.

Sin embargo, representa un problema mayor para las pacientes, quienes perciben cualquier recurrencia como un indicio de que su páncer se encuentra fuera de control. Este impacto psicológico no es aceptable en el 20% de las enfermas<sup>69</sup>.

En algunos tipos histológicos el riesgo de compromiso axilar es tan bajo que podría evitarse en ellos el vaciamiento: el carcinoma ductal in situ, el carcinoma microinvasívo y los carcinomas tubular y mucinoso puros<sup>16</sup>.

Wong y Harris opinan que es razonable omitir la radioterapia axilar en mujeres mayores de 65 o 70 años, con tumores de hasta 1 cm, receptores positivos y sin invasión linfovascular<sup>es</sup>.

Zurrida publicó los resultados de un ensayo prospectivo en pacientes con turnores T1 N0 tratadas con tumorectomía y radioterapia en mama, a quienes asignó aleatoriamente en dos grupos, con o sin radioterapia axilar. Luego de un seguimiento promedio de 46 meses no se encontraron diferencias en recidivas axilares ni metástasis a distancia, por lo que concluyó que el vaciamiento axilar podría evitarse en un grupo seleccionado de pacientes, con tumores menores de 1.2 cm y axila clínicamente negativa<sup>19,8</sup>

Dado el riesgo de recurrencia regional, no es aceptable prescindir de algún tipo de tratamiento axilar indiscriminadamente en todas las enfermas.

- Existen enfermas con bajo riesgo de metástasis ganglionares en quienes podría evitarse el vaciamiento.
- La faita de tratamiento de la axila en pacientes no seleccionadas las expone a un alto porcentaje de recidiva regional.

### 1.3. ¿Cuál es el resultado del tratamiento actínico de la axila?

La radioterapia axilar es tan efectiva como el vaciamiento axilar para el control regional en pacientes con carcinoma invasor y alto riesgo de metástasis axilares.

TABLA 1
Fallas axilares en pacientes con cáncer de mama y ganglios clinicamente negativos que no recibieron ningún tratamiento axilar,

Investigadores	n	Promedio de Falla axi	
	1333	seguimiento (meses)	(%)
Graveson, 1998105	3.128	60	19
Cerrota, 1997*44	408	84	15
Baxter, 19961F	112	113	28
Ribeiro, 1993197	708	65	23
Gately, 1991st	450	72	18
Fisher, 1985 <sup>66</sup>	1.079	126	19
Forrest, 1982**	114	120	16
Lythgoe, 1982145	714	60	37
Kyle, 1976 <sup>135</sup>	**	60	17
Crile, 196467	183	72	30

<sup>\*</sup> Incluye pacientes de 70 años o más,

TABLA 2
Falla axilar en pacientes con cáncer de mama y
ganglios clínicamente negativos, tratados con
radioterapia axilar sin vaciamiento axilar.

Investigadores	n	Promedio de Falla axila		
	AND.	seguimiento (meses)	(%)	
Osborne, 1984 <sup>184</sup>	211	120	1	
Fisher, 1985 <sup>69</sup>	352	126	3	
Pierquin, 1986188	1040	60	2	
Leung, 198613#	446	120	0	
Delouche, 1987 <sup>11</sup>	281	60	1	
Baeza, 198810	171	62	1	
Recht, 1991193	335	73	1	
Cabanes, 199235	332	54	2	
Wazer, 1994254	73	54	1	
Wong, 1997 <sup>262</sup>	92	50	0	
Ogawa, 19991ec	79	53	0	
Zurrida, 2002 <sup>270</sup>	221	46	0.5	

<sup>&</sup>quot; No disponible.

El Early Breast Cancer Trialists' Collaborative Group realizó un meta-análisis de 8 ensayos clímicos comparando vaciamiento avilar con radioterapia axilar para el tratamiento de cáncer temprano de mama y no encontraron diferencia en la mortalidade!

La morbilidad de la radioterapia axilar es significativamente menor que la del vaciamiento axilar, en lo que se refiere a los efectos alejados.

Con el creciente uso de la quimioterapia neoadyuvante en el tratamiento del carcinoma localmente avanzado, aún pacientes con ganglios positivos pueden ser buenas candidatas para radioterapia axilar. Un ensayo clínico en marcha en el M. D. Anderson Cancer Center está comparando la efectividad del vaciamiento axilar versus la radioterapia en pacientes con ganglios clínicamente negativos o que queden con ganglios clínicamente negativos o que queden con ganglios clínicamente negativos luego de la quimioterapia de inducción.

- La radioterapia axilar ofrece un porcentaje de control regional equivalente al alcanzado con el vaciamiento
- No ofrece información sobre el estado ganglionar, que es de gran valor pronóstico.

### 1.4. ¿Cuál es el mejor método para identificar metástasis axilares clínicamente negativas?

El examen físico de la axila ha mostrado porcentajes de falsos negativos del 39 al 45% el escuel. La mamografía puede detectar la presencia de ganglios an la axila, pero es limitada para discriminar si estos ganglios son portadores de metástasis o no<sup>73</sup>.

Otros estudios han sido probados, como la acografía<sup>26</sup>, la Lomografía computada<sup>18</sup>, la rena nancia magnética nuclear<sup>18</sup>, la linfocentelografía<sup>26</sup>, la radioinmunolinfografía<sup>28</sup>, la tomografía fía por emisión de fotones<sup>6</sup>, y la tomografía por emisión de positrones<sup>8</sup> sin siquiera acercarse a los resultados del vaciamiento axilar.

Existe una relación directa entre el tamaño del carcinoma y las metástasis axilares.

Mustafa<sup>168</sup> examinó la incidencia de ganglios positivos en tumores menores de 1 cm de diámetro en 18 estudios publicados entre 1989 y 1996 y en su propia serie de 2.185 casos. Los resultados, que se exhiben en la Tabla 3, demuestran que el tamaño tumoral por sí solo no justifica la omisión de un tratamiento en la axilia.

Ravdin intentó desarrollar un modelo predictivo de positividad ganglionar estudiando 11.964 enfermas. Sin embargo, a pesar del sofisticado estudio estadístico no le fue posible predecir un subgrupo de pacientes con un porcentaje mayor del 95% de tener ganglios negativos<sup>14</sup>.

El desafío consiste entonces en determinar en qué pacientes, con ganglios clínicamente negativos, es necesario realizar el tratamiento quirúrgico de la axila, y en quienes puede evitarse con un bajo porcentaje de recidiyas.

Como respuesta a este desaflo ha surgido la técnica del mapeo linfático y biopsia del ganglio centinela

Ninguno de los métodos de diagnóstico por imágenes conocidos, ni la combinación de factores de riesgo del tumor primario y de la paciente ofrecen información sobre el estado ganglionar comparable con la obtenida con el vaciamiento axilar

TABLA 3 Incidencia de metástasis axilares en pacientes con tumores de 5 mm o menos y en aquellas con tumores de entre 6 y 10 mm.

Investigadores	n Ganglios positivos (%				
		0 - 5 mm	6 -10 mm		
Brenin, 200129	566	11	15		
Rivadeneira, 2000189	919	16	18		
Maribenco, 1999145	12.950	10	14		
Port, 1998 <sup>192</sup>	247	10	15		
Mustafa, 1997169	2185	11	17		
Visser, 1997252	915	5 .	14 *		
		9 **	24 **		
Metzger, 1996168	980	5	12		
White, 1996256	1.126	10	19		
Cataliotti, 1995 <sup>43</sup>	934	9	16		

<sup>\*</sup> Mujeres postmenopáusicas

<sup>\*\*</sup> mujeres premenopáusicas.

#### 2. Mapeo linfático y biopsia del ganglio centinela

- 2.1. ¿Cómo se desarrolló mapeo linfático en el cáncer de la mama?
- 2.2. ¿Cuándo está indicada la biopsía del ganglio centinela?
- 2.1. ¿Cómo se desarrolló mapeo linfático en el cáncer de la mama?
- 1993 Krag comunicó por primera vez la biopsia de GC en el cáncer de la mama mediante el empleo de sulfuro coloidal no filtrado marcado con Tc<sup>10</sup> y el uso de una cámara manual de detección de radiaciones gamma (gammaprobe)<sup>102</sup>
- Giuliano, del John Wayno Cancer Institute, en 1994 publicó su experiencia Inicial utilizando colorante en 172 pacientes, con una tasa de identificación de 65%. En el 96% de los casos el GC coincidió con el estado de los restantes ganglios axiliares<sup>104</sup>.
- 1995 La siguiente comunicación del mismo grupo incluyó los primeros 162 pacientes con hallazgo exitoso del GC, y se compararon con 134 enfermas en quienes se practicó solo el vaciamiento axilar. Si bien no fue un estudio randomizado, ambos grupos fueron comparables por sus características clínicas y cantidad de ganglios extirpados. Los GC fueron estudiados con H&E y con técnica de IHO anticitoqueratina, mientras que los GnoC fueron evaluados solo con H&E. El grupo en que se buscó el GC tuvo metástasis axilares en un 42% de los casos, mientras que el otro grupo las presentó en el 28% (p < 0.05). Estos resultados enfatizaron la importancia del estudio del GC con técnicas de inmunohistoquímica101,
  - 1996 Albertini, del Lee Moffitt Cancer Center de Tampa, Florida, publicó por primera vez el uso de una combinación de colorante y radiofármaco<sup>6</sup>.
- 1997 Para demostrar que el GC es realmente el primer ganglio en recibir metástasis, erá necesario estudiar los GnoC con la misma tecnología que se aplicaba al GC. Turner encontró solo una metástasis en 1087 GnoC estudiados tanto con H&E como con IHO,

- 2.3. ¿En qué casos no está indicada la biopsia del ganglio centinela?
- 2.4. ¿Cuál es la técnica del mapeo linfático en el cáncer de la mama?
  - pertenecientes a pacientes con GC negativos<sup>242</sup>.
- 1997 El mismo grupo presentó 107 pacientes con biopsia de GC y vaciamiento axilar, en los cuales la tasa de identificación fue del 94 %; no hubieron falsos negativos, con una sensibilidad y especificidad del 100% <sup>(1)</sup>.

Basados en estos hallazgos, estos investigadores decidieron abandonar el vaciamiento axilar cuando el GC resultara negativo.

2000 Los mismos autores, comunicaron los resultados de 133 pacientes consecutivos, con
tumores de hasta 4 cm, en quienes no se
realizó el vaciamiento axilar cuando el GC
resultó negativo. La tasa de identificación
fue del 99%. En el 54% de las pacientes no
se realizó vaciamiento axilar. El 54% de los
GC positivos tuvieron micrometástasis, y el
71% fueron identificadas por IHQ. Existieron
más complicaciones en las pacientes con vaciamiento axilar que en aquellas con blopsia
de GC solo. No se registraron recidivas locales ni regionales en quienes se realizó
solamente biopsia de GC, con un promedio de seguimiento de 39 meses.

dio de seguimiento de 39 meses. Si bien los autores reconocen que este periodo de seguimiento es relativamente corto, también señalan que en el ensayo B-04 del NSABP, en una de cuyas ramas no se realizaba tratamiento de la axila, el 75% de las recidivas axilares ocurrieron en los primeros 24 meses de seguimiento. Concluyen que el vaciamiento axilar puede evitarse en pacientes con GC negativo, si bien adviertor que cada cirujano debe validar el método en su propia práctica, mediante una serie con vaciamiento axilar, que le permita comprobar una baja tasa de falsos negativos "«

Numerosos grupos extranjeros y argentinos han aplicado el ML y biopsia de GC en cáncer de la mama con diferentes variantes técnicas, como será descripto más adelante.

- La biopsia del GC en el cáncer de la mama comenzó como una técnica experimental inspirada en su empleo en el melanoma.
- A partir de resultados progresivamente satisfactorios, en algunos centros ha reemplazado al vaciamiento axilar.
- Su aplicación debe cumplir normas técnicas y etapas de validación.

## 2.2. ¿Cuándo está indicada la biopsia del ganglio centinela?

Los autores del presente Relato, coincidiendo con otros investigadores, indican la biopsia del GC en aquellos casos de carcinoma invasor de la mama, con diámetro de hasta 5 cm y con axila clinicamente negativa. Por el momento continúan realizando el vaciamiento axilar, independientemente del resultado anatomo patolócico del GC.

La indicación del procedimiento no depende del tipo de biopsia previa, de la ubicación de la lesión, del tamaño del tumor o de sus características histológicas <sup>108,113</sup>.

La biopsia del GC está indicada en: Carcinoma invasor de mama, T, y T, N, M,

## 2.3. ¿En qué casos no está indicada la biopsia del ganglio centinela?

También coincidiendo con otros investigadores<sup>114</sup>, los Relatores consideran que no tiene indicación el procedimiento en las siguientes circunstancias.

- a) Adenopatías axilares palpables. El objetivo primario del procedimiento es identificar metástasis ganglionares subclinicas, por lo cual la presencia de metástasis ganglionares palpables harían innecesario el procedimiento, ya que la paciente requerirá de todas maneras un vaciamiento axilar.
- Multicentricidad. Dos o más focos de cáncer en diferentes cuadrantes de una misma mama pueden drenar a diferentes GC, y por consi-

guiente exponer a un aumento de los falsos negativos<sup>250</sup>,

Sin embargo, un reciente estudio no mostró diferencia en las tasas de identificación y de falsos negativos entre enfermas con tumor multicéntrico y aquellas con un solo foco tumoralis.

- c) Embarazo. Los efectos adversos de la biopsia del GC son desconocidos en la mujer embarazada. Si bien la cantidad de radicación a la que es expuesta una paciente durante un procedimiento es muy baja (1 mCl o menos), prefiere evitarse la administración de material radiactivo en esta situación.
- d) Cirugía previa. El éxito de la biopsia del GC depende, entre otras cosas, de la existencia de una conexión linfática entre el tumor y el ganglio. Esta conexión puede estar alterada por intervenciones quirúrgicas. Como se analizará más adelante, la simple biopsia quirúrgica del tumor no constituye una contraindicación.
  - Si luego de una mastectomía simple (profiiáctica o por carcinoma intraductat), o de una mastoplastia reductora se encuentra en el estudio diferido un carcinoma invasor, la biopsia de GC no es conflable ya que queda profundamente modificado el drenaje linfático del tumor, y debe realizarse un vaciamiento axilar. A fin de prevenir hallazgos inesperados, algunos autores recomiendan la realización de la biopsia del GC en carcinoma intraductal<sup>192,186</sup> o en mastectomías profilácticas<sup>80</sup>.
  - Una situación diferente la plantea la aparición de un carcinoma varios años después de una cirugía mamaría, como por ejemplo, la colocación de implantes protésicos. Si bien el drenaje lintático también puede estar alterado, lo cierto es que algún ganglio recibe dicho drenaje en forma primaria y es el centinela, por lo que debe intentarse su identificación. Forstner Barthell reportó la factibilidad del ML en pacientes con implantes protésicos<sup>56</sup>, y Port presentó una tasa de identificación del 75% en una serie de 32 pacientes con cirugías axilares previas, por lo que concluyen que este procedimiento podría aplicarse a casos seleccionados<sup>56</sup>.
- e) Carcinoma localmente avanzado. El beneficio de la biopsia de GC en el carcinoma localmente avanzado es menor, ya que la mayoría de las pacientes presenta metástasis ganglionares y requieren vaciamiento<sup>49</sup>.

Rápido

#### El mapeo linfático NO está indicado en:

- · Adenopatías axilares palpables
- · Multicentricidad
- Embarazo
- · Cirugía axilar o mamaria previa reciente
- · Carcinoma localmente avanzado

#### 2.4. ¿Cuál es la técnica del mapeo linfático en el cáncer de la mama?

La técnica para el ML en cáncer de la mama puede variar según:

- Material que se utilice
  - · colorante.
  - radiofármaco
  - ambos.
- Forma y el sitio de inyección
  - intradérmico
  - intraparenquimatoso
  - intratumoral
  - peritumoral
  - periareolar

dos se han comunicado series con buenos resultados, pero ninguno ha sido siempre exitoso. En la práctica, el éxito del procedimiento se relaciona principalmente con la experiencia del equipo quirúrgico: 165,

Cada método tienen sus partidarios y con to-

 a) Colorante. La técnica con colorante fue descrita inicialmente por Giuliano en 1994<sup>101</sup>, Consiste en inyectar azul patente o isosulfan blue en forma peritumoral en el preoperatorio inmediato. Luego de 5 minutos se investiga en la axila homolateral la presencia de un canaliculo y un ganglio teritidos de azu. Esta variante técnica es de fácil implementación, pero altamente dependiente de la habilidad y experiencia del cirujano actuante.

Las ventajas y desventajas del método se detallan en la Tabla 4.

TABLA 4 Ventajas y desventajas del mapeo linfático en cáncer de mama con colorante.

Ventajas	Desventajas
Seguro	Operador dependiente
<ul> <li>Barato</li> </ul>	<ul> <li>No detecta ganglios extra-axilares</li> </ul>
<ul> <li>Sencillo</li> </ul>	<ul> <li>Reacciones alérgicas</li> </ul>

Tatuaje

Diferentes investigadores en estudios de validación con vaciamiento axilar han mostrado con este método tasas de identificación del 80% (66%-98%), tasas de falsos negativos de 8% (0%-17%) y exactitud del 97% (95%-100%) (Tabia 5).

b) Radiofármaco, Krag, en 1993, publicó por primera vez el empleo de radiofármaco para la biopsia del GC<sup>102</sup>, Posteriormente Veronesi comunicó su experiencia empleando albúmina humana con TC<sup>08 200</sup>, mientras que Offodile presentó buenos resultados con dextran marcado<sup>179</sup>, Se inyecta en la vecindad del tumor (intradérmico, intraparenquimatoso) entre 400 µCl y 1 mCl de Tc<sup>09</sup> con cualquiera de los fármacos mencionados. Esto permite realizar una linfocentellografía preoperatoria (LCP) que orienta sobre la posición del primer foco de captación que es

TABLA 5
Estudios de validación de la biopsia de GC en cáncer de mama, con colorante.

Investigador	n	Tasa de identificación	Tasa de falsos negativos	Exactitud
Giuliano, 1994 <sup>104</sup>	174	66	12	96
Giuliano, 1997103	107	93	0	100
Guenther, 1997108	145	71	10	97
Flett, 1998 <sup>63</sup>	68	82	17	95
Koller, 1998128	98	98	6	97
Kapteijn, 1998 <sup>121</sup>	30	87	0	100
Kern, 1999124	40	98	0	100
Morrow, 1999185	139	79	12	96
Nos, 2001176	253	84	9	97
TOTAL	1054	80	8	97

**Pentaias** 

Ubicación pre-operatoria

Establece la profundidad

TOTAL

Identifica ganglios

extra-axilares

- el GC. Si bien este método es más preciso, sobre todo para los ganglios extra-axilares, requiere mayor tecnología.
- Durante la operación se utiliza un gammaprobe, que posibilita localizar el o los ganglio/s hipercaptante/s<sup>65, 77</sup>.
- Las ventajas y desventajas del empleo de radiofármacos se exponen en la Tabla 6.
- Las series de validación con vaciamiento axilar nan mostrado con este método tasas de identificación del 91% (69%-98%), tasas de falsos negativos de 7% (0%-19%) y exactitud del 97% (96%-100%) (Tabla 7).
- Colorante y radiofármaco. En 1996 Albertini, publicó su experiencia con una combinación de colorante y radiofármaco. El empleo simultáneo de ambas técnicas mejora los resultados en la mayoría de las series, aunque aumenta la complejidad del procedimiento.

TABLA 6 Ventajas y desventajas del mapeo linfático en cáncer de mama con radiofármaco

Desventajas

- Mayor costo

radiactivos

Multidisciplinario

- Mayor tecnología

Manipula elementos

TABLA 7 Estudios de validación de la biopsia de GC en cáncer de la mama con radiofármaco.									
Investigador	n	% identificación	Tasa de falsos negativos	Exactitue					
Krag, 1993138	22	82	0	100					
Pijpers, 1997190	37	81	0	100					
Roumen, 1997 <sup>204</sup>	83	69	4	98					
Galimberti, 1998 <sup>se</sup>	241	99	5	97					
Borgstein, 1998 <sup>28</sup>	130	94	2	99					
Krag, 1998151	443	91	11	97					
Snider, 1998225	80	88	7	99					
Miner, 1998*52	42	98	12	98					
Rubio, 1998 <sup>206</sup>	55	96	12	96					
Gulec, 1998107	32	94	0	100					
Veronesi, 1999251	376	99	7	97					
Moffat, 1999164	70	89	10	97					

1809

91

Actualmente, importantes centros como el Lee Moffit Cancer Center y el Memorial Sloan-Kettering Cancer Center prefieren el empleo simultáneo de ambos marcadores, mientras que en otros como el John Wayne Cancer Institute se los prefiere usar juntos solo para las lesiones de los cuadrantes mediales, en los cuales la LCP puede documentar el drenaje hacia la cadena mamaría internatio.

Diferentes publicaciones con estudios de validación con vaciamiento axilar han mostrado con colorante y radiofármaco tasas de identificación del 91% (81%-100%), tasas de falsos negativos de 5% (0%-15%) y exactitud del 98% (95%-10%) (Tabla 8).

#### d) Detalles de técnica quirúrgica.

7

Etinfocentellografía properatoria. La técnica habitualmente usada por los Relatores consiste en inyectar 500 a 700 µC de un agregado de un coloide de albúmina radiomarcado con Tc<sup>™</sup> en un volumen de 1-2 ml, en forma peritumoral la tarde anterior a la operación, a fin de realizar la LCP

La inyección puede hacerse periareolar en tumores de cuadrante súpero externo para evitar que la radiactividad del sitio de inyección interfiera con la detección del GC.

Internera con la detección del GC.

La LCP muestra imágenes tempranas que brindan evidencia sobre la migración del radiofármaco. Luego se espera la captación en axila v/o cadena mamaria interna, marcando sobre

98

TABLA 8
Estudios de validación de la biopsia de GC en cáncer de mama,

Investigador	n	% identificación	Tasa de falsos negativos	Exactitud
Albertini, 1996 <sup>s</sup>	62	92	0	100
Borgstein, 199726	33	100	0	100
O'Hea, 1998178	59	93	5	95
Barnwell, 1998 <sup>r4</sup>	42	90	0	100
Nwariaku, 1998177	119	81	4	99
Schneebaum, 1998210	30	93	15	93
Canavese, 199837	100	96	15	95
Czerniecki, 1999 <sup>63</sup>	43	95	0	100
van der Ent, 1999248	70	100	4	99
Bass, 19991s	186	93	2	99
Burak, 1999 <sup>92</sup>	50	90	0	100
Jaderborg, 1999117	79	81	0 5	98
TOTAL	873	91	5	98

la piel con tinta indeleble la proyección del punto de máxima captación. La axilla se marca en tres proyecciones: anterior, lateral y en 45°. El nivel de actividad dependerá del volumen inyectado y del tiempo transcurrido. Es importante el decalmiento de la actividad cuando se inyectan grandes volúmenes a fin de no proyocar la saturación del gammaprobe.

Mapeo linfático intraoperatorio. Luego de la

antisepsia de piel y colocación de campos quirirgicos, se inyecta el colorante preferentemente en forma intreparenquimatosa peritumoral o alrededor de la cavidad de la biopsia previa (Foto 1). Se realizan masajes suaves de la mama durante aproximadamente 5 minutos, y se recubre el gammaprobe con una funda estéril para manejarla dentro del campo quirúrgico. se comprueba el sitio de mayor radiactividad en la axila a fin de planear la incisión, tenien-

miento axilar (Foto 2). Ha sido descrita una zona en la cual se encuentran airededor del 94% de los GC<sup>e</sup>. Consiste en un circulo de 5 cm de diámetro, cuyo la centro corresponde al punto en que cruzan la línea axilar media (vertical) con otra perpendicular a ella, que es tangente al límite interior de implantación del vello axilar (Foto 3). Se realiza una incisión sobre el área de mayor captación según la LCP y o el gammaprobe. En caso de usarse solo colorante, se

do en cuenta el trazo de un posterior vacia-

emplaza sobre el límite inferior de implantación del vello axilar o 1 cm por debajo, preferentemente algo anterior, y de una longitud de 2 a 3 cm.

Debe seccionarse el primer plano de tejido adposo en forma perpendicular hacia la pared torácica, evitando disecar colgajos hacia caudal o cefálico, Ya en el segundo plano de tejido celular subcutáneo se debe buscar cuidadosamente el canaliculo teñido de azul, y seguiriohacia el ganglio, que estará también coloreado y será considerado el centineal (Fotos 4 y 5). La disección se facilita mediante el gammaprobo, que orienta la búsqueda según el nive de radiactividad.

Un reparo anatómico a tener en cuenta es el punto en donde cruzan la vena mamaria externa con el tercer nervio perforante intercestal sitio donde se encuentra la mayoría de los GC<sup>1</sup> Si un canalículo teñido estuviera llegando a ruganglio no coloreado, éste es considerado como centinela, ya que la presencia de metástasis masiva puede impedir el ingreso del colorante Se constata la identidad del ganglio también con el gammaprobe (Foto 8). En caso de existir un ganglio azul y otro que emita radiactividad, se extirpan ambos ganglios.

Debe verificarse la captación del GC "ex vivo" (Foto 7), así como la ausencia de captación en el resto de la axila para evitar subdiagnosticar GC múltiples, como se desarrolló en el Capítulo II.



FOTO 1 Inyección de azul patente al 3% en forma peritumoral.



FOTO 2 Comprobación del sitio de mayor radiactividad en la axilla para planear la incisión.



FOTO 3 Proyección cutánea del área donde se encuentra el 94% de los ganglios centinelas,



FOTO 4 Identificación del ganglio centinela teñido de azul.

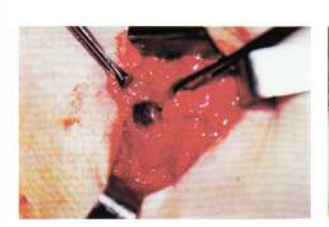


FOTO 5 Ganglio centinela teñido de azul a mayor aumento.



FOTO 6

Comprobación mediante el gammaprobe de la mayor radiactividad del ganglio centinela.



FOTO 7

Comprobación mediante el gammaprobe
de la mayor radiactividad del ganglio
centinela "ex vivo".

Centro

Es también conveniente explorar digitalmente a través de la incisión a fin de percibir si existe algún otro ganglio sospechoso, que también será extirnado.

Posteriormente, se procede a realizar el vaciamiento axiliar, ya que los Relatores consideran que, hasta no contar con resultados de los estudios prospectivos en marcha, el vaciamiento axilar continúa siendo el procedimiento estándar para el tratamiento de la axilia.

Si existiera captación en un ganglio de la cadena mamaria interna se aconseja su biopsia, ya sea a través de la incisión de cuadrantectomía o de mastectomía, o a través de una incisión separada, pues si dicho ganglio fuera negativo se evitaría la indicación de radioterapia a ese nivel, con su correspondiente morbilidad cardíaca<sup>187</sup>.

Colorante

Diferentes centros extranjeros de Estados Unidos y Europa realizan el ML y biopsia del GC con ligeras variantes técnicas, las cuales se exponen en la Tabla 9.

Técnica empleada por los Relatores:

LCP: Hasta 24 hs. antes.

Radiofármaco: To<sup>ss</sup>albúmina coloidal Dosis: 400 uCi-1 mCi.

Volumen: 1-2 ml.

· Método:

Radioisótopo

Combinado. Colorante: Azul patente 3%, 5 ml.

Sitio de invección

Gammaprobe

 Inyección: intraparenquimatosa peritumoral.

TABLA 9

Variantes técnicas del ML y biopsia del GC empleado por centros de Estados Unidos y Europa.

Sitio de invección

Centro	Colorante	Sitio de invección	Hadioisotopo	Sitio de invección
The John Wayne Cancer Institute (E.E.U.U.)	Isosulfan 1 % 5 ml	Peritumoral, 5 minutos antes de comenzar la cirugía	Solo en lesiones mediales	
Instituto Europeo de Oncología (Italia)	No		Albūmina humana To <sup>69</sup> Filtrado: 200-1000 nm Dosis: 0.135 - 0.27 mCi (5-10 MBq) Volumen: 0.2 - 0.4 ml	Intradérmico (entre 2 y 24 horas preoperatorias)
The H Lee Moffitt Cancer Center (E.E.U.U.)	Isosulfan 1% 5 ml	Peritumoral 5 minutos antes de comenzar la cirugía	Sulfuro coloidal Tc <sup>98</sup> Filtrado (filtro 0.22 µm) Dosis: 0.45 mCi (17 MBq) Volumen: 6 ml	Peritumoral (entre 1 y 6 horas preoperatorias)
Cardiff University (ALMANAC) (Gran Bretaña)	Azul patente 4 ml	Peritumoral (preoperatorio inmediato)	Albúmina humana Tc <sup>∞</sup> Dosis: 0.5 mCi (20 MBq) o 1.0 mCi (40 MBq) Volumen: 2 ml	Peritumoral (el mismo día o el día anterior a la cirugía)
The Netherlands Cancer Institute Países Bajos)	Azul patente 1 mi	Intralesional 5 minutos antes de comenzar la cirugia	Nanocoloide Tc <sup>23</sup> No filtrado Dosis: 1.7 mCi (61.6 MBq) Volumen: 0.2 ml	Intralesional (el mismo día de la cirugia)
Memorial Sloan - Kettering Cancer Center (E.E.U.U.)	Isosulfan 4 ml	Peritumoral (preoperatorio inmediato)	Sulfuro coloidal Tc <sup>ee</sup> No filtrado Dosis: 0.1 mCi (3.7 MBq) o 0.5 mCi (18.5 MBq) Volumen: 0.05 ml	Intradérmico (1 o 2 horas antes, o el día anterior)
University of Louisville E.E.U.U.)	Isosulfan 1% 5 ml	Peritumoral (preoperatorio inmediato)	Sulfuro coloidal Tc <sup>19</sup> No filtrado Dosis: 0.5 mCi (18.5 MBq) Volumen: 0.2 - 0.5 ml	Intradérmico (30 minutos a 6 horas preoperatorias)

#### 3. Anatomía patológica del ganglio centinela

# 3.1. ¿Cuál es el mejor estudio intraoperatorio? 3.2. ¿Qué estudio diferido debe hacerse?

# 3.1. ¿Cuál es el mejor estudio intraoperatorio?

En la fase inicial de la experiencia en el ML y biopsia del GC debe realizarse el vaciamiento axilar en todos los casos. En esta circunstancia, el GC puede ser estudiado exclusivamente por diferido junto con los demás ganglios del vaciamiento, ya que su evaluación intraoperatoria no cambia la conducta.

Ante la posibilidad en el futuro de prescindir del vaciamiento axilar en los casos de GC negativo, surgen dos conductas alternativas.

- Estudiar el GC por diferido y realizar el vaciamiento axilar en otro tiempo quirúrgico solo en aquellos casos en que el GC resultara positivo.
- Estudiar en forma intraoperatoria el GC de manera lo suficientemente conflable como para decidir en ese momento la necesidad del vaciamiento axilar.

En tal sentido, la biopsia por congelación ha mostrado algunos resultados favorables. Veronesi, sobre 50 GC positivos en el estudio definitivo, tuvo un 64% de detección de positividad en la biopsia por congelación<sup>250</sup>. En estudios similares, Flett encontró una correspondencia del 95% (entre la biopsia por congelación intraoperatoria y la biopsia diferida<sup>25</sup> y Tanis del 74%)<sup>227</sup>.

Zurrida propone un estudio intraoperatorio exhaustivo por congelación con múltiples secciones. Presenta la desventaja de que todo el ganglio es estudiado y no queda material para inclusión y tinción con H&E ni IHQ; implica además más tiempo de espera y mayores costos<sup>500</sup>. Weiser analizó los resultados en 890 pacientes consecutivas con biopsia por congelación del GC, y encontró que la sensibilidad aumentó en relación al tamaño tumoral<sup>506</sup>.

Sin embargo, la biopsia por congelación presenta algunos inconvenientes: demanda tiempo, aumenta los costos, puede mostrar artefactos por la congelación, y puede destruir parte importante del material, sobre todo considerando el número progresivamente creciente de micrometástasis.

Con el objeto de disminuir el tiempo y preservar la totalidad del ganglio para el estudio diferido se ha empleado la citología exfoliativa (imprompta) intraoperatoria del GC. Diferentes estudios mostraron porcentajes de correlación entre el estudio citológico intraoperatorio y el diferido de un 87 al 99%. OLIGINIA 2015.

Cuando fue comparada la citología exfoliativa con la biopsia por congelación se encontraron resultados similares, aunque con mayor rapidez y menos costos para la primera<sup>11,241</sup>,

Las ventajas y desventajas de la biopsia por congelación y de la biopsia exfoliativa fueron expuestas por Turner<sup>243</sup>, y se resumen en la Tabla 10.

Aun cuando un centro realice el vaciamiento axilar independientemente del resultado del GC, es conveniente que los patólogos se vayan entrenando en algún método de evaluación intraoperatoria de dicho ganglio a fin de estar preparados para cuando decidan hacer el vaciamiento axilar solo a pacientes con GC positivos.

TABLA 10 Ventajas y desventajas de los métodos de estudio intraoperatorio del ganglio centinela.

Técnica	Ventajas	Desventajas
Citología exfoliativa	Rápida, fácil preparación No hay pérdida de tejido No hay artefactos	Sensibilidad variable Dificultades para Interpretar
Biopsia por congelación	Diagnóstico confiable Pocos resultados dudosos	Preparación dificil Consume tejido Artefactos por congelación

- Es aconsejable el examen intraoperatorio del GC con citología exfoliativa y biopsia por congelación.
- Aún cuando se hiciera el vaciamiento axilar en todas las pacientes, serviría para entrenar a los patólogos en la evaluación intraoperatoria.

# 3.2. ¿Qué estudio diferido debe hacerse?

# a) Técnica con hematoxilina-eosina

La tinción con H&E es considerada como método estándar. El examen con esta técnica de los ganglios de un vaciamiento axiliar diagnostica micrometástasis en un 8 a 15% de los casosº¹, micrometástasis en un 80 a 15% de los casosº¹, micrometástasis en un 20 a 25% de los casosº¹, an micrometástasis en un 20 a 25% de los casosº¹,

Weaver revisó preparados con IAE de 431 ennermas previamente diagnosticados como ganglios negativos por patólogos que participaron de un ensayo multicéntrico de GC. Encontraron coincidencia en un 97% de los casos con una tesa de falsos negativos del 6.3% y de falsos positivos del 1.6%<sup>478</sup>.

Aunque con la tinción con H&E los depósitos metastáticos de hasta 50 µm pueden ser razonablemente identificados, resultan más conflables los acúmulos iguales o mayores de 200 µm (aproximadamente 20 células)\*\*

Deben distinguirse las micrometástasis verdaderas de células tumorales aisladas, que son aquelas células neoplásicas o grupos de células sin evidencia histológica de actividad maligna (implantación, extravasación, proliferación o reacción estromal)<sup>112</sup>; también deben diferenciarse de células mesenquimáticas, artefactos, y desplazamiento artificial de células epiteliales benignas o malignas<sup>23</sup>.

#### b) Técnica de cortes seriados y con inmunohistoguímica

Un mayor número de cortes (cortes seriados) aumenta los casos de ganglios positivos; esto dependerá también del volumen del ganglio.

La técnica de IHQ para citoqueratina es altamenle sensible para metástasis de carcinoma de mama, y convierte aproximadamente un 10% a un 15% de los canallos negativos en positivos<sup>16, 260</sup>. El Colegio Americano de Patólogos ha sugerido que las células identificadas con técnicas de IHQ deben ser confirmadas en el corte con H&E para ser consideradas micrometástasis.<sup>62</sup>

Lieberman en una revisión de la literatura encontró que las instituciones que empleaban técnicas de IHQ presentaban mejores porcentajes de exactitud y tasas de falsos negativos más bajas (3% versus 8%)<sup>140</sup>.

Schreiber halló micrometástasis en el 21% de 225 GC. La incorporación rutinaria de tinción para citoqueratina aumentó la detección de micrometástasis en un 36% sobre el uso de secciones seriadas; el 9% de las pacientes fueron cambiadas de estadio (de ganglios negativos a ganglios positivos)<sup>3/8</sup>.

# c) ¿Qué importancia tiene una micrometástasis? La micrometástasis en el GC tiene dos signi-

- ficados clínicos:

   Como factor predictivo de metástasis en los GnoC:
- Como influencia desfavorable en la evolución alejada.

Al ser la micrometástasis en el GC una expresión mínima de compromiso ganglionar, es razonable esperar que sea bajo el compromiso de los GnoC.

Turner halló metástasis en el 10% de los GnoC de los pacientes con micrometástasis en el GC, y en el 58% de aquellos con macrometástasis en el mismo<sup>360</sup>

Ku encontró que cuando el GC era positivo con H&E, el 45% de los GnoC eran positivos, mientras que si el GC era positivo por IHQ solo el 5% de los GnoC tenían metástasis<sup>138</sup>.

Otros trabajos han confirmado estos hallazgos<sup>6</sup>- <sup>115</sup>, <sup>110</sup>, <sup>257</sup>, y señalan a la **micrometástasis** como uno de los factores predictivos de **bajo compromiso de los GnoC**.

Algunos investigadores sugieren que la presencia de micrometástasis en el GC podría influir desfavorablemente en la supervivencia<sup>24, 50</sup> <sup>20, 20</sup> aunque no existen aún resultados concluyentes<sup>260</sup>. El estudio del International (Ludwig) Breast Cancer Study Group consistió en la revisión de los ganglios axilares de 921 pacientes diagnosticados previamente como negativos. Se realizaron 6 cortes de cada ganglio, se tiñeron con H&E, y se consideraron positivos solamente las metástasis en el parénquima ganglionar. Se encontraron depósitos tumorales en 83 casos (9%). Con 6 años de seguimiento se encontró una supervivencia libre de enfermedad del 71% en el grupo de ganglios negativos y del 53% en el de ganglios positivos (p=0.0008), y una supervivencia global del 86% en primero y del 70% en el secundo (p=0.0009) <sup>14</sup>.

el primero y del 70% en el segundo (p=0.0009)\*\*.

Otras comunicaciones con resultados similares son presentadas en la Tabla 11.

No está claro que muchas de las lesiones identificadas en estos estudios fueran realmente micrometástasis. Algunas correspondian a enfermedad ganglionar no diagnosticada en el examen inicial por una cuestión de muestreo.

Otros estudios ponen en duda el valor pronóstico de las micrometástasis. Ester no encontró diferencias en la supervivancia en pacientes con micrometástasis, pero en este trabajo los ganglios fueron estudiados con un solo corte y con H&E<sup>II</sup>.

Wilkinson realizó cortes seriados y tinción con H&E de los ganglios de 525 pacientes, previamente diagnosticados como negativos; encontró 84 casos de metástasis ocultas (16%), pero no pudo demostra influencia de este hallazoo en la supervivencia clobal<sup>150</sup>.

Hansen no encontró diferencia en la supervivencia libre de enfermedad ni en la supervivencia global entre pacientes con GC negativo y aquellos con micrometástasis en el GC demostradas solamente con IHC119. El ensayo prospectivo Z0011 liderado por el American College of Surgeons, estudia la relación de las micrometáslasis detectadas por IHQ y la supervivencia alejada. Este estudio proveerá de resultados más concluventes en el futuro<sup>201</sup>.

Se puede conseguir un nivel de detección más fina aún con el empleo de la técnica RT-PCR. Verbiano empleó esta técnica para identificar células neoplásicas en un significativo número de casos de GC que habían sido negativos tanto para H&E como para técnicas de IHQ<sup>247</sup>.

Schoenfeld encontró sobre 39 pacientes cuyos GC fueron negativos para H&E y para IHQ, 6 positivos con RT-PCR<sup>21</sup>.

Sin embargo, parece poco probable que estos hallazgos tengan relevancia clínica. Además, debido a que el bloque entero de tejido linfático debe ser digerido para realizar este método, sería técnicamente difícil determinar el tamaño exacto de la lesión original, y distinguir entre células tumorales aisladas y grandes depósitos tumorales.

- El estudio del GC con cortes seriados y técnicas de IHQ aumenta la detección de micrometástasis.
- La micrometástasis en el GC se relaciona con un bajo riesgo de compromiso de los GnoC.
- No está todavía claramente demostrado que la micrometástasis se relacione con disminución en la supervivencia global y libre de entermedad, por lo que no se aconseja el empleo sistemático de IHQ en el GC negativo.

TABLA 11

Detección con IHQ y disminución de la supervivencia libre de enfermedad asociada con metástasis oculta.

Investigadores	Metástasis ocultas detectadas por IHQ	Disminución de supervivencia (%	
Trojani, 1987239	21/150 (14%)	22	
Sedmak, 1989 <sup>216</sup>	5/45 (11%)	11	
Chen, 1991 <sup>46</sup>	23/89 (29%)	16	
De Mascarel, 19926	50/218 (23%)	10	
Hainsworth, 1993109	41/343 (12%)	15	
Clare, 199750	11/86 (13%)	5	
Cote, 199956	71/736 (10%)	13	
Kuerer, 1999 <sup>134</sup>	4/43 (9%)	14	

#### 4. Experiencia publicada

- 4.1. ¿Cuál es el método aconseiable?
- 4.2. ¿Es necesaria la linfocentellografía preoperatoria?
- 4.3. ¿Es un obstáculo la biopsia mamaria previa?
- 4.4. ¿Dónde y cómo Inyectar?
- 4.5. ¿Cuántos ganglios se deben sacar?
- 4.6. ¿Es necesario siempre realizar un vaciamiento axilar con un ganglio centinela positivo?
  4.7. ¿Cuál es el costo y la morbilidad de la
- biopsia del ganglio centinela?

  4.8. ¿Cuáles son los resultados de la aplica-
- ción de la biopsia del ganglio centinela?

Por tratarse de un tema aún en desarrollo, algunos resultados del ML y blopsia del GC pueden parecer contradictorios o ambiguos. El tiempo permitirá sedimentar las técnicas más efectivas. A fin de brindar al lector el estado actual de cada tema, se ha preferido analizar los puntos más sobresalientes por separado.

### 4.1. ¿Cuál es el método aconsejable?

Como ha sido expuesto en Técnica, existen decididos partidarios tanto del colorante, del radiofármaco como de ambos. Con los tres métodos se han publicado resultados satisfactorios en estudios de validación con vaciamiento axilar, como se describe en las Tablas 6, 8, 9.

Recientemente, McMasters, sobre 806 pacientes, encontró recomendable el empleo del método combinado a fin de disminuir la tasa de falsos negativos<sup>103</sup>.

Cody, en 1000 casos consecutivos de biopsia del GC empleando el método combinado, tuvo una tasa de identificación del 81% para colorante, 87% para radiofármaco y 95% para las dos técnicas<sup>82</sup>. Al actualizar sus resultados con 2000 casos, encontraró una tasa de identificación del 97%, y aunque continúa recomendando ambos métodos, señala que el beneficio marginal del empleo del colorante ha ido disminuyendo con la experiencia. Comparando los primeros 500 casos con los últimos 500, encontró que la localización con radiofármaco aumentó de 88% al 98%, mientras que con colorante no se demostró progreso, ya que varió de 89% al 90%<sup>27</sup>.

- 4.9. ¿Es útil la biopsia del ganglio centinela en la cadena mamaria interna?
- 4.10.¿Está indicada la biopsia del ganglio centinela en el carcinoma intraductal?
- 4.11.¿Está indicada el mapeo linfático en el carcinoma localmente avanzado?
- 4.12.¿Cuál es la experiencia en Argentina?
- 4.13.¿Cuáles son los ensayos prospectivos en marcha?
- 4.14.¿Cómo influye la biopsia del ganglio centinela en la indicación de tratamiento sistémico?

Otros autores confirman las ventajas del uso conjunto de colorante y radiofármaco<sup>3, 60</sup>,

Sin embargo, independientemente del material de inyección, uno de los factores más relacionados con el éxito del procedimiento es la experiencia del equipo quirúrgico.

Morrow, en un reciente estudio prospectivo randomizado, no identificó ventaja en adicionar el radiofármaco al uso del colorante, aún en cirujanos en etapa de aprendizaje. El factor que mejor permitió predecir la identificación del GC fue el número de casos hechos por cada cirujano, así como la ubicación del tumor, la localización con aguja y el indice de masa corporal\*\*

- Es aconsejable el uso combinado de radiofármaco y de colorante.
- Ofrece una doble oportunidad de identificar al GC, con mejores tasas de identificación y de falsos negativos.

# 4.2. ¿Es necesaria la linfocentellografía preoperatoria?

La eficacia de la LCP en la detección del GC siempre ha sido más baja que con el uso del gammaprobe, por lo que en muchos centros emplean ambos procedimientos.<sup>4, 6, 77, 219</sup>,

El Departamento de Defensa de los Estados Unidos Ilevó a cabo un estudio multicéntrico en 617 pacientes. Concluyó que la LCP no permitió identificar un subgrupo de enfermas con drenaje extra-axilar en quenes se pueda prescindir del vaciamiento axilar.<sup>20,219</sup>

En un estudio de Burak el ML permitió encontrar todos los GC identificados por la LCP, y también en 5 de 7 pacientes en quienes la LCP había sido negativa<sup>32</sup>. La falla de la LCP fue significativamente mayor en pacientes con biopsia excisional previa<sup>32</sup>

Por lo tanto, la marcación de un GC en la LCP prácticamente asegura el hallazgo en el ML, mientras que la no identificación en la LCP no predice el fracaso del ML, ya que existe una mayor tasa de identificación con el gammaprobe. Los drenajes extra axillares son pocos, y la utilidad de la LCP estará ligada a la conducta que el grupo tratante siga con este hallazgo<sup>19</sup>.

La presencia de metástasis en ganglios axilares lleva a clasificar a la paciente como Estadio II, cuando ocurre en la cadena mamaria interna, se considera Estadio III, y cuando se descubre en un ganglio supraclavicular es un Estadio IV.

Sin embargo, las micrometástasis en cualquiera de estos sitios, cuando se trate de un drenaje directo del tumor, probablemente representen el mismo fenómeno biológico<sup>219</sup>.

En cuanto al momento de inyección, McCarter demostró que el porcentaje de localización del GC fue similar cuando la LCP se realizaba el mismo día de la cirugía, con una dosis de 0.1 mCi, que cuando se hacía el día anterior, usando una dosis de 0.5 mCi<sup>190</sup>.

Similares resultados fueron comunicados por Solórzano<sup>226</sup>, del M. D. Anderson Cancer Center usando 2.5 mCi, y por otros investigadores<sup>41, 253, 260</sup>.

La ventaja de hacer la inyección el día previo es que permite una evaluación más completa de la LCP, y desde el punto de vista organizativo comenzar más temprano la operación el día siguiente.

Si bien se postuló que esta demora podría hacer que la migración del radiotármaco marcara GnoC, en diferentes estudios no se encontró mayor número de GC cuando la inyección se realizaba el día anterior o el mismo día del procedimien-

- La LCP es necesaria va que:
  - Permite conocer la ubicación el GC (axilar o extra-axilar), aunque en menor porcen-
  - taje que con el gammaprobe.

    Avuda a dirigir la disección.
- No está definido el significado de los drenales extra-axilares.
- · Puede ser hecha el día anterior a la cirugía.

# 4.3. ¿Es un obstáculo la biopsia mamaria previa?

Inicialmente la presencia de una biopsia excisional fue considerado una contraindicación del ML, debido a la creencia de que existía una alteración de los conductos linfáticos luego de la biopsia de mama, y se recomendaban los procedimientos diagnósticos menos invasivos (biopsia por punción con aguja fina, biopsia con aguja gruesa)<sup>88, 39, 176</sup>.

Sin embargo, estudios actuales parecen indicar que esto no es así. Haigh estudió prospectivamente 283 pacientes con biopsia de GC con colorante y vaciamiento axilar. No encontró diferencias en la identificación del GC independientemente del tipo de biopsia realizada para el diagnóstico del tumor primario<sup>tos</sup>.

Olson estudió prospectivamente 223 pacientes con biopsia de GC con el método combinado seguido de vaciamiento axilar. No se observó relación entre la falla de identificación o de falso negativo con la localización del tumor, el tamaño tumoral, la edad mayor de 50 años ni la presencia de biopsia previa<sup>143</sup>.

Wong, sobre 2206 pacientes con biopsia de GC, tampoco encontró diferencias en las tasas de identificación y de falso negativo, ni en el número de GC extipados, comparando las pacientes con biopsia excisional previa con aquellas con biopsia por punción<sup>99</sup>.

- No existe evidencia de que una biopsia quirúrgica previa altere las tasas de identificación o de falso negativo.
- No debe ser considerada una contraindicación para la biopsia del GC.

#### 4.4. ¿Dónde v cómo invectar

El drenaje linfático de la mama se produce mayoritariamente hacia la axila homolateral, sin pasaje intermedio por el plexo subareolar, como se crevera anteriormente 3º1.254.

Fue postulado el hecho de que todos los linfáticos de la mama drenan hacia el mismo ganglio de la axila. Esto resultó una atractiva hipótesis, pues hacía menos estricta la elección del sitio de invección

Con el fin de demostrarlo, Nathanson inyectò radiofàrmaco en forma intradérnica a un grupo de pacientes. A un subgrupo de ellos le inyectò colorante intraparenquimatoso en el mismo cuadrante, mientras que al otro subgrupo le inyectò colorante intraparenquimatoso en un cuadrante diferente de aquel en el que estaba el tumor. En el 93.9% del primer grupo y en el 92.5% del segundo el mismo GC fue azul y radiactivo (p=0.99), por lo que concluyó que todos los linfáticos de la mama drenan a uno p des GC<sup>179</sup>.

Sin embargo, otros estudios son discordantes. Canavese administró radiofármaco en forma subcutánea sobre el tumor, y luego en otro sitlo de la mama. Encontraron que en el 50% de los casos, a diferente sitlo de inyección correspondía un GC diferente. Esto le permitió inferir que si bien existe una amplia red linfática interconectada en toda glándula, es preferible inyectar el marcador lo más cerca posible al tumor primario<sup>38</sup>.

Con respecto a la forma de inyección, existen reportes con buenos resultados con cualquiera de las distintas formas descriptas, por lo que corresponde tener en cuenta también ventajas operativas.

 Inyección intradérmica es más sencilla y provee una imagen más rápida en la LCP debido a la importante red linfática de la piel<sup>26, 72, 141</sup>.

Veronesi empleó esta técnica en su comunicación de 1997<sup>20</sup>. Borgstein, en un estudio inicial sobre 33 pacientes, tuvo un 100% de concordancia en la identificación del GC inyectando colorante en forma subdérmica y radiofármaco intraparenquimatosó<sup>51</sup>.

Linehan encontró un mayor porcentaje de identificación con radiolármaco cuando era inyectado en forma intradérmica que cuando se inyectaba en forma intraparenquimatosa (97% versus 78%)<sup>161</sup>. McMasters, al analizar los resultados de un estudio multicéntrico, también encuentra mejores tasas de identificación con inyección intradérmica con relación a la intraparenquimatosa<sup>105</sup>.

Sin embargo, otros datos permiten dudar de la certeza de la invección intradérmica.

En el H. Lee Moffitt Cancer Center, en más de 1200 casos de melanoma, no fue visualizada la captación en ganglios de la cadena mamaria interna, situación que aunque poco frecuente, se observa con la inyección intraparenquimatosa en mama. De la misma manera, la inyección intradérmica permite ver ganglios en la axila contralateral, lo que es un fenómeno excepcional con la inyección intraparenquimatosa.<sup>29</sup>.

nal con la inyección intraparenquimatosa<sup>39</sup>. Shen también encontró una diferencia en el patrón de drenaje lintático luego de la inyección intradérmica comparada con la intraparenquimatosa<sup>317</sup>.

Una desventaja de la inyección intradérmica consiste en que puede dejar un tatuaje en la piel cuando se emplea un colorante.

La inyección subareolar ha mostrado buenos resultados, tanto con colorante como con radiofarmaco<sup>32</sup> sa tra 28 de 180 de 190% de los casos dentro de los primeros 30 minutos de la inyección, así omo los conductos linfáticos que comunican el sitio de inyección con los ganglios axilares, y que fueron denominados canales infáticos centinela. No requiere la guila ecográfica para la inyección en lesiones no palpables ni presenta el riesgo de inyección en la cavidad de una blopsia previa.

Cuando se emplea con colorante evita que la tumorectomía se realice en un campo tenido a azul, y cuando se usa con radiofármaco en las lesiones del cuadrante súpero externo evita la interferencia del sitio de la inyección con la búsqueda del ganglio en la axila. Como desventaja muestra un bajo porcentaje de marcación de ganglios de la cadena mamaría interna<sup>123</sup>.

gangios de la cadena mamaria niterna « Kaptelijn demostró el drenaje primario hacia los ganglios de la axila y de la cadena mamaria interna, sin pasaje previo por el plexo subareolo por lo cual la identificación de GC mediante inyección periareolar no reflejaría fehacientemente el drenaje de tumores localizados en otras partes de la mama<sup>13</sup>.

Doting, de Amsterdam, ha presentado su experiencia con inyección intratumoral de coloran-

te y radiofármaco en 136 pacientes. Tuvieron una tasa de identificación de 93% y de falsos negativos de 5%75.

Este tipo de inyección de radiofármaco en lesiones no palpables permite realizar conjuntamente con la biopsia del GC la biopsia radioquirúrgica de la lesión mamaria<sup>202</sup>.

El masaje luego de la inyección por aproximadamente 5 minutos permite una mayor tasa de identificación<sup>17</sup>.

- La inyección peritumoral parece ser la que más se acerca a una situación similar al drenaje del tumor, y la preferida para la inyección del colorante.
- La Inyección intradérmica también ofrece ventajas, y es preferible para el radiofármaco ya que no deja tatuaje.

#### 4.5. ¿Cuántos ganglios se deben sacar?

Se ha discutido sobre la cantidad de GC que deben ser extirpados, ya que algunos pacientes presentan más de uno.

Mc Carter ha encontrado un 15% de enfermas con más de 3 GC; el 98% de los ganglios positivos fueron encontrados entre los 3 primeros GC, mientras que en el 2% el ganglio positivo se encontró reción luego de haber extirpado cuatro o más ganglios. Basados en esta experiencia recomienda la remoción de todos los ganglilos que presenten captación de radiofármaco o que retengan colorante<sup>16</sup>.

Esto fue también confirmado por Wong, que demostró una difierencia estadisticamente significativa de la tasa de falsos negativos en pacientes en quienes se extirpó un solo GC versus aquellos a los que tuvieron más de un GC (14.3% versus 4.3%, p=0.0004)<sup>264</sup>.

Otro tema de debate es si habiendo extraído el ganglio con mayor número de cuentas, se debe persistir en extirpar otros ganglios con nivel de captación algo menor. Martín analizó 1566 pacientes en quienes se halló más de un GC. Encontró que sobre 463 enfermas con GC positivos, en el 20% de los casos el ganglio con mayor captación fue negativo. Recomiendan que para mayor precisión del método se conveniente la resección de todos los ganglios con captación aumentada, el uso simultáneo del colorante y la extracción de aquellos ganglios clínicamente sospechosos, aun si no estuvieran marcados<sup>107</sup>.

La extirpación de todos los GC aumenta la probabilidad de encontrar un ganglio positivo y disminuye la tasa de falsos negativos.

#### 4.6. ¿Es necesario siempre realizar un vaciamiento axilar con un ganglio centinela positivo?

En un 37 a 63% (promedio 58%) de los casos en los que el GC muestra metástasis, éste gangilo resulta ser el único afectado (Tabla 14). Esto llevó a cuestionar la necesidad del vaciamiento axilar, aún en caso de encontrar un GC positivo.

Chu encontró una menor frecuencia de metástasis en los GnoC en enfermas con micrometástasis en el GC, en comparación con quienes mostraban macrometástasis. Propusieron que podría no ser necesario completar el vaciamiento axilar en algunas pacientes seleccionadas aún con GC postitivo<sup>64</sup>.

Kamath halló que la micrometástasis en GC diagnosticada solo por IHO se asoció con metástasis en los GnoC en un 7.8%, mientras que cuando la micrometástasis fue diagnosticada por H&E los GnoC fueron positivos en un 25%19.

Weiser encontró que en pacientes con GC positivo la probabilidad de encontrar metástasis en GnoC se relacionaba con tamaño tumoral mayor de 1 cm, invasión linfovascular y metástasis en GC mayor de 2 mm<sup>257</sup>.

Wong estableció que la positividad de los GnoC estaba relacionado con el tamaño tumoral y la existencia de más de un GC positivo<sup>26</sup>. Un resumen se expone en la Tabla 12.

Si bien existen factores predictivos de falta de compromiso de los GnoC, siempre persiste un ries-

TABLA 12
Factores propústico de metástasis en GnoC.

Investigador	n	Factores pronósticos de metástasis en GnoC
Chu, 1999 <sup>48</sup>	157	Macrometástasis en GC, tamaño tumoral
Kamath, 2001118	101	Micrometástasis en GC con hematoxilina eosina
Weiser, 2001297	1000	Tumor > 1 cm, Invasión LV, macrometástasis en GC
Wong, 2001263	1268	Tamaño tumoral, más de un GC positivo

LV: Linfovascular

go de metástasis en dichos ganglios. Al igual que otros autores, los Relatores aconsejan el vaciamiento axilar en las pacientes con GC positivos<sup>166</sup>.

- Existen factores que permiten predecir el compromiso de los GnoC en enfermas con GC positivos.
- Hasta que no se tengan resultados de los ensayos clínicos prospectivos en marcha es recomendable indicar el vaciamiento axilar ante un GC positivo.

## 4.7. ¿Cuál es el costo y la morbilidad de la biopsia del ganglio centinela?

Como toda nueva técnica, ha sido analizado el costo asociado a la biopsia del GC.

Geminiani, del Memorial Sloan-Kettering Cancer Center, comparó los gastos en un grupo de pacientes con biopsia del GC, examen por congelación y vaciamento axilar solo en caso de ser positivo, frente a otro grupo a quienes se le realizó a todos el vaciamiento axilar en forma electiva. No se encontró diferencia en lo referente a costos, ya que todos los gastos que demanda el ML se ven compensados por la reducción de la internación al evitar el vaciamiento axilar cuando el GC es negativo<sup>60</sup>.

Existe poca información sobre la morbilidad de la biopsia del GC como única operación.

Rietman encontró cambios en la movilidad del miembro superior luego de la biopsia del GC; curiosamente en su serie no halló diferencias con las alteraciones del vaciamiento axilar<sup>161</sup>. Temple demostró que existen síntomas sensitivos que persisten luego del año de la cirugía. Si bien ocurren con menor frecuencia que con el vaciamiento axilar, es necesario conocerlos para advertir a la paciente v evitar posteriores reclamos<sup>237</sup>.

- Cuando la biopsia de GC reemplaza al vaciamiento axilar no aumenta los costos del tratamiento.
- La paciente debe ser advertida de la existencia de una baja frecuencia de secuelas.

## 4.8. ¿Cuáles son los resultados de la aplicación de la biopsia del ganglio centinela?

Luego de haber llevado a cabo estudios de validación con vaciamiento axilar y de establecer una técnica precisa, se han presentado resultados de estudios multicéntricos y de centros con gran número de casos 11.25.

El primer ensayo multicéntrico de GC en cáncer de la mama se realizó en 443 pacientes; tuvo una tasa de identificación del 91% y una tasa de falsos negativos del 11% <sup>15114</sup>. A pesar de este alto indice, que es similar al comunicado por instituciones individuales, la exactitud fue del 97%. La tasa de identificación varió entre el 79% y el 98% y la tasa de falsos negativos entre 0% y 29% entre los 11 cirujanos participantes <sup>11</sup>.

Un segundo ensayo multicentrico que incluyó 80 pacientes mostró rango similar en la tasa de identificación, y sus resultados sugieren que la combinación de colorante y radiofármaco puede mejorar los resultados y acortar la curva de aprendizale 193.

Los resultados de algunos grupos pueden ser observados en la Tabla 13.

Los rangos de falsos negativos oscilaron entre un 1% y un 13% (promedio 7%).

TABLA 13
Resultados de la biopsia de GC en pacientes con cáncer de la mama.

Investigadores	n	Tasa de identificación	Exactitud	% GC único afectado	Tasa de falsos negativos
Krag, 1998 <sup>131</sup>	443	91	97	59	11
McMasters, 2000153	806	88	97.5		7.2
Borgstein, 1998 <sup>28</sup>	130	94	99	59	5
Veronesi, 1999 <sup>251</sup>	376	99	97	43	7.
Reynolds, 1999195	225	98	97	53	***
Kollias, 1999130	117	81	98	42	. 7
Hill, 1999113	492	93		61	11
Haigh, 2000 <sup>rde</sup>	284	81	99	58	3
Cox, 2000 <sup>54</sup>	1147	96	99	60	1
Tafra, 2001 <sup>230</sup>	535	87	96	37	13
Zurrida, 2000 <sup>268</sup>	371	98	96	41	6,5
Nos, 2001176	253	84	97		9
Ahrendt, 2001 <sup>3</sup>	177	85	99		3.7
Shivers, 2002218	426	92	98	63	4

<sup>\*</sup> Datos no disponibles,

Esto coincide con el meta-análisis publicado por Miltenburg, quien comunicó una tasa de falso negativo de 5.1%, basado en 11 estudios anteriores<sup>(6)</sup>.

Varios trabajos han indicado que los promedios altos de falsos negativos se asocian con pacientes mayores de 50 años, tumores de ubicación medial y cirujanos con poca experiencia<sup>50, 40, 50,</sup> 41, 101, 113, 110, 111, 111, 111, 113, 210, 200, 201,

- Las series extranjeras muestran altos porcentajes de identificación y de exactitud del GC.
- La existencia de falsos negativos lleva a ser aún prudente en abandonar el vaciamiento axilar con GC negativo.

# 4.9. ¿Es útil la biopsia del ganglio centinela en la cadena mamaria interna?

La metástasis ganglionar en la cadena mamaria interna (CMI) ha sido reconocida ampliamente como factor de mal pronóstico en el cáncer de la mama<sup>44, 298, 944</sup>,

El vaciamiento rutinario de la CMI como complemento de la mastectomía radical fue evaluado extensamente en el pasado, pero diferentes ensayos clínicos no pudieron demostrar ventajas en la supervivencia alejada, por lo cual el procedimiento dejó de emplearse 1781. TRE 249

Por otra parte, en pacientes tratadas con mastectomía radical modificada y quimioterapia, menos del 1% de las fallas de tratamiento ocurren en ganglios de la CMI<sup>128</sup>.

La biopsia del GC en mama ha renovado el interés por la investigación y tratamiento de los ganglios de la CMI, ya que la LCP permite identificar a las pacientes con mayor riesgo de metástasis en dicha cadena, y realizar la biopsia con baja morbilidad<sup>32</sup>.

Las mayores tasas de identificación de GC en CMI se consiguen a través de una inyección intraparenquimatosa<sup>234</sup>.

Un estudio de van der Ent sobre LCP en 256 pacientes, reveló d'renaje hacia la CMI en un 53.3% 65676. La biopsia del GC fue factible en un 63% 158. Existieron metástasis en un 26.8% 154. y en un 7.3% (3/41) dicha metástasis coincidió con ganglios axilares negativos. Esto representó un avance en la estadificación de la enfermedad, aunque haya courrido solo en el 1% de la población 159.

Dupont, sobre 1273 pacientes, realizó 30 (2.4%) biopsias de GC en la CMI; cinco (16.7%) tuvieron metástasis, y en tres de ellos coincidió con ganglios axilares negativos. En esta serie el beneficio de la mejor estadificación correspondió al 0.4% de las enfermas<sup>5/1273, 76</sup>; además en aquellas con GC negativo se pudo evitar la radioterapia para-esternal, con su correspondiente morbilidad cardíaca<sup>167</sup> y pulmonar<sup>603</sup>.

Otros estudios confirmaron la factibilidad de la biopsia del GC en la CMI<sup>116, 207, 216</sup>.

Investigadores del Memorial Stoan-Kettering Cancer Center recomiendan actualmente la biopsia del GC en dicha cadena cuando la información obtenida permita cambiar la conducta terapéutica.

Esto ocurre en enfermas con tumores menores de 1 cm y con ganglios axilares negativos, quienes habitualmente no recibirian tratamiento adyuvante sistémico con quimioterapia, salvo que el ganglio de la CMI sea positivo<sup>128</sup>.

Implica un número reducido de pacientes. Se sabe a partir de estudios históricos que el porcenlaje de enfermas con metástasis en la CMI y con 
ganglios axilares negativos oscila entre el 4 y el 
18%:<sup>18</sup>, El porcentaje de ellos con tumores menores de 1 cm se desconoce pero se presume como 
muy reducido, ya que las pacientes con ganglios 
axilares negativos y tumores menores de 1 cm exhiben una supervivencia aleiada superior a 80%:<sup>801</sup>

La presencia de una metástasis en la CMI está clasificado como N3 según el sistema vigente de estadificación, lo que lleva a incluir a la paciente en un Estadio III<sup>r</sup>. Al ser esta clasificación principalmente clínica, para que dicha metástasis sea detectada mediante la palpación debe ser voluminosa.

Es probable que el diagnóstico de una metástasis en un GC no palpable en la CMI supondría un valor pronóstico diferente<sup>173</sup>.

- Ante el drenaje hacia un GC de la CMI en la LCP, debe intentarse su biopsia.
- Es poco probable que dicha biopsia represente un cambio en el tratamiento, debido a la baja frecuencia con que es el único ganglio positivo en tumores menores de 1 cm.

#### 4.10.¿Está indicada la biopsia del ganglio centinela en el carcinoma intraductal?

Debido a la difusión del empleo del GC, algunos centros lo comenzaron a aplicar en pacientes con carcinoma intraductal, y encontraron GC positivos en un 6 a un 12% de los casos 127, 188,

Algunos investigadores opinan que la biopsia del GC en carcinoma intraductal mejora la capacidad de estadificación, ya que los reportes previos señalaban solo un 2% de metástasis axilares en las piezas de vaciamiento axilar estudiadas rutinariamente<sup>21</sup>.

Sin embargo, el carcinoma intraductal tratado con mastectomía simple tiene una mortalidad específica por cáncer de solo el 1%, por lo que será dificil probar cualquier estrategia que pueda mejorar estos datos.

Por otra parte, si bien está altamente probada la capacidad pronóstica de las medástasis ganglionares detectadas por H&E, no ocurre lo mismo con aquellas demostradas solo por IHO<sup>66,76</sup>.

Además, Carter demostró que los procedimientos quirúrgicos previos pueden desplazar artificialmente células epiteliales benignas o de carcinoma intraductal por los vasos lintáticos hasta los ganglios, originando falsos positivos<sup>39</sup>.

Sobre la base de estas razones, Lagios y Silverstein concluyen que el problema del carcinoma intraductal, descartado todo componente invasor, es una adecuada resección con un margen de al menos 1 cm, a fin de prevenir la recidiva como invasor, y que es altamente cuestionable la aplicación de la técnica del GC, ya que podría producir un aumento artificial de la estadificación <sup>197</sup>.

La Conferencia de Consenso sobre Tratamiento del Carcinoma Ductal In Situ concluyó que la baja morbilidad de la biopsia del BC no es una excusa para su uso, y que solo debería ser realizada en el contexto de un ensayo clínico controlado<sup>215</sup>.

Sin embargo, como lo considera Anderson, estaría justificado en aquellas pacientes en las que existe una alta esospecha de microinvasión (nódulo paípable, nódulo acompañando a las microcaliclicaciones, alto grado histológico) ya que si son intervenidas como carcinoma intraductal con una cuadrantectornía amplia, y en el estudio diferido se encuentra un carcinoma invasor, habrian perdido la posibilidad de realizar una biopsia de GC y deberían ser sometidas a un vaciamiento axilar, muy probablemente innecesario<sup>5</sup>.

- La biopsia de GC en carcinoma intraductal encuentra un bajo porcentaje de metástasis ganglionares, en su mayoría con IHQ.
- El significado pronóstico de este dato es dudoso.
- Estaría justificado ante la sospecha de microinvasión: nódulo palpable, nódulo con microcalcificaciones, alto grado histológico.

# 4.11.¿Está indicado el mapeo linfático en el carcinoma localmente avanzado?

Se ha comunicado el empleo del ML en el carcinoma localmente avanzado antes o después de la quimioterapia negadyuyante.

a) ML antes de la neoadyuvancia. Algunos especialistas entienden que la quimioterapia neoadyuvante no ofrece mejoría en la supervivencia alejada, y que sirve principalmente para reducir el tamaño tumoral y permitir la cirugía conservadora. Proponen llevar a cabo la biopsia del GC conjuntamente con el tratamiento quirúrgico primario en aquellas pacientes que aceptan la mastectomia o que admiten una cirugía conservadora sin necesidad de neoadyuvancia. En los casos en que el GC fuera negativo se evitaría el vaciamiento axilar.

Chung realizó biopsia de GC en 41 pacientes con tumores de 5 cm o mayores. A pesar de una tasa de identificación del 100% y una tasa de falsos negativos del 3%, el hecho de haber encontrado metástasis axilares en el 76% de los casos hizo que el procedimiento haya sido menos útil para evitar vaciamientos axilares. Esta estrategía permitiría seleccionar a las pacientes con ganglios negativos para evitarles el vaciamiento axilar posterior a la quimioterapia, asumiendo que ésta puede producir modificaciones anatómicas que dificulten la técnica.

Algunos autores han realizado biopsia del GC previo a la neoadyuvancia aún en T2<sup>20</sup>,

b) ML después de la neoadyuvancia. Breslin efectué la biopsiá de GC posterior a terminar la quimioterapia neoadyuvante en 51 enfermas con cáncer de mama en estadio II y III. Comunicaron una tasa de identificación del 84% (94% en los úttimos casos). En 43 enfermas evaluables,

la tasa de falsos negativos fue de 12%. El porcentaje de metástasis ganglionares demostrado con estudio de secciones seriadas, con o sin IHQ, fue del 51.2%<sup>30</sup>. Otros autores reprodujeron estos resultados <sup>32</sup>. <sup>30</sup>. <sup>227</sup>.

La poliquimioterapia necadyuvante produce regresión histológica hasta en un 23% de los casos <sup>131</sup>. La biopsia del GC luego del tratamiento sistémico permitiría identificar a estos pacientes a fin de evitarles el vaciamiento axilar.

Como puede apreciarse, se trata de series reducidas, ya que los tumores avanzados son poco frecuentes, y menos aún con ganglios clínicamente negativos.

Si bien demuestran la factibilidad del método, los criterios de selección de pacientes, así como la oportunidad de la biopsia fueron diferentes en cada uno de los estudios<sup>25</sup>.

El ML no estaría indicado en el carcinoma localmente avanzado ya que:

- La biopsia del GC no cambia el tratamiento sistémico.
   El alto porcentale de metástasis axilares li-
- El alto porcentaje de metástasis axilares limita la utilidad del método como alternativa al vaciamiento axilar.

## 4.12.¿Cuál es la experiencia en Argentina?

Diferentes centros han desarrollado experiencia con ML y la biopsia del GC en cáncer de la mama en Argentina, ya sea con colorante, con radiofármaco o con ambos métodos. Las series publicadas hasta el cierre del presente Relato, así como las comunicadas en Jornadas, en forma personal y la de los Relatores pude verse en la Tabla 14.

Sus resultados son equivalentes a las series extranjeras, y sin duda mejorarán aún más a medida que aumente la experiencia.

Estimulados por los resultados en melanoma, los Relatores comenzaron su experiencia en cáncer de la mama en 1996 con azul patente en algunos casos aislados.

Sin embargo, como ocurrió a otros grupos, la práctica inicial no fue enteramente satisfactoria, por lo que el procedimiento fue transiforiamente abandonado.

En 1999 se reinició la experiencia, con azul patente en algunos casos, y con la técnica combinada en otros, según fue descripto en 2.4.

TABLA 14 Experiencia con biopsia de GC en cáncer de mama en Argentina.

Investigador n		vestigador n Tasa de identificación		Método	
Nobifa <sup>174</sup>	62 62	84 % (52/62) 100 %	20% (5/25) 5% (1/17)	Azul Azul & gammaprobe	
Cassanello <sup>48</sup> Ferreira <sup>67</sup>	172 41	74 % (128/172) 95 % (39/41)	9% (5/56)	Azul Azul & gammaprobe	
Del Castillo™	139	95 %	6.5%	Azul Gammaprobe Azul & gammaprobe	
Loza <sup>143</sup> Barbera <sup>13</sup>	107 100 92	88 % (94/107) 98 % (98/100) 97.8 % (90/92)	5,7% (2/35) 4.6 (2/43)	Azul & gammaprobe Gammaprobe Gammaprobe	
Mc Lean <sup>152</sup> Lorusso <sup>142</sup> Relatores	100 72 76	72 % (72/100) 77.8 % (56/72) 93 % (71/76)	8% (2/25) 6.6% 7.6 % (2/26)	Azul Azul Azul Azul & gammaprobe	

<sup>\*</sup> No realizaron vaciamiento axilar cuando el GC fue negativo.

#### Población

Durante el período marzo 1999 - abril 2002 se reaizó el ML y biopsia de GC a 76 pacientes con cáncer de la mama, en la División de Cirugía Oncológica del Hospital de Clínicas, en el Servicio de Cirugía del Hospital Alemán y en la práctica privada.

# Descripción de la muestra

- Edad:Promedio = 61 años ± 13 Rango = 32 - 83 años
- · Tamaño tumoral: Promedio = 20.0 mm ± 9.5 Rango = 4 - 45 mm.
- T1a = 1; T1b = 14; T1c = 31; T2 = 30
- · Palpable: 57 casos (75%)
- No palpable: 19 casos (25%)

۰	Ubicacion:		
	Cuadrante	n	%
	Supero externo	44	58
	Supero interno	6	8
	Infero interno	8	10
	Infero externo	14	18
	Retroareolar	4	5

#### Resultados

# Técnica quirúrgica:

Cuadrantectomía y vaciamiento axilar = 64 (84.2%) Mastectomía radical modificada = 12 (15.8%)

# · Patología:

	n	%
Carcinoma ductal infiltrante	64	84.2
Carcinoma lobulillar	9	12.0
Carcinoma mucinoso	2	2.5
Carcinoma medular	1	1.3

#### Método:

	n	%
Colorante	26	34
Colorante y neoprobe	50	66

#### Tasa de identificación:

Colorante	92 %	(24/26)
Colorante y neoprobe	94 %	(47/50)
Total	93 %	(71/76)

## Estado de los GC y GnoC:

	GC	GnoC
Negativos	47	57
Positivos	24	14

- · Falsos negativos: 2
- Tasa de falsos negativos: 7.6% (2/26)
- Exactitud: 97% (69/71)
- Valor predictivo negativo: 96% (47/49)
- GC como único positivo: 50% (12/24)

#### 4.13.¿Cuáles son los ensayos prospectivos en marcha?

Actualmente existen varios ensayos clínicos prospectivos randomizados en marcha que buscan validar diferentes aspectos del ML y biopsia del GC en cáncer de la mama<sup>202</sup>.

- El NSABP-32 (National Surgical Adjuvant Breast and Bowel Project) busca determinar si existe diferencia en la supervivencia y control regional entre pacientes con vaciamiento axilar sistemático vs. vaciamiento axilar solo en caso de GC positivo (Figura 1).
  - El Grupo Oncológico del American College of Surgeons ha iniciado dos ensayos clínicos.
- El Z0010 tiene como objetivo estudiar la falla axilar en aquellas enfermas con GC negativo

y sin vaciamiento axilar, y el significado pronóstico de las micrometástasis en GC y médula ósea (Figura 2). Las pacientes con GC positivo con H&E se incluirán en el protocolo Z0011.

A diferencia del protocolo B-32 del NSABR no está estandarizado el método de ML, pero se exige a los participantes documentar una experiencia mínima con 20 casos, con una tasa de identificación de 90% y una tasa de falsos negativos menor o igual a 10%.

- El protocolo Z0011 recluta pacientes provenientes de una de las ramas del protocolo Z0010. Este ensayo busca responder la pregunta sobre el valor terapéutico del vaciamiento axilar (Figura 3).
- En Gran Bretaña, se ha iniciado también un estudio prospectivo randomizado multicéntrio llamado ALMANAC (Axillary Lymphatic Mapping Against Node Axillary Clearance), en el que participan 15 centros<sup>21</sup>. El Objetivo primario de este ensayo es determinar la morbilidad del vaciamiento axilar, así como comparar los costos y calidad de vida entre pacientes con linfadenectomía sitemática y aquellas con vaciamiento solo

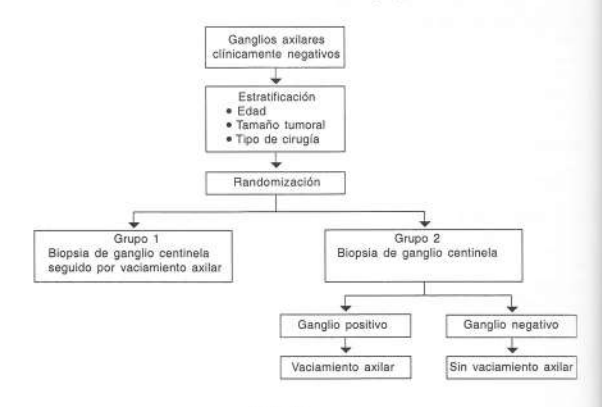


FIGURA 1

Esquema del protocolo B-32 del NSABP sobre ganglio centinela en cáncer de la mama.

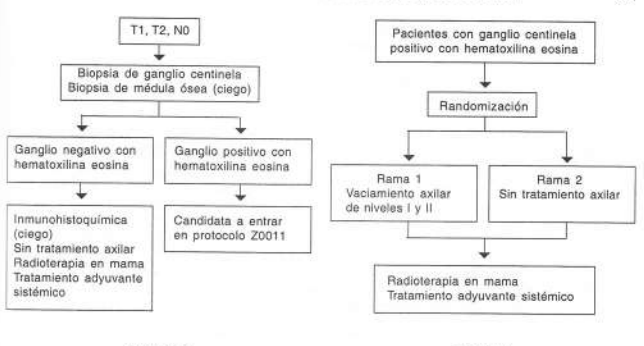


FIGURA 2 Esquema del protocolo Z0010 del Grupo Oncológico del American College of Surgeons.

FIGURA 3
Esquema del protocolo Z0011 del Grupo Oncológico
del American College al Surgeons.

en caso de GC positivo. Secundariamente, el objetivo a largo piazo es mensurar la tasa de recidiva axilar en pacientes con GC negativo a los que no se les realizó vaciamiento axilar (Figura 4).

- El Instituto Europeo de Oncología ha también llevado a cabo un ensayo prospectivo. A pacientes con tumores menores de 2 cm se les realizó biopsia de GC y luego fueron randomizadas entre vaciamiento axilar (n = 257) y vaciamiento axilar solo en presencia de GC positivo (n = 259). Los resultados iniciales han mostrado en el grupo de vaciamiento axilar, para la biopsia de GC un valor predictivo negativo de 95.4%, una sensibilidad del 91.2% y una especificidad del 100%<sup>21</sup>.
- Los ensayos clínicos prospectivos randomizados en marcha son NSABP-32, Z0010 y Z0011 (E.E.U.U.), ALMANAC (Gran bretaña), Instituto Europeo de Oncología (Italia).
- Permitirán obtener evidencia de Nivel A sobre:
  - · Valor diagnóstico del GC.
  - Utilidad terapéutica del vaciamiento axilar.
  - Significado pronóstico de las micrometástasis,

- 4.14.¿Cómo influye la biopsia del ganglio centinela en la indicación de tratamiento sistémico?
- Cuando el ML encuentra un GC positivo, permite indicar tratamiento sistémico en enfermas con tumores menores de 1 cm y con ganglios clínicamente negativos 114. En ellas no se recomienda habitualmente tratamiento adyuvante con quimioterapia, ya que la supervivencia alejada luego del tratamiento locoregional es superior al 90%. Varios grupos han comunicado resultados de cambio de indicaciones en base a los hallazgos del GC74, 151, 182. Debido a que la quimioterapia a altas dosis no ha mostrado ventajas con respecto a otras modalidades, resulta menos importante la estratificación de pacientes en base al número de los ganglios positivos. Esto podría cambiar si los resultados de estudios con densidad de dosis o combinaciones de quimioterapia con taxanos o con Herceptin demuestran ser efectivos en pacientes de alto riesgo223.
- Al ofrecer al patólogo uno o pocos ganglios permite que éstos sean estudiados en forma más completa. Existe evidencia que sugiere que las micrometástasis detectadas por IHQ podrian influir en la supervivencia aleiada, por lo que se-

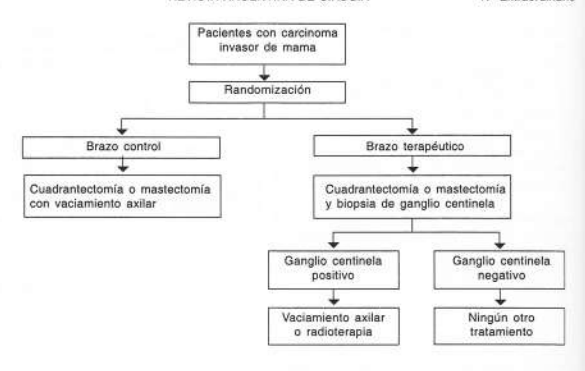


FIGURA 4
Esquema del protocolo ALMANAC.

ría recomendable indicar tratamiento sistémico en estas pacientes<sup>1,720,45,68,165</sup>, (El uso de técnicas de IHQ en el estudio del GC ha resultado en un cambio de categoría de pacientes con ganglios negativos a pacientes con ganglios positivos en 12% a 29% de enfermas con T<sub>1a</sub> y T<sub>1a</sub>.

• Como contrapartida de estos beneficios, el mayor riesgo reside en subtratar a pacientes con un GC falso negativo. Ante la presencia de tasas de falsos negativos superiores a 10% en varias series, podría ocurrir que pacientes con T<sub>1x</sub> o T<sub>15</sub> con GC falso negativo no recibieran tratamiento adyuvante, o que pacientes or T<sub>10</sub> recibieran esquemas menos agresivos que si se comprobara que realmente tienen varias metástasis axilares.

Debido al riesgo de la toma de decisión quivocada por influencia de los falsos negativos, la biopsia de GC sin vaciamiento axilar debe estar reservada por ahora solo para centros con alto número de pacientes y técnica estandarizada, con bajo porcentaje de falsos negativos, y en el marco de ensavos clínicos.

- La biopsia de GC permitiría una mejor estadificación e indicación de tratamiento advuvante sistémico.
- La existencia de falsos negativos constituye un riesgo del procedimiento que debe ser considerada.

### Acreditación en biopsia de ganglio centinela en mama

Ante la posibilidad cierta en el futuro próximo de que la biopsia de GC reemplace al vaciamiento axilar, deben precisarse las condiciones bajo las cuales sea cumplido<sup>22</sup>.

La American Society of Breast Surgeons recomendó una tasa de identificación del 85% o mayor y una tasa de falsos negativos del 5% o menor, para quienes quieran abandonar el vaciamiento axilar<sup>222</sup>.

Cox, al estudiar los resultados de 16 cirujanos empleando colorante y radiofármaco, encontró que quienes realizaron menos de 3 procedimientos por mes tuvieron un 86.2% de identificación, de 3 a 6 procedimientos por mes un 88.7%, y más de 6 procedimientos por mes un 97.8%\*1.

McMasters encontró un aumento en la tasa de identificación y disminución de la tasa de falsos negativos luego de los primeros 20 casos, y afirma que cada cirujano debería realizar al menos 20 procedimientos con resultados aceptables antes de abandonar el vaciamiento axilari<sup>45</sup>. Diferentes activos presentaron resultados similares (Tabla 15).

Sin embargo, un reciente estudio estadístico teónico de Tanis estimó que para obtener tasas de identificación y de falsos negativos aceptables se requerirían al menos 150 procedimientos con por lo menos 60 de ellos con metástasis ganglionares. Esto sería posible en los centros-con gran volumen de pacientes. Para los cirujanos que actúan en forma individual, con menos casos por año, una curva de aprendizaje inicial de 20 o 30 casos no sería suficiente para asegurar buenos resultados posteriores<sup>203</sup>.

Zervos analiza la aplicación de la biopsia de GC en la práctica comunitaria, por parte de cirujanos que tomaron cursos de formación en esta metodología. El éxito de la implementación de la biopsia del GC estuvo relacionada con el volumen de pacientes attendidas con cáncer de la mama. Pero lo más notable fue que casi todos (95%) de los cirujanos que ofrecían la biopsia de GC como alternativa al vaciamiento axilar no habían completado lo 30 casos de validación (con vaciamiento axilar), y un 55% habían completado menos de 10% pro 15% para completado menos de 10% pro 15% para completado menos de 10% pro 15% habían completado menos de 10% pro 15% pro 15% habían completado menos de 10% pro 15% habían completado pro 15% pro 15% habían completado menos de 10% pro 15% habían completado menos de 10% pro 15% habían completado pro 15% pro 15% habían completado pro 15% habían completado pro 15% pro 15% habían completado pro 15% habían completado pro 15% pro 15% habían completado pro 15% habían completado pro 15% pro 15% pro 15% habían completado pro 15% pro 15% habían completado pro 15% pro 15% habían completado pro 15% pro 15% pro 15% habían completado pro 15% pro 1

De la misma manera, una encuesta llevada a cabo en los Países Bajos mostró que el vaciamien- o axilar fue omitido por el 43% de los cirujanos que había realizado menos de 10 biopsia de GC, por el 44% de quienes hicieron menos de 25 y por el 70% de los que tuvieron una curva de aprendizale menor de 50 casos<sup>60</sup>.

Tabla 15 Relación entre el número de casos y la tasa de identificación del GC.

investigador i		Tasa de identificación	n	Tasa de Identificación	
Cox <sup>67</sup>	23	90	53	95	
Morrow <sup>165</sup>	20	85			
Cody <sup>68</sup>	16	86	84	94	
Tafra <sup>230</sup>	<10	81	>10	91	

La proliferación de cirujanos que ofrezcan la biopsia de GC sin el adecuado entrenamiento puede conducir a una disminución en la tasa de identificación y un aumento en la de falsos negativos por incorrecta aplicación del método, y por lo tanto a un injustificado desprestigio.

Debe puntualizarse que la experiencia debe ser individual, adecuadamente registrada, y hecha en combinación con los especialistas de Medicina Nuclear y de Patología.

Resulta recomendable que el cirujano que realice blopsia de GC y quiera prescindir del vaciamiento axilar posea una tasa de identificación del 85% y una tasa de falsos negativos del 5%, lo que se conseguiría en la mayoría de las oportunidades con unos 20 a 30 casos con vaciamiento axilar.

#### Bibliografía

- Abdullah TI, Iddon J, Barr L et al: Prospective randomized controlled trial of preservation of the Intercostobrachial nerve during axillary node clearance for breast cancer. Br J Surg 1998, 85: 1443-1445.
- Abner AL, Collins L, Peiro G et al: Correlation of tumor size and axillary lymph node involvement with prognosis in patients with 71 breast carcinoma. Cancer 1999, 83:
- 2502-2508.

  3. Ahrendt GM, Laud P, Tjoe J et al. Does breast tumor location influence success of sentinel lymph node
- biopsy? J Am Coil Surg 2001; 194: 278-284. A lazzaki NP, Eshima LD. Eshima La et al: Lymphoscintigraphy, the sentinel node concept, and the intraopeerative gamma probe in melanoma, breast cancer and other potential cancers. Semin Nucl Med
- 1997, 27: 55-67.
   Albertini JJ, Lyman GH, Cox C et al: Lymphatic mapping and sentinel node biopsy in the patient with breast cancer. JAMA 1996, 276: 1818-1822.
- Alired DC, Elledge RM: Caution concerning micrometastatic breast carcinoma in sentinel lymph nodes (ediforial). Cancer 1999: 86: 905-907.
- Cancer 1999; 86: 905-907.
   American Joint Committee on Cancer. Breast. En: AJCC Cancer Staging Manual, 5" ed. Philadelphia, Pa;
- Lippincott-Raven: 159-170, 1998.

  8. Anderson BO: Axillary metastases with DCIS: is the glass half empty or half full? Ann Surg Oncol 2000; 7:
- 831-833.
  8 Avril N, Dose J, Janicke F et al: Assessment of axillary lymph node involvement in breast cancer patients with positron emission temography using radiolabeled 2-effuorine-18-fluoro-2-eloxyv-0-gluose.
  J Natl Cardyn
- Inst 1996, 88: 1204-1209.

  10. Baeza MR, Sole J, Leon A et al: Conservative treatment of breast cancer. Int J Radiat Oncol Biol Phys 1988, 14: 889-878.
  - Baich CM, Lange JR: Lymphatic mapping and sentinel node lymphadenectomy for cancer: an overview. Ann

- Surg Oncol 2001; 8: 15-45.
- Baich GC, Mithani SK, Richards K, Beauchamp RD, Kelly MC: Prospective evaluation of the accuracy of lymphatic mapping and sentinel lymphadenectomy after preoperative therapy for locally advanced breast cancer (abstract). Ann Suro Honol 2002: 9: S 28.
- Barbera L: Comunicación personal (respuesta a la encuesta). 2002.
- Barnwell JM, Arredonde MA, Kollmorgen D et al: Sentinel node biopsy in breast cancer. Ann Surg Oncol 1998; 5: 126-130.
- Barth A, Craig PH, Silverstein MJ. Predictors of axillary lymph node metastases in patients with T1 breast carcinoma. Cancer 1997, 79: 1918-1922.
- Bass SS, Cox CE, Berman C, Reintgen DS: The role of sentinel lymph node biopsy in breast cancer, J Am Coll Surg 1999; 189: 183-194.
- Bass SS, Cox CE, Salud CJ et al: The effects of postinjection massage on the sensitivity of lymphatic mapping in breast cancer. J Am Coll Surg 2001; 192; p. 16
- 9-16.

  18. Bauer TW, Spitz FR, Callans LS et al: Subareolar and peritumoral injection identify similar sentinel nodes for breast cancer. Ann Surg Oncol 2002; 9: 169-176.
- Baxter N, McCready D, Chapman JA, et al: Clinical behavior of untreated axillary nodes after local treatment for primary breast cancer. Ann Surg Oncol 1996, 3: 235-240.
- Bedrosian I, Reynolds C, Mick R et al: Accuracy of sentinel lymph node biopsy in patients with large primary breast tumors. Cancer 2000, 88: 2440-2545.
- Bernardello ETL: Avances en diagnóstico y tratamiento del cáncer de la mama. Rev Argent Cirug. Número Extraordinario, 1985.
- Black RB, Taylor TV, Merrick MV et al: Prediction of axillary metastases in breast cancer by lymphscintigraphy. Lancet 1980, 2: 15-17.
- Bland KI, Scott-Connor CEH, Menck H, Winchester DP: Axillary dissaction in beast-censerving surgery for stage I and II breast cancer: A National Cancer Data Base study of patterns of omission and implication for survival. J Am Coll Surg 1999; 188: 586-596.
- Bland KI: Microstaging of sentinel lymph nodes (editorial). Ann Surg Oncol 1999; 6: 15-16.
- Bland KI: Utilization of sentinel lymph node mapping to determine pathologic outcomes for patients reciving neoadjuvant chemotherapy for locally advanced breast cancer. Ann Surg Oncol 2002; 9: 217-219.
- Borgstein PJ, Meijer S, Pijpers R: Intradermal blue dye to identify sentinel lymph node in breast cancer. Lancet 1997, 349: 1668-1669.
- Borgstein PJ, Meiljer S, Piljpers RJ, van Diest PJ: Functional Imphratic anatomy for sertifinel node blospy in breast cancer: echoes from the past and the penjareolar blue method. Ann Surg 2000; 222: 81-89.
   Borgstein PJ, Piljpers R, Comans EF et al: Sentinel
- Lymph node biopsy in breast cancer: guidelines and pitfalls of lymphoscintigraphy and gamma probe detection. J Am Coll Surg 1998, 186: 275-283.

  29. Brenin DR, Manasseh D-M, El-Tamer M et al: Factors
- correlating with lymph node metastases in patients with T1 breast cancer. Ann Surg Oncol 2001; 8: 432-437. 30. Breslin TM, Cohen L, Sahin A et al: Sentinel lymph node biopsy is accurate after negodiuvant chemotherapy for
- breast cancer. J Clin Oncol 2000, 18: 3480-3486.
   Bundred N, Maguire P, Reynolds J et al: Randomized controlled trial of effects of early discharge after surgery for breast cancer. BMJ 1999, 317: 1275-1279.
- 32. Burak WE Jr, Walker MJ, Yee LD et al: Routine

- preoperative lymphscintigraphy is not necessary prior to sentinel node blopsy for breast cancer. Am J Surg 1999, 177: 445-449.
- Byrd DR, Dunnwald LK, Mankoff DA et al: Internal mammary lymph node drainage patterns in patients with breast cancer documented by breast lymphoscintigraph; Ann Surg Oncol 2001; 8: 234-240.
- Cabañas RM: An approach for the treatment of penile cancer. Cancer 1977, 39: 456-466.
- Cabanes PA, Salmon RJ, Vilcoq JR et al: Value of axillary dissection in addition to lumpectomy and radiotherapy in early breast cancer. Lancet 1992; 229 1245-1248.
- Cady B: New era in breast cancer. Impact of screening on disease presentation. Surg Oncol Clin North Am 1997. 6: 195-202.
- Canavese G, Gipponi M, Catturich A et al: Sentine lymph node mapping opens a new perspective in the surgical management of early-stage breast cancer: a combined approach with vital blue dye lymphatic mapping and radioguided surgery. Semin Surg Oncol 1988; 15: 272-277.
- Canavese G, Gipponi M, Catturich A, et al: Pattern of lymphatic drainage to the sentinel lymph node in breast cancer patients. J Surg Oncol 2000; 74: 69-74.
   Carter BA, Jensen RA, Simpson JF, Pace DL: Benium
- transport of breast epithelium into axillary lymph nodes after biopsy. Am J Clin Pathol 2000; 113: 259-255. 40. Carter CL, Allen C, Henson DE; Relation of tumor size.
  - lymph node status and survival in 24,740 breast cancer cases. Cancer 1989; 63: 181-187.
- Caselegno PS, Sandrucci S, Bello M et al: Sentinel lymph node and breast cancer staging: final results of the Turin Multicenter Study, Turnori 2000; 86: 300-303.
   Cassanello G, Kynos F, Caprarulo L y col: Identificación del cangilo centinela mediante el uso de fosculfar-
- blue (abstract). Libro de Resúmenes de las XI Jornadas Argentinas de Mastología, 2001. 43. Catallotti L, Distante V, Rontini M et al: Role of aixillary dissection in breast carolnoma. Chir Ital 1995, 47: 23-
- 31.
  44. Cerota A, Lozza L, Kenda R et al: Current controversies in the therapeutic approach to early breast cancel.
- in the elderly. Rays, 1997, 11 (suppl 1): 66-68.

  45. Chen Y-Y, Schmitt SJ: Prognostic factors for patients with breast cancers 1 cm and smaller. Breast Cancer Res Treat 1998, 51: 17-33.
- Chen ZL, Wen DR, Coulson WF et al: Occormetastases in the sixtlery lymph nodes of patients breast cancer node negative by clinical and histologic examination and conventional histology. Dis Markers 1991; 9: 239-248.
- Chiti A, Agresti R, Maffioli LS et al: Breast cancer staging using technetium-99m sestamibi and indium fff pentetreotide single-photon emision tomography. Eur J Nucl Med 1997, 24: 192-196.
- Chu KY, Turner FR, Hansen NM et al: Do all patients with sentinal node metastasis from breast carcinoms need complete axillary node dissection? Ann Surg 1999, 229: 536-541.
- Chung MH, Ye W, Giuliano AE: Role for sentinel lymph node dissection in the management of large (> 5 cm invasive breast cancer. Ann Surg Oncol 2001; 8: 588-592.
- Clare SE, Sener SE, Wilkens W et al: Prognostic significance of occult lymph node metastases in nodenegative breast cancer. Ann Surg Oncol 1997, 4: 447-451.
- 51. Clarke D. Mansel RE: How we do it: the Cardiff Univer-

- sity approach. En Sentinel lymph node biopsy. Cody HS Ed, Martin Dunitz Ltd, London, pag. 237, 2002.
- Cody HS, Fey J, Akhurst T et al: Complementary of blue dye and isotope in sentinel node localization for breast cancer: univariate and multivariate analysis of 966 prodecures. Ann Surg Oncol 2001; 8: 13-19.
- Cody HS, Hill A, Tran KN, et al: Credentialing for breast lymphatic mapping: how many cases are enough? Ann Surg 1999: 229: 723-728.
- Cody HS, Urban JA: Internal mammary node status: a major prognosticator in axillary node-negative breast cancer. Ann Surg Oncol 1995; 2: 32-37.
- Cody HS: Clinical aspects of sentinel node blopsy. Breast Cancer Res 2001; 3: 104-108.
- Cote RJ, Peterson HF, Chaiwun B et al: Role of immunohistochemical detection of lymph-node metastases in management of breast cancer. Lancet 1999, 354: 836-900.
- Cox CE, Bass SS, Boulware D, Ku NK, Berman C, Reintgen DS: Implementation of new surgical technology: outcome measures for lymphatic mapping of breast carcinoma. Ann Surg Oncol 1999; 6: 553-561.
- Cox CE, Bass SS, McCann et al: Lymphatic mapping and sentinel lymph node biopsy in patients with breast cancer. Annu Rev Med 2000, 51: 525-542.
- Cox CE, Bass SS, Reintgen DS: Techniques for lymphatic mapping in breast carcinoma. Surg Oncol Clin. North Am 1999; 8: 447-468.
- 80. Cox CE, Pendas S, Cox JM et al: Guidelines for sentinal node biopsy and lymphatic mapping of patients with breast cancer. Ann Surg 1998; 227: 645-653.
- Cox CE, Salud CJ, Cantor A et al: Learning curves for breast cancer sentinel lymph node mapping based on surgical volume analysis. J Am Coll Surg 2001; 193: 583-80.
- Crile G: Results of simplified treatment of breast cancer. Surg Gynecol Obstet 1964; 118: 517-523.
   Czerniecki BJ, Scheff Am, Callans LS et al:
- Immunohistochemistry with pancytokeratins improves the sensitivity of sentinel lymph node biopsy in patients with reast carcinoma, Cancer 1999; 85: 1098-1103.
- Davies GC, Millis RR, Path MRC et al: Assessment of axillary node status. Ann Surg 1980; 192: 148-151.
- De Cicco C, Cremonesi M, Luini A et al: Lymphoscitigraphy and radioguided biopsy of the sentinel axillary node in breast cancer. J. Nucl Med 1998; 39: 2080-2084.
- De Cicco C, Crenonesi M, Luini A et al: Lymphoscintigraphy and radioguided biopsy of the sentinel axillary node in breast cancer. J Nucl Med 1998; 39: 2080-2084.
   De Laurentie M, Gella C, De Placido S, et al: A predictive.
- 7. De Laurentis M, Gallo C, De Placidio S et al: A predictive index of axillary node involvement in operable breast cancer. Br J Cancer 1996, 73: 1241-1247.
  88. De Mascarel I, Bonichon F, Coindre JM, Trojani M:
- Prognostic significance of breast cancer axillary ymph node micrometastases assessed by two special techniques: reevaluation with longer follow-up. Br J Cancer 1992, 66: 523-527.
- Dees EC, Shulman LN, Souba WW, Smith BL: Does information from axillary dissection change treatment in clinically node-negative patients with breast cancer? Ann Surg 1997; 226: 279-287.
- Del Castillo R, Garello N, Clavijo J y coi: Ganglio cenlineia en carcinoma mamario: nuestra experiencia (abstract). Libro de Resúmense de las XI Jornadas Argentinas de Mastologia, 2001.
- Delouche G, Bachelot F, Premont M et al: Conservation treatment of early breast cancer: long-term results and complications. Int J Radiat Oncol Biol Phys 1987, 13:

- 29-34.
- Derossis AM, Fey J, Yeung H et al: A trend analysis of the relative value of blue tipe and isotope localization in 2,000 consecutive cases of sentinel node blopsy for breast cancer. J Am Coll Surg 2001; 193: 473-478.
- Dershaw DD, Panicek DM, Osborne MP: Significance of lymph nodes visualized by the mammographic axiliary view. Breast Dis 1991, 4: 271-280.
   DIFronzo LA, Hansen NM, Stern SL, Brennan MB.
- Giuliano AE: Does sentinel lymphadenectomy imporve staging and alter therapy in elderly women with breast cancer? Am Surg Oncol 2000; 7: 406-410. 75. Doting MHE, Jansen L, Nieweg OE et al.: Lymphatic
- Doting MHE, Jansen L, Nieweg OE et al: Lymphatic mapping with intralesional tracer administration in breast carcinoma patients. Cancer 2000; 88: 2548-2552.
- Dowlatshahi K, Fan M, Anderson JM, Bloom KJ: Occult metastases in sentinel nodes of 200 patients with operable breast cancer. Ann Surg Oncol 2001; 8: 675-682.
- Dunnwald LK, Mankoff DA, Byrd DR et al: Technical aspects of sentinel node lymphoscintigraphy for breast cancer. J Nucl Med Technol 1999; 27: 102-111.
- Dupont E, Cox CE, Nguyen K et al: Utility of internal mammary lymph node removal when noted by introoperative gamma probe detection. Ann Surg Oncol 2001; 8: 833-836.
- Dupont EL, Kamath VJ, Ramnath EM et al: The role of lymphoscintigraphy in the management of the patient with breast cancer. Ann Surg Oncol 2001, 8: 354-360.
- Dupont EL, McCann C, Shons AR et al: The role of sentinel lymph node biopsy in women undergoing prophylactic mastectomy. Eur J Nucl Med 1999; 26 (suppl): S72.
- Early Breast Cancer Trialists Collaborative Group. Effects of radiotherapy and surgery in early breast cancer. N Engl J Med 1995, 333: 1444-1455.
- Eubus D, Leitch AM, Huth J et al: Hot, blue or hot and blue: maximizing the accuracy of mammary sentinel lymph node (SLN) bloops (abstract). 52<sup>st</sup> Annual Meeting of the Society of Surgical Oncology: March 4 - 7, 1998; Orlando; Florida, Estados Unidos.
- Euhus DM, Peters GN, Leitch AM et al: Validating the performance of the mammary sentinel node team (Abstract 107). 22<sup>nd</sup> Annual San Antonio Breast Cancer Symposium, 1999.
- Farshid G, Pradhan M, Kollias J, Gill PG: Computer simulations of lymph node metastasis for optimizing the pathologic examination of sentinel lymph nodes in patients with breast carcinoma. Cancer 2000, 89: 2527-2537.
- Fein DA, Fowbie BL, Hanlon AL et al: Identification of women with T1-T2 breast cancer at low risk of positive axillary nodes. J Surg Oncol 1997, 65: 34-39.
- Fernandez K, Swanson M, Verbansc K, Tafra L: Is sentinel lymphadenectomy accurate in multifocan and multicentric breast cancer (abstract). Ann Surg Oncol 2002; 9: S 16.
- Farreyra HD, Goldsman MG, Allende Pinto H y col: Estudio del ganglio centinela en pacientes con c\u00e4ncer inicial de mama. Posibilidades de lintadenectomia en menos (abstract). Libro de Resumenes de las XI Jornadas Argentinas de Mastologia, 2019.
- Fisher B, Dignam J, Wolmark N, et al: Tamoxifen and chemotherapy for lymph node-negative, estrogen receptor-positive breast cancer. J Natl Cancer Inst 1997; 89: 1673-1682.
- Fisher B, Redmond C, Fisher ER et al: Ten-year results of randomized clinical trial comparing radical mastectomy and total mastectomy with and without radiation. N Engl J Med 1985, 312: 674-681.

- Fisher B, Wolmark N, Banes M: The accuracy of clinical nodal staging and of limited axillary dissection as a determinant of histologic nodal status in carcinoma of the breast. Gynecol Obstet 1981; 152: 785-772.
- Fisher EH, Palekar A, Rockette H et al: Pathologic findings from the National Surgical Adjuvant Breast Project (Protocol No. 4). V. Significance of axiliary nodel micro- and macrometaslases. Cancer 1978; 42: 2032-2038.
- 92. Fitzgibbons PL, Page DL, Weaver D et al: Prognostic factors in breast cancer. College of American Pathologists Consensus Statement 1999. Arch Pathol Lab Med 2000: 124: 968-978.
- Flett MM, Going JJ, Stanton PD, Cooke TG: Sentinel node localization in patients with breast cancer. Br J Surg 1998, 85: 991-993.
- Forrest A, Stewart H, Roberts R et al: Simple mastectomy and axillary node sampling in the management of primary breast cancer. Ann Surg 1982, 196: 371-378.
- Forstner-Barthell AW, Pockaj BA, Gray RJ, Halyard MY, Schild SE: implications of previous implant augmentation on breast conservation therapy and santinel lymph node biopsy (abstract). Ann Surg Oncol 2002; 9: SS8.
- Galimberd V, Zurrida S, Zucali P, Luini A: Can sentinel node biopsy avoid axillary dissection in clinically nodenegative breast cancer patients? Breast 1998; 7: 8-10.
   Gann PH. Collilla SA. Ganstur SM et al. Factors
- Gann PH, Colilla SA, Gapstur SM et al: Factors associated with axillary lymph node melastasis from breast carcinoma: deacriptive and predictive analyses. Cancer 1999, 86: 1511-1519.
- Gately CA, Mansel RE, Owen A et al: Treatment of the axilla in operable breast cancer. Br J Surg 1991, 78: 750 (abstract).
- Gemignani ML, Cody HS, Fey JV et al: Impact of sentinel lymph node mapping on relative charges in patients with early-stage breast cancer. Ann Surg Oncol 2000; 7: 575-580.
- Giuliano A: Mapping a pathway for axillary staging: a personal perspective on the current status of sentinel lymph node dissection for breast cancer. Arch Surg 1999, 134: 195-199.
- Giuliano AE, Dale PS, Turner RR et al: Improved axillary staging of breast cancer with sentinel lymphadenectomy. Ann. Surg. 1995, 222: 394-401.
- 102. Giuliano AE, Haigh PJ, Brennan MB et al: Prospective Observational study of sentinel lymphadenectomy without further axiliary dissection in patients with sentinel node negative breast cancer. J Clin Oncol 2000, 18: 2553-2559.
- Giuliano AE, Jones RC, Brennan M, Statman R: Sentinel Lymphadenectomy in breast cancer. J Clin Oncol 1997, 15: 2345-2350.
- 104. Giuliano AE, Kirgan DM, Guenther JM, Morton DL: Lymphatic mapping and sentinel lymphadenectomy for byeast cancer. Ann Surg 1994, 220: 391-401.
  105. Graveson HP, Blichert-Toff M. Andersen JA et al: Breast
- Onlivesori II., Butters Via M., Andersen JA et al. Breast cancer: risk of axillary recurrence in node-negative patients following partial dissection of the axilla. Eur J Surg Oncol 1998, 14: 407-412.
   Guenther JM, Krishnamoorthy M, Tan LR: Sentinal
- lymphadenectomy for breast cancer in a community managed care setting. Cancer J Sci Am 1997; 3: 336-340.
- Gulec SA, Moffat FL, Carroll RG et al: Sentinel lymph node localization in early breast cancer. J Nucl Med 1998; 39: 1388-1393.
- 108. Haigh PI, Hansen NM, Qi K, Giuliano AE: Biopsy method and excision volume do not affect success rate

- of subsequent sentinel lymph node dissection in breast cancer. Ann Surg Oncol 2000, 7: 21-27.
- 109. Hainsworth PJ, Tjandra JJ, Stillwell RG et al: Detection and significance of occult metastases in node negative breast cancer. Br J Surg. 1993, 80: 459-463.
- Hansen NM, Grube BJ, Te W, Brennen ML Turner R, Giuliano AE: Clinicat significance of axillary micromelastitases in breast cancer: How small is too small? Abstract 91). Proceedings of ASCO, 2001; 20: 24a.
   Henry-Tillman RS, Korourian S, Rubio I et al.
- Intraoperative touch preparation for sentinel lymph node biopsy: A 4-year experience. Ann Surg Oncol 2002; 9: 333-339.
- Hermanek P, Hutter RV, Sobin LH, Wittenkind C: Classification of isolated tumor cells and micrometastasis. Cancer 1999, 86: 2668-2673.
- Hill AD, Tran KM, Adhurst T et al: Lessons learned from 500 cases of lymphitic mapping for breast cancer. Ann Surg 1999, 229: 528-535.
   Hsueh EC, Turner RR, Glass EC, Brenner RJ, Brennan
- 14. Hsuen EC, Turner RH, Glass EC, Brenner RJ, Brennan-MB, Giuliano AE: Sentinel node blopsy in breast cancer. J Am Coll Surg 1999; 189: 207-213.
- 115. Hwang R, Krishnamurthy S, Hunt K et al: Clinicopathologic factors predicting involvement of nonsentinel axillary nodes in women with breast cancer (abstract). Ann Surg Oncol 2002; 9: S 24.
- Ivens D, Hoe AL, Podd TJ et al: Assessment of morbidity from complete axillary dissection. Br J Cancer 1992; 66: 135-138.
- 117. Jaderborg, JM, Harrison PB, Kiser JL, Maynard SL: The feasibility and accuracy of the sentinel lymph node blopsy for breast carchoma. Am Surg 1999; 65: 699-708.
- Johnson N, Soot L, Nelson J et al: Sentinel node biopsy and internal mammary lymphatic mapping in breast cancer. Am J Surg 2000; 179: 386-388.
- 119. Kamath VJ, Giuliano R, Duway EL et al: Characteristics of the sentinel lymph node in breast cancer predict further involvement of higher-echalon nodes in the axilla. Arch. Surg. 2001; 138: 688-692.
- Kane JM, Edge SB, Winston JS et al: Intraoperative pathologic evaluation of a breast cancer sentinel lymph node biopsy as a determinant for synchronous axillary lymph node dissection. Ann Surg Oncol 2001, 8: 361-367.
- Kaptelin BAE, Nieweg OE. Peterse JL, et al: Identification and biopsy of the sentinel node in breast cancer. Eur J Surg Oncol 1998; 24: 427-430.
- 122. Kem KA, Rosenberg R: Preooperative lymphoscintigraphy during lymphatic mapping for breast cancer: Improved sentinel node imaging using subareolar injection of technolium 99m sulfur coloid. J Am Coll Surg 2000; 191: 479-489.
- 123 Kem KA: Lymphschtligraphic anatomy of sentinel lymphatic channels after subarcolar injection of technetium 99m colloid. J Am Coll Surg 2001; 193: 601-608.
- 124. Kern KA; Sentinel lymph node mapping in breast cancer using subareolar injection of blue dye, J Am Coll Surg 1999, 189: 539-545.
- 1999, 189: 539-545.
  125. Kissin MW, Querci della Rovere G, Easton D et al. Risk of lymphoedems following the treatment of breast cancer. Br J Surg 1986, 73: 580-584.
- 126. Klauber-DeMore N, Bevilaoqua JLB, Van Zee KJ, et al: Comprehensive review of the management of internal mammary lymph node metastases in breast cancer. J Am Coll Surg 2001; 193: 547-555.
- Klauber-DeMore N, Tan LK, Liberman L et al: Sentinel lymph node biopsy: is it indicated in patients with high-

- risk ductal carcinoma in situ and ductal carcinoma in situ with microinvasion? Ann Surg Oncol 2000; 7: 636-
- 128. Klimberg VS, Rubio IT, Henry R et al: Subareolar versus peritumoral injection for localization of the sentinel lymph node. Ann Surg 1999, 229: 860-865.
- 129. Koller M. Barsuk D. Zippel D et al: Sentinel lymph node involvemnt - a predictor for axillary node status with breast cancer - has the time come? Eur J Surg Oncol 1998; 24: 166-168.
- 130. Kollias J, Gill PG, Chatterton BE et al: Reliability of sentinel node status in predicting axillary lymph node involvement in breast cancer, Med J Aust 1999, 171:
- 131. Krag D, Weaver D, Ashikaga T et al: The sentinel node in breast cancer: a multicenter validation study. N Engl J Med 1998, 339: 941-946.
- 132. Krag DN, Weaver DL, Alex JC, Fairbank JT: Surgical resection and radiolocalization of the sentinel node in breast cancer using gamma probe. Surg Oncol 1993. 2: 235-242.
- 133. Ku NNK: Pathologic examination of sentinel lymph nodes in breast cancer. Surg Oncol Clin North Am 1999: 8: 469-479
- 134. Kuerer HM, Sahin AA, Hunt KK et al: Incidence and impact of documented positive to negative complete conversion of axillary lymph node metastases in breast cancer patients treated with neoadjuvant chemotherapy, Ann Surg 1999, 230: 72-78.
- 135. Kyle J: Management of early cancer of the breast: report of an international multicentre trial supported by the Cancer Research Campaign. Br Med J 1976, 1: 1035-
- 136. Lacour J. Le M. Caceres E et al: Radical mastectomy versus radical mastectomy plus internal mammary dissection. Ten year results of an international cooperative trial in breast cancer. Cancer 1983; 51: 1941-1943.
- 137, Lagios MD, Silverstein MJ: Sentinel node biopsy for patients with DCIS: a dangerous and unwarranted direction. Ann Surg Oncol 8: 275-277, 2001.
- 138. Leonard C, Chen B, Tenny C et al: Clinical implications of axillary dissections for tubular carcinoma of the breast in a community setting. Proc Am Soc Clin Oncol 1996, 15: A233 (abstract).
- 139 Leung S. Otmezquine Y. Calitchi E et al: Locoregional recurrences following radical external beam irradiation and interstitial implantation for operable breast cancer: a twenty-three year experience. Radiother Oncol 1986, 5; 1-10.
- 140. Lieberman L: Pathologic analysis of sentinel lymph nodes in breast carcinoma, Cancer 1999; 88: 971-977,
- 141. Lineham DC, Hill ADK, Akhurst T et al: Intradermal radiocolloid and intraparenchymal blue dye injection optimize sentinel node identification in breast cancer patients. Ann Surg Oncol 1999; 6: 450-454.
- 142. Lorusso C. Orti R. Corrao F. Guixá H. Testa R: Ganallo centinela en el cáncer de mama: su detección y correlación anatomopatológica. Rev Arg Mastol 2000: 19: 297-302.
- 143. Loza J, Coló F, Sporn V y col: La biopsia del ganglio centinela en cáncer de mama. Resultado de un estudio de 106 pacientes. Rev Arg Mastol 2000; 19: 181-197
- 144 Ludwin Breast Cancer Study Group: Prognastic importance of occult axillary lymph node micrometastases from breast cancers. Lancet 1990; 335; 1565-
- 145. Lythque JP. Palmer MK. Manchester regional breast.

- study 5 and 10 years result. Br J Surg 1982, 69: 693-ROR 146 Maribenco DC, Weiss LK, Pawlish KS, Severson RK:
- Axillary lymph node metastases associated with small Invasive breast carcinomas, Cancer 1999; 85: 1530-
- 147, Martin RCG, Fey J, Yeung H, Borgen PI, Cody HS: Highest isotope count does not predict sentinel node positivity in all breast cancer patients. Ann Surg Oncol 2001. 8: 592-597.
- 148 Mc Lean LH, Bernabó OL, Santillán F et al: Linfadenectomia axilar, Rev Argent Cirug 1998; 75:
- 149. McCarter MD, Jun H, Fey J et al: The breast cancer patient with multiple sentinel nodes: when to stop?. J Am Coll Surg 2001, 192: 692-697. 150. McCarter MD, Yeung H, Yeh S et al: Localization of the
- sentinel node in breast cancer: identical results with same-day and day-before isotope injection. Ann Surg Oncol 2001, 8: 682-686. 151. McIntosh SA, Going JJ, Soukop M et al: Therapeutic
- implications of the sentinel lymph node in breast cancer. Lancet 1999; 354; 579.
- 152. McLean I, Bernabó O, Vuoto D y col. Biopsia de ganglio linfático centinela con colorantes vitales en pacientes con cáncer de mama. Rev Argent Cirug 2002; 82; 55-
- 153, McMasters KM, Tuttle TM, Carlson DJ et al: Sentinel lymph node biopsy for breast cancer: a suitable alternative to routine axillary dissection in multiinstitutional practice when optimal technique is used. J Clin Oncol 2000;18: 2560-2566.
- 154. McMasters KM, Wong SL, Chao C et al: Defining the optimal surgeon experience for breast cancer sentinel lymph node biopsy: a model for implementation of new techniques. Ann Surg 2001; 234: 292-300.
- 155. McMasters KM, Wong SL, Martin RC et al: Dermal injection of radiactive colloid is superior to peritumoral injection for breast cancer sentinel lymph node biopsy. Results of a multiinstitutional study. Ann Surg 2001; 233: 676-687
- 156. Meier P. Ferguson DJ, Karrison T. A controlled trial of extended radical versus radical mastectomy. Ten-year results. Cancer 1989; 63: 188-195.
- 157. Mertz L. Mathelin C. Marin C et al: Subareolar injection of 99m Tc sulfur colloid for sentinel node identification in multifocal invesive breast cancer. Bull Cancer 1999; 88: 939-945
- 158. Metzger U. Mosseri V. Clough KB et al: Axillary node involvement in breast carcinomas less than 3 cm in diameter, Breast Cancer Res Treat 1996, 37 (suppl): 42
- 159. Meyer JE. Munzenrider JE: Computed tomogra-phic demonstration of lymph node metastases in patients with recurrent breast cancer. Radiology 139: 661-663, 1991
- 160. Miller AR, Thomason VE, Yeh I-T et al: Analysis of sentinel lymph node mapping with immediate pathologic review in patients receiving preope-rative chemotherapy for breast carcinoma. Ann Surg Oncol 2000; 9: 243-247.
- 161. Miltenberg DM, Miller C, Karamiou TB, Brunicardi FC. Mata-analysis of sentinel lymph node biopsy in breast cancer. J Surg Res 1999, 84: 138-142.
- 162. Minor TJ. Shriver CD. Jaques DP et al: Ultrasonographically guided injection improves loca-lization of the radiolabeled sentinel lymph node in breast cancer. Ann Surg Oncol 1998; 5: 315-321, 163. Mitsuyama S, AnanK, Toyoshima S et al: Histo-

- pathological predictors of axillary lymph node metastases in patients with breast cancer. Breast cancer 1999, 6: 237-2441.
- 164. Moffat FL, Gulec SA, Sittler SY et al: Unfiltered sulfur colloid and sentinel node biopsy for breast cancer: technical and kinetic considerations. Ann Surg Oncol 1999; 6: 746-755.
- 165 Morrow M, Rademaker AW, Berthke KP et al: Learning sentinel node biopsy: results of a prospective randomized trial of two techniques. Surgery 1999, 126: 714-720.
- 166. Marrow M: Is axillary dissection necessary after positive sentinel nade biopsy? Yes! Ann Surg Oncol 2001; 8S: 74-76.
- Morton DL, Wen D-R, Wong JH et al: Technical details of intraoperative lymphatic mapping for early stage melanoma. Arch Surg 1992, 127: 392-399.
- 168. Mussurakis S, Buckley DL, Horsman A: Prediction of axillary lymph node status in invasive breast cancer with dynamic contrast-enhanced MR imaging. Radiology 1997, 203: 317-321.
- 169. Mustafa IA, Cole B, Wanebo HG et al: The impact of histopathology on node metastases in minimal breast cancer. Arch Surg 1997, 132: 384-391.
- Nathanson SD, Wachna L, Gilman D et al: Pathways of lymphatic drainage from the breast. Ann Surg Oncol 2001; 6: 837-843.
- 171. Ng PC, Chua AC, Lannin DP et al: Age and surgeon expeñence: the only significant factors contributing to sentinel node mapping failure in breast cancer, (Abstract 12): 22<sup>nd</sup> Annual San Antonio Breast Cancer Symposium, 1999.
- Nieweg OE, Tanis PJ, Kroon BBR: The definition of a sentinel node. Ann Surg Oncol 2001, 8: 538-541.
- Nieweg OE: Lymphatics of the breast and the rationale for different injection techniques. Ann Surg Oncol 2001; 8: 715-735.
- Nobila C; Cresta Morgado C, González E y col: Ganglio centinela en mama. A propósito de 124 casos. Rev Arg Mastol 2001; 20: 190-201.
- 175. Noguchi M, Motomura K, Imoto S et al: Axillary dissection can be avoided by sentine! lymph node biopsy in small breast cancer: a multicentric study by the Japanese Breast Cancer Society [Abstract 118]. 22<sup>rd</sup> Annual San Antonio Breast Cancer Symposium, 1999.
- 176. Nos C, Fréneaux P, Guilbert S, Falcou MC, Salmon RJ, Clough KB: Sentinel lymph node detection for breast cancer: which patients are best suited for the patent blue dye only method of identification? Ann Surg Oncol 2001; 8: 438-443.
- Nwariaku FE, Euhus DM, Beltsch PD et al: Sentinel lymph node biopsy, an alternative to elective axillary dissection for breast cancer. Am J Surg 1998; 176: 529-531.
- O'Hea BJ, Hill ADK, El-Shirbiny AM et al. Sentinel lymph node blopsy in breast cancer: initial experience at Memorial Sican-Kettering Cancer Center. J Am Coll Surg 1998; 186: 423-427.
   Official et Al, Hoh C, Barsky SH et al: Minimally invasive
- breast carcinoma staging using lymphatic mapping with radiotabeled dextran. Cancer 1998; 82: 1704-1708. 180. Ogawa Y, Nishioka A, Inomata T et all: Conservation
  - treatment intensified with tamoxifen and CAF chemotherapy without axillary dissection for early breast cancer patients with olinically negative axillary nodes. Oncol Rep 1999, 8: 801-805.
- Olivotto IA, Jackson JS, Mates D et al: Prediction of axillary lymph node involvement of women with invasive

- breasi carcinoma: a multivariate analysis. Cancer 1996, 83: 948-955.
- Olilla DW, Brennan MB, Giuliano AE: Theraputolic effect of sentinel lymphadenectomy in T1 breast cancer. Arch Surg 1998, 133: 647-651.
- Olson JA, Fey J, Winawer J et al: Sentinel lymphadenectomy accurately predicts nodal status in T2 breast cancer. J Am Coll Surg 2000, 191: 593-599.
- 184. Osborne MP, Ormiston N, Harmer CL et al: Breast conservation in the treatment of early breast cancer: a 20 year follow-up. Cancer 1984, 53: 349-355.
- 185. Page DL, Anderson TJ, Carter BA: Minimal solid tumor involvement of regional and distant sites. When is a metastasis not a metastasis? (editorial) Cancer 1999; 86: 2569-2592.
- 186. Paramo JC, Wilson C, Velarde D, Giraldo J, Poppiti RJ, Mesko TW: Pure mucinous carcinoma of the breast: is axillary staging necessary? Ann Surg Oncol 2002; 9: 161-164.
- 187. Paszat LF, Mackillop WJ, Groome PA, Boyd C, Schulze K, Holowsty E. Mortally from impocardial infarction after adjuvant radiotherapy for breast cancer in the surveillance, epidemiology, and end-rasults cancer registries. J Clin Onocl 1998; 18: 2625-2631.
- Pendas S, Dauway E, Giuliano R et al: Sentinel node biopsy in ductal carcinoma in situ. Ann Surg Oncol 2000. 2:15-20
- Pierquin B, Mazeron J-J, Glaubiger D: Conservative treatment of breast cancer in Europe: report of the Groupe Européen de Curiethérapie. Radiother Oncol 1986, 6: 187-198.
- Pijpers R, Meijer S, Hoekstra OS et al: Impact of lymphoscintigraphy on sentinel node identification with technetium-93m-colloidal albumin in breast cancer. J Nucl Med 1997; 38: 366-368.
- Port ER, Borgen PI, Fey J et al: Reoperative sentinel lymph node biopsy is feasible following previous axillary surgery (abstract). Ann Surg Oncol 2002; 9: S49,
   Port ER, Tan LK, Borgen PI, Van Zee KJ: Incidence of
- axillary lymph node metastases in T1a and T1b breast carcinoma. Ann Surg Oncol 1998, 5: 23-27.

  193. Ratanawichitrasin A, Biscotti CV, Levy, Crowe JP.
- Touch imprint cytological analysis of sentinel lymph nodes for detecting axillary metastases in patients with breast cancer. Br J Surg 1999, 85: 1346-1348. 194. Raydin PM. De Laurentis M. Vendely T et al. Prediction
- 1344. Nevoli Pri, De Catheritis In, Vericey 1 et al. Production of axillary lymph node status in breast cancer patients by use of prognostic indicators. J Natl Cancer Inst 1994, 86: 1771-1775.
- Recht A, Pierce SM, Abner A et al: Regional node tailure after conservative surgery and radiotherapy for earlystage breast carcinoma. J Clin Oncol 1991, 9: 988-996.
- Reynolds C, Mick R, Donohue JH et al: Sentinel Lymptinode biopsy with metastasis: can axiliary dissection be avoided in some patients with breast cancer? J Clin Oncol 1999, 17: 1720-1728.
   Ribeiro GG, Magee B, Swindell R et al: The Christie
- Hospital breast conservation trial: an update at 8 years form inception. Clin Oncol 1993, 5 (5): 278-283.

  198. Rietman JS, Dijkstra PU, Geertzen JH et al: Short-term
- 19e. Hielman JS, Djikstra PU, Geeftzen JH et al: Short-lern morbidity of the upper limb after sentien lymph node biopsy (SLNB) or axillary lymph node dissection (ALND) for stage I or II breast cancer (abstract). Ann Surg Oncol 2002; 9: S 54.
- Rivadeneira DE, Simmons RM, Christos PJ, et al. Predictive factors associated with axillary lymph node metastases in T1a and T1b breast carcinomas: analysis in more than 900 patients. J Am Coll Surg 2000, 191: 1-8.

- Rosen PP, Groshen S, Kinne DW, Norton L. Factors influencing prognosis in node-negative breast carcinoma: analysis of 767 T1NDMO/T2NDMO patients with long-term follow-up. J Clin Oncol 1993, 11: 2090-2100.
- Rosen PR, Groshen S, Saigo PE, et al: A long-term follow-up study of survival in stage I (71NOMO) and stage II (71NIMO) breast carcinoma. J Clin Oncol 1989; 7: 355-366.
- Ross MI: Sentinel node dissection in early-stage breast cancer: ongoing prospective randomized trials in the USA. Ann Surg Oncol 2001; 8: 77S-81S.
- Rothwell RI, Kelly SA, Soslin CAF: Radiation pneumonitis in patients treated for breast cancer. Radiother Oncol 1985; 4: 9-14.
- Roumen RMH, Valkenburg JGM, Geuskens LM: Lymphscintigraphy and feasibility of sentinel node biopsy in 83 patients with primary breast cancer. Eur J Surg Oncol 1997; 23: 495-502.
- Rubio IT, Korkourian S, Cowan C et al: Use of touch preps for intraoperative diagnosis of sentinel lymph node metastases in breast cancer. Ann Surg Oncol 1998; 5: 889-804.
- Rubio IT, Korourian S, Cowan C, Krag DN et al: Sentinel lymph node biopsy for staging breast cancer. Am J Surg 1998; 176: 532-537.
- Sacchini V, Borgen PI, Galimberti V et al: Surgical approach to internal mammary lymph node blopsy. J Am Coll Surg 2001: 193: 709-713.
- Sacre RA: Clinical evaluation of axillary lymph nodes compared to surgical and pathological findings. Eur J Surg Oncol 1985; 12: 189-173.
- Schijven M, Rutten H, Roumen RMH: Imple-mentation of the sentinel node biopsy: a survey among surgeons in the Netherlands. Eur J Surg Oncol 2000; 26: 431-432.
- Schneebaum S, Stadler J, Cohen M et al: Gamma probe-guided sentinel node biopsy - optimal timing for injection. Eur J Surg Oncol 1998; 24: 515-519.
- Schoenfeld A, Luqmani Y, Smith D et al: Detection of breast cancer micrometastases in axillary lymph nodes by using polymerase chain reaction. Cancer Res 1994; 54: 2986-2990.
- Schreiber RH, Pendas S, Ku NN et al: Microstaging of breast cancer patients using cytokeratin staining of the santinal lymph node. Ann Surg Oncol 1999; 6: 95-101.
- Schrenk P, Rieger R, Shamiyeh A, Wayand W: Morbidity following sentined lymph node blopsy versus axillary lymph node dissection for patients with breast carcinoma. Cancer 2000; 88: 608-614.
- 214. Schroen AT, Euhus DM, Peters GN, Chacko C, Leitch Alt: Internal mammary sentinel lymph node biopsy: value in accurate prognostic staging (abstract). Ann Sure Oncol 2002: 9: S 56.
- Schwartz GF, Solin LJ, Olivotto IA et al: The consensus conference on the treatment of the in situ ductal carcinoma of the breast. April 22-25, 1999. Semin Breast Dis 2000, 3: 209-219.
- Sedmak DD, Meineke TA, Knechttgges DS, Anderson J.: Prognostic significance of cytokeratin-positive breast cancer metastases. Mod Pathol 1989, 2: 516-520.
- Shen P, Glass EC, Di Fronzo LA, Giuliano AE: Dermal vs intra-parenchymal lymphoscintigraphy of the breast. Ann Surg Oncol 2001; 8: 241-248.
- Shelty MR, Reiman HM Jr: Tumor size and axillary metastasis, a correlative occurrence in 244 cases of breas cancer between 1980 and 1995. Eur J Surg Oncol 1997, 23: 139-141.
- Shivers S, Cox C, Leight G et al: Final results of the Department of Defense multicenter breast lymphatic

- mapping trial. Ann Surg Oncol 2000; 9: 248-255. 220. Silverstein MJ, Gamagami P, Masetti R et al: Results from a multidisciplinary breast center. Analysis of disease discovered. Surg Oncol Clin. North Am 1997.
- disease discovered. Surg Oncol Clin North Am 1997, 6: 301-314. 221. Silverstein MJ, Roser RJ, Gierson ED et al: Axiilary
- lymph node dissection for intraductal breast carcinoma - is it indicated? Cancer 1987, 59: 1819-1824, 222. Simmots RM: Review of sentinel lymph node credentialing: how many cases are enough?. J Am Coll
- Surg 2001; 193: 208-209. 223. Singletary SE: Systemic treatment after sentinel lymph node biopsy in breast cancer: who, what and why? J
- Am Coll Surg 2001; 192: 220-230. 224. Smith L, Cross M, Klimberg V: Subareolar injections a better technique for sentinel lymph node blopsy. Am J
- better technique for sentinel lymph node blopsy. Am J Surg 2001; 180: 434-438. 225, Snider H. Dowlatshahi K. Fan M, Bridger WM, Rayudu
- G. Oleske D: Sentinel node biopsy in the staging of breast cancer. Am J Surg 1998; 178: 305-310.
  226. Solorzano CC, Ross MI, Delpassand E et al: Ultility of breast sentinel lymph node biopsy using day-before-
- surgery injection of high-dose \*\*\*To-labeled sulfur colloid.
  Ann Surg Oncol 2001; 8: 821-827.
  227. Stearrs V, Ewing A, Slack R et al: Sentinel lymphade-nectomy after neoadjuvant chemotherapy for breast cancer may reliable represent the saltile except for
- inflammatory breast cancer. Ann Surg Oncol 2000; 9: 235-242. 228. Sugg SL, Ferguson DJ, Posner MC, Helmann R: Should Internal mammary nodes be sampled in the sentinal
- lymph node era? Ann Surg Oncol 2000; 7: 188-192.
  229. Tadych K, Donegan WL: Postmastectomy seromas and wound drainage. Surg Gynecol Obstet 1967; 165: 483-
- 230. Tafra L, Lannin DR, Swanson MS et al: Multicenter trial of sentinel node biopsy for breast cancer using both technetium sulfur colloid and isosulfan blue dye. Ann Surg 2001: 233: 51-59.
- 231 Tanis PJ, Boom RPA, Koops HS et al: Frozen section investigation of the sentinel node in malignant melanoma and breast cancer. Ann Surg Oncol 2001; 8: 222-226.
- 232. Tanis PJ, Deurloo EE, Valdes Olmos RA et al: Single Intralesional tracer dose for radio-guided escisión of clinically occul breast cancer and sentinel node. Ann Surg Oncol 2001; 8: 850-855.
- 233. Tanis PJ, Nieweg OE, Hart AAM, Kroon BBR: The illusion of the learning phase for lymphatic mapping. Ann Surg Oncol 2002; 9: 142-147.
- 234. Tanis PJ, Nieweg OE, Valdés Olmos RA, Kroon BBR: Anatomy and physiology of lymphatic drainage of the brasst from the perspective of sentinel node biopsy. J Am Coll Surg 2001; 192: 399-409.
- Tate JJT, Lewis V, Archer T et al: Ultrasound detection of axillary lymph node metastases in breast cancer. Eur J Surg Oncol 1989, 15: 139-141.
- 236. Tjandra JJ, Sacks NPM, Thompson CH et al: The detection of axillary lymph node metastases from breast cancer by radiolabelled monoclonal antibodies: a prospective study Br J Cancer 1989, 59: 296-302.
  237. Tmple LK, Baron R, Fey J et al: Sensory morbidity after
- sentinal node biopsy (SLNB): A significant and persistent sequela (abstract). Ann Surg Oncol 2002; 9: S 28. 238. Tobin MB, Lacey HJ, Meyer L et al: The psychological
- morbidity of breast cancer-related morbidity of lymphedema. Cancer 1993, 72: 3248-3252.
- 239. Trojani M, de Mascarel I, Bonichon F et al: Micrometastases to axillary lymph nodes from carcinoma of the breast: detection by immunohis-tochemistry and

- prognostic significance. Br J Cancer 1987; 55: 303-306, 240. Turner RR, Chu KU, Gi K et al: Pathologic features associated with nonsentinel lymph node metastases in patients with metastatic breast cancer in a sentinel lymph node. Cancer 1999: 88: 971-977.
- Turner RR, Hansen NM, Stern St., Giuliano AE: Intraoperative examination of the sentinel lymph node for breast carcinoma staging. Am J Clin Pathol 1999; 112: 627-634.
- Turner RR, Ollila DW, Krasne DL et al: Histopathologic validation of the sentinel lymph node hipotesis for breast carcinoma. Ann Surg 1997, 226: 271-278.
- Turner RR: Histopathologic assessment of the sentinel lymph node in breast cancer. Ann Surg Oncol 2001; 8: 56S-59S.
- 244. Tuttle TM, Colbert M, Chistensen R, et al: Subareolar Injection of <sup>26</sup> To facilitates sentinel lymph node identification. Ann Surg Oncol 2002; 9: 77-81.
- 245. Van der Ent FWC, Kengen RAM, van der Poll HAG et al: Halsted revisited: internal mammary sentinel lymph node blopsy in breast cancer. Ann Surg 2000; 234: 79-84.
- 246. Van der Ent FWC, Kengen RAM, Van der Poll HAG, Hoolwijk AGM.: Sentinel node blopsy in 70 unselected patients with breast cancer. Increased feasibility by using 10 mC: Isolocolloid in combination with blue dye tracer. Eur J Surg Oncol 1999; 25: 24-29.
- Verblanc KM, Fleming TP, Min CH et al: RT-PCR increases detection of breast cancer sentinel lymph node micrometastases. Breast Cancer Res Treat 1999; 57: 41 [Abstract 125].
- Veronesi U, Cascinelli N, Bufalino R et al; Risk of internal mammary lymph node metastases and its relevance on prognosis of breast cancer patients. Ann Sure 1983: 198: 681-684.
- 249. Veronesi U, Marubini E, Mariani L et al: The dissection of internal mammary nodes does not improve the survival of breast cancer patients. Thirty-year results of a randomized trial. Eur J Cancer 1999; 35: 1320-1325.
- Veronesi U, Paganelli G, Galimberti V et al: Sentinelnode biopsy to avoid axillary dissection in breast cancer with clinically negative lymph-nodes. Lancet 1997; 349: 1864-1867.
- Veronesi U, Paganelli G, Viale G et al: Sentinel lymph node biopsy and axillary dissection in breast cancer: results in a large series. J Natl Cancer Inst 1999; 91: 368-373.
- Visser TH, Haan M, Keldan R et al: T1s and T1b breast cancer: a twelve-year experience. Am J Surg 1997; 63: 621-626.
- Watanabe T, Kimijima I, Ohtake T, Tsuchiya A, Shishido F, Takenoshifa S: Sentinel node biopsy with technetium-99m colloidal rhenium sulphide in patients with breast cancer. Br J Surg 2001; 88: 704-707.
- 254. Wazer DE, Erban JK, Robert NH et al: Breast conservation in elderly women for clinically negative axillary lymph nodes without axillary dissection. Cancer 1994; 74: 878-883.
- Weaver DL, Krag DN, Ashikaga T et al: Pathologic analysis of sentinel and nonsentinel lymph nodes in breast carcinoma. Cancer 2000; 88: 1099-1107.
- 256. Weiser MR, Montgomery LL, Susnik B, Tan LK, Borgen PI, Cody HS: Is routine intraoperative frozen-section

- examination of sentinel lymph nodes in breast cancer worthwhile? Ann Surg Oncol 2000; 7: 651-655.
- 257. Weiser MR, Montgomery LL, Tan LK et al. Lymphovascular invasion enhances the prediction of non-earthrel node materiases in breast cancer patients with positive sentinel nodes. Ann Surg Oncol 2001; 8: 145-149.
- 258. White RE, Vezeridia MP, Konstadoulakis M et al. Therapeutic options and results for the management of minimally invasive carcinoms of the breast influence of axillary dissection for treatment of T1a and T1b lesions. J Am Col Surg 1996; 183: 575-582.
- 259. Wilkinson EJ, Hause LL, Hoffman RG et al. Occuir authory hyph node metastases in invasive breast carcinoma: Characteristics of the primary tumor and significance of the metastases. Pathol Annu 1982; 17: 87-91.
- 260. Winchester DJ, Sener SF, Winchester DP et al: Sentinell lymphadenectomy for breast cancer: experience with 160 consecutive patients: efficacy of filtered technetium 98m sulphur colloid with overnight migration time. J Am Coll Surg 1999; 188: 97-603.
- Wong JS, Harris JR: Can specific axillary radiotherapy be omitted in undissected, clinically node-negative patients who undergo breast-conserving therapy? Ann Surg Oncol 2002; 9: 117-119.
- 282. Wong JS, Recht A, Beard CJ et al. Treatment outcome after tangential radiation therapy without axiliary dissection in patients with early-stage breast cancer and clinically negative axiliary nodes. Int J Radiat Oncol Biol Phys 1997, 39; 915-920.
- Wong SL, Edwards MJ, Chao C et al: Predicting the status of the nonsentinel axillary nodes. A multicenter study. Arch Surg 2001; 136: 563-566.
- 254. Wong SL, Edwards MJ, Chao C et al: Sentinel lymph node biopsy for breast cancer: impact of the number of sentinel nodes removed on the false-negative rate. J Am Coll Surg 2001; 192: 648-691.
- 265. Wong SL, Edwards MJ, Chao C et al: The effect of prior breast biopsy melthod and concurrent definitive breast procedure on success and accuracy of sentinel lymph node biopsy. Ann Surg Oncol 2000; 9: 272-277.
- Yeatman TJ, Cox CE: The significance of breast cancer lymph node micrometastases. Surg Oncol Clin North Am 1999; 8: 481-496.
- 267. Zeros EE, Saha S, Hoshaw-Wooddard S, Wheatley GH, Burak WE: Localizing the sentinel node outside of the speciality center: success of a hymphatic mapping course in disseminating new technology. Ann Surg Oncol 2001; 8: 7-12.
- Zurrida S, Galimbert V, Orvieto E et al: Radioguided sentinel node biopsy to avoid axillary dissection in breast cancer. Ann Surg Oncol 2000; 7: 28-31.
- 289. Zurrida S, Mazzarol G, Gellimberti V et al: The problem of the accuracy of intraoperative examination of axillary sentinel nodes in breast cancer. Ann Surg Oncol 2001; 8: 817-820.
- Zurrida S, Orecchia R, Galimbert V et al: Axillary radiotherapy instead of xillary dissection; a randomized trial. Ann Surg Oncol 2002; 9: 156-160.
- Zurrida S: Early results of sentinel node biopsy randomized trial in T1 N0 breast cancer (abstract). Ann Surg Oncol 2002; 9: S29.

# CAPITULO V

# CÁNCER COLORRECTAL

- 1. ¿Cuál es el fundamento del mapeo linfático en cáncer colorrectal?
- 2. ¿En qué pacientes estaría indicado?
- 3. ¿Cómo se realiza el mapeo linfático?
  - 3.1. Técnica "in vivo"
    - Técnica "ex vivo"
  - 3.2. Técnica de estudio anatomopatológica
- 4. Experiencia publicada
- 5. Experiencia de los autores
- 6. ¿Qué ventajas brinda el mapeo linfático en cáncer colorrectal?
- 7. Conclusiones

# ¿Cuál es el fundamento del uso del mapeo linfático en cáncer colorrectal?

El cáncer colorrectal (CCR) es la neoplasia gastrointestinal más frecuente. La presencia de metástasis ganglionares es el factor pronóstico más importante en el desarrollo de la recurrencia locorregional y de enfermedad a distancia® 35.1,25 El uso de tratamiento adyuvante en estos casos ha demostrado una mejoría en la supervivencia de aproximadamente un 30%. Por esta razón una estadificación adecuada es indispensable para el tratamiento correcto de estos enfermos<sup>4, 32, 33</sup> Aproximadamente el 55% de los pacientes con CCR presentan la enfermedad localizada al intestino (Estadio I-II-AJCC) sin evidencia de diseminación regional. Sin embargo, se ha observado que un 20 a 30% de estos pacientes con ganglios linfáticos negativos en los estudios anatomopatológicos convencionales desarrollan progresión de la enfermedad, independientemente de la resección curativa realizada<sup>6</sup>. Aunque probablemente la etiología de la recurrencia sea multifactorial, hipotéticamente este subgrupo de enfermos presentaría metástasis ganglionares no diagnosticadas en el momento de la cirugia que podrían condicionar su evolución clínica. En este contexto es posible postular que este grupo de pacientes en estadio I-II podría beneficiarse con un método de estadificación más preciso y accesible, que permitiera incluirlos en el grupo de enfermos pasibles de tratamiento advuvante.

La identificación del compromiso ganglionar linfático está directamente relacionada con la cantidad de ganglios estudiados y la metodología de estudio. Por esta razón, hasta la actualidad, es recomendable que se identifiquen y estudien la mayor cantidad posible de ganglios<sup>a</sup>.

El método convencional para evaluar la presencia de metástasis en los ganglios de las piezas con CCR es habitualmente inadecuado. Existen dos errores fundamentales que ocurren con frecuencia:

- Número de ganglios estudiados insuficiente.
- Técnicas de estudio anátomo patológico insuficientes.
- El número de ganglios estudiados es insuficiente. Se debe, en general a dos razones:
  - Resecciones insuficientes
    - Dificultad de los patólogos en aislar una adecuado número de ganglios.

Varios trabajos han establecido que la cantidad mínima de ganglios a examinar para una correcta estadificación es entre 6 y 15<sup>28, 38</sup>.

ta estadificación es entre 6 y 15%.38, Se ha observado que podrían identificarse entre un 25 a 30% más de metástasis cuando se analiza un número mayor de ganglios. Maurel demostró que el número de pacientes a los que se les identificaron metástasis fue directamente proporcional a la cantildad de ganglios examinados <sup>19</sup>. Distintas técnicas se han usado para aumentar el número de ganglios identificados en las pieras quirdigas, desde la disección immediata en fresco<sup>32</sup> hasta la dilución de la grasa con sustancias como el xileno<sup>53</sup>. Estas técnicas son engorrosas y requieren tiempo, todo lo cual las porrosas y requieren tiempo, todo lo cual las hace poco prácticas y falibles, sobre todo con ganglios pequeños.

El tamaño de los ganglios no tiene relación con la presencia o ausencia de metástasis, habiéndose encontrado hasta un 70% de las mismas en ganglios menores a los 5mm²?.

2) Técnicas de estudio anátomo patológico insuficientes: Tal como fue explicado en el Capitulo II, las técnicas convencionales (H&E) son insuficientes para el diagnóstico de micrometástasis. Numerosos estudios retrospectivos han comunicado la presencia de micrometástasis ganglionares utilizando cortes multiseriados y el empleo de IHQ. Se las ha diagnosticado en ganglios histológicamente negativos entre un 9 a 54%10. También se ha descripto para el diagnóstico de metástasis ganglionares el uso de la RT-PCR20 buscando la expresión del ARNm de diferentes genes expresados por el tumor (CEA,citoqueratina 20, BhCG -beta-chain human chorionic gonadotropin-,c-Met -hepatocyte growth factor receptor- v UMAGE -universal melanoma associated antigen A family) o métodos basados también en PCR para detectar mutaciones del ADN (MASA: mutant allele specific amplification).

Si bien estos procedimientos aumentan sensiblemente el porcentaje de metástasis diagnosticadas, consumen tiempo a un costo elevado si son aplicados a todos los ganglios resecados, por lo cual no pueden se usados rutinariamente.

El fundamento de la aplicación del ML en CCR es identificar el primer/os ganglio/s (GC) al cual drena directamente el tumor y que tiene, por lo tanto, el mayor potencial de albergar metástasis.

- Treinta por ciento de los pacientes estadio I-II tienen progresión de la enfermedad.
- El uso de quimioterapia adyuvante en estadio III aumenta la supervivencia en un 30%.
- Los métodos de estudio anátomo-patológico convencionales subdiagnostican la enfermedad metastática ganglionar.
- El ML permite estudiar selectivamente el GC mejorando la estadificación.

# 2. ¿En qué pacientes estaría indicado?

El ML está indicado en todos aquellos pacientes con diagnóstico de carcinoma de colon y recto estadio I-II.

#### No está indicado en:

- a) Evidencia de Invasión a tejidos vecinos y/ o metástasis a distancia.
- Tratamientos previos en la cavidad abdominal, quirúrgicos o radioterápicos, que pudieran haber alterado el drenaje lintático normal.
- c) Tumor de colon previo (relativa).
- d) Presencia de tumor primario extracolónico no diferenciable histológicamente.

# 3. ¿Cómo se realiza el mapeo linfático en cáncer colorrectal?

- 3.1. Identificación del ganglio centinela. Puede identificarse de dos formas:
  - a) Técnica "in vivo"
  - b) Técnica "ex vivo"
- Técnica "In vivo"38, Luego de explorar la cavidad abdominal incluyendo el uso de la ecografía intraoperatoria, a fin de descartar enfermedad regional y a distancia, se expone y moviliza el tumor, minimizando la disección del mesenterio a fin de no alterar el drenaje linfático. Posteriormente se invecta 1 a 2 ml de azul patente al 3% en la subserosa de los cuatro cuadrantes de la lesión, utilizando una aguja de 26G (Foto 1-2). Se debe evitar la invección del colorante en la luz intestinal. Se secciona el peritoneo mesocolónico para identificar los canalículos linfáticos, que se visualizan luego de 1 a 2 minutos. A continuación deberá observarse el primer ganglio coloreado de azul; hasta el cuarto ganglio teñido serán reconocidos como "centinela". Se los identifica con un hilo de sutura y se extirpan en bloque con la pieza guirúrgica (Foto 3-4).

Puede emplearse una técnica combinada inyectando junto con el colorante, 1 mCl de un radiofármaco, generalmente Tc 99 (Linfofast <sup>se</sup> Gelatina de colágeno bovino). La concentración

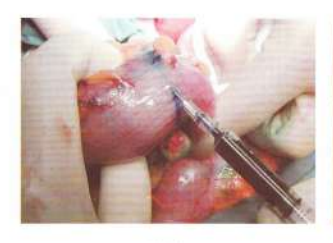


FOTO 1 Inyección subserosa de colorante en los cuatro cuadrantes de la circunferencia del intestino.



FOTO 2 Colorante inyectado



FOTO 3 Luego de 5' de inyectado el colorante disecando el mesocolon se visualiza un canaliculo linfático y el GC

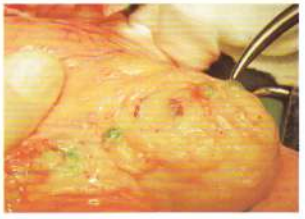


FOTO 4 Visualización de tres GCs.

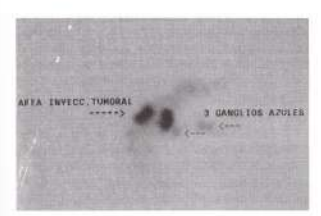


FIGURA 1

Linfocentellografia de pieza quirúrgica de hemicolectomía derecha donde se observan tres GC

del radiofármaco en los ganglios luego de su migración se identifica intraoperatoriamente con el gammaprobe. Se define como GC aquel con una captación 5-10 veces mayor al fondo (Fig. 1). En caso de abordaje laparoscópico, o en tumores no palpables (tumores rectales, tumores pequeños), la inyección del material se realiza en la submucosa por vía endoscópica, controlando visualmente no sobrepasar la serosa. Los pasos ulteriores se realizan como se han descrito anteriormente.

Luego se procede con la cirugía de la forma habitual. Los GC son disecados y aislados de la pieza quirúrgica.

 Técnica "ex vivo". Wong<sup>37</sup> describió una técnica similar pero luego de realizada la resección.

Inmediatamente de resecada la pieza quirúrgica se envía sin fijar al laboratorio de anatomía patológica, debiendo realizarse el procedimiento dentro de los 30 minutos. Se secciona el colon a través del borde antimesentérico, y el recto a través de la cara opuesta al mesorecto y se invecta en forma submucosa 0.25 ml de isosulfan blue en los cuatro cuadrantes advacentes al tumor. Los sitios de inyección son masajeados durante 2-5 minutos, Luego, se secciona el peritoneo mesentérico, sobre el borde colónico, identificándose los canalículos linfáticos teñidos de azul que se siguen hasta el/los correspondiente/s ganglio/s. Identificados los GC la pieza se procesa de la forma habitual.

#### 3.2. Técnica de estudio anatomopatológica

Los GC se estudian por separado. Se fijan en parafina, hemiseccionan a través de su eje mayor colorean con IA&E. Si no se observan metástarsis en ninguno de ellos se estudian con cortes multiseriados. Se corta el ganglio cada 2 mm y seraliza un corte de cada sección, uno para estudio con IA&E y otro para IHQ. De ser negativo el estudio con IA&E se realiza la inmunomarcación con citoqueratina 20.

Están descriptas otras formas de cortar los ganglios, reduciendo su tamaño a lonjas no mayores a 5 mm y luego realizar los cortes sobre ellas. También se pueden usar otros marcadores como CEA y EMA (antígeno epitelial de membrana).

El uso de la RT-PCR no esta estandarizado, y se lo utiliza solo en centros altamente especializados.

- Técnica "in vivo": Inyección subserosa laparótomica o submucosa endoscópica en tumores no palpables
  - Simple: colorante o radiocoloide.
     Combinada: colorante y radioco-
- loide.

  Técnica "ex vivo": Invección submucosa.
- = Colorante: azul patente 3% (2-3 ml)
- Estudio anatomopatológico:
   Cortes multiseriados.
  - . Tinciones con H&E e IHO.

#### 4. Experiencia publicada

Los trabajos publicados muestran una mejor estadificación del CCR con el uso de esta técnica.

Diferentes autores han demostrado la facilibilidad del ML utilizando colorantes "in vior". La experiencia más importante corresponde a Saha<sup>22</sup> con 203 pacientes, quien utiliza solo colorante. La taza de identificación fue del 193%. El 37% de los pacientes tenían GC positivo. En el 18% el GC fue el único sitio de metástasis. En coho pacientes en quienes el GC fue negativo, otros ganglios fueron positivos. Por lo tanto el porcentaje de falsos negativos fue del 9.8%. En ausencia de metástasis en los GC la probabilidad de metástasis en los GnoC fue del 5.5%.

TABLA 1 Resultados del mapeo linfático en cancer colorectal

	n	Técnica	Tasa de identif.	Efectivid.	GC/enf.	Tasa falsos neg.	Pte. GC posit.
Joosten 1999 <sup>16</sup>	50	С	70%	40%	**	60%	22% *
Kitagawa 200017	33	RC	85%	93%	3.7	**	**
Tsioulias 200034	50	C	94%	**	**	8%	20%
Paramo 200124	35	C	71%	71%	2	0	28%
Merrie 2001 <sup>21</sup>	26	C/RC	88%	56%	3	43%	
Esser 2001 <sup>10</sup> Wong 2001	31	C	58%	94%	2	5.5%	11%
"ex vivo"37	26	C	92%	96%	2.8	1%	62%
Huertas, 200114	20	C	100%	••	**	**	**
Saha 200129	203	C	98%	96%	1.8	9.8%	37%
Autores 2002	34	C/RC	88%	88%	1.8	0	6.6%

<sup>\*</sup> Solo hematoxilina&eosina, \*\* Datos no disponibles.

Otros autores confirman este alto porcentaje de marcación (Tabla 1). Sin embargo Joosten demuestra que si bien el ML en cancer colorrectal es posible (tasa de identificación del 70%), el porcentaje de falsos negativos fue del 60% <sup>1240</sup>, valor predictivo positivo 55%. Concluyen que el GC no predice el estado del resto de los ganglios. Es probable que esta discrepancia se deba a una búsqueda demorada de los GC, una vez finalizada la resección, permitiendo que se tiñan ganglios que no lo son, alterando los resultados y al alto número de tumores avanzados con metástasis ganglionares masivas que pudieran haber alterado el drenaja lintático.

Otras causas de falsos negativos son atribuídas a deficiencias en el sitio de inyección, el volumen de colorante o radiofármaco, o alteraciones del drenaje linfático provocadas por la técnica quirúrgica.

Merrie utiliza el colorante mezclado con el RF, realizando la inyección intraoperatoria y la búsqueda "ex vivo" luego de una linfocentellografia de la pieza quirúrgica". En 25 pacientes (26 tumores) encuentran el GC en 23 (88%). Solamente 51% de los ganglios azules tenían actividad radiactiva. Esto podría explicarse por el tiempo transcurrido entre la inyección del colorante ("in vivo") y la disección ("ex vivo"). Diez casos (43%) presentaron "skip metástasis", Concluye, que si bien el porcentaje de detección es alto, la baja correlación entre el estado de los GC y el resto de los ganglios brinda poca utilidad clínica. Kitawaga utiliza solamente Tc<sup>26</sup> Sn coloidal. Inyecta 0.15 a 4 mCl en un volumen de

1-2 ml en forma submucosa, con un porcentaje de efectividad del 78%<sup>17</sup>.

El uso solamente del colorante ha sido validado por Saha (efectividad del 96%) quien además destaca su bajo costo<sup>31</sup>. El valor de una dosis de la marcación radioisotópica es 50 veces mayor que una dosis de colorante, por lo cual la relación costo beneficio es altamente favorable, El uso de ambos marcadores en forma conjunta no demostró beneficios en cuanto a los porcentajes de detección. Por otra parte la proximidad del sitio de inyección a los ganglios epicólicos puede dificultar la individualización de los puntos de captación. En nuestra experiencia el procedimiento es factible pero no ofrece ventais a dicionales al uso del colorante.

Las técnicas "ex vivo" permiten porcentajes de detección del GC de hasta un 92%, similares al procedimiento "in vivo". Sus teóricas ventajas estarían dadas por que el patólogo puede concentrar los casos haciendo el aprendizaje más rápido. La curva de aprendizaje en mama y melanoma requiere un mínimo de 30 casos, número que excede el promedio de colectomías anuales realizadas por cirujanos en los EEUU que es de 13 casos.

Merrie afirma que otra ventaja teórica del método es el evitar el masaje intraoperatorio del tumor para facilitar la migración del colorante. Esto podría provocar migración de células tumorales<sup>21</sup>. La bibliografía no avala esta conclusión.

Un inconveniente esta referido a la imposibilidad de detectar drenajes linfáticos aberrantes, como fue mencionado anteriormente.

TABLA 2 Localización anatómica y tipo de cirugia realizada

Localización del tumor	Tipo de cirugia		
Ascendente	Hemicolect, Derecha	9	
Sigmoide	Hemicolect. Izquierda	4	
Ciego	Hemicolect. Derecha	4	
Sigmoide	Sigmoidectomía	3	
Descendente	Hemicolect. Izquierda	3	
Transverso	Hemicolect, Derecha	3 3 2	
Recto	Resección anterior	2	
Transverso	Colectomía transversa	2	
Transverso	Colectomia transversa laparoscópica	1	
Sigmoide	Hemicolect, Izquierda Iaparoscópica	1	
Transverso	Hemicolect. Derecha laparoscópica	1	
Ascendente	Colectomía total	1	
Total		34	

TABLA 3 Efectividad de las distintas técnicas en la marcación del ganglio centinela.

	Positivo	Negativo	Total	
	(%)	(%)	(%)	
Azul patente Azul patente/	28/32 (87.5)	4/32 (12.5)	32/34 (94.1)	
radiofármaco	2/2 (100)	4/34 (11.7)	2/34 (5.9)	
Total	30/34 (88.3)		34 (100)	

#### 5. Experiencia de los autores

Entre septiembre del 2000 y abril del 2002, 34 pacientes cumplieron los criterios de inclusión.

El abordaje fue realizado por laparotomía o laparoscopia. Veintiún pacientes (61.7%) fueron hombres y 13 (38.3%) mujeres. La edad promedio fue de 68.3 años (rango 28-88). La localización de los tumores y el filpo de cirugía realizada se detala en la tabla 2.

Se identificaron ganglios centinelas en 30 casos (88%) utilizando azul patente. En tres pacientes, que fueron operados por via laparoscópica, se realizó la marcación por via endoscópica. En 2 pacientes se utilizó radiofármaco junto al colorante siendo positiva su marcación en ambos casos (Tábla 3).

El promedio de ganglios coloreados durante la cirugía fue de 1.7. En todos los casos el tiempo utilizado para realizar la marcación fue menor a 10 minutos. El promedio de ganglios aislados de la pieza fue de 17.4 (rango10-28). En dos pacientes el GC fue positivo (6,6%), en uno diagnosticado con H&E y en el otro con IHO. En ambos casos el GC fue el único ganglio positivo. No se identificaron metástasis en otros ganglios cuando los GC fueron negativos. La efectividad del procedimiento fue del 100%.

Al analizar los resultados de la presente serie se observa que la sensibilidad y específicidad del método fue del 100%. Es importante destacar que los resultados surgen de analizar una muestra pequeña. No se estudió la correlación entre la identificación con colorante y radiofármaco dado que seté último fue utilizado en sólo dos pacientes.

#### ¿Qué ventajas brinda el mapeo linfático en CCR?

Una de las ventajas más importantes del ML está en la posibilidad de diagnosticar micrométasis. En ésta eventualidad los enfermos se reestatifican a un estadio superior, con probables implicancias pronosticas y terapéuticas. La Tabla 4 illustra sobre distintas experiencias mostrando que el ascenso de estadio se produce aproximadamente en un 25% de los pacientes. Saha<sup>29</sup> encuentra 36/198 pacientes (18%) con metástasis solo en GC. De éstos, en 27 (14% del total de enfermos) presentaban micrometastasis. En 11/27 (41%) enfermos dichas metástasis se diagnosticaron mediante IHC. Es probable que no hubieran sido diagnosticadas en un examen histológico convencional. El facadas en un examen histológico convencional.

TABLA 4

Análisis del diagnôstico de metástasis en el ganglio centinela

	GC positivo	HE	Cortes multiseriados e IHQ	Ascenso
Saha	36	9	27	13.6%
Wong	15	11	4	29%
Tsioulas	10	2	8	20%
Paramo	6	2	4	11%
Autores	2	1	1	6.6%

porcentaje de metástasis en los GC fue del 28% y sólo del 11% en los GnoC. Tsioulas<sup>34</sup> confirma una experiencia similar con un 20% de ascenso de estadio.

El uso de la RT-PCR aumenta el diagnóstico de micrometástasis. Bilchik' en 46 pacientes en quinnes estudió el ganglio centinela con H&E, IHO y RT-PCR encuentra un 30% con resultados positivos para RT-PCR, que habían sido negativos para H&E a IHO.

En nuestra experiencia de 34 pacientes la identificación de metástasis como único sitio en el GC ha ocurrido en dos casos, es decir, en el 6,6%. Si bien la cifra obtenida no es alta, esto ha modificado el estadio de dichos enfermos. Es probable que esta baja incidencia esté relacionado con el tamaño de la muestra. No se demostró la presencia de metástasis en GnoC cuando estos habían sido negativos. En la literatura esta eventualidad también es muy baja (1 al 3%)<sup>24,25</sup>.

Tres aspectos merecen ser discutidos:

- Influencia sobre la táctica quirúrgica;
- Importancia biológica de las micrometás-
- Si los pacientes con cambio de estadio deben recibir quimioterapia adyuvante.
- 1) Influencia sobre la táctica quirúrgica: A diferencia de lo que ocurre con el melanoma y el cancer de la mama donde la disección ganglionar puede provocar secuelas importantes, en el CCR no hay morbilidad asociada al mismo, de tal forma que no cambia la extensión ni el tipo de resección. Sin embargo en alguna oportunidad la visualización de un drenaje linfático inusual permite extender la resección incluyendo elflos

- ganglios fuera de la resección convencional\*
  Esta circunstancia se ha informado hasta en un 6% de las resecciones®.
- Importancia biológica de las micrometástasis: El valor pronóstico y la implicancia terapéutica de las micrometástasis no está establecido<sup>33</sup>.

Los pacientes con tumores Dukes A y B, que desarrollan entermedad recurrente tienen menos supervivencia a 5 años, hecho potencialmente atribuible a las micrometástasis. Se desconce si el diagnóstico precoz de ellas pudiese beneficiarios.

Calaluce en una reciente revisión concluye que el uso rutinario de técnicas de IHO no estaria justificado debido a que no hay evidencias concretas de que su diagnóstico mejore el pronóstico? Jeffersi identifico micrometàstasis en el 25% de los pacientes estudiados sin hallar diferencias estadisticamente significativas en la superviencia a 5 y 10 años. Estos hallazgos fueron confirmados en otros trabajos. Oberg concluye que las micrometástasis ganglionares no sor útiles como marcador pronóstico en estadio Dukes A y B y su presencia no implica estrategias terabelicas diferentes<sup>22</sup>.

Por el contrario Greenson<sup>10</sup> y Leifers<sup>18</sup> encontraron resultados opuestos. En el primer caso la identificación de micrometástasis con técnicas de IHQ modificó el estadio en 28 de 50 pacientes, que tuvieron un peor pronóstico. En el segundo utilizando FTP-CP identificaron microimplantes en 14 de los 26 pacientes estudiados. Este grupo tuvo una supervivencia a los 5 años significativamente menor al de la población sin micrometástasis (36% vs. 75% p = 0.03). Resultados similares con técnicas de IHQ fueron presentados en nuestro medio por Fajira y colaboradores<sup>11</sup>.

La falta de consenso en la literatura, y la ausencia de trabajos randomizados no permiten tener conclusiones sobre el valor de las micrometistasis.

3) ¿Deben recibir quimioterapia adyuvante? El mayor valor del ML en CCR as identificar aquelios pacientes con micrometástasis que pudieran beneficiarse de terapias adyuvantes. Sin embargo no hay información bibliográfica sobre su utilidad.

### 7. Conclusiones

- El uso del ML en el CCR se encuentra en una etapa inicial de su desarrollo.
- No cambia la táctica quirúrgica excepto en el caso de detección de drenajes anómalos. Actualmente resecciones menores a la lintadenectomía estándar no están indicadas.
- Es un procedimiento factible, seguro y de bajo costo. Puede ser realizado sin variar la técnica quirárgica ni el tiempo operatorio.
- Puede aplicarse en cirugía laparoscópica utilizando la técnica endoscópica.
- Permite al patólogo focalizar el estudio en unos pocos ganglios, usando técnicas más sensibles pudiendo diagnosticar micrometástasis, que hubieran pasado inadvertidas con técnicas convencionales.
- Logra una estadificación más precisa, La sensibilidad y especificidad para detectar micrometástasis es elevada.
- No existen aún resultados con seguimiento a largo plazo, que permitan concluir sobre la utilidad del procedimiento y el valor pronóstico de las micrometástasis ganglionares.
- La falta de información bibliográfica sobre la utilidad de quimioterapia adyuvante, obliga a plantear la necesidad de un protocolo de investigación que permita conclusiones con base científica.

#### Bibliografia

- Abulati AM, Williams NS: Local recurrence of colorectal cancer: the problem, nechanisms, management and adjuvant therapy. Br J Surg 1994; 81: 7-19.
   Bilchik AJ, Saha S, Wiese D, Stonecypher JA, et al.
- Molecular staging of early colon cancer on the basis of sentinel node análisis: a multicenter phase II trial, J Clin Oncol 2001; 19: 1128-36...
  3. Calalupa B. Miedema B. Yesus V. Micrometastasis in
- Calaluce R, Miedema B, Yesus Y. Micrometastasis in colorectal carcinoma: A review. J Surg Oncol 1998; 67: 194-202.
- Casillas S, Pelley RJ, Milson JW, Adjuvant therapy for colorectal cancer: present and future perspectives. Dis Colon Rectum. 1997; 40: 977-92.
- Cawthorn SJ, Gibbs NM, Marks CG. Clearance technique for the detection of lymph nodes in colorectal cance. Br J Surg 1986; 76: 1165-7.
- Chapuis PH, Dent OF, Fisher R, et al. A multivariate analysis of clinical and pathological variables in prognosis after resection of large bowel cancer. Br J Surg 1985; 72: 698-702.
- Cutait RA, Alves VAF, Lopes LC, et al. Restagin of colorectal cancer based on the identification of lymph node micrometastases in colorectal carcinoma. Dis Colon Rectum. 1991; 34: 917-920.

- Daneker GW Jr., Ellis LM. Colon cancer nodal metastases: biologic significance and therapeutic considerations. Surg Oncol Clin N Am 1996; 5:173:189
   Davidson BR, Sams VR, Styles J et al. Detection of
- Davidson BH, Sams VH, Styles J et al. Detection of occult nodal metastases in patients with colorectal carcinoma. Cancer. 1990; 65: 967-970.
- Esser S, Reilly TW., Riley LB, Eyvazzaden C Arcona S: The role of sentinel lymph node mapping in staging of colon and rectal cancer. Dis Colon Rectum 2001; 44: 850.
- Fajre M, Mosto J, Mallardi P y col: Importancia pronóstica de la micrometástasis ganglionares en cáncer de colon y recto. Rev Argent Cirug 2000; 79: 250-255.
- Greenson JK, Isenhart CE, Rice R, et al. Identification of occulir indicornetastases in periodic lymph note of Dukes B colorectal cancer patients using monoclonal antibodies against cytokeratin and CC49. Cancer 1994, 73: 563-569.
- 13. Haboubi NY, Abadia SA, Amini S, et al. The novel combination of fat clearance and immunofisto-chemistry improves prediction of the outcome of patients with colorectal carcinoma: a preliminary study. Int J colorectal Dia 1998; 13: 99.
- Huertas E, Grigaltes A, Recupito G, Kaptan J y Sánchez Loria F. Ganglio centínela en el cáncer de colon. Técnica y análisis preliminar-20 primeros casos. Oncol Clin 2002; 7: 691-692.
- Jelfers MD, O'Dowd, Mulcahy H et al. The prognasis significance of immunohistochemically detected lymph node micrometastases in coloractal carcinoma. J Pattel 1994; 172: 183-187.
   Joesten JJA, Stobbe LJA, Wauters CAP, Pruszczyński.
- et al: Infraoperative lymphatic mapping and the sentinel node concept in colorectal surgery. Br J Surg 1999; 86: 482.

  17. Kitagawa Y, Fuji H, Mukai M, Kubota T, el al: The role of
- sentinal lymph node in gastrointestinal cancer. Surg Cl Noth Am 80:1799: 2000. 18, Liefers GJ, Cleton Jasen AM, van de Velde CJ, et al.
- Micrometastasis and survival in stage II colorectal cancer. N Engl J Med 1998; 339: 223.
- Maurel J, Launoy G, Grosclaude P, et al. Lymph node harvest reporting in patients with carcinoma of the large bowe! a French population -based study. Cancer 1996; 82: 1482-6.
- Merrie A, Phillips L, Kankatsu Yun and McCall JL. Skip metastases in calon cancer: Assessment by lymph node mapping using molecular detection. Surgery 2001; 129: 684-691.
- Merrie H, Arend E, van Rij A, Phillips LV, et al. Diagnostic use of sentiner node in colon cancer. Dis Colon Rectum 2001; 44: 410-417.
- Moertel CG, Fleming TR, Macdonald JS, et al: Levamisole and fluorouracil for adjuvant therapy for resected colon carolnoma. N Engl J Med 1990; 322: 352-8.
- Oberg A, Stenling R, Tavelin B, Lindmark G. Are lymph node micrometastases of any clinical significance in Dukes stages and 8 colorectal cancer?. Dis Colon Bectum 1998: 41: 1244-9.
- Paramo JC, Sumeral J, Wilson C, Cabral A et al, Intraoperative sentinel node mapping in patients with colon cancer. Am J Surg 2001; 182; 40-43.
- Quirke P, Durdey P, Dixon MF and Williams NS: Local recurrence of rectal adenocarcinoma due to inadequate surgical reseation: histopathiological study of lateral tumor spread and surgical excision. Lancet 1988; 2: 996-
- 26. Ratto C, Solo L, Ippoliti MM, et al: Accurate lymph node

- detection in colorectal specimens resected for cancer is of prognostic significance. Dis Colon Rectum 1999; 42: 143.
- Rodriguez-Bigas MA, Maamoun S, Weber TK, et al. Climical significance of colorectal cancer: Metastasis in lymph node < 5mm in size. Ann Surg Oncol 7: 124, 1996
- Rotholtz NA, Peczan CE, Heidenreich A, Mezzadri NA. Factibilidad técnica del mapeo linfático en el cancer colorrectal. Experiencia Inicial. En prensa Rev Argent Cirron.
- Saha S, Bilchik A, Wiese D, Espinosa M, et al. Ultrastaging of colorectal cancer by sentine llymph node mapping technique- A multicenter trial. Ann Surg Oncol 2001; 8(95): 94-98.
   Saha S, Pagn M, Weng JH, and White D: Sentine lumph
- Saha S, Dean N, Wong JH and Weise D: Sentinel lymph node mapping in colorectal cancer: a review. Surg Cl North Am 2000: 80: 1811.
- Saha S, Wiese D, Badin J, Beutler T, et al: Technical details of sentinel lymph node mapping in colorectal cancer and its impact on staging. Ann Surg Oncol 2000;

- 7:120.
- Scott KWM, Grace RH. Detection of lymph commetastases in colorectal carcinoma before and after the clearance. Br J Surg 1989; 76: 1165-1167.
- 33. Steele GD, Augenlicht LH, Begg CB, et al: Nat-Institutes of Health concensus development contestatement: adjuvant therapy for patients with color rectal cancer. JAMA 1990; 264: 1444-50.
- Tsioulias GJ, Wood TF, Morton DL and Bilchik L Lymphatic mapping and focused analisis of selymph nodes upstage gastrointestinal neoplasms. A: Surg 2000; 135: 926.
- Wiggers Tarends JW, Volovios A: Regression and of prognostic factors in colorectal cancer after curater resections. Dis Colon Rectum 1988; 31: 33-41.
   Wong JH, Severino R, Honnebier NB, et al: Number of the color o
- nodes examined and staging accuracy in colored carcinoma. J Clin Oncol 1999; 76: 2898.

  37. Wong JH, Steineman S, Calderia C, Bowles J, Name
- Wong JH, Steineman S, Calderia C, Bowles J, Nema T. Ex vivo sentinel node mapping in carcinoma of me colon and rectum. Ann Surg 2001; 233: 515-521.

## CAPITULO VI

# OTROS TUMORES GASTROINTESTINALES

#### I. Estómago

- 1. ¿Cuál es el fundamento del mapeo linfático en cáncer gástrico?
- 2. ¿En qué pacientes estaría indicado?
- 3. ¿Cómo se realiza el mapeo linfático en cáncer gástrico?
  - 3.1. Linfocentellografía preoperatoria
  - 3.2. Mapeo linfático intraoperatoria
  - 3.3. Estudio anátomo patológico
- 4. Experiencia publicada
- II. Otras localizaciones

#### III. Conclusión

Existe menos experiencia con el empleo del ML en otros tumores gastrointestinales diferentes del colon y recto.

# I. Estómago

## ¿ Cuál es el fundamento del mapeo linfático en cáncer gástrico?

La magnitud de la resección ganglionar en el tratamiento del cáncer gástrico ha sido intensamente debatida en la literatura quirúrgica de los últimos años con relación a su importancia en cuanto a estadificación y supervivencia.

Hay evidencia que las resecciones ganglionares amplias (D2 vs. D1) mejoran la exactitud de la estadificación<sup>7, 19</sup>, siendo tema de debate si representan una mejoría en la supervivencia.

Estudios Japoneses han demostrado una ventaja en la supervivencia de los pacientes con vaciamientos D2 frente a aquellos con D11". Trabajos retrospectivos y prospectivos no randomizados que reflejan la experiencia americana y europea, han referido aumento de la morbimortalidad con los vaciamientos extendidos sin mejoría en la supervivencia, resultados que se contraponen a la experiencia japonesa<sup>6,24</sup>.

Bonenkamp<sup>2</sup> y Cushieri<sup>2</sup> en trabajos prospectivos-randomizados-multicéntricos, que han recibido críticas metodológicas, no hallan diferencia en la supervivencia y sí un aumento de la morbimortalidad en pacientes con vaciamiento D2 frente a aquellos con D1. La mayoría de los trabajos reflejan que con vaciamientos más amplios los tumores se clasifican en un nivel superior, lo cual mejora la supervivencia para cada estadio sin cambios en la supervivencia global<sup>7</sup>.

La incidencia de metástasis ganglionares es de alrededor del 50% para los T2 (invasión de la muscular propia o subserosa)<sup>29</sup>. Por lo tanto un grupo considerable de enfermos (50%) a quienes se realiza una resección estándar recibirán una linfadenectomía mayor a la necesaria.

El tratamiento estándar para el cáncer gástrico temprano (CGT) (tumores limitados a la mucosa o submucosa) continúa siendo la gastrectomía y Infadenectomía radical debido al riesgo de micrometástasis ganglionares (menor al 20%)<sup>16,8</sup>. En los tumores limitados a la mucosa, con una incidencia de metástasis menor al 3%, se han propuesto vaciamientos ganglionares menores a lo estándar, resecciones locales submucosas<sup>19</sup> o resecciones locales menores con márgenes adecuados, por via laparrosópica. La probabilidad de metástasis se basa en la evaluación de distintos parámetros como diámetro macroscópico, ulceración histológica, invasión de vasos linfáticos y grado de diferenciación.

Otsuji analizó 423 GGT con ganglios lintáticos negativos, comparando CGT mucoso y submucoso con lintadenectomía D1 vs. D2. Encontró que no hubo diferencia significativa en la supervivencia a 10 años entre ambos grupos del CGT mucoso. En el submucoso con vaciamiento D2 la supervivencia fue mayor (95% vs. 82% p = 0.019). Sugiriere

que ello depende de la presencia de "skip" metástasis no diagnosticadas20.

El drenaje linfático gástrico es multidireccional y forma compleias redes siendo cuestionable si un área específica del estómago drena exclusivamente en un solo nivel ganglionar. Si bien se ha observado que las metástasis ganglionares son más frecuentes en los ganglios perigástricos, próximos al tumor primario 11, 14, pueden producirse de una manera no sistemática salteando estaciones ganglionares ("skip" metástasis)13. Sano estudió 89 tumores T1-2 con un solo ganglio positivo. En el 62% de los casos el ganglio positivo se encontró en nivel N1. En el 13% en nivel N2 sin compromiso de N122.

El concepto de "skip" metástasis está basado en el clasificación anatómica de los ganglios, y no teniendo en cuenta las rutas de drenaje linfático que son específicas para cada enfermo y localización tumoral. Kitagawa refiere en 14/35 casos (40%). la ubicación del GC en el segundo nivel ganglionar, y en uno en el tercer nivel (grupo suprapilórico en carcinoma de cardias)10. En estos casos el segundo nivel ganglionar debe ser considerado un primer nivel funcional.

Los métodos de diagnóstico por Imágenes actualmente usados (ecografía, TC, RNM, ecoendoscopia) no tienen la sensibilidad suficiente para detectar metástasis ganglionares microscópicas. La disponibilidad de un método que permita su diagnóstico harían más seguros los tratamientos conservadores.

El concepto de ML en tumores gástricos ha sido propuesto como un método útil para identificar el GC pasible de presentar metástasis y que sean reflejo del estado del resto de los ganglios25.

Su utilidad está dada por:

- Mejor estadificación (diagnóstico de micrometástasis).
- · Detección de drenajes anómalos fuera del territorio convencional25.
- Eventualidad de realizar una resección ganglionar menor ante la ausencia de metástasis en el GC<sup>e</sup>.

En el CGT los autores japoneses han sido pioneros en este nuevo enfoque diagnóstico y terapéutico proponiendo el uso de técnicas minimvasivas. Asocian el ML intraoperatorio con la laparoscopia, para descartar la presencia de metástasis ganglionares y realizar resecciones menores a las convencionales. Paradójicamente, así como han preconizado durante años vaciamientos ganglionares extensos para el tratamiento del cáncer gástrico en estos momentos lideran un cambio respecto al tratamiento del CGT.

- Los vaciamientos ganglionares ampliados (D2 vs. D1) meioran la estadificación del cáncer gástrico. No hay consenso sobre su influencia en la supervivencia global.
- · El salteo ganglionar ("skip" metastasis) puede ser de hasta un 15%.
- El ML permitiría meiorar la estadificación. disminuir la magnitud de la resección ganglionar y detectar drenajes linfáticos anómalos.

# 2. ¿En qué pacientes estaría indicado?

El ML es aplicable en tumores localizados al estómago y sin evidencia de diseminación regional. Por ser una metodología nueva y en desarrollo debe limitarse a ensavos clínicos controlados.

En lesiones avanzadas, no debiera realizarse por la posibilidad de falsos negativos secundarios a bloqueo o alteración del drenaje linfático, o por compromiso ganglionar evidente.

El ML en está indicado en pacientes con cáncer de estómago T1-2 N0

- 3. ¿Cómo se realiza el mapeo linfático en cáncer gástrico?
- 3.1. Linfocentellografía preoperatoria
- 3.2. Mapeo linfático intraoperatoria
- 3.3. Estudio anátomo patológico

# 3.1. Linfocentellografía preoperatoria

Es útil para objetivar la distribución y el número de ganglios facilitando la identificación intraoperatoria (Fig. 1). Puntos de hipercaptación pueden

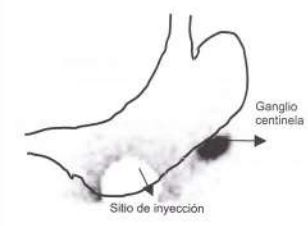


FIGURA 1

Cáncer gástrico temprano antral. GC en curvatura mayor.

encontrarse en zonas alejadas de los lugares convencionales, en el segundo o tercer nivel ganglionar. Esta evidencia cambia el concepto anatómico del nivel posible de metástasis por uno funcional. El GC localizado anatómicamente en el segundo nivel deber considerarse funcionalmente como un primer nivel.

El uso asociado de la LCP y del gammaprobe intraoperatorio facilitan y mejoran la detección ganglionar.

#### 3.2. Mapeo linfático intraoperatoria

La identificación del GC puede realizarse con colorante y/o radiofármacos. Los colorante más usados son el isosultan blue al 1% (1 ml/g²), verde de indocianina (5 ml, 25 mg) ½, carbón ½ y azul patente al 3%. La individualización del GC con colorante puede ser dificultosa debido a que la red linfática de los órganos gastrointestinales es compleja y el colorante difunde muy rápidamente, pudiendo teñirse GnoC. Para obviar esta dificultad se puede asociar o usar exclusivamente radiofármacos (0.15-4.0 mC) en un volumen de 1.0-2.0 ml) que al estar constituidos por partícultas de mayor tamaño se retienen por más tiempo en los ganglios.

Luego de realizada la laparoscopia o laparotomía y explorada la cavidad abdominal, el tumor primario se moviliza cuidando no alterar el drenaje linfático, para permitir la invección del colorante y/o radiofármaco. La inyección debe hacerse en la subserosa subyacente al tumor, sin volcar el contenido en la luz gástrica<sup>10</sup>. En lesiones pequeñas superficiales (CGT), se puede inyectar el radiotármaco por vía endoscópica 2 h. antes de la cirrujal, en la submucosa de los cuatro cuadrantes de la lesión.

Algunos autores<sup>28,21</sup> discrepan sobre la utilidad del gammaprobe sugiriendo solo el uso de colorantes. Uno de los inconvenientes está dado por la cercanía del punto de inyección del radiofármaco al GC, lo cual podría impedir detectar la captación diferencial entre ambos puntos.

Después de haber identificado y marcado los GC se realiza la resección radical convencional del tumor primario y del territorio ganglionar. A continuación se comprueba la ausencia de radiactividad con el gammaprobe en la cavidad abdominal.

# 3.3. Estudio anátomo patológico.

Cada uno de los GC identificados es extraído de la pieza por el patólogo y estudiado de acuerdo a un protocolo similar al usado para el GC en colon. Se realizan tinciones con H&E e IHQ con anticuerpos anticitoqueratina

Si bien hay trabajos publicados<sup>10</sup> que mencionan el uso de RT-PCR, su utilidad clínica está en fase de investigación.

- Se utiliza azul patente al 3% y/o radiofármacos inyectados en la subserosa del tu-
- si el tumor no es palpable la inyección se hará por vía endoscópica.

# 4. Experiencia publicada

La experiencia publicada hasta el presente hace suponer que el alto índice de efectividad del ML en tumores gástricos, permitiría una estadificación mas precisa. (Tablas 1-2). La mayoría de las serries sin embargo, tienen el defecto de incluir tumores de diferentes tamaños, con distintas probabilidades de compromiso ganglionar, con un número de casos insuficiente como para tener potencia estadística, y con limitaciones metodológicas en el estudio de los GnoC, lo cual puede desvirtuar el número real de falsos nequativos.

La primera serie publicada fue la de Tsioulas215 que analizó en conjunto tumores de estómago,

TABLA 1
Resultados del mapeo linfático en cáncer gástrico

Investigadores	n	Método	Identificación	Efectividad	Falso negativo	Ascenso de estadio
Tsioulias 200025	6	С	(6/6) 100%	100%	0	(2) 33%
Kitagawa 200010	36	R	(35/36) 97%	100%		
Kitagawa 2001*	101	CR	(93/101) 92%	98%	2%	14%
Hiratsuka 2001 <sup>st</sup>	74	C	(73/74) 99%	99%	1%	(3) 4%

C: Colorante, R: Radiofármaco.

TABLA 2 Resultados del mapeo linfático en cancer gástrico temprano

	n	Identificación	Efectiv.	Sensib.	Espefic.	Falsos negativo	Ascenso de estadio
Miwa 200018	163		91%	100%	98%		2000
Aikou 20011	18	94%	88%			6%	17%

TABLA 3 Resultados del ML en esólago, intestino delgado y páncreas

	Órgano	n	Detección	Efectividad	Sensibilidad
Tsioulias, 2000 <sup>25</sup>	I. delgado	5	100%		
	Páncreas	4	100%		
Kitagawa, 200011	Esófago	16	(14/16) 88%	(13/14) 92%	(8/9) 88%
Gibbs, 20024	Higado	15	(10/15) 67%		

páncreas, intestino delgado y colon. Presentó 6 casos de cáncer gástrico, con una detección y efectividad del 100%.

Hiratsuka\*publicó una serie de 74 pacientes con tumores gástricos exclusivamente, T1 y T2. Utilizó solo el colorante verde de indocianina, e identificó el GC en el 98.6% de los casos, (sensibilidad 100%, efectividad 99%, falso negativo 1%). Este único caso (T2) puede ser explicado por un bloqueo linfático provocado por tumor.

Bilchik, en 126 pacientes con neoplasias gastriontestinales (10 carcinomas gástricos) observó una relación inversa entre el tamaño del tumor (T) y la presencia de metástasis única en el GC.

Kitagawa en 12 pacientes con CGT mucoso, usando colorante y radiofármaco, identificó por laparoscopía un número similar de GC que con cirugía abierta<sup>11</sup>. En la tabla 2 pueden observarse la eperiencia de otros autores.

El valor del M. en CGT està asociado a la pebiblidad de realizar estudios por congelación con IHQ para el diagnóstico rápido de micrometástasis. El uso de esta técnica permite incrementar el diagnóstico intraoperatorio de las micrometástasis de un 24 al 32%<sup>1</sup>. En caso que el estudio sea negativo, un vaciamiento ganglionar menor al estándar pudicira estar indicado.

No hay comunicaciones con el procedimienno en la bibliografía nacional. Los Relatores lo hemos realizado en 3 pacientes. El primero en un CGT mediante la inyección endoscópica de radiofármaco (Linfotast) e intraoperatoria de azul patente. Los otros 2 tumores correspondían a lesiones de antro (T2) y se uso colorante inyectado en forma subserosa. El GC no pudo ser hallado, debido probablemente a que se trataba de pacienles obesos.

#### II. Otras localizaciones

El procedimiento también se ha empleado en cáncer de esófago, páncreas, intestino delgado y metástasis hepáticas previa a la resección quirúrgica. Las series publicadas son menores, tienen escasa relevancia estadística y a nuestro juicio su importancia solo estriba en mostrar la factibilidad del método (Tabla 3)<sup>8,18,14,4</sup>.

#### III. Conclusiones

- El ML en tumores gastrointestinales (excluyendo colon) está en las primeras etapas de desarrollo. Por tal motivo no hay aun conclusiones firmes en cuanto a los beneficios clínicos.
- Respecto a los aspectos técnicos habrá que determinar la utilidad del uso combinado del colorante y el radiofármaco, tamaño de partícula, método de inyección y eficacia del estudio de IHQ en la biopsia por congelación.
- Con respecto a las implicancias clínicas de una estadificación más precisa, su utilidad esta dada por contar con un tratamiento adyuvante efectivo que mejore la supervivencia como ocurre en el cáncer colorrectal.
- El ML es factible y seguro en la experiencia internacional. Puede ser realizado sin variar la táctica quirúrgica y no insume mayor tiempo en el acto operatorio. No se han detectado reacciones adversas con el uso de colorantes.
- La tasa de identificación es alta, y estado del GC permite predecir el estado del resto de los ganglios. La tasa de falsos negativos es menor al 6%.
- La presencia de GC positivo reestadifica al paciente en un estadio superior.
- La ausencia de metástasis en el GC, en el CGT, permitiría realizar resecciones menores con mayor certeza diagnóstica.

## Bibliografía

 Alkou T, Higashi H, Shoji N, Hokita S, et al. Can sentinel node navigation surgery reduce the extent of lymph node dissection in gastric cancer? Ann S Oncol 2001; 8(9S): 30-93.

- Bonenkamp JJ, Hermans J, Sasako M, van de Velde CJ. Extended lymph node dissection for gastric cancer. Dutch Gastric Cancer Group. N Engl J Med 1999; 340; 908-14.
- 908-14.
  3. Cushieri A, Weeden S, Fielding J et al. Patient survival after D1 and D2 resections for gastric cancer: long term resuits of the MRC randomized surgical trial. Surgical Cooperative Group. Br J Cancer 1999: 79: 1582-30.
- Gibbs J, Kane J, Bigas-Rodriguez M, et al. Introperative hepstic lymphatic mapping in patients with colorectal liver metastases. (Abstrac). Ann Surg Oncol 2001, 8:1079.
- Gouzi JL, Huguier M, Fagniez PL, et al. Total vs. Subtotal gastrectomy for adenocarcinoma of the gastric antrum. Ann Surg 1989; 209:162-166.
- Hiratsuka M, Mishayiro I, Ishikawa O, et al: Application of sentinel node biopsy to gastric cancer surgery. Surg 2001;129: 335.
- Hundahal SA. Gastric cancer nodal metastases: Biologic significance and therapeutic considerations. Surg Ct North Am 1996; 5: 129-144.
- Ain 1995, S. 129-14n;
  Kim JP, Hur YS, Yang HK. Lymph node metastasis as a significant prognostic factor in early gastric cancer: análisis of 1136 early gastric cancers:1997; 44: 907-911.
- Kitagawa Y, Fuji H, Mukai M, Kubota T, Ohgami M, et al: The validity of sentinel node concept in gastrointestinal cancer. Poster 96, 54" Annual Cancer Symposium, Society of Surgical Oncology, Washington DC, March 2001.
- Kitagawa Y, Fujii H, Mukai M, Kubota T, el al: The role of sentinel lymph node in gastrointestinal cancer. Surg Cl Noth Am 2000; 80: 1799.
- Kitagawa Y, Ohgami M, Fuji H, Mukai M, Kubota T, el al: The role of sentinel lymph node in gastrointestinal cancer. Ann Surg Oncol. 2001;78 (9S): 88-89.
- Lucci A, Turner RR, Morton DL. Carbon dye as an adjunct to isosulfan blue dye for sentinel lymph node dissection. Surgery 1999; 126: 48-53.
- Maruyama K , Sasako M, Kinoshita T, et al: Can sentinel biopsy indicate rational extent of lymphadenectomy in gastric cancer surgery? Langerbeck's Arch Surg 1999; 384: 149.
- 14) Maruyama K, Gunven P, Okabayashi K, Sasako M, Kincshita T: Lymph node metastasis of gastric cancer: general pattern in 1931 patients. Ann Surg 1989; 210: 596-602.
- Miwa K. Optimal nodal dissection for early gastric cancer. Journal of Japan Surgical Society. 102: 484-9; 2001. Resumen.
- Miwa K. Sentinel node concept and its application for cancer surgery. Journal of Japan Surgical Society. 2000; 101: 307-10;. Resumen.
- Noguchi Y, Imada T, Matsumoto A, et al. Radical Surgery for gastric cancer: A review of the Japanese experience. Cancer 1989; 64: 2053-2062.
- Ohgami M, Otany, Kumai K, et al. Curative laparoscopic surgery for early gastric cancer: Five year experience. World J Surg 1999; 23: 187-193.
- Ono H, Kondo H, Gotoda T, Yamaguchi H, et al. Endoscopic mucosal resection for treatment of early gastric cancer. Gut 2001; 48: 225-229.
- Otsuji E, Toma A, Kobayashi S, et al. Outcome of prophylactic radical lymphadenactomy with gastrectomy in patients with early gastric carcinoma without lymph node metastases. Cancer; 2000; 89: 1425-1430.
- Saha S, Wiese D, Badin J, Beutler T, et al: Technical details of sentinel lymph node mapping in colorectal cancer and its impact on staging. Ann Surg Oncol 2000; 7: 120.

# CAPITULO VII MISCELÁNEAS

- I. Tumores del tracto aerodigestivo superior
- II. Tiroides
- III. Tumores cutáneos "no melanoma"
- I. Tumores del tracto aerodigestivo superior (TADS)
- ¿Cuál es el valor del estado ganglionar en los tumores del TADS y el mejor métodos para el diagnósticos de metástasis ganglionares subclínicas?
- 2. ¿En qué pacientes está indicado?
- 3. ¿Cómo se realiza el mapeo linfático?
  - a) Linfocentellografía preoperatoria
  - b) Mapeo linfático intraoperatoria
- c) Estudio anátomo patológico
- Experiencia publicada
- 5. Nuestra experiencia
- 6. Conclusiones
- ¿Cuál es el valor del estado ganglionar en los tumores del TADS y el mejor método para el diagnóstico de metástasis ganglionares subclínicas?
- La presencia de metástasis en los ganglios linfáticos regionales de tumores del TADS es el factor pronóstico más importante en el desarrollo de enfermedad a distancia reduciendo la supervivencia en un 50%?
- El d'renaje ganglionar de las distintas localizaciones anatómicas es predecible en la mayoría de los casos. Las lesiones laterales d'renan preferentemente a los ganglios homolaterales. Las próximas a la línea media tienen hasta un 30% de d'renaje bilateral. Los tumores de la cavidad oral d'renan más frecuentemente a los niveles I-II y los tumores de orolaringe a los niveles III-IV<sup>7</sup>. Melástasis en el nivel Y se encuentran en el 7% de los tumores de hipodaringe, 6% orolaringe, 2% laringe y 1% cavidad oral<sup>7</sup>. Veinte por 100 de los pacientes con lesiones de la cavidad oral presentan metástasis en los ganglios yugulares medios o inferiores, sin compromiso de estaciones ganglionares intermedias.
- La evaluación clínica del cuello es falible (sensibilidad y espeficidad de 60-70%<sup>3,8</sup>, falsos positivos y negativos del 20 al 30%). El uso

- combinado de la ecografía, la TAC y la RNM reduce estos porcentajes a un 10-15%<sup>3,3</sup> A pesar de los avances del diagnóstico por imagenes, ninguna de las técnicas actualmente disponibles permite diagnosticar metástasis ocultas ganglionares y mucho menos diferenciar un ganglio aumentado de tamaño por hiberolasía de uno tumoral.
- La probabilidad de metástasis ocultas (entre un 15 y 60%)<sup>17</sup> depende de la localización, tamaño, espesor, profundidad de invasión, invasión vascular y neural, ploidía y anglogénesis del tumor de (glótis menor al 10%, nasofaringe 50%, cavidad oral, orofaringe o supraglóticos entre 20 a 50%)<sup>2</sup>.

Debido a la falibilidad de los métodos de detección de metástasis ocultas y al hecho que el tratamiento de la enfermedad temprana en el cuello conlleva mejor pronóstico que la tardía<sup>14</sup>, es aceptado el tratamiento del cuello N0 cuando el riesgo de enfermedad ganglionar es mayor al 20%.

 El estudio convencional de las piezas quirúrgicas de los vaciamientos electivos subdiagnostica la presencia de las metástasis ocultas. Estudios con cortes multiseriados permiten diagnosticar desde un 7-8% de metástasis ocultas\* y hasta un 15% con técnicas de IHQ. Brennan® usando RT-PCR para la identificación de mutaciones del gen p53 modifica la estadificación en cuatro de 5 pacientes.

Si bien en los últimos años se ha focalizando el tratamiento sobre aquellos pacientes con ganglios con alto riesgo de metástasis (vaclamiento ganglionar electivo), un numeroso grupo de enfermos recibirán un vaclamiento ganglionar innecesario.

El ML y la BGC se presenta como una técnica en evolución que permitiría identificar los pacientes con metástasie ganglionares ocultas, en quienes se realizaria una disección terapéutica de cuello, evitando los vaciamientos ganglionares electivos y reduciendo las secuelas funcionales y estéticas.

Sus ventajas son:

- Identificación segura del nivel ganglionar de riesgo.
- Aplicación sobre el GC de técnicas anátomo patológicas especializadas.

El vaciamiento ganglionar se realizaría ante la presencia real de metástasis y no por su riesgo teórico. Solamente pacientes con metástasis demostradas recibirían tratamiento, evitándolo en 55 a 85% restante sometidos al riesgo pero no afectados.

## En síntesis:

- La presencia de tumor en los ganglios linfáticos regionales es el factor pronóstico más importante.
- La probabilidad de metástasis ocultas oscila entre un 15 y 60%.
- El estudio convencional de las piezas quirúrgicas de los vaciamientos electivos subdiagnostica la presencia de las metástasis ocultas.
- El ML y la linfadenectomía selectiva permitiría identificar los pacientes con metástasis ganglionares ocultas

# 2. ¿En qué pacientes está indicado?

Está indicado en pacientes con enfermedad temprana y cuello clínicamente negativo (Estadio I- II AJCC), que pueden beneficiarse con un vacamiento ganglionar cervical ante el hallazgo de ganolio/s metastático/s.

Debe considerarse una contraindicación restiva la realización de tratamientos previos, codo a la alteración del drenaje linfático, tal cua demostró Chiesa " analizando pacientes en los cue les se practicó el vaciamiento ganglionar ofiera un mes después de la resección del primario.

#### Esta indicado en:

- Estadio I-II AJCC (T1-2 N0)
   Contraindicación relativa:
  - Tratamientos previos

# 3. ¿Cómo se realiza el mapeo linfático?

- a) Linfocentellografía preoperatoria
- b) Mapeo linfático intraoperatorio
- c) Estudio anátomo patológico
- a) Linfocentellografía preoperatoria. Aproximadamente dos horas antes de la cirugía, se invectan en la submucosa, afrededor al tumor, 0.5-1.0 mCi del radiofármaco elegido en un volumen de 0.5 a 1 ml, distribuidos en cuatro inyecciones equivalentes. Debido a que la inyección provoca ardor y eventualmente dolor, se realiza una anestesia tópica con lidocaina al 4%.
  - Inmediatamente luego de la inyección, se obtienen imágenes dinámicas en cámara gamma, en sentido anterior y lateral hasta visualizar captación por parte del GC. Para facilitar su identificación se cubre la zona de inyección con alta radiactividad, con un protector de plomo a fin de minimizar el enmascaramiento del ganglio.
  - La LCP se usa para tener información preoperatoria sobre el número de ganglios y su localización (Fig. I.1)
- b) Búsqueda intraoperatoria. En quirófano y bajo anestesia general, se inyecta 1ml de azul patente al 3% en la submucosa periférica al tumor. El punto de máxima captación en el cuello se identifica mediante el uso del gamma-probe. Debido a que la captación elevada del sitio de inyección puede obstaculizar la identificación del GC en los primeros niveles ganglionares, es aconsejable luego de unos minutos de la inyecse.



FIGURA I.2
Inyección intraoperatoria de azul patente 3% perilesional. Previamente se habían inyectado 1 mCl de radoccoloide.



FIGURA I.3 Disección en el cuello sobre el punto de máxima captación y búsqueda con gammaprobe

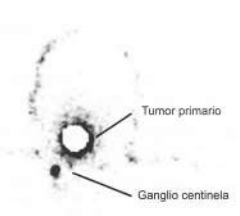


FIGURA I,1 Linfocentellografía Ca. de borde lateral derecho de lengua. GC cervical sector III

ción de azul patente, extirpar el tumor primario. A través de una corta incisión sobre el trazo de la programada para la disección ganglionar, se identifica el GC y se procede a su extirpación, enviándolo a anatomía patológica por separado. Se confirma el descenso de los niveles radiactivos en el cuello a fin de descartar la existencia de otros GC. Se completa la cirugía reatizando el vaciamiento ganglionar (Fig. 12-3).

izando el vaciamento ganglionar (rig. 1.2-3).

Estudio anátomo patológico. Se realiza el estudio convencional de la pieza quirúrgica. Si el GC es negativo con H&E, se estudia con contes multiseriados e IHO. Esta metodología aumenta en un 20% la detección de metástasis\*.

- · LCG preoperatoria.
  - Búsqueda intraoperatoria:

Simple: colorante o radiofármaco. Combinada: Colorante y radiofármaco. Colorante 1 ml

Radiofármaco 0.5-1.0 mCi. Invección intraoperatoria perilesional.

 Examen anátomo patológico con: H&E, cortes multiseriados e IHO.

## 4. Experiencia publicada

La primera comunicación en la liferatura corresponde a Alex y Krag en 1996. Emplearon radiofármaco en un paciente portador de un carcinoma supraglótico<sup>1</sup>. Desde entonces diferentes autores publicaron series poco numerosas con resultados alentadores.

La tasa de identificación del GC es variable (Tabla 1.1). Porcentajes más aitos se obtuvieron con el uso de radiofármacos. Alex<sup>2</sup> y Taylor<sup>22</sup> si bien con escaso número de enfermos, usando Tc99 sulfuro coloidal, identifican el GC en el 100% de los casos. Mozzillo<sup>44</sup> con el uso combinado de radiofármacos y colorante tiene un porcentaje del 95%.

Por el contrario, el uso exclusivo de colorante, no logró identificar ganglios on en las 2 series publicadas. Pitman<sup>17</sup> estudia 16 pacientes NO y N1,inyectando isosulfan blue, no logrando identificar el GC en ninguno de ellos. Atribuye el fracaso a: 1) Difficultades en la invección del colorante y

TABLA I.1

Resultados del ML en el cáncer de cel escamosas del TADS

	n	Técnica	Tasa de identificación	GC/pte.	GC positivos	Tasa Falsos neg
Pitman, 199817	16	C	0%	141		0+0
Koch, 199815	5 (NO)	RC	40%	2	i	
Bilchik, 1998 <sup>s</sup>	5	C	100%	1.8	1	Ss
Shoaib, 199920	6	C	0%			
	9	RC+C	0%			0
Alex, 20002	8 (NO)	RC	100%	5.7*	1/8 (12%)	0 Ss
Taylor, 2001=1	9 (NO)	RC	100%	2	4 (44%)	0 Ss
Mozzillo, 200116	41 (NO)	RC+C	95%	1.1	4 (10%)	20%
Stoeckli, 200133	19 (NO)	RC	100%		6 (32%)	0 Ss
Shoaib, 200119	40	RC+C	90%	2.2	16%	1 (6%)
FICSNB, 200118	316**		95%		76 (26%)	8 (4%)
Autores (no publ.)	4	C				
	12	RC+C	100%		3 (18%)	2 (40%)

Ss: Sin seguimiento. \*Incluye 6 vaciamientos bilaterales. \*\* Cuellos tratados.

un volumen insuficiente; 2) Excesivo tiempo transcurrido entre la inyección y la búsqueda; 3) Los ganglios se lifne durante unos 15' siendo necesario reinyectar el colorante; 4) Ambigüedad del drenaje linitático en el cuello; 5) Falta de localización radioistópica preoperatoria. Shoaib® realiza primero 6 pacientes con colorante con resultado negativo; y luego 9 pacientes con radiofármaco, identificándolo en el 100% de los casos.

Una ventaja adicional del ML fue que permitió doterminar drenajes linitáticos a territorios no convencionales, más allá del territorio ganglionar supuesto (nivel IV-V), hasta en el 22% de los casos<sup>23, 16</sup>. Las metástasis en estos sitios no deben considerarse "skip" metástasis. Este concepto se basa en el concepto anatómico de distribución ganglionar, mientras que el ML está basado en la evidencia funcional del drenaj del de renaj de renaj del de renaj de renaj del del renaj del del renaj del del renaj del de renaj del del renaj del del

El estudio de los falsos negativos es importante para evaluar la efectividad de la técnica. La mayoría de las series realizan el vaciamiento ganglionar luego del ML, no habiendo falsos negativo. Sin embargo Mozzillo, <sup>16</sup> en la única serie con seguimiento de hasta 58 meses, registra una metástasis ganglionar contrálateral a los 10 meses de la circula (falso negativo 20%).

El análisis de las presentaciones de 22 centros en la "First International Conference on Sentinel Lymph Node Biopsy in Mucosaf Head and Neck Cancer'en Canniesburn, Glasgow, Reino Unido, constituye la contribución más importante sobre el tema", incluyen 316 cuellos No con ML y posterior vaciamiento electivo. Los resultados conjuntos son comparables a la estadificación con un vaciamiento de cuello. Sin embargo aquellos centros con menos de 10 casos tuvieron una sensibilidad menor (57% vs 94%) respecto de centros con mayor primero de casos.

## 5. Nuestra experiencia

Desde el año 1998 a la fecha realizamos el procedimiento en 16 pacientes (mujeres: 10; hombres: 6) con carcinoma de células escamosas de borde lateral de lengua (T1: 10; T2: 6), sin tratamientos previos. Todos realizaron LCP El fILI se realizó con azul patente 3% en 4 enfermos, y con técnica combinada (C y RC) en 12. La tasa de identificación fue del 100% (C: 4; RC; 2; C+RC; 10). Se localizaron en nivel I: 8: II; 2: III; 6. En 12 enfermos se complementó la resección radical del tumor primario con un vaclamiento de cuello. Tres pacientes tuvieron GC positivo en el estudio con H&E. En el vaciamiento realizado acompañando el ML no se hallaron GnoC con metástasis. Dos pacientes, en el inicio de la serie, (T1) con GC negativo y sin vaciamiento de cuello, presentaron metástasis cervicales durante el seguimiento (tasa de falsos negativos: 40%), y fallacieron por la enfermedad.

Los resultados publicados si bien preliminares. son alentadores. Muestran la factibilidad del método v una alta sensibilidad v espeficidad. De confirmarse, en el futuro se podrá lograr una estadificación certera mediante un procedimiento minimamente invasivo, brindando información precisa para la indicación quirúrgica o tratamiento radiante complementario. Con el uso exclusivo de colorante el hallazgo del GC puede ser dificultoso por ser un territorio con drenaie linfático muy variable. Es difícil precisar la localización, el número de ganglios y sí el ganglio extraido es realmente el primero. Un problema adicional es que los ganglios se tiñen por un período que puede ser menor al requerido para su identificación, por lo cual es necesario reinyectar la lesión. Por el contrario con el uso solamente de radiofármacos los resultados parecen ser óptimos con tasas de identificación cercanas al 100%.

#### 6. Conclusiones

- La identificación del GC en tumores del TADS es factible. El uso de radiofármacos permite su identificación en un porcentaje mayor al 95%.
- Proporciona una metodología miniinvasisva que mejora la estadificación por sobre los procedimientos no invasivos disponibles (palpación, imágenes).
- Los resultados expuestos, si bien promisorios no tienen aun fuerza estadística como para validar el procedimiento.
- Teniendo en cuenta que es una técnica en desarrollo es necesario todavia, la realización de los procedimientos actualmente aceptados.

## Bibliografía

- Alex JC, Krag DN: The gamma probe guided resection of rediclabeled primary lymph nodes. Surg Oncol Clin N Am 1996; 5: 33-41.
- 2. Alex JC, Sasaki CT, Krag DN, et al: Sentinel lymph node

124: 455-459.

- radiolocalization in head and neck squa-mous cell carcinoma. Laryngoscope, 2000; 110; 198.
- All S, Tiwari RM, Snow GB: False positive and false negative neck nodes. Head and Neck Surgery 1985; 8: 78-82
- Ambrosh P, Kron M, Fisher G, et al: Micro-metastases in carcinoma of the upper aero-digestive tract: Detection, risk of metastasizing, and prognostic value of depth of invasión. Head Neck 1985; 17:473
- Bichik AJ, Giuliano A, Essner R, et al: Universal application of Intraoperative lymphatic mapping and sentinel lymphdenectomy in solid neoplasms. Cancer J Scient Am 1998; 4: 351-58.
- Brennan JA, Mao L, Hruban RH, et al: Molecular assesment of histophathological staging in squamouscell carcinoma of the head and neck. N Engl J Med 1995; 332: 429
- Byers RM: Modified neck dissection: a study of 967 cases from 1970 to 1980. Am J Surg 1985; 150: 414.
   Byers RM: Modified neck dissection: a study of 967
- cases from 1970 to 1980. Am J Surg 1985; 150: 414.

  9. ByersEl-Naggar AK, LeeYY, et al: Can we detect or predict the presence of occult nodal metastases in patients with squamous carcinoms of the oral tongue.
- Head and Neck Surg 1998; 20: 138-44. 10. Chiesa F, Botti G, et al: Sentinel node biopsy in head
- and neck cancer. Ann S Oncol 2001; 8(9\$): 103-105 11. Chiese F, Maurl S, Grana C, et all is there a role for sentinel node biopsy in early N0 tongue tumors? Surgery 2000; 128: 15-21.
  - Davidson BJ, Kulkarny V, Delacure MD: Posterior triangle metastases of squamous cell carcinoma of the upper aerodigestive tract. Am J Surg 1993; 166: 395.
  - Friedman M, Mafe MS, Pacella BL, et al: Rationale for elective neck dissection in 1990. Laryngoscope 1990; 100: 54.)
  - 14. Haddain KJ, Soutar DS, Oliver RJ et al. Improved

- survival for patients with clinically T1-2 N0 tongue tumors undergoing a prophylactic neck dissection. Head
- Neck. 1999; 21: 517-525.

  15. Koch WM, Choli M, Civelek AC, et al: Gamma probe directed biopsy of the sentinel node in oral squamouscell carcinoma. Arch Otolaryngol Head Neck Surg. 1998;
- Mozzillo N, Chiesa F, Botti G, et al: Sentinel node biopsy in head and neck cancer. Ann S Oncol 2001; 8(9S): 102-105.
- Pitman KT, Jonson JT, Edington H, et al: Lymphatic mapping with isosulfan blue diye in squamous cell carcinoma of the head and neck. Arch Otolaryngol Head Neck Surc: 1998; 124: 790
- Ross GL, Shoalb T, Soutar DS, et al "First International Conference on Sentinet Lymph Node Biopsy in Mucosal Head and Neck Cancer and Adoption of a Multicenter Trial Protocol", Ann. S Oncol 2002; 9: 406-410.
- Shoaib T, Soutar DS, MacDonald Gordon P et al. The accuracy of head and neck carcinoma sentinel node lymph node biopsy in the clinically NO neck. Cancer 2001; 91: 2077-2083.
- Shoalb T, Soutar DS, Prosser JE, et al: A suggested method for sentinel node blopsy in squamous cell carcinoma of the head and nock. Head and Neck 1999; 21: 728-733.
- Spiro RH, Gallo O, Shah JP. Selective jugular node dissection in patients with squamous carolnoma of the larynx or pharynx. Am J Surg; 199; 166: 399.
- Stoeckli SJ, Steinert H, Pfaltz M, Schmid S: Sentinel lymph node evaluation in squamous cell carcinoma of the head and neck. Otolaryngol Head Neck Surg 2001; 125: 221-6.
- Taylor RJ, Wahl RL, Sharma PK, et al: Sentinal node localization in oral cavity and oropharynx squamous cell cancer, Arch Otolaryngol Head Neck Surg, 2001, 127: 070

#### II. Tiroides

- ¿Qué significado tienen las metástasis ganglionares en cáncer diferenciado de tiroides (CDT)?
- 2. ¿Cuál es el mejor método para el diagnóstico de metástasis ganglionares?
- 3. Drenaje linfático tiroldeo
- 4. ¿En que pacientes podría realizarse?
- 5. ¿Cómo se realiza el mapeo linfático en el cáncer diferenciado de tiroides?
- 6. Experiencia publicada
- 7. Conclusiones
- ¿Qué significado tienen las metástasis ganglionares en el cáncer diferenciado de tiroides (CDT)?

El significado pronóstico de las metástasis gangionares y su manejo en el cáncer diferenciado de tíroldes (CDT) continua siendo controversial. Esto es debido a que la historia natural de la enfermedad, hace necesarios largos períodos de sequimiento difficultando la elaboración de estudios prospectivos randomizados, que puedan evaluar científicamente distintos tratamientos.

 Numerosas publicaciones comunican la ausencia de correlación entre la presencia de metástasis ganglionares y mortalidad; a. La supervivencia en pacientes tratados con disercción electiva o terapéutica es similar. 19, El compromiso ganglionar tiene un comportamiento indolente, a menos que no esté asociado con otros factores de riesgo. En contraste con el carloros factores de riesgo. En contraste con el carcinoma papilar (CPT), tanto en el carcinoma folicular (CFT) como en el medular se publican aumentos de la mortalidad asociados a metástasis ganglionares<sup>20, 20, 9</sup>. En pacientes mayores de 40 años las metástasis ganglionares disminuven la sucervivencia.<sup>24, 4</sup>

- El compromiso ganglionar se asocia a una mayor recurrencia local en el CPT, CFT y el carcinoma de células de Hurthle (19% vs. 2%) llegando a un 30-50% al cabo de 10 años³x²x. Por otra parte, los ganglios cervicales son el lugar más frecuente de recurrencia (84% de los pacientes)³u.³x.
- Aproximadamente entre un 50% a 90% de los enfermos con CDT presentan ganglios histológicamente positivos luego de vaciamientos ganglionares electivos<sup>3</sup>. Noguchi<sup>24</sup> comunica que el 69% de los pacientes con CPT menores a 1 cm, en quienes se realizó una disección electiva presentaban metástasis ganglionares.

El manejo de los ganglios cervicales varia entre la observación clínica, la disección ganglionar modificada electiva de cuellos<sup>2,1,2,5</sup>, la biopsia de adenomegalias sospechosas<sup>20</sup> y la extirpación ganglionar del compartimiento central<sup>12</sup>. Este último si bien permite diagnosticar la mayoría de los pacientes con metástasis, se asocia a un mayor porcentaje de lesión recurrencial e hipoparatiroidismo<sup>11</sup>, como también ocurre en las reoperaciones. La disección solamente del compartimiento central, confleva la posibilidad de no resecar la totalidad de los ganglios comprometidos dado que hasta en un 80% de los casos puede haber micrometástasis en los ganglios yugulares.

- En grupos de alto riesgo el compromiso ganglionar se asocia a mayor recurrencia locorregional y mayor mortalidad.
- Los vaciamientos electivos diagnostican un alto porcentaje de micrometástasis.
- Los vaciamientos ganglionares se asocian a mayor morbilidad.

# 2. ¿Cuál es el mejor método para el diagnóstico de metástasis ganglionares?

El método de detección de las metástasis ganglionares es variable y no estandardizado. La minuciosa búsqueda intraoperatoria y su estudio anátomo patológico es el "gold standard". Sin embargo cuán efectivo es el juicio del cirujano para el diagnóstico, es dificil de evaluar. Diferentes estudios muestran una falta de correlación entre la evaluación clínica intraoperatoria y el resultado histológico de los ganglios extirpados. El diagnóstico de metástasis ocultas puede llegar a un 80% dependiendo de la magnitud de la disección ganglionar<sup>13</sup>,

La palpación intraoperatoria consecuentemente no es un procedimiento diagnóstico efectivo,

Entre un 3% y un 30% de los pacientes con CPT en quienes no se realiza una exploración sistemática del cuello desarrollarán metástasis ganglionares.

En esta línea argumental seria lógico pensar en un procedimiento que permita identificar a los pacientes con metástasis ganglionares ocultas. En 1998, Kelemen del John Wayne Cancer Institute, realizó la primera publicación sobre el uso del ML en CDT<sup>II</sup>, y lo propuso como un método facibio para identificar metástasis ganglionares ocultas.

- La biopsia intraoperatoria de adenomegallas sospechosas es el "gold standard" para la identificación de ganglios con micrometástasis.
- El ML en CDT se propone como un método que permitiria identificar con mayor exactitud aquellos pacientes en riesgo de tener metástasis ganglionares ocultas.

# 3. Drenaje linfático tiroideo

El territorio ganglionar asiento de las metástasis es variable (Fig. II.1). El istmo tiroideo y los polos inferiores de ambos lóbulos drenan primariamente en los ganglios prelaringeos y paratraqueales homolaterales, y luego a los ganglios mediastinales altos, y pueden en algunas oportunidades drenar al lado contralateral. El resto de la glándula drena primariamente a los ganglios yugulares superiores, medios e inferiores homolaterales<sup>27</sup>. Bioqueos linfáticos por metástasis pueden alterar estos patrones normales. En un 80-90% de los casos están comprometidos los ganglios paratraqueales homolaterales y la cadena yugular, 15% los ganglios me-

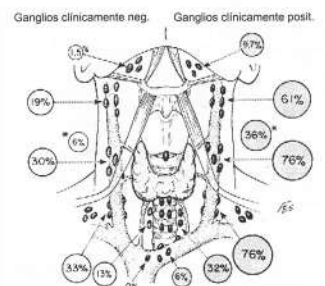


FIGURA II.1

Patrones de compromiso ganglionar en CDT. En los estadios tempranos la diseminación se hace primariamente a los ganglios centrales e inferiores del cuello. En los estadios más avanzados, hacia los compartimentos laterales superiores.

Modificado de Frazell EL. Papillary thyroid carcinoma: Pathological findings in cases with and without clinical evidence of cervical node involvement. Cancer: 1164:1955

diastinales, y en un 30% el compromiso es bilate-

Sahin<sup>50</sup>, mediante el uso de Tc<sup>50</sup> nanocoloide encontró que 30% de los pacientes drenaban a los ganglios paratraqueales y yugulares homolaterales, 60% a un solo territorio en la cadena yugular, 10% al lado contralateral.

# 4. ¿En qué pacientes podría realizarse?

Por ser el ML un método en desarrollo deberá realizarse dentro de ensayos clínicos controlados. Podria indicarse en:

- Grupos de alto riesgo, en los cuales permitiría identificar los pacientes con metástasis ganglionares ocultas y mayor probabilidad de recurrencia local.
- 2) Cambio táctica quirárgica. En pacientes en quienes por las características del tumor se realiza una lobectomía, el diagnostico de metástasis ocultas permitiría cambiar la táctica hacia una tiroidectomía total, facilitando el seguimiento postoperatorio con dosajes de tiroglobulina y centellografía con 1<sup>91</sup> en la búsqueda de recurrencia local o metástasis a distancia.

 Carcinoma medular de tiroides, en el cual la incidencia de metástasis ocultas es alta, y podrían beneficiarse de una linfadenectomia temprana.

#### Estaria indicado en:

- · Grupos de alto riesgo
- Cambio táctica quirúrgica
   Carcinoma medular de tiroides
- ¿Cómo se realiza el mapeo linfático en el cáncer diferenciado de tiroides?

Se puede realizar con la técnica simple, colorante o radiofármaco, o la técnica combinada con ambos marcadores.

Se aborda la glándula de la forma habitual. Pervia identificación con una mínima disección del nervio recurrente y de ambas paratiroides homolaterales,
se inyecta directamente en el nódulo tiroideo, 0.1 a
0.8 ml de Colorante<sup>10</sup>. Inmediatamente se ven
canalículos linfáticos en el tejido periglandular, dirigiéndose a los ganglios del compartimiento central,
o atravesando el mismo hacia el mediastino superior o los territorios yugulares. Una vez identificados
elflos GC teñidos de azul, se extraen y envían para
una biopsia por congelación. Se harán tinciones con
H&E e IHQ para tiroglobulina o calcitonina, a fin de
diagnosticar micrometatsais.

El ML también se puede realizar inyectando un radiofármaco en el nódulo tiroideo varías horas antes de la cirugía. Se obtienen imágenes dinámicas inmediatas y luego en plano anterior, lateral y oblicuas o con SPECT. La glándula tiroides se extirpa antes de la búsqueda ganglionar para evitar el enmascaramiento de los ganglios por la radiactividad del lugar de inyección.

- Técnica: Simple: colorante o radiofármaco.
   Combinada: Colorante y radiofármaco.
- · Colorante: 1 ml.
- Radiofármaco: 0.5-1.0 mCl.
- Inyección intraoperatoria directamente en el

#### 6. Experiencia publicada

Las series más importantes publicadas se resumen en la tabla II.1.

TABLA II.1 Resultados del mapeo linfático en CDT.

Investigador	n	Tasa de identificación	Efectividad	Tasa de falsos neg.	GC posit.
Kelemen 1998 <sup>18</sup>	17	88%	(11/12) 93%*	(1/6) 16%*	(5/12) 42%
Dixon 2000*	40	65%	(8/10) 80%*	(2/8) 25%*	(6/10) 60%
Fukui 200110	22	90%	(21/21) 100%	0	33%
Pelizzo 200126	29	76%	(22/22) 100%	0	(4/22) 18%
Arch 20012	22	90%	(18/20) 90%	(2/14) 14%	(12/20) 60%
Rettenbacher 2000 <sup>18**</sup>	9	78%	(6/6)*100%	0	2/6 33%

<sup>\*</sup> Se calcula sobre los pts. con CT en quienes se identifico el GC. \*\* Solo radiofármaco

La tasa de identificación varió entre el 65 y el 90%. En el 10-12% de los casos no se halló ganglio teñido. Los canalículos coloreados atraviesan el compartimiento central, y se dirigen tuera del campo quirúrgico, hacia el mediastino superior o los compartimentos laterales del cuello, La efectividad varió entre el 80% y 100%.

El número de ganglios encontrados es variable y oscila entre 1 y 5 (promedio 2), siendo la ubicación preferentemente paratraqueal (75%),

El porcentaje de pacientes con metástasis ganglionares varió entre el 33 y el 60%, porcentaje este último concordante con las cifras de metástasis ganglionares en los vaciamientos electivos.
El verdadero número de falsos positivos es desconocido, dado que a no todos los pacientes se les realiza un vaciamiento gandiionar.

La experiencia con el uso de radiofármacos (Tc99 nanocoloide) es menor que con colorante<sup>11.</sup>

<sup>28</sup>, y no hay conclusiones definitivas. La tasa de identificación con colorante es lo suficientemente alto como para suponer que el uso de radiocoloide no aportaría ventajas.

En nuestro medio no hay experiencia publicada con el método. Los Relatores realizaron el procedimiento en 11 pacientes, cuatro con diagnóstico preoperatorio de cancer de tiroides y 7 con noducio sospechosos por citología. Se empleó 1-3 cc azul patente al 3%, en un volumen variable. El procedimiento nos ha resultado engorroso. La inyección colorante itile ràpidamente los tejidos adyacentes, la tinción ganglionar es muy tenue y lava muy ràpidamente, con lo cual se difficulta su identificación. Se individualizaron ganglios teñidos en 3 paciente (27%). El total de ganglios haliados fue de 5, todos paratuqueales recurrenciales y ninguno con metástasis. En

2 casos se individualizó el canalículo linfático siguiéndolo hasta su entrada en el mediastino.

## 7. Conclusiones

- · El mapeo linfático en CDT es en la escasa
- experiencia publicada factible y seguro.

  El uso de colorantes permite porcentajes de identificación homologables a la experiencia inicial en otras patologías.
- El uso de radiofármacos no parece mejorar la tasa de identificación con colorante.
- La real utilidad del procedimiento todavía debe precisarse, requiriéndose estudios clinicos con casuística y seguimiento adecuados.
- Los autores no hemos podido repetir los resultados publicados.

# Bibliografía

- Arch-Ferrer J, Velásquez D, Fajardo R, Gamboa-Dominguez A and Herrera MF. Accuracy of sentinel lymph node in papillary thyroid carcinoma. Surgery. 2001; 130: 907-13.
- Attie JN, Khafif RA, Stecker RM. Elective neck dissection in papillary carcinoma of the thyroid. Am J Surg. 1971; 122: 464-471.
- Cady B, Rossi RL, Silverman M, Wool M. Further evidence of the validity of risk group definition in differentiated thyroid carcinoma. Surgery. 1985; 98: 1171-1178.
- Cady B, Rossi RL. Surgery of the thyroid and parathyroid glands. Saunders Company, 3rd Edition, 1991.
- Catarci M, Zaraca F, Angeloni R, Manzini B, de Filippo MG, et al. Preoperative limphoscintigraphy and sentinel lymph node biopsy in papillary thyroid cancer. A pilot
- study. J Surg Oncol 2001; 77: 21-4.
  7. DeGroot LJ, Kaplan EL, Mc Cormick M Straus FH.
  Natural history, treatment and course of papillary thyroid
  carcinoma. J Clin Endocrinol Metab. 1990; 71: 414.
  - B. Dixon E, Mc Kinnon G, Pasieka JL, Feasibility of sentinal node biopsy and lymphatic mapping in nodular

- thyrold neoplasms. World J Surg 2000; 24: 1396-1401, 9. Ellenhorn JDI, Shah JP, Brennan MF. Impact of therapeutic regional lymph node dissection for medullary car-
- cinoma of the thyroid gland. Surgery, 1993; 114: 1078. 10. Fukui Y, Yamakawa T, Toshikatsu T, et al. Sentinel node blopsy in patients with papillary thyroid carcinoma. Cancer 2001: 92: 2888-2874.
- Gallowitsch HJ, Mikosch P, Kresnik E, et al: Lymphoschiftgraphy and gamma probe-guided surgery in pspillary thyroid carcinoma: The sentinel lymph node concept in thyroid carcinoma. Clin Nucl Med 1999; 24: 744.
- González Aguilar O. Cancer de tiroldes, Número extraordinario, Rev Argent Cirug, 1997.
- Grebe SKG, Hay ID. Thyroid cancer nodal metastases: biologic significance and therapeutic considerations. Surg O Clinics North A 1996; 5: 43-63.
- Hamming JF, Van De Velde CJH, Fleuren GJ, Gosligs BM: Differentiated thyroid cancer: a stage-adapted approach to the treatment of regional lymph node metastasis. Eur J Cancer Clin Oncol. 1988; 24: 325.
   Hamming JF, van de Velde CJH, Goslings BM, et al:
- Peroperative diagnosis and treatment of metastases to the regional lymph nodes in papillary carcinoma of the thyroid cancer. Surg Gynecol Obstet 1983, 199: 107. 16. Hardwood J, Clark OH, Dunphy JE. Significance of
- 16. Hardwood J, Clark OH, Duspin JE. Significance of lymph node metastas in differentiated thyroid cancer. Am J Surg 1976; 136: 107-110.
- Harness JK, Thompson NW, McLeod MK et al. Differentiated thyroid carcinoma in children and adolescents. World J Surg 1992; 16: 547.
- Kelemen PR, Van Herle AJ, Giuliano AE. Sentinel lymphadenectomy in thyroid malignant neo-plasms: Arch Surg 1998; 133:288.
- Leeper RD. Thyroid cancer. Med Clinic North Am 1985;
   1079-1096.
- Mazzaferri EL, Jhiang SM. Long-term impact of initial surgical and medical therapy on papillary and follocular thyroid cancer. Am J Med. 1994: 97: 418.
- III. Tumores cutáneos "no melanoma"
- 1. Carcinoma de células escamosas
- 2. Carcinoma de células de Merkel (CCM)
- 3. Conclusión

Los tumores malignos cutáneos "no-melanoma" son los más frecuentes de la piel. Aproximadamente 80% son carcinomas basocelulares, y 20% carcinomas de células escamosas. Un tercer tumor muy poco frecuente, del cual hay 600 casos registrados en la literatura, es el carcinoma de células de Merckel. Los dos últimos por la posibilidad que tilenen de dar metástasis ganglionares son los que analizaremos.

#### 1. Carcinoma de células escamosas

Estos tumores se diagnostican habitualmente en estadios tempranos de la enfermedad. Si bien de

- Mazzaferri EL, Young RL, Oertel JE et al: Papillary thyroid carcinoma: the impact of therapy. Medicine 1977; 58: 171.
   Mc Henry CR, Rosen IB, Walfish PJ. Prospective man-
- Mc Henry CR, Rosen IB, Walfish PJ. Prospective management of nodel metastasis in differential thyroid cancer. Am J Surg. 1991; 162:353.
- McHenry CR, Rosen IB, Walfish PG. Prospective management of nodal metastases in differential thyroid cancer. Am J Surg 1991; 162: 353-356.
- Noguchi S, Murakami N. The value of lymph node dissection in patients with differentiated thyroid cancer. Surg Clin North Am. 1987; 67: 251.
   Noguchi S, Noguchi A, Murakami N. Papillary carcino-
- Noguchi S, Noguchi A, Murakami N. Papillary carcinoma carcinoma of the thyroid. II. Value of prophylactic lymph node excision. Cancer. 26:1061, 1070.
- Pelizzo MR, Boschin IM, Toniato A, Brnante P, et al. The sentinel node procedure with patent blue V dye in the surgical treatment of pepillary thyroid carcinoms. Acta Otolaryngol 2001; 121:421-4.
- Pollack RS: Cervical lymph node metastasis of thyroid cancer, Am J Surg 1961; 102: 388.
- Rettenbacher L, Sungler P, Gmeiner D, et al. Detecting the sentinel lymph node in patients with differentiated thyroid carcinoma. Eur J Nucl Med 2000; 27: 1399-401.
- Saha AR, Loree TR, Shah JP. Prognostic factors and risk group analysis in follicular thyroid. Surgery, 1995; 118: 1131-1138.
- Sahin M, Yapici O, Dervisoglu A, Basoglu T et al.: Evaluation of lymphatic drainage of cold thyroid nodifies with intrahumoral injection of Tc-99 nanocolloid. Clin Nucl Med 2001; 26: 602.
- Scheumann GFW, Gimm O, Wegener G, et al. Prognostic significance and surgical management of locaregional lymph node metastases in papillary thyroid carcinoma. World J Surg. 1994; 18: 559.
- Tubiana MM, Rougier P, Laplanche A, et al. Long term results and prognostic factors in patients with differentiated thyroid carcinoma. Cancer, 1985; 55: 794-804.

buen pronóstico, pueden recurrir (8%) y dar metástasis ganglionares (5% a 5 años)<sup>1</sup>. El factor pronóstico más importante es la presencia de enfermedad metastásica, manifestada inicialmente en el 80% de los casos en los ganglios linifáticos regionales.

Distintos factores se han estudiado a fin de evaluar el riesgo de metástasis: tamaño, localización, recurrencia, patrones histológicos, etiología, etc.

a) Tamaño. El incremento del tamaño se asocia a mayor probabilidad de metástasis ganglionares y consecuentemente peor pronóstico. Treinta por ciento de las lesiones mayores a 2 cm de diámetro dan metástasis con una frecuencia fres veces superior que las de menor tamaño.<sup>15</sup>.

- b) Localización. Los tumores localizados en pabellón aurícular y labio tienen comportamiento agresivo pudiendo dar metástasis en ganglios regionales entre el 10 y 25%. Otras localizaciones con tendencia similar son el cuero cabelludo, sien, narinas y dorso de manos pene, escroto y ano.
  - Los originados en cicatrices de quemaduras o heridas crónicas (úlceras, osteomielitis, lesiones de irradiación,) se asocian con un riesgo de metástasis de hasta el 40% <sup>15</sup>.
- c) Recurrencia local. Las recurrencias locales duplican la posibilidad de metástasis, desde el 25%, en la mayoría de las localizaciones, hasta el 30-45% en pabellón auricular y labios<sup>8</sup>.
- d) Estado inmunitario. El riesgo de metástasis en pacientes inmunosuprimidos (transplantados) es mayor al 10% 6
  - El grado de diferenciación pobre<sup>18</sup>, la profundidad de la invasión (invasión de dermis, tejido subcutáneo, fascia, músculo, hueso o cartilago), el espesor (mayor a 4 mm), la respuesta inflamatoria escasa, y la invasión perineural, han sido todos asociados a un incremento del indice de metástasis regionales y peor pronóstico<sup>19</sup>.
  - El tratamiento estándar es la resección radical local con un margen de 0.6-1 cm., alcanzando un índice de curación del 95%. También se ha propuesto la cirugía micrográfica con porcentajes de control local de hasta el 97%.
  - Los vaciamientos ganglionares electivos no tienen indicación, Los pacientes deben tener un seguimiento periódico, a fin de diagnosticar precozmente la enfermedad regional y entonces realizar un vaciamiento terapéutico.

Si blen no hay series con número de casos y seguimiento a largo plazo que permitan evaluar la validez del MP y la biopsia del GC hipotéticamente podrían beneficiarse con el procedimiento pacientes con riesgo elevado de metástasis ganglionares.

Los Relatores realizaron el procedimiento en 5 pacientes portadores de tumores mayores de 3 cm y 2 de ellos recidivados. Se localizaban 4 en miembro inferior y uno en el superior. La tasa de identificación combinada fue del 100%. Todos los ganglios identificados fueron negativos. En tres

pacientes con seguimiento de hasta 30 meses no se registraron recurrencias.

# 2. Carcinoma de células de Merkel (CCM)

Es un carcinoma neuroendócrino originado en las células de Merkel, ubicadas en la capa basal de la epidermis y en el folículo piloso?. 11. Este tumos se localiza preferentemente en zonas expuestas al sol, es más frecuente en cabeza v cuello, miembros y en la región glútea. Su incidencia aumenta en mayores de 65 años. Su comportamiento clínico es similar al melanoma con tendencia a recurrir localmente, diseminarse ordenadamente desde el lugar de origen a los ganglios linfáticos regionales v luego a distancia.. Recurre localmente entre un 26 v 44%, desarrollando metástasis ganglionares en 50-75% de los casos en el curso de la enfermedad. La supervivencia global a 5 años oscila entre 30 v 85% 19, v es menor al 30% con ganglios positivos7, 13

El tratamiento consiste en la resección radical local y el vaciamiento ganglionar en caso de metastasis regionales. Las indicaciones del vaciamiento ganglionar profiláctico son controversiales. El factor pronóstico más importante es el estado de los ganglios lintáticos regionales, por dicha razón algunos centros han preconizado el vaciamiento ganglionar electivo. Otros no han encontrado diferencias en la supervivencia de pacientes con vaciamiento ganglionar electivo o terapéutico.<sup>18</sup>.

Homologando estas características al melanoma, distintos autores han sugerido el uso del ML y biopsia del GC en el tratamiento del CCM<sup>8, 12, 17</sup>,

En todos los tumores cutáneos la técnica del mapeo linfático es similar a la de melanoma, obteniéndose los mejores resultados con el uso combinado de colorante y radiocoloide.

El uso de técnicas de IHQ usando marcadores como la citoqueratina 20, cromogranina o CAM 5.2, duplica aproximadamente el número de metástasis diagnosticadas con H&E<sup>2</sup>.

Debido a la baja prevalencia de la enfermedad, las series publicadas no tienen un número suficiente de casos como para extraer conclusiones definitivas como se puede observar en la tabla III.1.

Podemos observar que los porcentajes de detección del GC han sido en todos los casos del 100%;

TABLA III.1 Mapeo linfático en carcinoma de células de Merkel

Investigador identificación	n	Tasa de	GC positivos	Falso negativos
Messina, 1997 <sup>12</sup>	12	100%	2(16%)	
Ames, 1998 <sup>9</sup>	7	100%	3(42%)	0
Allen, 1999 <sup>2</sup>	26	100%	5 (19%)	0
Sian, 199917	2			
Rodríguez, 200114	6	100%	3 (50%)	
Duker, 20014	5	100%	4(80%)	
Autores	4	100%	3(75%)	0

con porcentajes de positividad elevados (entre 16 y 80%). Las series con tasas de falso negativo de 0, no tienen un seguimiento prolongado.

#### Nuestra experiencia

Realizamos el ML en 4 enfermos (mejilla 2, región pectoral 1 y región glútea 1). Se usó en dos enfermos la marcación con colorante, y en otros dos con colorante y radiofármaco.

La tasa de identificación fue del 100% con ambos métodos. En 3 pacientes el GC fue positivo para tinciones convencionales. Dos enfermos presentaron recurrencia local y fallecieron con enfermedad disseminada a los 8 y 14 meses. Otro tuvo recidiva locorregional tratada con cirugía y radioterapia y se encuentra libre de enfermedad fuego de 24 meses. El único paciente con GC negativo se encuentra libre de enfermedad luego de nocuentra libre de enfermedad luego de 18 meses.

#### 3. Conclusión

El MP en cáncer cutáneo no-melanoma es facilble, permite una efectiva estadificación al identificar el territorio de drenaje linifático, y el estudio exhaustivo del GC, seleccionando de esta torma los pacientes que podrían beneficiarse de un vaciamiento ganglionar.

#### Bibliografía

- Alam M, Ratner D: Primary care Cutaneous squamous-cell cacinoma. N Engl J Med 2001; 344: 975-963
- Allen PJ, Zhang ZF, Coit DJ, et al: Surgical management of Markel cell carcinoms. Ann Surg 1999; 229: 97-105
- Ames SE, Krag DN, Brady MS: Radiolocalization of the sentinel lymph node in Merkel cell carcinoma: A clinical

- analysis of seven cases. J Surg Oncol 1998; 47: 251. 4. Duker I, Starz H, Balda BR: Prognosis and therapeutic implications of santinal lymphonodec-tomy and S-staging in Markel cell carcinoma. Dermatology 2001; 202: 225-
- Gray LN: Aggressive surgical management for Merkel cell carcinoma. Plast Reconstr Surg 1995; 96: 237.
- Hill ADK, Brady MS, Colt DG: Intraoperative lymphatic mapping and sentinel lymph node biopsy for Merkel cell carcinoma. Br J Surg 1999, 86: 518..
- Hitchcock CL, Bland KI, Laney RG III, et al: Neuroendocrine (Merkel cell) carcinome of the skin. Its natural history, diagnosis and treatment. Ann Surg 1988; 207: 201-7.
- Johnson TM, Rowe DE, Nelson BR. Swanson NA: Squamous cell carcinoma of the skin (excluding lip and oral mucosa). J Am Acad Dermatol 1992; 26:467-84.
- Jam Acad Dermatol 1992; 26:467-84.
   Kowalski LP, Medina JE. Nodal metastases: predictive factors. Otolaryngol Clin North Am 1996; 31: 621-37.
- Lawrence N, Cottel WI: Squamous cell carcinoma of the skin with perineural invasion. J Am Acad Dermatol 1994; 31: 30-3.
- Meland N, Jackson I: Merkel cell tumor: diagnosis, prognosis and treatment. Plast Reconst Surg 1986; 77: 632-638.
- Messina JL, Reintgen DS, Cruse CW, et al: Selective lympholenectomy in patients with Mekel cell (cutaneous neuroendocrine) carcinoma, Ann Surg Oncol 1997; 4: 290,95
- Ott MJ, Tanabe KK, Gadd MA, Stark P, et al: Multimodality management of Merkell cell carcinoms. Arch Surg 1999: 134: 388-393.
- Arch Surg 1999; 134: 388-393.
  14. Rodrigues LK, Leong S, Kashani-Sabet M, et al. J Am. Acad Derm (Resumen) 2001; 45 303-308.
- Rowe DL, Carroll RJ, Day CL Jr: Prognosticfactors for local recurrence, metastases, and survival rates in squamous cell carcinomed the skin, ear, and fig: implications for treatment modality selection. J Am Acad Demastol 1992; 8-976-90.
   Shaw JHF and Rumball E: Merkel cell tumor; clinical
- behaviour and treatment. Br J Surg. 1991; 78: 138. 17. Sian KU, Wagner JD, Sood R, Park HM, et al:
- Sian KU, Wagner JD, Sood H, Park HM, et al. Lymphoscintigraphy with sentinel lymph node biopsy in cutaneous Merkel cell carcinoma. Ann Plast Surg 1999; 42: 879-82
- Victor NS, Morton B, Smith JW: Merkel cell cancer: Is prophilactic lymph node dissection indicated? Am Surg 1998: 62: 870.
- Yiengpruksawan A, Coit DG, Thaler HT, Urmacher C, Knapper WK: Markel cell carcinoma. Prognosis and management. Arch Surg 1991; 126: 1514-19.

#### CAPITULO VIII

## CONCLUSIONES

Ciencia es todo aquello sobre lo cual siempre cabe discusión.

José Ortega y Gasset

El mapeo lintático y la biopsia del ganglio centina a surgido como un procedimiento promisiorio, de amplia aplicación en el campo de la oncología quirúrgica. Como muchas veces sucede, avances importantes en medicina se originan a partir de especulaciones conceptualmente sencillas.

La idea no es nueva, ya que data de más de 40 años

Su aplicación actual ha surgido de investigaciones experimentales y clínicas de grupos quiritrajcos de relevancia sobre anatomía y fisiología del sistema linitárico, linfografía, nuevos radiofármacos, tecnología adecuada a la identificación intraoperatoria y nuevas metodologías anátomo patológicas.

Su gran aporte a la oncologia moderna ha sido lograr una estadificación más precisa, ya que permite:

- Detectar la ausencia de metástasis en forma mínimamente invasiva, evitando así el vaciamiento ganglionar en pacientes con ganglios necativos.
  - Un reconocimiento temprano de la metástasis al identificar micrometástasis ganglionares, posibilitando así indicar un vaciamiento con menor volumen de enfermedad.
  - Detectar metástasis ganglionares fuera de los sitios habituales.
  - Definir en forma más precisa las poblaciones que se incluirán en ensayos clínicos controlados.

Se ha especulado sobre el valor terapéutico del diagnóstico temprano de las metástasis. El intervalo entre una metástasis microscópica con un umbral de 10º a 10º a fue como un umbral de 10º a 10º a fue como un umbral de 10º a 10º a fue como un tenta de se de aproximadamente 18 a 24 meses. Este tiempo podría marcar la diferencia entre un tratamiento curativo y uno paliativo en ciertos tipos de cáncer. Además, la extirpación de las metástasis ganglionares simultáneamente con el

tratamiento del tumor primario evita una segunda operación, y posibilita realizaria con una carga tumoral menor.

Sin embargo, el real valor terapéutico del procedimiento no está aún debidamente probado.

Los ensayos clínicos prospectivos actualmente en marcha buscan demostrar una mejoría de la supervivencia luego de una resección temprana con una carga tumoral pequeña.

Si esto no fuera así, el diagnóstico de metástasis solo identificaría a un grupo de pacientes con un fenotipo de peor pronóstico.

Por lo tanto, en el momento actual, el mapeo linfático y biopsia de ganglio centinela es considerado fundamentalmente un procedimiento diagnóstico, ya que sus eventuales ventajas terapéuticas deben aún ser probadas.

Sin deiar de reconocer la importancia del mapeo linfático, es posible suponer que esta nueva tecnología será superada en el futuro por el desarrollo de la oncología genética. Los avances de la tecnología quirúrgica que han permitido el desarrollo del mapeo linfático, ocurren simultáneamente con el descubrimiento de alteraciones moleculares en el tumor primario, de indudable importancia pronóstica y terapéutica. La identificación de marcadores tumorales, así como de factores asociados a las metástasis, están en esta línea de desarrollo. Los progresos en este terreno posibilitaran la obtención del genotipo tumoral, de tal forma que haría posible determinar el pronóstico basado en las características del tumor primario. Es probable que estos exámenes genéticos nos brinden mayor información y en forma más sencilla que el mapeo linfático.

Como bien lo expresa LM Ellis del MD Anderson en un Editorial del Annals of Surgical Oncology, la masiva asignación de fondos por parte del Instituto Nacional de la Salud de los EE.UU. para el desarrollo de estas investigaciones, hace conjeturar que en unos 5 años todos los tumores podrán tener un análisis molecular para determinar la expresión de genes asociados a las metástasis.

Es importante remarcar que el mapeo linfático y biopsia del ganglio centinela fue imaginado, desarrollado y aplicado ampliamente por cirujanos.

Se trató de una idea concebida a partir de la observación atenta de la realidad, la búsqueda de los medios técnicos para su aplicación en distintas situaciones, el análisis de las serles iniciales, el diseño de estudios prospectivos de validación, la convocatoria a otros especialistas.

Esto nos lleva a reflexionar sobre nuestro papel en el desarrollo de la medicina, ya que en cada cirujano intellgente e inquieto, hay un investigador que cuestiona e intenta mejorar la realidar!

Experiencias de este tipo nos deben animar a no desertar de nuestra misión de producción de conocimiento científico, aun con las limitaciones que el medio actualmente nos impone.

Es un deber de los Cirujanos Argentinos y de las Instituciones que nos representan, el asumir actitudes de liderazgo deponiendo intereses personales que posibilite desarrollar protocolos de investigación clínica que nos permitan tener conclusiones propias. El mapeo linfático es una tecnología nueva, sencilla, posible, que excepto por la actual coyuntura económica de nuestro país, no ofrecería dificultades organizativas.

Es oportuno finalizar este Relato recordando las palabras del Dr. Edgardo Bernardello en el cierre de su Relato "Recientes avances en el diagnóstico y tratamiento del cáncer de la mama":

"Operar una paciente con cáncer de mama debería entenderas como un acto de investiga-ción clínica, y las investigaciones no se hacen con un pequeño número de pacientes. La única manera de ser útil a nivel individual es integrar grupos cooperativos. Antes pediamos unir experiencia: ahora es necesario unir antes a los hombres para lograr experiencias a nivel nacional.

Si cuando vuelva a tratarse el tema del cáncer de mama en el Congreso Argentino de Cirugía no se analizan los resultados de grupos cooperativos argentinos planeados y supervisados por entidades rectoras, los años habrán pasado en vano."

Han pasado 18 años y estas palabras siguen teniendo vigencia pudiendo extrapolarse a toda la problemática quirárgica. Estamos en el mismo lugar, o mucho peor, dado el paso fútil del tiempo. No es posible cambiar el pasado, pero si planear el futuro. Es nuestro deber que en esta área, los años no sigan pasando en vano. El desafío queda planteado, solo nos resta comenzar a trabajar

Tema

Congreso

# ÍNDICE DE LOS CONGRESOS ARGENTINOS DE CIRUGÍA

#### TEMAS

A

Relator

Abdomen agudo en el anciano	Humberto Faraoni	LII-1981
Absceso subfrénico	Oscar J. Carnes	XIII-1941
Acción hormonal sobre el desarrollo de la glándula	Oscar of Oarries	A.III-1041
mamaria y la lactancia	E.B. del Castillo	XXV-1954
Actitud del cirujano frente al enfermo critico	Octavio A. Gil	LXXII-2001
Adelantos en el diagnóstico y tratamiento de la	Octavio A. Gil	EVVII-EAG I
patologia biliopancreatica		
Biliar benigna	Juan J. Fontana	LX-1989
Pancreática benigna	Alejandro S. Oria	LX-1989
Biliopancreática maligna	Julio A. Diez	
Adelantos en el diagnóstico y tratamiento de la	JUITO A. DIREZ	LX-1989
patologia del esólago	157891250011	010702004
Adelantos en el diagnóstico y en el tratamiento	José Nallar	LX-1989
quirurgico del cáncer del recto y del ano	Mario Benati	LXII-1991
Afecciones valvulares del corazón.		
Tratamiento quirúrgico	F.E. Tricerri	XXV-1954
Allmentación enteral y parenteral en cirugía	José M. Basaluzzo	LIV-1983
	Juan A. De Paula	
Amputaciones	Enos P. Comolli	XXXIII-1962
	Francisco Nocito	
	Henry H. Kessler*	
Análisis e importancia del costo beneficio en cirugia	Frutos E. Ortiz	LXI-1990
Anestesia endovenosa	José C. Delorma	XIX-1948
Anestesia peridural	Alberto Gutiérrez	X-1938
Aorta abdominal Cirugía de la	Hugo R. Mercado	XLI-1970
Aorta forácica Cirugía de la	Mario M. J. Brea	XLI-1970
Apendicitis. Complicaciones posoperatorias	Pedro Chutro	II-1930
Arteriopatías obstructivas crónicas de los miembros.		31.7900
Tratamiento	Horacio A. Ferrando	XXXIV-1963
Arteriopatias periféricas no oclusivas. Tratamiento	Jorge Teme	XXXIV-1963
	Eduardo C. Palma*	2000
	E. Stanley Crawford*	
Artropatias crónicas no tuberculosas de la cadera	Julio Diez	XII-1940
Artroplastias de cadera. Indicaciones técnica y resultados	L Petracchi	XXIV-1953
Atención inicial del traumatizado grave	Fortunato Benain	LXI-1990
noncon mean de reprinanzado grave	Jorge Neira	FVI-1990
Avances en el tratamiento del «shock»	Julio Baldi	LIII-1982
Transce on or manerial no der vergon.	Miguel A. Jorge	FIII-1905
	migdel At Jorge	
Por invitación.		
FOI INVIBUIGIT.		
B		
Balance hidroelectrolitico en cirugia	I Name between	white some
palance /ildicelectionico en ciragia	J. Nomaksteinsky	XXIX-1958
Bocio exoftálmico	Alfonso Ruiz Guiñazú	717700
DOCIO EXORAITECO	J. Arce	I-1928
	Manuel Balado	
Bronquiectasias en el adulto	Lázaro Langer	XX-1949
Bronquiectasias en el niño	J.M. Pelliza	XX-1949
C		
Oderson and The Control of the Contr		
Cancer avanzado. Tratamiento quirúrgico	Federico R. Pilheu	XL-1969
Cáncer avanzado. Radiaciones	Oriel Alva	XL-1969
Cáncer avanzado. Drogas antineoplásicas	Roberto A. Estévez	XL-1969
Cáncer de esófago	Juan Gil Mariño	XXXV-1964
	Julio C. Sánchez Pons	
Cáncer de estómago	P. Hülskamp	LXVI-1995

XXVI-1955 XXVI-1955

C. Sylvestre Begnis

Cancer de laringe Cancer de laringe (Roentgenterapia)

Cáncer de laringe	C. Sylvestre Begnis Luis M. Pons	XXVI-1955 XXVI-1955
	José Cataldo*	
	Jaime del Sel*	
	Pablo Haickel*	
Cáncer de la mama. Estado actual del tratamiento	A. Caviglia	11-1930
	J.C. Ahumada	100000000000000000000000000000000000000
Cáncer de mama	E. P. Viacava	XXV-1954
Cáncer de mama. Roentgenterapia	Félix Leborgne	XXV-1954
Cancer de la mama. Estado actual del tratamiento	R. Varela Chilese	XXXVII-1966
Cáncer del colon sigmoideo y del recto.		
Tratamiento quirúrgico	Alberto E. Laurence	XXXVI-1965
Cáncer del intestino grueso (colon derecho y colon transverso)	Oscar Copello	III-1931
Cancer del intestino grueso con exclusión del recto	A. Ceballos	III-1931
Cáncer del pulmán. Diagnástico precoz y resultados operatorios	Mario E. Brea	XVIII-1947
Cáncer de tiroldes	Osvaldo González Aguilar	LXVIII-1997
Céncer gástrico. Diagnóstico y tratamiento	José M. Mainetti	XXXVIII-1967
Cáncer oral	Héctor Jorge	XXXII-1961
Cáncer rectal inoperable. Tratamiento	Felipe Carranza	VIII-1936
Cirugia abdominal en el paciente crítico	Egon A. Mettler	LVIII-1987
	Pedro A. Ferraina	LXII-1991
Cirugia ambulatoria	Juan C. Milanese	
Cirugia colorrectal de urgencia		LVI-1985
Cirugía hepatobiliar: Cuidados pre y posoperatorios	C. Velasco Suárez	XVI-1944
Cirugía oncológica en el paciente añoso	Juan C. Rodriguez Otero	LXXI-2000
	Gustavo A. Sylvestre Begni	9
Cirugia videoscópica	Carlos A. Pellegrini	LXV-1994
Colecistitis litiásica y alitiásica. Elección del tratamiento	R. E. Donovan	XII-1940
Colitis ulcerosa crónica. Tratamiento	A. G. Russo	XXX-1959
Colitis ulcerosa inespecífica	Norberto Quirno	XXX-1959
	Seymour J. Gray*	
Compresiones medulares no traumáticas	R. J. Babini	XIV-1942
Condiciones que debe reunir una institución donde se practique cirugia	Juan V. Gurruchaga	XLVII-1976
Coxa vara del adolescente	Domingo Múscolo	XXI-1950
Diabetes en cirugía	R. Rodriguez Villegas	V-1933
Diverticulosis colosigmoides y complicaciones. Tratamiento	A. N. Canónico	XXIII-1952
E		
Educación médica continuada y recertificación	Luis V. Gutiérrez	LVII-1986
Empiema del adulto	V. Arnand Ugón	VII-1935
Emplema en el niño	M. Ruiz Moreno	VII-1935
Endoarteritis obliterante de los miembros	Pedro O. Bolo	VI-1934
Endocrinopatias quinirgicas	J. Reforzo Membrives	XLVIII-1977
Engocrinopatias quirurgicas	J. Yoel	SPAIN, 1953
	T.J. Oñate	
	E. P. Bagnati	
	E. M. Quesada	
	Rubén Siano Quirós	XLII-1971
Enfermedad tromboembólica venosa (cirugía)		
Enfermedades precancerosas del tubo digestivo	Manuel R. Baro	LV-1984
Enseñanza de la cirugía en el pregrado	Jorge L. Berra	XLIII-1972
Enseñariza de la cirugía en el graduado. Su educación continua	Oscar L. Aguilar	XLIII-1972
Enseñanza de la cirugia para graduados. Residencias	José Spátola	XLIII-1972
Entero y colopatías vasculares	Arturo Heidenreich	L-1979
Escoliosis .	L. A. González	XXVIII-1957
	Ignacio Ponseti*	
Esplenopatías quirúrgicas (con exclusión de lesiones		
traumáticas y quistes hidatidicos)	Alejandro J. Pavlovsky Alfredo Pavlovsky	XXI-1950
Estenasis mitral. Fisiopatogenia y clínica desde el	SECTION OF THE PARTY.	
punto de vista clínico-quirúrgico	A.C. Taguini	XXV-1954
Estenosis aórtica y mitrai. Tratamiento quirúrgico	Boberto P Glober	XXV-1954
	Daniel A. Allende	L-1979
Evalución del riesgo quirúrgico	Daniel M. Mierice	6-1973
	Demines C Bable	
	Domingo S. Babini	VIII 4040
Eventración posoperatoria. Tratamiento	Domingo S. Babini Vicente Gutiérrez	XII-1940

F

ardo Burneschny ja A. Silvori lo F. Argibay her F. Argibay her F. Argibay herric Cavades lermo Ojea Quintana Carpanelli Suiffet Ilmedo Ferreira ende Puech innochietto Sambos L Landivar July Moreno Luz Moreno Loro Galo de Amusel erto Croquevelelle erado J. Relando o Zeno e M. Jorge Comejo Saravia Ragilavacche emio Zeno los E. Ottolenghi n J. Molfeno not A. Lorono no E. G. Ottolenghi n J. Molfeno not A. Cimino erado R. Cimino er	LXIII-1982 LXXI-2000 XLVI-1975 XX-1949 V-1932 IV-1932 III-1931 III-1931 XV-1943 VI-1948 XI-1939 V-1833 I-1928 XI-1939 V-1833 I-1928 XI-1939 V-1833 I-1928 XI-1939 V-1833 I-1928 XI-1939 V-1833 I-1928 LXI-1994 LXI-1994 LXI-1994
ge A. Sivorl io F. Argibay hetrio Cavadas hetrio Ca	XLVI-1975 XX-1949 V-1932 IV-1932 IV-1932 III-1931 III-1931 XV-1943 VI-1928 XI-1928 XI-1933 I-1928 XI-1933
io F. Argibay herrico Cavades lermo Ojea Quintana Carpanelli Suiffet Grapanelli Suiffet Indeo Ferreira ende Puech inochietto Gamboa L. Landivas Lundivas Lundivas L. Landivas	XLVI-1975 XX-1949 V-1932 IV-1932 IV-1932 III-1931 III-1931 XV-1943 VI-1928 XI-1928 XI-1928 XI-1933 I-1928 XI-1938
netrio Cavadas Iterro Ojea Quintana Carpanelli Suiffet Ilfrado Ferreira ende Puech ende	XX-1949 V-1933 IV-1932 III-1931 III-1931 XV-1943 VI-1934 VI-1934 III-1934 XI-1939 V-1833 I-1928 XVII-1945
lermo Diea Quintana Carpanelli Suiffet Infedo Ferreira ende Puech innochietto Gamboa Landiwar Putz Moreno I. Lagomarino nino Calio de Amarel erto Croquevletie ento Carquevletie ento Carquevletie onnejo Saravia Sagliavacche mino Zano los E. Ottolenghi n J. Moirano neto P. Gutiferroz	XX-1949 V-1933 IV-1932 III-1931 III-1931 XV-1943 VI-1934 VI-1938 XI-1939 V-1933 I-1928 XVII-1945
Carpanelli Sulfet  Sulfet  Ilfredo Ferreira  ende Puech  innochietto  innochietto  Sambos  Landware  Landw	XX-1949 V-1933 IV-1932 III-1931 III-1931 XV-1943 VI-1934 VI-1938 XI-1939 V-1933 I-1928 XVII-1945
Suiffet Imde Freeira  mende Puech  innochietto  Samboa  Landivar  Lundivar	XX-1949 V-1933 IV-1932 III-1931 III-1931 XV-1943 VI-1934 VI-1934 III-1934 XI-1939 V-1833 I-1928 XVII-1945
Ilfredo Ferreira emde Puech emde Puech emde Puech innochietto innochietto innochietto Gamboa Landowa emde emde emde emde emde emde emde emd	V-1933 IV-1932 III-1931 III-1931 XV-1943 VI-1934 III-1928 XI-1939 V-1933 I-1928 XVII-1945
sende Puech imochietto	IV-1932 IV-1932 III-1931 III-1931 XV-1943 VI-1934 VI-1938 XI-1939 V-1933 I-1928 XVII-1945
inochietto iminochietto Bamboe : Landiwar Ruiz Moreno H. Lagomarsino nois Caio de Amarel erto Croquevielle irado J. Rolando o Zeno e M. Jorge Comejo Saravia Rapliavacche mino Zeno los E. Ottolenghi n J. Molreno nd P. Gutiferroz	IV-1932 IV-1932 III-1931 III-1931 XV-1943 VI-1934 VI-1938 XI-1939 V-1933 I-1928 XVII-1945
inochietto iminochietto Bamboe : Landiwar Ruiz Moreno H. Lagomarsino nois Caio de Amarel erto Croquevielle irado J. Rolando o Zeno e M. Jorge Comejo Saravia Rapliavacche mino Zeno los E. Ottolenghi n J. Molreno nd P. Gutiferroz	IV-1932 III-1931 III-1931 XV-1943 VI-1934 VI-1938 XI-1939 V-1933 I-1928 XVII-1945
Finochieto Sambos  - Landivar  - Landivar  - Ludivar  - Ruiz Moreno  - Lagomarsino  - Lagomarsin	IV-1932 III-1931 III-1931 XV-1943 VI-1934 VI-1938 XI-1939 V-1933 I-1928 XVII-1945
Sambos   Landivar   Lundivar    Lundivar    Lundivar     Lundivar     Lundivar     Lundivar     Lundivar     Lundivar     Lundivar     Lu	III-1931 III-1931 XV-1943 VI-1934 I-1928 XI-1939 V-1933 I-1928 XVII-1945
Landivar Ruiz Moreno Lagomarsino Casio de Amarel erto Croquevielle erto Croquevielle ando Zano Sano Sano Sano Sano Sano Sano Sano S	III-1931 III-1931 XV-1943 VI-1934 I-1928 XI-1939 V-1933 I-1928 XVII-1945
Ruiz Micreno  1. Lagomarsino nois Galio de Amarsi noto Calio de Amarsi rado J. Rolando o Zeno  2 M. Jorge Jomejo Saravia Rapliavacche mioi Zeno los E. Ottolenghi n J. Molrano n J. Molrano note P. Gutlérrez	VI-1934 VI-1934 I-1928 XI-1939 V-1933 I-1928 XVII-1945
Lagomarsino monic Galio de Amaral ento Croquevielle reado J. Rolando 2 Zano es M. Jorge si M. Jorge se M. Jorge se M. Jorge Saravia apliavacche mon Zano los E. Ottolenghi n J. Molrano neto P. Gutlérrez	XV-1943 VI-1934 I-1928 XI-1939 V-1933 I-1928 XVII-1945
onio Calio de Amaral erto Croquevielle errado J. Rolando o Zerno e M. Jorge Comejo Saravia Rajliavacche emio Zeno ios E. Ottolenghi n J. Moirano errado R. Cimino ente P. Gutlérrez	VI-1934 I-1928 XI-1939 V-1933 I-1928 XVII-1945
erto Croquevielle reado J. Rolando o Zeno e M. Jorge Comejo Saravia Ragliavacche smio Zeno los E. Ottolenghi n J. Moltano nardo R. Cimino ante P. Gutiferrez	I-1928 XI-1939 V-1933 I-1928 XVII-1945
irado J. Relando o Zeno o Zeno o M. Jorge comejo Saravia Ragliavacche emio Zeno los E. Ottolenghi n J. Moirano enredo R. Cimino ente P. Gutiérrez	I-1928 XI-1939 V-1933 I-1928 XVII-1945
irado J. Relando o Zeno o Zeno o M. Jorge comejo Saravia Ragliavacche emio Zeno los E. Ottolenghi n J. Moirano enredo R. Cimino ente P. Gutiérrez	I-1928 XI-1939 V-1933 I-1928 XVII-1945
o Zeno  a M. Jorge  b M. Jorge  comejo Saravia  agliavacohe  priio Zeno  los E. Ottolenghi  n J. Molrano  srado P. Cimino  snite P. Gutiérrez	I-1928 XI-1939 V-1933 I-1928 XVII-1945
é M. Jorge Comejo Saravia Ragiliavacche imio Zeno los E. Ottolenghi n J. Moirano irrado R. Cimino ente P. Gutiérrez	I-1928 XI-1939 V-1933 I-1928 XVII-1945
Comejo Šaravia Ragliavacche minio Zeno los E. Ottolenghi n J. Moirano  arado R. Cimino ante P. Gutiérrez	XI-1939 V-1933 I-1928 XVII-1945
Pagliavacche emio Zeno los E. Ottolenghi n J. Moirano errado R. Cimino ente P. Gutiérrez	V-1933 I-1928 XVII-1945
omio Zeno los E. Ottolenghi n J. Moirano nrado R. Cimino ante P. Gutiérrez	I-1928 XVII-1945
los E. Ottolenghi n J. Moirano trado R. Cimino ante P. Gutiérrez	XVII-1945
los E. Ottolenghi n J. Moirano trado R. Cimino ante P. Gutiérrez	
n J. Moirano rrado R. Cimino ente P. Gutlérrez	
rrado R. Cimino ente P. Gutiérrez	214 1004
ente P. Gutiérrez	
ente P. Gutiérrez	
	LXVII-1996
	XLIV-1973
ar A. de la Vega	XLIV-1973
Goñi Moreno	XXII-1951
	LIV-1983
n A. Viaggio	FIA-1883
ge R. Defelitto	
Boretti	XXIX-1958
F. Cesanelli	
nuel A. Casal	LI-1980
n J. Naveiro	
los I. Allende	XIII-1941
Taubenschlang	XIII-1941
tin J. Odriozola	VIII. 1241
	11000
ardo L. Pettinari	LXIX-1998
Braun Menéndez	XIX-1948
bal introzzi	XIX-1948
é A. Caeiro	XV-1943
ó Gutiérrez	
astián Hermeto	
erto Covarrubias	
los Piquérez	Company and
	XXXIX-1968
nuel Giner	XXXIX-1968
Didier	XXIX-1958
Malvarez	
iai Malla	V-1933
que w. Lopez Avenaneda	LXXIII-2002
riel L. Debonis	
ilio J. Pollastri	
ge A. Rodriguez Martin	LXX-1999
consul consul	492000
	IV-1932
	LXX-1999
ardo Cassone	0.000
D 1	idiler Alatvarez el Valle que M. López Avellaneda tor D. Santángelo iel L. Debonis ilo J. Pollastri pe A. Radriguez Martin erto Barladli tolomé Calcagno

Invaginación intestinal en el niño. Diagnóstico y tratamiento	Alberto Lagos García	XVIII-1947
Infección quiningics	Wolfgang Lange	XXXII-1961
	Marcelo J. Frigerio Estéban M. Páez	
	Ignacio Piroski	
L		
Lesiones accidentales operatorias de las vías biliares y		
de los elementos del pediculo hepático	Alfredo Negri	XXI-1950
esiones quirtirgicas de las vias billares	Arturo E. Wilks	XLIX-1978
	Ricardo A. Berri	
Litiasis biliar: Complicaciones biliares posoperatorias alejadas	A. Althabe	IV-1932
Litlasis biliar: Complicaciones posoperatorias en las	E. Romagosa	IV-1932
operaciones sobre las vias biliares	J. M. Allende	14-1932
Itlasis de la via biliar principal	Santiago G. Perera	LR-1981
	Fernando Magnanini	211 1001
	Rodollo Mazzariello	
Itiasis del colédoco. Tratamiento	E. Blanco Acevedo	XI-1939
and the Contractor in the second seco	P.L. Mirizzi	
itiasis reno-ureteral	B. Maraini	VIII-1936
umbociaticas rebeldes	G. H. Dickman	XX-1949
uxación congénita de la cadera. 1º Infancia	Agustin A. Salvati	XIX-1948
y adultos	José A. Rivarola	XIX-1948
y auditos	José A. Piqué*	210111010
M		
Mal de Pott en el niño. Estado actual del tratamiento quinirgico	A. Rodriguez Egaña	II-1930
Mel de Pott en el adulto. Estado actual del tratamiento quiru/gico	R.E. Pasman	II-1930
Mama. Recientes avances en el diagnóstico y tratamiento		
de cáncer de la	Edgardo T. L. Bernardello	LV-1984
Mano. Cirugia reparadora de las secuelas de algunas lesiones		
de tendones y nervios	Eduardo Zancoli	XLI-1970
Megaesólago. Tratamiento quirúrgico	R.C. Ferrari	XXIII-1952
	P. de Mattos Barretto	
Mioma uterino. Tratamiento	A. J. Bengolea	III-1931
Mioma uterino. Complicaciones	S. Marino	III-1931 XXXVII-1966
Megacolon en el adulto	E. J. Chambouleyron	XXXVII-1966 XXXVII-1966
Megacolon en el niño	Horacio Aja Espil	AXXVII-1900
0		
Oclusión intestinal aguda. Tratamiento	Domingo Prat	V-1933
Osteomielitis aguda y crónica en el niño. Tratamiento	Guillermo Allende	VII-1935
Osteomielitis aguda y crónica en el adulto. Tratamiento	P. Jauregui	VII-1935
Obstrucción intestinal aguda	Julio V. Uriburu	XXXI-1960
Obstrucción intestinal en el niño	José E. Rivarola*	XXXI-1960
Organización y funcionamiento de un Departamento de Cirugia	Eduardo R. Trigo	XLV-1974
P		
Pancreatitis aguda. Etiopatogenia y fisiopatología	C.A. Sosa Gallardo	XLVI-1975
Pancreatitis aguda. Consideraciones clínicas y terapéuticas	O. F. Longo	XLVI-1975
Pancreatitis aguda. Etiología. Patogenia	W. Tejerina Fotheringham	XIV-1942
Pancreatitis aguda. Diagnóstico y tratamiento	A. J. Pavlovsky	XIV-1942
Pancrealitis crónica	Clemente J. Morel	XXXIII-1962
	L. Leger* G. L. Nardi*	
	G. L. Nardi* Rodolfo A. Rivarola	J-192
Parálisis infantil. Secuelas en miembros inferiores	O Malvárez	XXIX-1958
Parálisis obstétrica	Roberto A. Gárriz	XL-1969
Patología anorrectal quirúrgica no maligna en el adulto	Sebestián A. Rosasco Palau	
Patología anorrectal quirúrgica no maligna en el niño Peritonitis	Narciso Hernández	XLVIII-1977
	ASTRIBO LIBITISTICA	WEARL JAA

Peritonitis	Luis Gramática	LIX-1988
Pie plano (en el niño)	Victor Ruiz Moreno	XXVI-1955
Pie plano (en el adulto)	José Manuel del Sel	XXVI-1955
Pie varo equino congénito. Tratamiento	M. R. Llambias	XXVII-1956
Precancer del recto y tratamiento quinimpico del cancer de recto	G. Zorraguín	VIII-1936
Prolapso genital en la mujer. Tratamiento	E. Nicholson	XVI-1944
Procedimientos invasivos no quirúrgicos en patología		
abdominal aguda	Juan E. Alvarez Rodríguez	LXVI-1995
	200	
Q		
Output Control	V HOUSE WAS	200000000000000000000000000000000000000
Quemaduras Secuelas	Lelio Zeno	XVII-1945
Quemaduras, Tratamiento	José M. Delrío	XVII-1945
Quimioterapia en cirugía	A. A. Covaro	XV-1943
Quiste hidatídico del higado y sus complicaciones. Tratamiento	J.C. Casiraghi	XXX-1959
ALCOHOL CONTRACTOR CON	J.E. Cendan Alfonso*	
Quistes hidatidicos del pulmón. Tratamiento	O, Ivanissevich	X-1938
R		
Raquianestesia	A. V. Sacco	X-1938
El como como como como como como como com	L. Vargas Salcedo	
Reintervenciones de urgencia en cirugia abdominal		
Complicaciones mecánicas	Francisco Lovúdice	XXXV-1964
Complicaciones inflamatorias	Jorge Sánchez Zinny	XXXV-1964
Complicaciones hemorrágicas	Juan A. Sugasti	XXXV-1964
Resecciones ancológicas. Magnitud de las	onali ri, ongani	AAA7:1204
Introducción	Manuel Riveros	XLV-1974
Cabeza y cuello	Víctor E. Argonz	XLV-1974
Tórax	Eduardo Schieoatti	XLV-1974
Tubo digestivo abdominal	Jorge A. Ferreira	XLV-1974
Ginecología	Leoncio A. Arrighi	XLV-1974
Mama	Enrique N. Centeno	XLV-1974
Sarcomas de las partes blandas del tronco v	Enrique N. Centeno	XLV-1974
extremidades en el adulto	Access to the second	
extremised by bi doubt	José J. Terz y	12247277227C
Responsabilidad ética y jurídica del cirujano	H. Pablo Curutchet	XLV-1974
Responsabilidad ética y jurídica de las Instituciones	Florentino A. Sanguinetti	LIX-1988
respondentials edda y junicia de las instituciones	Alfredo Martinez Marull	LIX-1988
S S		
Secuelas de fracturas de la aprilisis femoral superior.		
Tratamiento	José A. Piqué	XXXII-1961
Secuelas de la cirugia gastroduodenal	Jorge H. Deschamps	LIII-1962
	Aldo O. F. de Paula	rin, 1905
Seguridad en el quirótano	Juan C. Cafasso	LXIII-1992
Sepsis y cirugía	Enrique J. Libonatti	
vepes y onugra		XLIX-1978
	Enrique M. Beveraggi	
Seudoartrosis. Tratamiento	Roberto Padrón	
	Oscar R. Maróttoli	XVIII-1947
«Shock» quirárgico	Jorge Manrique	XXXIII-1962
	Enrique Acevedo Davenport	
	Roberto Padrón	
	Dardo M. Chiesa	LXIV-1993
SIDA y cirugia	G.F. Cottini	XXVIII-1957
SIDA y cirugia Sindrome cervicobraquial	G.F. COIDH	
Sindrome cervicobraquial	J. C. Christensen	
Sindrome cervicobraquial Sindrome poscolecistectomia		XXXVI-1965
Sindrome cervicobraquial  Sindrome poscolecistectomia  Suficiencia hepática en la circipia de las vías biliares e hidado.	J. C. Christensen	
Sindrome cervicobraquial  Sindrome poscolecistectomia  Suficiencia hepática en la circipia de las vías biliares e hidado.	J. C. Christensen Miguel A. Figueroa O.F. Mazzini	IX-1937
SIDA y cirugia Sindrome cervicobraquial Sindrome posciolectatectornia Suficienola hepática en la cirugia de las vías biliáres e higado Suficienola hepática en la cirugia de las vías biliáres e higado Sufiamidoterapia. Conceptos biológicos. Supramenones no tuberculosas del bulmón	J. C. Christensen Miguel A. Figueroa O.F. Mazzini Carlos A. Correas	IX-1937 IX-1937
Sindrome cervicobraquial  Sindrome poscolecistectomia  Suficiencia hepática en la circipia de las vías biliares e hidado.	J. C. Christensen Miguel A. Figueroa O.F. Mazzini	IX-1937

<sup>\*</sup> Por invitación.

Terapia intensiva. Organización y funcionamiento		
relabile interiores. Organization y tonocitamento	Gerardo A. Lorenzino	XLIV-1975
	Carlos E. Rubianes	
Tórax agudo quirúrgico no traumático	Oscar A. Vaccarezza	XXXVIII-1967
Tórax agudo quirúrgico no traumático. Fisiopatología	Aquiles J. Roncoroni	XXXVIII-1967
Torax agudo traumático	Miguel A. Gómez	LIII-1982
	Edgardo E. Rhodius	
Tratamiento multidisciplinario del dolor.		
Indicaciones y resultados	Oreste L. Ceraso	LVIII-1987
Tratamiento de las metástasis hepáticas	Eduardo de Santibañes	LXIV-1993
Tratamiento quirúrgico de las complicaciones de la pancreatitis aguda	Luis A. Chiappeta Porras	LXXII-2001
Tratamiento quirúrgico de las esofagopatías benignas	Juan C. Olaciregui	XLIII-1972
Tratamiento quirúrgico paliativo del cáncer de tubo		
digestivo abdominal	Osvaldo H. Mammoni	LVII-1986
Tratamientos craneanos y sus secuelas. Tratamiento	M. Balado	VII-1935
	J. Arce	
	Osvaldo Loudet	
Traumatismos del abdomen	Antonio Couceiro	XLVII-1976
Traumatismos de abdomen y pelvis	Ernesto Katz	
Traumatismos de abdomen y pelvis	Francisco Florez Nicolini	LXVII-1995
	Eduardo A. Casaretto	7.5000000000000000000000000000000000000
Traumatismos de la mano, Tratamiento	J.E. Valls	XXIII-1952
Traumatismos de las manos y de los dedos.	0.6. 7000	POPUL TOUR
Secuelas	I. Gebauer W.	XXIII-1952
V904044	Guy Pulvertaft*	ASTAIN TOOL
Traumatismos de meniscos ligamentos cruzados y	ddy i divertan	
laterales de la rodilla	José Valls	XIII-1941
Traumatismo en la columna vertebral	Marcelo Fitte	IX-1937
Traumatismo en la columna vertebrat.	Marcelo Fitte	IV-1831
Lesiones medulocarebraies	A. F. Camaüer	IX-1937
	J. A. Sgrosso	XVI-1944
Traumatismos del carpo. Tratamiento		
Traumatismos del hombro. Secuelas	Rodolfo Ferré	XXII-1951
	Jorge Briones	
	Ricardo Caritat	100000000000000000000000000000000000000
Traumatismos del riñón	Enrique Castaño	XVII-1945
	A, Trabucco	
Traumatismos graves combinados en los accidentes		1200000000
de carreteras	Héctor Dal Lago	XXXI-1960
Traumatismos graves combinados en los accidentes de carretera.	499-407-207-000-77-17-	
Lesiones torácicas y abdominales	Raúl Velasco	XXXI-1960
Traumatismos graves combinados en los accidentes de		
carreters. Quemaduras	Fortunato Benain	XXXI-1960
Traumatismos graves combinados en los accidentes		
de carretera. Sistema nervioso	Salvador Viale	XXXI-1950
Traumatismos torácicos	O. Vaccarezza	XIV-1942
Tuberculosis genital. Fisioterapia	J. L. Molinari*	VIII-1936
Tuberculosis genital en la mujer. Tratamiento	B. Galindez	VIII-1936
Tuberculosis genital en el hombre. Tratamiento	L.A. Surraco	VIII-1936
Tuberculosis osteoarticular en el niño	Guillermo Allende	XXV-1954
Tuberculosis osteoarticular en el adulto	I. Castillo Odena	XXV-1954
	A. N. Bracco	XXVII-1956
Tuberculosis pulmonar. Tratamiento quirúrgico	A. A. Santas	
Tuberculosis pulmonar. Tratamiento quirúrgico	A. A. Santas K. Herrero Dugloux	XXVII-1956
Tuberculosis pulmonar. Tratamiento quinirgico  Tumores de parótida	K. Herrero Ducloux	
Tuberculosis pulmonar. Tratamiento quirúrgico  Tumores de parólida		XXVII-1956 XXVIII-1957
Tuberculosis pulmonar. Tratamiento quinirgico  Tumores de pardida  Tumores del Intestino deligado y del mesenterio  Tumores del Intestino deligado y del mesenterio.	K. Herrero Ducloux S. Gorostiague	XXVIII-1957
Tuberculosis pulmonar. Tratamiento quiriurgico  Tumores de partidida  Tumores del intestino deligado y del mesenterio  Tumores del intestino deligado y del mesenterio.  Anatomia patidigica.	K. Herrero Ducloux	
Tuberculosis pulmonar. Tratamiento quiriurgico  Tumores de partitida  Tumores del intestino delipado y del mesenterio  Tumores del intestino delipado y del mesenterio.  Anatomia patiológica.  Tumores del intestino delipado y del mesenterio.	K. Herrero Ducloux S. Gorostiague Andrés Bianchi	XXVIII-1957 XXVIII-1957
Tuberculosis pulmonar. Tratamiento quiriurgico  Tumores de partitida  Tumores del intestino deligado y del mesenterio  Tumores del intestino deligado y del mesenterio.  Anatomia patidógica.  Tumores del intestino deligado y del mesenterio.  Anatomia patidógica.  Tumores del intestino deligado y del mesenterio.  Radiología	K. Herrero Ducloux S. Garostiague Andrés Bianchi Jorge Lavisse	XXVIII-1957 XXVIII-1957 XXVIII-1957
Tuberculosis pulmonar. Tratamiento quiriurgico  Tumores de partitida  Tumores del intestino delipado y del mesenterio  Tumores del intestino delipado y del mesenterio.  Anatomia patiológica.  Tumores del intestino delipado y del mesenterio.	K. Herrero Ducloux S. Gorostiague Andrés Bianchi Jorge Lavisse José L. Martinez	XXVIII-1957 XXVIII-1957
Tuberculosis pulmonar. Tratamiento quiriurgico  Tumores de partidida  Tumores del intestino deligado y del mesenterio  Tumores del intestino deligado y del mesenterio.  Anatomia patidigica.  Tumores del intestino deligado y del mesenterio.  Anatomia patidigica.  Tumores del intestino deligado y del mesenterio.  Radiología  Tumores del mediastino.	K. Herrero Ducloux S. Gorostiague Andrés Bianchi Jorge Lavisse José L. Martinez Luis D. Podestă	XXVIII-1957 XXVIII-1957 XXVIII-1967 XXXI-1960
Tuberculosis pulmonar. Tratamiento quiriurgico  Tumores de pardida  Tumores del intestino delgado y del mesenterio  Tumores del intestino delgado y del mesenterio.  Anatomia patiolipita  Tumores del intestino delgado y del mesenterio.  Radiología  Tumores del medistario  Tumores del pencreas.	K. Herrero Dudloux S. Gorostiague Andrés Bianchi Jorge Lavisse José L. Martinez Luis D. Podesta J. Maroni	XXVIII-1957 XXVIII-1957 XXVIII-1957 XXXI-1960 XXXIX-1968
Tuberculosis pulmonar. Tratamiento quiriurgico  Tumores de partidida  Tumores del intestino deligado y del mesenterio  Tumores del intestino deligado y del mesenterio.  Anatomia patidigica.  Tumores del intestino deligado y del mesenterio.  Radiología  Tumores del mediastino.  Tumores del pancreas.  Tumores del pancreas.	K. Herrero Ducloux S. Gorostiague Andrés Bianchi Jorge Lavisse José L. Martinez Luis D. Podesta J. Mcroni Enrique A. Sivori	XXVIII-1957 XXVIII-1957 XXVIII-1967 XXXI-1960 XXXIX-1968 XVI-1985
Tuberculosis pulmonar. Tratamiento quiriorgico Tumores de pardida Tumores del intestino deligado y del mesenterio. Tumores del intestino deligado y del mesenterio. Anatoma patològica. Tumores del intestino deligado y del mesenterio. Radiològica. Tumores del mediastino. Tumores del mediastino. Tumores endocinios del aparato digestivo. Tumores endocinios del aparato digestivo. Tumores melloginos del os huesos. Anatomia patològica.	K. Herrero Dudoux S. Gorostiague Andrés Bianchi Jorge Lavisse José L. Martinez Luis D. Podestia J. Microni Enrique A. Sivori F. Schajowicz	XXVIII-1957 XXVIII-1957 XXVIII-1957 XXXI-1960 XXXIX-1968 XVI-1985 XXX-1959
Tuberculosis pulmonar. Tratamiento quirúngico  Tumores de pardida  Tumores del intestino deligado y del mesenterio.  Tumores del intestino deligado y del mesenterio.  Anatoma paológica.  Tumores del intestino deligado y del mesenterio.  Radiología.  Tumores del mediastino.  Tumores del pancreas.  Tumores malignos de los huseos. Anatomia patológica.  Tumores malignos de los huseos. Anatomia patológica.	K. Herrero Dudoux S. Gorostiague Andrés Bianchl Jorge Lavisse José L. Martinez Luis D. Podestá J. Moronl Enrique A. Sivori F. Schajowicz F. Olsaga Alarcón	XXVIII-1957 XXVIII-1957 XXVIII-1957 XXXI-1950 XXXIX-1968 XVI-1985 XXX-1959 XXX-1959
Tuberculosis pulmonar. Tratamiento quirúngico Tumores de pardide Tumores del intestino deligado y del mesenterio. Tumores del intestino deligado y del mesenterio. Anatomia patológica. Tumores del intestino deligado y del mesenterio. Radiológia. Tumores del intestino deligado y del mesenterio. Tumores del mediastino. Tumores endocinios del aparato digestivo. Tumores endocinios del aparato digestivo. Tumores meliginos de los husoso. Anatomia patológica Tumores meliginos de los husoso. Cirujia. Tumores meliginos de los husoso. Radioterapia.	K. Herrero Dudoux S. Gorostiague Andrés Bianchi Jorge Lavisse José L. Marrinez List D. Podestá J. Micron J. Sivori E. Schajowicz F. Oleaga Alarcón A. Lernos Ibáñez	XXVIII-1957 XXVIII-1957 XXXII-1957 XXXI-1960 XXXIX-1959 XXX-1959 XXX-1959 XXX-1959
Tuberculosis pulmonar. Tratamiento quirúngico  Tumores de pardida  Tumores del intestino deligado y del mesenterio.  Tumores del intestino deligado y del mesenterio.  Anatoma paológica.  Tumores del intestino deligado y del mesenterio.  Radiología.  Tumores del mediastino.  Tumores del pancreas.  Tumores malignos de los huseos. Anatomia patológica.  Tumores malignos de los huseos. Anatomia patológica.	K. Herrero Dudoux S. Gorostiague Andrés Bianchl Jorge Lavisse José L. Martinez Luis D. Podestá J. Moronl Enrique A. Sivori F. Schajowicz F. Olsaga Alarcón	XXVIII-1957 XXVIII-1957 XXVIII-1957 XXXI-1960 XXXIX-1968 XVI-1985 XXX-1959 XXX-1959

LXXIII-2002

XI-1939

XI-1939

XXVI-1955 LXVIII-1997

Jorge E. Falco Norberto A. Mezzadri Manuel A. Montesinos

Eduardo L. Vila

Diego E. Zavaleta Joge A. Ortiz

J. J. Puente

Brachetto Brian	X-1938
Oscar Copello	X-1938
José Guardado	X-1938
Carlos A. Apestegui	LXIX-1998
J. Michans	XXIV-1953
Benedicto Montenegro	IX-1937
Oscar Gómez	
Roberto Solé	II-1930
Adolfo M. Rey	XXXIV-1963
M. M. Ramos Mejla	XXXIV-1963
Eliseo Otalza Molina *	
F. E. Christmann	XXII-1951
Emico Branco Ribeiro	
Manuel Martinez M.	
N. Foster Montgomery	
Juan Carlos de Chiara	
Horacio Achával Averza	XLII-1971
	Garlos A. Apestegui J. Michans  Benedicto Montenegro Oscar Gómez Roberto Solé Adollo M. Rey M. M. Ramos Mejla Eliseo Olaíza Molina F. E. Christmann Emico Branco Ribeiro Munuel Barlona R. N. Fester Montgomery Juan Carlos de Chiara

Vieclaparoscopía en el abdomen agudo ......

\* Por invitación

Valor del mapeo linfático en la cirugía oncológica.....

Várices de los miembros inferiores. Complejo cutáneo ......

Vias de abordaje al abdomen superior

Várices del miembro inferior: Tratamiento ......

Acevedo Devenport\* E.- Shack aviráralco....

Branco Ribeiro Enrico. - Ulcera péptica posoperatoria ....

Brea Mario M.- Aorta torácica cirugia de la ...

Braun Menéndez E.- Hipertension arterial. Fundamentos fisiopatológicos...

Brea Mario M.- Cáncer de pulmón. Diagnóstico precoz y resultados operatorios

Achával Averza H. - Vanstomia en el tratemiento de la úlcera dundenal

XXXIII-1962

XI II-1971

XXII-1951

XIX-194B

XVII-1947

XLI-1970 XXII-1951

LXIII-1992

## RELATORES

Δ

Aquilar O.L Enseñanza de la ciruqua en el graduado. Su educación continua	XLIII-1972
Ahumada J. C Cáncer de mama	II-1930
Ala Espil H-Megacolon del niño	XXVII-1986
Alva Oriel - Cáncer avanzado: Radiaciones	XL-1989
Alvarez Rodriguez Juan E Procedimientos invasivos no quintroicos en patología abdominal aqude	LXVI-1995
Althabe A Litiasis biliar. Complicaciones posoperatorias alejadas	IV-1932
Allende C.I Hernias recidivadas inguinales y crurales	XIII-1941
Allende D.A Evaluación del riesgo quirúrgico, Parte general	L-1979
Allende G Osteomielitis agudas y crónica	VII-1935
Allende G Tuberculosis osteoarticular en el niño	XXV-1954
	IV-1932
Allende J.M Lillasis billar. Complicaciones posoperatorias	
Apestegul C.ATumores Retroperitoneales	LXIX-1998
Armand A.C. de- Fractura de la pierna. Tratamiento	XV-1943
Arce J Bocio exoftálmico	1-1928
Arce J Traumatismos craneanos y sus secuelas. Tratamiento	VII-1935
Argibay P.F Fisiopatología quirtirgica del aperato digestivo	LXXI-2000
Argonz V.E Magnitud de las resecciones oncológicas. Cabeza y cuello	XLV-1974
Armand Ugan V Emplema del adulto	VII-1935
Arright L.A Magnitud de las resecciones oncológicas. Ginecología	XLV-1974
* Por invitación	
-	
Babini D.S Evaluación del riesgo quirúrgico, Cirugia Torácica	L-1979
Babini R.J Compresiones medulares no traumáticas	XIV-1942
Bagnati E.P Endocrinopatias Quirúrgicas	XLVIII-1977
Balado M - Bocio exoftálmico. Cáncer de esólago	1-1928
Balado M Traumatismos craneanos y sus secuelas. Tratamiento	VII-1935
Baldi J Avances en el tratamiento del Shock	LIII-1982
Baraldi A Infecciones de la mano	IV-1932
Baro M.R Enfermedades precancerosas del tubo digestivo	LV-1984
Basaluzzo J.M Almentación enteral y parenteral en cirugía	LIV-1983
Benain F. Atención inicial del traumatizado grave	LXI-1990
Benain F Alencion micial del traumatizado grave  Benain F Traumatismos graves combinados en los accidentes de carretera. Quemaduras	XXXI-1990
Benati M Adelantos en el diagnóstico y en el tratamiento quirúrgico del cancer del recto y ano	LXII-1991 III-1931
Bengolea A.J Mioma uterino	
Bermudez O Hemorragias masivas gastroduodenaies. Tratamiento	XXII-1951
Bernardello E.T.L Recientes avances en el diagnóstico y tratamiento del cáncer de la mama	LV-1984
Berra J.L Enseñanza de la cirugia en el pregrado	XLIII-1972
Berri R.A Lesiones quirurgicas de las vias billares	XLIX-1978
Beveraggi E.M Sepsis y cirugia - Aspectos clínicos	XLI-1978
Bianchi A Tumores del intestino delgado y del mesenterio. Anatomía patológica	XXVIII-1957
Blanco Acevedo E Litiasis del colédoco	XI-1939
Bolo P.O Endoarteritis obliterante de los miembros	VI-1934
Boretti J.J Hernias diafragmáticas	XXIX-1958
Bracco A.N Tretamiento quirúrgico de la tuberculosis pulmonar	XXVII-1956
Brachetto Brian D Tumores malignos primitivos de los huesos. Clasificación y	
diagnóstico anatomopatológico	X-1938

Caeiro J.A Hipertiroidismo	XV-1943
Cafasso J.C Seguridad en el quirófano	LXIII-1992
Calcagno 8 - Infecciones de la mano	IV-1932
Camaŭer A - Traumatismos de columna vertebral, Lesiones meduloencefălicas	IX-1937

	XIII-1941
Carnes O Absceso subfrénico	
Candnico A.N Diverticulosis colosigmoidea y complicaciones. Tratamiento	XXIII-1952
Caritat R Traumatismo del hombro. Secuelas	XXII-1951
Carpanelli J.B Fistulas digestivas externas abdominales	XLVI-1975
Carranza F Cáncer del recto inoperable	VIII-1936
Casal M.A Hemias hiatales	LI-1980
Casaretto E.A Traumatismos de Abdomen y Pelvis	LXVII-1996
Casiraghi J.CQuiste hidatidico y sus complicaciones. Tratamiento	XXX-1959
Cassane E - Injurias guirtirgicas de la via billar	LXX-1999
Castaño E Traumatismos del riñón	XVII-1945
Castillo Odena I Tuberculosis osteoarticular en el adulto	XXV-1954
Cavadas D Fisiopatología quirúrgica del aparato digestivo	LXXI-2000
Cataldo J.*- Cáncer de laringe (Roentgenterapia)	XXVI-1955
Caviglia A - Cáncer de mama	II-1930
Ceballos A Cáncer de intestino grueso (recto excluído)	III-1931
Ceballos A Supuraciones pulmonares no tuberculosas	VI-1934
Centeno E.N Magnitud de las resecciones oncológicas. Mama	XLV-1974
Cendan Allonso J.E.* Quiste Hidatidico del Higado y sus complicaciones. Tratamiento	XXX-1959
Ceraso O.L Tratamiento multidisciplinario del dolor. Indicaciones y resultados	LVIII-1987
	XXIX-1958
Cesanelli A.J Hernias diafragmáticas	
Clmino C Hemorragias digestivas altas graves	LXVII-1996
Comalli E.R. Amputaciones	XXXIII-1962
Copello O Cáncer de colon derecho y transverso	III-1931
Copello O Tumores malignos primitivos de los huesos. Diagnóstico clínico	X-1938
Cornejo Saravia E Fracturas de la garganta del pie	XI-1939
Correas C.A Sulfamidoterapia. Concepto biológico.	XXVIII-1957
Cottini G.F Sindrome cervicobraguiel	XV-1937
Couceiro A Traumatismos del abdomen	XLVII-1976
Covaro A. A Quimioterapia en cirugía	XV-1943
Covarrubias A Hipertiroidismo. Tratamiento	XV-1943
	XV-1943
Croquevielle A Fractura de la plema	XV-1843
Obtained 11.11 - magnitud on his resecciones discongress. Our comes de his partes translats del	
tranco y extremidades en el adulto	XLV-1974
tranco y extremidedes en el adulto	XLV-1974
trance y extremidades en el adulto	XLV-1974
tronco y extremidades en el adulto	XLV-1974
tronco y extremidades en el adulto	XLV-1974
tronco y extremidades en el adulto	
tronco y extremidades en el adulto	XXXVII-1968
tronco y extremidades en el adulto  * Por invitación  CH  Chambouleyron E.J Megacoion en el adulto Chiappetta Porras L.ATratamiento quirurgico de las complicaciones de la pancrealitis aguda	XXXVII-1968 LXXII-2001
tranco y extremidades en el adulto  * Por invitación  CH  Chambouleyron E.J Megacción en el adulto Chiaspeta Parras L.A Fratamiento quirirgido de las complicaciones de la pencreatifs aguda Chiaspeta Parras L.A Fratamiento quirirgido de las complicaciones de la pencreatifs aguda Chiasa Juan C. de - Ulicara pelítica posoporatoria.	XXXVII-1966 LXXII-2001 XII-1951
tronco y extremidades en el adulto  * Por invitación  CH  Chambouleyron E.J Megacolon en el adulto Chiapetta Porras L. A. Tratamiento quirurgico de las complicaciones de la pancrealitis aguda Chiara Juan C. de - Ulcera péptica posoperatoria Chiara Chiara Sida y cirugla	XXXVII-1988 LXXII-2001 XII-1981 LXIV-1993
tranco y extremidades en el adulto  * Por invitación  CH  Chambouleyron E.J Megacción en el adulto  Chiappetta Parras L.A Fratamiento quirirgido de las complicaciones de la pencreatifs aguda  Chiesa Juan C. de - Ulicar a pelítica posoperatoria  Chiesa D. M Sida y cinugla  Christensen J.C Sindriome cervicobraquial.	XXXVII-1966 LXXII-2001 XII-1951 LXIV-1993 XXVIII-1957
tronco y extremidades en el adulto  * Por invitación  CH  Chambouleyron E.J Megacolon en el adulto Chiappetta Porras L. A. Tratamiento quirulgico de las complicaciones de la pancrealits aguda Chiara Juan C. de - Ulcera péptica posoperatoria Chiara Juan C. de Sindrome cervicobraquia Christensen J.C Sindrome cervicobraquia Christmann E.F. Ulcera péptica posoperatoria. Tratamiento	XXXVII-1966 LXXII-2001 XII-1951 LXIV-1993 XXVIII-1957 XXIII-1957
tranco y extremidades en el adulto  * Por invitación  CH  Chambouleyron E.J Megacción en el adulto  Chiappetta Parras L.A Fratamiento quirirgido de las complicaciones de la pencreatifs aguda  Chiesa Juan C. de - Ulicar a pelítica posoperatoria  Chiesa D. M Sida y cinugla  Christensen J.C Sindriome cervicobraquial.	XXXVII-1966 LXXII-2001 XII-1951 LXIV-1985 XXVIII-1951 XXII-1951
tronco y extremidades en el adulto  * Por invitación  CH  Chambouleyron E.J Megacolon en el adulto Chiappetta Porras L. A. Tratamiento quirulgico de las complicaciones de la pancrealits aguda Chiara Juan C. de - Ulcera péptica posoperatoria Chiara Juan C. de Sindrome cervicobraquia Christensen J.C Sindrome cervicobraquia Christmann E.F. Ulcera péptica posoperatoria. Tratamiento	XXXVII-1966 LXXII-2001 XII-1951 LXIV-1985 XXVIII-1951 XXII-1951
tronco y extremidades en el adulto  * Por invitación  CH  Chambouleyron E.J Megacolon en el adulto Chiappetta Porras L. A. Tratamiento quirulgico de las complicaciones de la pancrealits aguda Chiara Juan C. de - Ulcera péptica posoperatoria Chiara Juan C. de Sindrome cervicobraquia Christensen J.C Sindrome cervicobraquia Christmann E.F. Ulcera péptica posoperatoria. Tratamiento	XXXVII-1966 LXXII-2001 XII-1951 LXIV-1993 XXVIII-1957
tranco y extramidades en el adulto  * Por invitación  CH  Chambouleyron E.J Megacolon en el adulto Chiappetta Porras L.A Tratamiento quirrigico de las complicaciones de la pancrealits aguda Chiasa Juna C. de - Ulicara pelífica poscoperatoria Chiesa D. M Sids y crusida Ch	XXXVII-1966 LXXII-2001 XII-1951 LXIV-1993 XXVIII-1957 XXIII-1957
tranco y extramidades en el adulto  * Por invitación  CH  Chambouleyron E.J Megacolon en el adulto Chiappetta Porras L.A Tatamiento quirirgico de las complicaciones de la pancrealitis aguda Chiasa Juan C. de - Ulicara pélitica posoperatoria Chiesa D. M Sids y crugida Christensen J.C Sindrame corriscobraquial.  Christensen J.C Sindrame corriscobraquial.  Christensen F.E Ulcara péptica posoperatoria. Tratamiento Chulro P Apendicitis Complicaciones posoperatorias	XXXVII-1986 LXXII-2001 XII-1957 LXIV-1962 XXVIII-1957 XXII-1951 II-1930
tranco y extremidades en el adulto  * Por invitación  CH  Chambouleyron E.J Megacción en el adulto Chiaspetta Parras L.A Fratamiento quirirgico de las complicaciones de la pencreatifs aguda Chiasa Juan C. de - Ulicar apélica posoperatoria Chiesa D. M Sida y cirugia Christensen J.C Sindrome cervicobraquial Christensen J.C Sindrome cervicobraquial Christmann F.E Ulicare péptica posoperatoria, Tratamiento Chutro P Apendicitis. Complicaciones posoperatoriae  D  Dal Lago H Traumatismos graves combinados en los accidentes de carretera	XXXVII-1966 LXXII-2001 XII-1951 LXIV-1980 XXVII-1957 XXII-1957 XXII-1930 XXXI-1960
tranco y extramidades en el adulto  * Por invitación  CH  Chambouleyron E.J Megacolon en el adulto Chiappetta Porras L.A Tratamiento quirirgico de las complicaciones de la pancrealitis aguda Chiesa Juan C. de - Ulcara pélipica posoperatrio. Chiesa D. M Sida y cruoja Christensen J.C Sindrome convicobraquial. Christensen J.C Sindrome convicobraquial. Christensen E.C Ulcara péptica posoperatoria. Tratamiento Churlo P Apendicis Complicaciones posoperatorias  D  Dal Lago H Traumatismos graves combinados en los accidentes de carretere. Debonis D.L Incumbencias de la Asociación Argentina de Cirugía en la Práctica Quinirgica.	XXXVII-1986 LXXII-2001 XII-1951 LXIV-1953 XXVIII-1957 XXII-1951 II-1930 XXXII-1966 LXXXII-1966
tranco y extremidades en el adulto  * Por invitación  CH  Chambouleyron E.J Megacción en el adulto Chiaspetta Parras L.A Fratamiento quirirgico de las complicaciones de la pencreatifs aguda Chiesa D. M Sida y cirugia Christensen J.C Sindrome cervicobraquial Christensen J.C Sindrome cervicobraquial Christensen J.C Sindrome cervicobraquial Christensen F.E Ulcare páptica posoperatoria. Tratamiento Chutro P Apendicitis. Complicaciones posoperatorias  D  Dal Lago H Traumatismos graves combinados en los accidentes de carretera Debonis D.L Incumbencias de la Asociación Argentina de Cirugía en la Práctica Quirúrgica Del la Vega C.A Hemoragia de gestiva graves on hiperansión portal.	XXXVII-1968 LXXII-2001 XII-1951 LXIV-1995 XXXII-1957 XXII-1957 XXXII-1960 XXXII-1960 XXXII-1970 XXXII-1970 XXXII-1970
tranco y extramidades en el adulto  * Por invitación  CH  Chambouleyron E.J Megacolon en el adulto Chiappetta Porras L.ATratamiento quirirgico de las complicaciones de la pancrealitis aguda Chiesa D. M Sida y cruoja Chiesa D. M Sida y cruoja Christensen J.C Silnáriome convicobraquial Christensen J.C Silnáriome convicobraquial Christensen E.C Ucera páptica possperatoria. Tratamiento Christensen T.E Ucera páptica possperatoria Tratamiento  D  Dal Lago H Traumatismos graves combinados en los accidentes de carretera Debonia D.L Incumbencias de la Asociación Argentia de Cirugia en la Práctica Quirúrgica De la Vega C.A Hiemorragia digestiva grave por hipertensión portal	XXXVII-1986 LXXII-2001 XII-1951 LXIV-1995 XXVIII-1957 XXII-1961 II-1930 XXXII-1986 LXXI-1988 LLIV-1973 LIV-1973
tranco y extremidades en el adulto  * Por invitación  CH  Chambouleyron E.J Megacción en el adulto Chiaspetta Parras L.ATratamiento quirirgico de las complicaciones de la pencreatifs aguda Chiasa Juan C. de - Ulicara pelífica posoperatoria Chiesa D. M Sida y cirugia Christensen J.C Sindrome cervicobraquial Christensen J.C Sindrome cervicobraquial Christensen E.F Ulicare pelífica posoperatoria, Tratamiento Chutro P Apendicitis. Complicaciones posoperatoriae  D  Dal Lago H Traumatismos graves combinados en los accidentes de carretera Debonis D.L Incumbencias de la Asociación Argentha de Cirugía en la Práctica Quirúrgica Del Nega C.A Hemoragia de digestivis grave por hipertensión portal Deletito J.R Hepatectomias Del Castillo E.B Accidin hormonal sobre el desarrollo de la glaindula mamaria y la lactancia.	XXXVII-1986 LXXII-2001 XII-1951 LXIV-1965 XXVII-1957 XXII-196 XXXI-1966 LXX-1968 XLIV-1972 LIV-1972 LIV-1978
tranco y extremidades en el adulto  * Por invitación  CH  Chambouleyron E.J Megacolon en el adulto Chiappetta Purras L.ATratamiento quirirgico de las complicaciones de la pancrealits aguda Chiesa D. M Sids y crugia Chiesa D. M Sids y crugia Christensen L.C Silindrome cervicobraquial Christensen L.C Silindrome cervicobraquial Christensen E.C Silindrome cervicobraquial Christensen E.C Silindrome cervicobraquial  Christensen E.C Silindrome cervicobraquial  Christensen E.C Usora páptica posoperatoria. Tratamiento Churor P Apendicitis Complicaciones posoperatorias  D  Cal Lago H Traumatismos graves combinados en los accidentes de carretera Debons D.L Incumbancias de la Asociación Argentina de Cirugia en la Práctica Cuirirgica Del Casillio E.B Heinerragia digestiva grave por hipertensión portal Deletito J.R Prepatectomias Del Casillio E.B Accidin normanal sobre el desarrollo de la giándula mamaria y la lactancia. Delorome J.C Anassesia andovenosa	XXXVII-1986 LXXII-2001 XII-1951 LXIV-1992 XXVII-1957 XXII-1951 LXX-1969 XLIV-1972 LIV-1968 XXV-1956 XXV-1956
tranco y extremidades en el adulto  * Por invitación  CH  Chambouleyron E.J Megacolon en el adulto Chiappetta Purras L.ATratamiento quirirgico de las complicaciones de la pancrealits aguda Chiesa D. M Sids y crugia Chiesa D. M Sids y crugia Christensen L.C Silindrome cervicobraquial Christensen L.C Silindrome cervicobraquial Christensen E.C Silindrome cervicobraquial Christensen E.C Silindrome cervicobraquial  Christensen E.C Silindrome cervicobraquial  Christensen E.C Usora páptica posoperatoria. Tratamiento Churor P Apendicitis Complicaciones posoperatorias  D  Cal Lago H Traumatismos graves combinados en los accidentes de carretera Debons D.L Incumbancias de la Asociación Argentina de Cirugia en la Práctica Cuirirgica Del Casillio E.B Heinerragia digestiva grave por hipertensión portal Deletito J.R Prepatectomias Del Casillio E.B Accidin normanal sobre el desarrollo de la giándula mamaria y la lactancia. Delorome J.C Anassesia andovenosa	XXXVII-1986 LXXII-2001 XII-1951 LXIV-1965 XXVII-1957 XXII-196 XXXI-1966 LXX-1968 XLIV-1972 LIV-1972 LIV-1978
tranco y extremidades en el adulto  * Por invitación  CH  Chambouleyron E.J Megacción en el adulto Chiaspetta Parras L.ATratamiento quirirgico de las complicaciones de la pencreatifs aguda Chiasa Juan C. de - Ulicara pelífica posoperatoria Chiesa D. M Sida y cirugia Christensen J.C Sindrome cervicobraquial Christensen J.C Sindrome cervicobraquial Christensen E.F Ulicare pelífica posoperatoria, Tratamiento Chutro P Apendicitis. Complicaciones posoperatoriae  D  Dal Lago H Traumatismos graves combinados en los accidentes de carretera Debonis D.L Incumbencias de la Asociación Argentha de Cirugía en la Práctica Quirúrgica Del Nega C.A Hemoragia de digestivis grave por hipertensión portal Deletito J.R Hepatectomias Del Castillo E.B Accidin hormonal sobre el desarrollo de la glaindula mamaria y la lactancia.	XXXVII-1966 LXXII-2001 XII-1951 XXVIII-1957 XXII-1957 XXII-1957 XXII-1962 XXXI-1968 XXII-1968 XXVI-1958 XXVI-1954 XXVI-1964 XXVI-1964 XXVI-1964
tranco y extremidades en el adulto  * Por invitación  CH  Chambouleyron E.J Megacolon en el adulto Chiappetta Purras L.ATratamiento quirirgico de las complicaciones de la pancrealits aguda Chiesa D. M Sids y cruoja Christensen L.G Silindriame cervicobraquial Christensen L.G Silindriame cervicobraquial Christensen E.C Silindriame cervicobraquial Christensen E.C Silindriame cervicobraquial Christensen E.C Silindriame cervicobraquial  Christensen E.C Silindriame cervicobraquial  Christensen E.C Silindriame cervicobraquial  Christensen E.C Silindriame cervicobraquial  Dutro P Apendicitis Complicaciones posoperatorias  D  Cal Lago H Traumatismos graves combinados en los accidentes de carretera Debons D.L Houmbencias de la Asociación Argentina de Ciruglia en la Práctica Culririgica  De la Vega C.A Hemorragia digestiva grave por hipertensión portal Deleitito J.R Pespacticomias  Deleitito J.R Anassesia endovenosa  Deloriam J.C Anassesia endovenosa  Deleito J.M Quemaduras, Tratamiento  Del Sal J Cancer de la tringe (Roentgenterapia)	XXXVII-1988 LXXII-2001 XII-1951 LXIV-1995 XXVII-1957 XXII-1951 XXXI-1986 LXX-1998 XLIV-1972 LIV-1982 XXV-1965 XXV-1965 XXV-1964 XXV-1965 X
tranco y extremidades en el adulto  * Par invitación  CH  Chambouleyron E.J Megacolon en el adulto Chiappetta Purras L.A Trasamiento quárrigleo de las complicaciones de la pancrealits aguda Chiadensen J.G Glindrome cervicobraquial Christensen J.G Silndrome cervicobraquial Christensen J.G Silndrome cervicobraquial Christensen J.G Silndrome cervicobraquial Christensen J.G Hora peptico pasoperatoria.  Da Lago H Traumatismos graves combinados en los accidentes de carrelera Debonis D.L Incumbancias de la Asociación Argentina de Cirugia en la Práctica Curiurgica De la Vaga C.A Hamorargial digestiva grave por hipertensión portal Deletito J.R Repalactionias Del Casillo E.B Acción hornoros sobre el desarrollo de la gidridula mamaria y la lactancia.  Delfin J.M Quernaduras, Tratamiento. Del Sal J. C Por pan de ne adulto.	XXXVII-1966 LXXII-2001 XII-1951 XXVIII-1957 XXII-1957 XXII-1957 XXII-1962 XXXI-1968 XXII-1968 XXVI-1958 XXVI-1954 XXVI-1964 XXVI-1964 XXVI-1964
tranco y extremidades en el adulto  * Por invitación  CH  Chambouleyron E.J Megacolon en el adulto Chiappetta Purras L.ATratamiento quirirgico de las complicaciones de la pancrealits aguda Chiesa D. M Sids y cruoja Christensen L.G Silindrime cervicobraquial Christensen L.G Silindrime cervicobraquial Christensen E.C Managinia prosperatorias  D  Cal Lago H Traumatismos graves combinados en los accidentes de carretera Deboro S.L Republicación de la Acocalción Agentina de Curujás en la Práctica Cultrigica Deboro S.L Arepasectomias Del Castillo E.B Accidin normanal sobre el desarrollo de la glándula mamaria y la lactancia Delorime J.C Anassésia andovenosa Deliro J.M Quernaduras, Tratamiento Del Sat I Cancer de la tringe (Renetigenterapia) Del Sat II- Cancer pose persono de la dutifo	XXXVII-1966 LXXII-2001 XII-1951 XXII-1957 XXII-1957 XXII-1957 XXII-1957 LXX-1958 XLIV-1957 LIV-1958 XXV-1955 XXII-1944 XXVI-1955 XXVI-1955 XXVI-1955
tranco y extremidades en el adulto  * Por invitación  CH  Chambouleyron E.J Megacolon en el adulto Chiappetta Porras L.ATratamiento quirrigico de las complicaciones de la pancrealits aguda Chiesa D.M Sids y circigla  D. Chiesanan E.E Ulcera patipica posoperatoria  Chiesanan E.E Ulcera patipica posoperatoria  D. Lago H Traumatismos graves combinados en los accidentes de carretera  Debonis D.L Incumbancias de la Asociación Argentina de Circiglia en la Práctica Cuintrigica  De la Vega C.A Hiemorragia digestiva grave por hiperfensión portal.  Delletito J.R Areasion el composito de la giándula mamaria y la lactancia  Dellotina L.C Anesissia endovenosa  Dellotina L.C Anesissia endovenosa  Dellotina L.C Anesissia endovenosa  Dellotina L.C Anesissia endovenosa  Dellotina L.C Pie pano en el adulto  Del Sal J.M Pie plano en el adulto  Del Sal J.M Pie plano en el adulto  Del Paula DC Secuelas de la circigla gastroduodenal	XXXVII-1988 LXXII-200* XII-195* XXVIII-1955 XXXII-1985 XXXII-1986 LXX-1998 LXX-1998 XXV-1965 XXV-1965 XXV-1955 XX-1955 XX-
tranco y extremidades en el adulto  * Por invitación  CH  Chambouleyron E.J Megacolon en el adulto Chiappetta Purras L.ATratamiento quirirgico de las complicaciones de la pancrealits aguda Chiesa D. M Sids y criugia Christans J. C Silincimos cervicobraquial Christans D. M Sids y criugia Christansan F.E Ulcara peptica posoperatoria Christansan F.E Ulcara peptica posoperatoria. Tratamiento Christansan F.E Ulcara peptica posoperatoria. Tratamiento Christansan F.E Ulcara peptica posoperatoria. Tratamiento Chutro P Apendicitis. Complicaciones posoperatorias  D  Oal Lago H Traumatismos graves combinados en los accidentes de carretera.  Debona D.L Incumbancias de la Asociación Argentina de Cirugia en la Práctica Quinirgica.  De la Wega C.A Hemoragia diagestiva grave per imperensión portal.  Del Castillo E.B Acolón hormanal sobre el desarrollo de la glúndula mamaria y la factancia.  Delorme J.C Anassesia andovenosa.  Delín J.M Quemaduras. Tratamiento.  Del Sal J. Cancer de faringo (Rendigenterapia) Del Sal J. Accorce de faringo (Rendigenterapia) Del Sal J. Accorce de faringo (Rendigenterapia) Del Sal J. Ac Pie plano en el adulto.  De Paula J.A Alimentación enteral y paranterial en cirugia.	XXXVII-1968 LXXII-200* XXII-195* XXXII-195* XXII-195* XXII-196* XXII-196* XXIV-196* XXV-196* XXV-196* XXV-195*
tranco y extramidades en el adulto  * Por invitación  CH  Chambouleyron E.J Megacción en el adulto Chiappetta Porras L.A Tratamiento quiringico de las complicaciones de la pancrealits aguda Chiesa D. M Sids y crugida Chiesa D. M Sids y crugida Christensen J.C Sindrame corricobraquial D.  Dal Lago H Taumatismos graves combinados en los accidentes de carretera Debonis D.L Incumbencias de la Asociación Argentiña de Cirugia en la Práctica Quirúrgica De la Vega C.A Hemorragia digestiva grave por hipertensión portal Deletitio J.R Anassesia endovenosa Delorme J.C Anassesia endovenosa Delorme J.C Anassesia endovenosa Delito J.M Quemaduras. Tratamiento Del Sal J. Carrece de laringe (Romiganterapia) Del Sal J. Acrece de laringe (Romiganterapia) Del Sal J. A Fie plance en el adulto De Paula J.A Nimentación enteral y parentoral en cirugia de Santibandes E Tastamiento de las metistasis republicas  de Santibandes E Tastamiento de las metistasis republicas  De Paula J.A Alimentación enteral y parentoral en cirugia de Santibandes E Tastamiento de las metistasis republicas	XXXVII-1988 LXXII-200* XII-195* XXVIII-195* XXXII-1965 XXXII-1965 XXXII-1968 XXXII-1968 XXVII-1968
tranco y extremidades en el adulto  * Por invitación  CH  Chambouleyron E.J Megacolon en el adulto Chiappetta Purras L.ATratamiento quirirgico de las complicaciones de la pancrealits aguda Chiesa D. de - Ulicara pelítica posoperatorio. Chiesa D. M Sids y criugia Christensen L.G Silnárione cervicobraquial. Christensen L.G Silnárione cervicobraquial. Christensen E.G Silnárione cervicobraquial. Christensen E.G Silnárione cervicobraquial. Christensen E.G L'ocara peptica posoperatoria. Tratamiento Chutro P Apendicitis. Complicaciones posoperatoria.  D  Dal Lago H Traumatismos graves combinados en los accidentes de carretera Debona D.L Incumbencias de la Aseciación Argentina de Cirugia en la Práctica Quirirgica Debona D.L Hocumbencias de la Aseciación Argentina de Cirugia en la Práctica Quirirgica Del Mar G.A Hemortagia del agestinó grave por Imperensión portal. Del Casillo E.A Acción homonals sobre el desarrollo de la glandula mamaria y la lactancia. Del Sal J. Cancor de la tringo (Renatigenterapia) Del Paula J.A Alimentación enferal y parenterial en cirugia de Santibanes E Tatamiento de las metistasis hepáticas Deschamos J.H. Secuelas de la cirugía gastroduodenal Deschamos J.H. Secuelas de la cirugía gastroduodenal	XXXVII-1965 LXXII-2001 XII-1951 LXXII-1957 XXXII-1957 XXXII-1967 LXX-1967 LXX-1967 LXX-1967 LXX-1967 LXX-1968 LXX-1957 LXX-1968 L
tranco y extremidades en el adulto  * Por invitación  CH  Chambouleyron E.J Megacolon en el adulto Chiappetta Porras L.ATratamiento quirirgico de las complicaciones de la pancrealits aguda Chiesa D. M Sids y crugita Chiesa D. M Sids y crugita Christensen J.C Sindrame corvicobraquial Christensen J.C Sindrame corvicobraquial Christensen J.C Sindrame corvicobraquial Christensen F.E Ulcara péptica porsperatoria. Tratamiento Christensen J.C Sindrame corvicobraquial  De la Lago H Traumatismos graves combinidos en los accidentes de carretera Debonis D.L. Incumbencias de la Asociación Argentiña de Cirugia en la Práctica Curivrigica De la Vega C.A Hemorragia digestiva grave por hipertensión portal Delatito J.R Anassesia endovenosa Delorios D.C Anassesia endovenosa Delorios M Quemaduras. Tratamiento Del Sal J. Canassesia endovenosa Delito J.M Pie plane en el adulto Del Sal J. Cancer de tarring (Romitiganterapia) Del Sal J. Anassesia endovenosa Del Valle D Incues prosperation de la prantoral en cirugia Del Sal J. Anassesia endovenosa Del Valle D Incues prosperation de la prantoral en cirugia. Del Sal J. Anassesia endovenosa Del Valle D Incues prosperation de la metistassis hapáticas Deschamps J.H Secuelas de la cirugia gastroduodenal Delcham G.H Lumpooldicas rebelios	XXXVII-1966 LXXII-2001 XII-1951 XIV-1957 XXII-1957 XXII-1957 XXXII-1957 XXII-1957 XXII-1957 XXII-1957 XXII-1957 XXII-1957 XXII-1957 XXII-1957 XXII-1957 XXII-1957 XXII-1958 LXII-1958 LXII
tranco y extremidades en el adulto  Por invitación  CH  Chambouleyron E.J Megacción en el adulto Chiappetta Porras L.ATratamiento quirirgico de las complicaciones de la pancrealits aguda Chiasa Juan C. de - Ulicara pelítica posoperatori. Chiasa Juan C Silindrime cervicobraquial Christensen LG Silindrime cervicobraquial Christensen LG Silindrime cervicobraquial Christensen E.C Silindrime cervicobraquial Christensen E.C Silindrime cervicobraquial Christensen E.C Apendicitis Complicaciones posoperatoria. Tratamiento Chutro P Apendicitis Complicaciones posoperatoria.  De la Lago H Traumatismos graves combinados en los accidentes de carretera Debones D.L Incumbencias de la Aseciación Argentina de Cirugia en la Práctica Quirirgica Debones D.L Henoratgia del agestiva graves por inperensión portal Deletito J.R Hepsalectomias Deletito J.R Hepsalectomias Deletito J.R Hepsalectomias Deletito J.R Piepalectomias Deletito J.R Almontagició en del adulto Deletito J.R Almontagició en referencia parametra del cirulgia gestroduodenal Deletito J.R Piepalectomias De Paula J.R Almontagició enteral y parametrar en cirugia de Sambbales E Tatamiento de las metistasis hepáticas Deckamas J.H Secuelas de la cirulgía gestroduodenal	XXXVII-1988 LXXII-200* XII-195* XXVII-195* XXII-195* XXXI-196* XXXII-196* XXXIII-196* XXXIII-19
tranco y extremidades en el adulto  * Por invitación  CH  Chambouleyron E.J Megacolon en el adulto Chiappetta Porras L.A Tatamiento quirirgico de las complicaciones de la pancrealits aguda Chiesa D. M Sids y crugita Chiesa D. M Sids y crugita Christensen J.C Sindrame corvicobraquial Christensen J.C Sindrame corvicobraquial Christensen J.C Sindrame corvicobraquial Christensen T.E Ulcara péptica porsperatoria. Tratamiento Christensen J.C Sindrame corvicobraquial  De Lago H Traumatismos graves combinidos en los accidentes de carretera Debonis D.L. Incumbencias de la Asociación Argentina de Cirugia en la Práctica Curivrigica De la Vega C.A Hemorragia digestiva grave por hipertensión portal Delatito J.R Anassesia endovenosa Del Castillo E.B Acción hormonal sobre el desarrollo de la glándula mamaria y la lactancia Delorme J.C Anassesia endovenosa Delito J.M Cuemaduras. Tratamiento Del Sal J. Cancer de tarring (Romitiganterapla) Del Sal J. Cancer de tarring (Romitiganterapla) Del Sal J. Actance posseparatoria de la praenteral en cirugia de Santibandes en el adulto Del Palla C. Incumbencia en eferal y agentoria en cirugia.  Seschamps J.H Secuelas de la cirugia gastroducidenal Dickman G.H Lumbocidicas reheiloss Didier A Homoroparatilico (excluídas parálisis obstetiricas) Didie A Homoroparatilico (excluídas parálisis obstetiricas) Didie A Homoroparatilico (excluídas parálisis obstetiricas)	XXXVII-1988 LXXII-200* XII-195* LXIV-1965 XXVIII-1955 XII-1930 XXXV-1969 XXIV-197* LIV-1987 XXV-1955 XXV-1955 XXV-1955 XXV-1958 LIV-1988 LIV-1988 LIV-1988 LIV-1988 LXIV-1988 LXIV-1988 LXIV-1988 LXIV-1988 LXIV-1988 LXIV-1988 LXIV-1988 LXIV-1988 LXIV-1988 LXIV-1988 LXIV-1988 LXIV-1988 LXIV-1988 LXIV-1988 LXIV-1988 LXIV-1988 LXIV-1988 LXIV-1988 LXIV-1988 XXII-1988 XX
tranco y extremidades en el adulto  Por invitación  CH  Chambouleyron E.J Megacción en el adulto Chiappetta Porras L.ATratamiento quirirgico de las complicaciones de la pancrealits aguda Chiasa Juan C. de - Ulicara pelítica posoperatori. Chiasa Juan C Silindrime cervicobraquial Christensen LG Silindrime cervicobraquial Christensen LG Silindrime cervicobraquial Christensen E.C Silindrime cervicobraquial Christensen E.C Silindrime cervicobraquial Christensen E.C Apendicitis Complicaciones posoperatoria. Tratamiento Chutro P Apendicitis Complicaciones posoperatoria.  De la Lago H Traumatismos graves combinados en los accidentes de carretera Debones D.L Incumbencias de la Aseciación Argentina de Cirugia en la Práctica Quirirgica Debones D.L Henoratgia del agestiva graves por inperensión portal Deletito J.R Hepsalectomias Deletito J.R Hepsalectomias Deletito J.R Hepsalectomias Deletito J.R Piepalectomias Deletito J.R Almontagició en del adulto Deletito J.R Almontagició en referencia parametra del cirulgia gestroduodenal Deletito J.R Piepalectomias De Paula J.R Almontagició enteral y parametrar en cirugia de Sambbales E Tatamiento de las metistasis hepáticas Deckamas J.H Secuelas de la cirulgía gestroduodenal	XXXVII-1988 LXXII-200* XII-195* XXVII-195* XXII-195* XXXI-196* XXXII-196* XXXIII-196* XXXIII-19

E

	F	
	en e	
alco J.E Valor del mapeo linfático en la	cirugia oncológica	LXXIII-20
	0	LII-19
		LXII-19
	crónicas de los miembros. Tratamiento	XXXIV-19
	puirtirgico	XXIII-19
	velas	XXII-19 XX-19
	bilis s ancológicas, Tubo digestivo abdominal	XLV-19
	mia	XXXVI-19
	if (adultos)	IV-19
	II (adultos)	IV-19
	bral	IX-19
	men y Pelvis	LXVII-19
	y tratamiento de la patología biopancreática Billar benigna	LX-19
	soperatoria	XXII-19
		XXXII-19
	G G	
alindez B Tuberculosis genital de la r	пијог	VIII-19
	l en el niño	IV-19
arcia Lagos H Supuraciones no tube	rculosas del pulmón	VI-19
ernz R.A Patologia anorrectal quinurg	pica no maligna en el adulto	XL-19
obauer W. T Traumatismos de la mano	y de los dedos. Secuelas	XXIII-19
	ferma critica	LXXII-20
	Code of	XXXV-19 XXXIX-19
	r radioyodo	181.19
Smor O. I lloors do durdona Testomias	No	IX-19
	NO	XXVIII-19
	stroduodenales, Tratamiento	XXII-19
vostianua S - Tumoras del intestino dei	lgado y mesenterio	XXVIII-19
	4	LIX-19
		XXX-19
pardado J Tumores malignos primitivo	s de los huesos. Radioterapia	X-19
vruchaga J.V Condiciones que debe i	reunir una institución donde se practica cirugia	XLVII-19
uliérrez A Anestesia peridural		X-19
utiérrez J Hipertiroidismo. Radioterapi	8	XV-19
	ada y recertificación	LVII-19
	Tratamiento	XII-19
utiérrez V.P Hemorragias digestivas al	las graves	XLIV-19
	н	
sickel P* - Cáncer de laringe (Roento	enterapia)	XXVI-19
	culares	L-19
ermeto S Hipertiroidismo. Tratamienti	σ	XV-19
		XLVIII-19
	9	XXVII-19
liskamp P- Cáncer de estómago		LXVI-19
Por invitación	ï.	
	171	
trozzi A.S Hipertension arterial, Trats	smiento quirurgico	XIX-19 X-19
anissevich C+ Guistes hidatidicos de	puimón. Tratamiento	X-15
	J	
kurani i P. Ostanmialitis anuda u celari	ica en el adulto. Tratamiento	VII-19
	ca en el autric. Iraiamento	XXXII-19
	niento operatorio	1-15

Jorge M.A Avances en el tratamiento del «shock»	LIII-198
К	
Katz E Traumatismos del abdomen	XLVII-1976
Kessler Henry H.*- Amputaciones	XXXIII-196
L	
Lagomarsino E.H Fractura de la pierna	XV-1940
Lagos García A Invaginación intestinal en el niño. Diagnóstico y tratamiento	XVIII-1947
Landivar A Fractura del antebrazo en el adulto	III-1931
Lange W.G Infección quirargica	XXXII-196
Langer L Bronquiectasias en el adulto  Laurence A.E Céncer de colon sigmoldeo y del recto Tratamiento quintrolco	XX-1949 XXXVI-1965
Lavisse J Tumores del intestino delgado y del mesenterio. Radiología	XVIII-195
Leborgne F.* - Cáncer de mama. Roentgenterapia	XXV-195
Leger L.* - Pancreatitis Crónica	XXXIII-1980
Lemos Ibañez A Tumores malignos de los huesos. Radioterapia	XXX-1959
Libonatti E.J Sepsis v cirugia, Bacteriologia v parte general	XLIX-1978
Longo O.F Pancreatitis aguda	XLVI-1976
López Avellaneda E.M Implicancias médico-legales de la práctica quinirgica	LXXIII-2002
Lorenzino C.A Terapia intensiva. Organización y funcionamiento	XLIV-1973
Loudet O Traumalismos craneános secuelas psiquicas y problemas médico-legales Loyúdice F Reintervenciones de urgencias en cirugía abdominal. Complicaciones mecánicas	VII-1938 XXXV-1984
toy record the notion of the general and the great appointment by the productions in equipment	AAA4190-
u.	
Liambías M.R Pie varo equino congénito	XXVII-1956
M	
Magnanini F- Litiasis de la via biliar principal.	LII-1981
Mainetti J.M Cáncor gástrico. Diagnóstico y tratamiento	XXXVIII-1967
Malvárez O Parálisis obstátrica	XXIX-1958
Mammoni C.H Tratamiento quirúrgico paliativo del cáncer del tubo digestivo	LVII-1986
Manfredi F.J Tumores malignos de tiroldes	XXIV-1953
Manrique J «Shock» quirurgico	XXXIII-1962
Maraini B Litlasis reno-ureteral	VIII-1936
Marino S Mioma uterino. Complicaciones Marótloli O.R Seudoartrosis. Tratamiento	III-1931 XVIII-1947
Martinez J.L Tumores del mediastino	XXXI-1960
Martinez Marull A Responsabilidad ética y jurídica del cirujano y de las instituciones	LIX-198
Martinez M.M Ulcera péptica posoperatoria	XXII-1951
Maturana G Hemorragias masivas gastroduodenales Tiatamiento	XXII-1961
Mattos Barretto P. de- Megaesófago. Tratamiento	XXIII-1952
Mazzariello R Litiasis de la via biliar principal	LII-1981
Mazzini O Suficiencia hepática en la cirugia del higado y vias biliares	IX-1937
Mercado H.R Aorta abdominal cirugia de la	XLI-1970
Mettler E Cirugia abdominal en el paciente crítico.	LVIII-1987
Mezzadri N.A Valor del mapeo linfático en la cirugía oncológica. Michans JTumores retroperitoneales, con exclusión de los renales.	LXXIII-2002
Michans J Tumores retroperitoneates, con exclusion de los renales Milanese J.C Cirugía colorrectal de urgencia	XXIV-1953
Minizzi P.L Littasis del coledoco. Tratamiento	XI-1985
Moirano J.J Futuro del cirujano general y de los servicios de cirugia	LXV-1994
	VIII-1936
Wolinari J.L.*- Tuberculosis genital. Fisioterapia	IX-1907
Molinari J.L.*- Tuberculosis genital. Fisioterapia Montenegro B Ulcera de duodeno. Tratamiento	
Montenegro B Ulcera de duodeno. Tratamiento	LXXIII-2002
Montenegro B Ulicare de duodeno. Tratamiento. Montesinos M. R Valor del mapeo linfático en la cirugía oncológica. Morel C Pancreatilis crónica.	XXXIII-1962
Montenegro B Licera de duodeno. Tratamiento. Montesiros M. R Valor del mapea (nifiliacio en la cirugia oncológica Morel C Pancreatilis crònica. Morel G Pancreatilis crònica.	XXXIII-1962 XXXIX-1968
Montenegro B Ulicare de duodeno. Tratamiento. Montesinos M. R Valor del mapeo linfático en la cirugía oncológica. Morel C Pancreatilis crónica.	XXXIII-1962
Montenegro B Uicera de duodeno. Tratamiento. Montesinos M. F. Valior del mape dinificto en la cirrugia oncológica Morei C Pancreatitis crònica Morei C Pancreatitis crònica Morei C Caxa-esta del páncreas Múscolo D Coxa-esta del adolescente	XXXIII-1966 XXXIX-1966 XXI-1950
Montenegro B Licera de duodeno. Tratamiento. Montesiros M. R Valor del mapea (nifiliacio en la cirugia oncológica Morel C Pancreatilis crònica. Morel G Pancreatilis crònica.	XXXIII-1962 XXXIX-1968

Negri A Lesiones accidentales operatorias de las vias billares y de los elementos del pediculo	
hepático	XXI-1950
Neira J Atención inicial del traumatizado grave	LXI-1990
Nicholson E - Prolapso penital de la mujer	XVI-1944
Nocito F.J Amoutaciones	XXXIII-1962
Nornaksteinsky J Balance hidroelectrolitico en cirugia	XXIX-1958
Por invitación	
0	
Odriozola M.J Hidatidosis Abdominal	LXIX-1998
Diea Quintana G.M Fisiopatología quirúrgica del aparato digestivo	LVVI-2000
Olaciregui J.C Tratamiento quirúrgico de las esofagopatías benignas	XLIII-1972
Oleage Alarcón F Turnores malignos de los huesos	XXX-1950
Onate T.J Endocrinopatias quirúrgicas	XLVIII-197
Oria A.S Adelantos en el diagnóstico y tratamiento de la patología billopancreática.	NOTATION OF THE
Pancreática benigna	LX-1989
Ortiz F.E Análisis e importancia del costo beneficio en cirugía	LXI-1990
Ortiz J.A Videolaparoscopia en el abdomen agudo	LXVIII-199
Otalza Molina E.* - Ulcera gastroduodenal. Estado actual del tratamiento	XXXIV-196:
Ottolenghi C.E Fracturas expuestas. Tratamiento	XVII-194
Padrón R.A Sepsis y cirugia. Características en un área de cuidados intensivos	XLIX-1978
Páez E.M Infección guirúrgica	XXXII-1961
Palma E.C.*- Arleriopatias periféricas. Tratamiento	XXXIV-1963
Pasman R.E Mai de Pott. Tratamiento quirúrgico	II-1930
Pavlovsky A Esplenopatías quirúrgicas con exclusión de lesiones traumáticas y quistes	1000
h/dat/dicos	XXI-1950
Pavlovsky A.J Espleriopatias quintrgicas con exclusión de lesiones traumáticas y quistes hidatidicos	XXI-1950
Pellegrini C.A Cirugia videoscópica	LXV-1994
Palliza J.M Bronquiectasias en el niño	XX-1949
Perera S.G Litiasis de la via biliar principal	LII-1981
Perinetti H Hipertiroidismo. Tratamiento	XXXIX-1968
Petlinari R.L Hidatidosis Abdominal	XLIX-1991
Petracchi L Artroplastias de cadera. Indicaciones técnicas y resultados	XXIV-195
Pilheu F.R Cáncer avanzado. Tratamiento quirúrgico	XL-1969
Piqué J.A. '- Luxación congénita de la cadera	XIX-194
Piqué J.A Secuelas de fracturas de la epifisis femoral superior, Tratamiento	XXXII-196
Piquerez C Hipertiroidismo. Tratamiento	XV-1943
Pirosky Y Infección quirúrgica	XXVI-1955
Podestá D- Tumores del mediastino	XXXI-196
Pollastri E.J Incumbencias de la Asociación Argentina de Cirugía en la Práctica Quirúrgica	LXX-1999
Pons L.M Cáncer de laringe (Roentgenterapia)	XXVI-195
Ponseti L*- Escoliosis	XXVIII-1957
Prat D Oclusión intestinal aguda. Tratamiento	V-193
Puente J.J Várices de los miembros inferiores. Compleio cutáneo	XI-193
Pulvertaft G.*- Traumatismos de las manos y de los dedos. Secuelas	XXIII-1952
Por invitación	
0	
Ouesada E.M Endocrinopatias quinúrgicas  Ouirno N.*- Colitis ulcerosa inespecífica. Tratamiento.	XLVIII-1977 XXX-1959
	1000
Por invitación	
R	
R Ramos Mejia M.M Ulcera gastroduodenal. Estado actual del tratamiento médico	XXXIV-196
Ramos Mejía M.M Ulcera gastroduodenal. Estado actual del tratamiento médico	XLVIII-1977
Ramos Mejia M.M Ulcera gastroduodenal. Estado actual del tratamiento médico	XLVIII-1977
Ramos Mejia M.M Ulcera gastroduodenal. Estado actual del tratamiento médico Reforzo Membrives J Endocrinopatias quirutrgicas. Rey A.M Ulcera gastroduodenal. Estado actual del tratamiento quirúrgico Rezende Puech-Fiscitura del codo en el niño.	XLVIII-1977 XXXIV-1963 V-1933
Pamos Mejia M.M Ulcera gastroduodenal. Estado actual del tratamiento médico. Reforzo Membrives J Endocrinopatias quivirgicas. Refy A.M Ulcera gastroduodenal. Estado actual del tratamiento quirirgico.	XXXIV-1983 XLVIII-1977 XXXIV-1983 V-1933 LIII-1982 XIX-1948

Rivarola J.E Obstrucción intestinal aguda en el niño	XXXI-196
Rivarola R.A Parálisis infantii. Secuelas en miembros inferiores	I-192
Riveros M Magnitud de las resecciones oncológicas. Introducción	XLV-197
Rodriguez Egaña A Mal de Pott en el niño. Tratamiento Quirtirgico	II-193
Rodríguez Martín J.A Incumbencias de la Asociación Argentina de Cirugia en la Práctica Quirúrgica	LXX-199
Rodríguez Otero J.C Cirugia ancológica en el paciente añoso	LXXI-200
Rodriguez Villegas R Diabetes en cirugía	V-193
Rolando Conrado J Fractura de la plema	X-194
Romagosa E Litiasis biliar. Complicaciones posoperatorias	IV-193
Rancoroni A.J Tárax agudo quirúrgico no traumático fisiopatología	XXXVIII-198
Rosasco Plau S.A Patología anorrectal no maligna en el niño	XL-196
Rubianes C.E Terapia Intensiva. Organización y funcionamiento	XLIV-197
Ruiz Gulflazù A Balance hidroelectrolitico en cirupia	XXIX-195
Ruiz Moreno M Fractura en antebrazo en el niño	III-19
Ruiz Moreno M Empiema en el niño	VII-193
Ruiz Moreno V Pie Plano (en el niño)	XXVI-198
Russo A.G Collis ulcerosa crónica. Tratamiento	XXX-198
s	
Sacco A.V Raquianestesia	X-193
Salvatti A.A Luxación congénita de la cadera 1º Infancia	XIX-194
Sánchez Pons J.C Cáncer de esófago	XXXV-19
Sánchez Zinny J Reintervanciones de urgancia en cirugia abdominal. Complicaciones	WWW.
inflamatorias	XXXV-19 LIX-19
Sanguinetti F.A Responsabilidad ética y jurídica del cirujano y de las instituciones Santángelo H.D Incumbencias de la Asociación Argentina de Cirugía en la Práctica Quinirgica	LIX-19
	XXVII-19
Santas A.A Tratamiento quirúrgico de la tuberculosis pulmonar	XXX-19
schajowicz r Tumores maignos de los nuesos. Anatomia Patologica Schieppati E Magnitud de las resecciones oncológicas. Tórax	XLV-19
	XVI-19
Sgrosso J.A Trumatismos del carpo. Tratamiento	XLII-19
Sano Quirós R Entermedad tromboembólica venosa (cirugía)	LVI-19
Sivori E.A Tumores endocrinos del aparato digestivo	LXXI-20
Sivori J.A Fisiopatologia quirdrgica del aparato digestivo	LXX-19
Sonzini Astudillo P Injurias quirurgicas de la via biliar	II-19
Solé R Ulcera gástrica. Tratamiento	XLVI-19
Sosa Gallardo C.A Pancreatitis aguda	XLIII-19
Spatole J Enseñanza de la cirugia para graduados. Residencias Sugasti J.A Reintervenciones de urgencias en cirugia abdominal. Complicaciones	1,18,000,000,100
hemorrágicas	XXXV-19
Suiffet W Flabofrombosis y tromboflebitis	XX-19
Surraco L.A Tuberculosis genital en el hombre	VIII-19
Sylvestre Begnis C Cáncer de laringe	XXXVI-19
Sylvestre Begnis G.A Cirugia oncològica en el paciente añoso	LXXI-20
T	
Tagliavacche N Fractura del codo en el adulto	V-19
Taquini A.C Fisiopatologia y clínica de la estenosis mitral desde el punto de vista	LOW -
clínico-quirurgico	XXV-19
Taubenschlag H Hernias umblicales recidivadas	XIII-19 XIV-19
Tejerina Fotheringham W Pancreatitis aguda. Etiologia y patogenia	XXXIV-19
Teme J Arteriopatías periféricas no oclusivas. Tratamiento	XXXIV-1B
tronco y extremidades en el adulto	XLV-19
Trabucco A Traumatismos del riñón	XVII-19
Tricerri F.E Afecciones valvulares del corazón	XXV-19
Trigo E.R Organización y funcionamiento de un departamento de cirugia	XLV-19
U	
	XXXI-19
Unburu J.V Obstrucción intestinal aguda	AAAFTO
Uriburu J.V Obstrucción intestinal aguda	AAAITIO
v	
Uriburu J.V. Obstrucción intestinal aguida	XIV-19 XXXVIII-19

XXVI-1955

I-1928

VI-1934

XVII-1945

VIII-1936

Zavaleta D.E.- Vias de abordaje al abdomen superior

Zeno L.- Fracturas del cuello de l'émur

Zeno L.- Quemaduras. Secuelas

Zorraquin G.- Precancer y cancer de recto